

С. ДЖЕЛЕПОВ, В. П. ПРИХОДЦЕВА, А. И. ФЕОКТИСТОВ и Ю. В. ХОЛЬНОВ

γ -ИЗЛУЧЕНИЕ Zn^{65} *

Zn^{65} превращается в Cu^{65} путем захвата орбитальных электронов и позитронным распадом. Позитронный распад ведет на основной уровень Cu^{65} . Электронный захват приводит как к основному уровню Cu^{65} , так и к возбужденному с энергией 1122 keV. γ -Лучами такой энергии сопровождается переход из возбужденного в основное состояние Cu^{65} .

Других надежно обнаруженных γ -лучей ядерного происхождения не известно. В некоторых работах утверждается наличие γ -лучей с энергиями 210 keV [1] и 1370 keV [2]. Другие работы [3, 4] не подтверждают этого.

Кроме указанной γ -линии, спектр препарата Zn^{65} содержит слабую линию с энергией 511 keV, возникающую при аннигиляции позитронов. Подробный обзор данных по излучению Zn^{65} дан в работе [3].

Мы поставили перед собой задачу — определить отношение интенсивностей γ -лучей Zn^{65} ядерного и аннигиляционного происхождения, а также проверить наличие γ -лучей с энергией 210 и 1370 keV при помощи γ -спектрометра, использующего электроны отдачи (ритрон) [5], в новых экспериментальных условиях [6].

На рисунке приведен экспериментальный γ -спектр Zn^{65} за вычетом фона. Фон в районе 511 keV составляет 25%, а в районе 1122 keV — 0,1% эффекта. Во вставке дан в увеличенном виде участок спектра, в котором находится аннигиляционная линия.

Для того чтобы из сравнения площадей и высот пиков найти отношение интенсивностей аннигиляционных и ядерных γ -лучей, необходимо было внести поправки на спектральную чувствительность прибора и на различное поглощение γ -лучей в источнике. Первая описана в работе [6]; последняя составляет ~20%.

Указанное отношение интенсивностей определялось двумя способами [1] — по высотам и площадям линий. Первый способ дал величину $(5,4 \pm 0,5) \cdot 10^{-2}$, второй $(6,80 \pm 0,5) \cdot 10^{-2}$.

Мы принимаем

$$\frac{\gamma_{511}}{\gamma_{1122}} = (6,70 \pm 0,5) \cdot 10^{-2}.$$

Мы специально искали и не обнаружили γ -линий с энергиями 210 и 1370 keV.

Если такие γ -лучи и имеются, то интенсивность их меньше, чем $5 \cdot 10^{-2}$ $5 \cdot 10^{-4}$ кванта на распад соответственно. Довольно высокий верхний предел в первом случае объясняется слабой чувствительностью прибора γ -лучам таких энергий.

В области энергий 1400—3000 keV у Zn^{65} нет γ -лучей, интенсивность которых была бы больше $5 \cdot 10^{-4}$ кванта на распад.

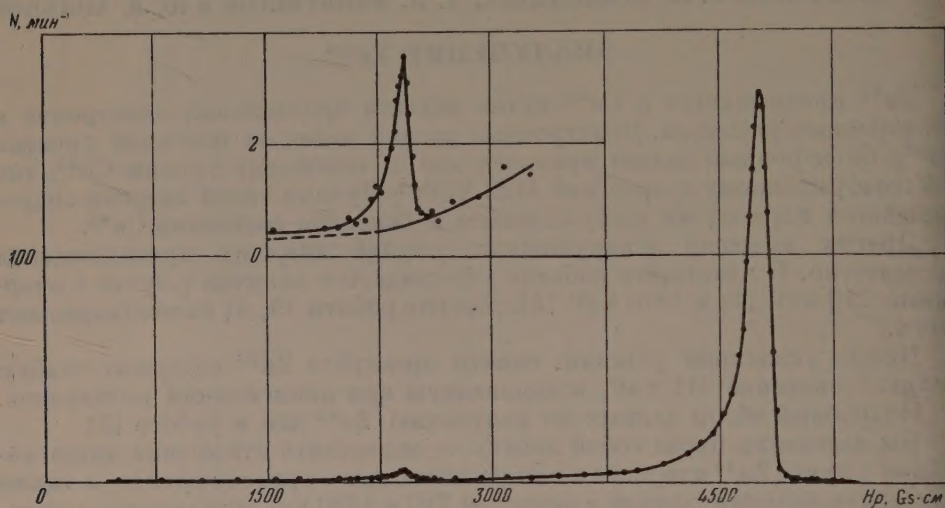
Из отношения интенсивностей аннигиляционных и ядерных γ -лучей следует: $\frac{\beta^+}{\gamma_{122}} = (3,35 \pm 0,25) \cdot 10^{-2}$, т. е. величина, согласующаяся со значением, полученным в работе [3] ($3,0 \cdot 10^{-2}$) по фотоэлектронам.

* Предварительные результаты доложены на III Всесоюзном совещании по ядерной спектроскопии (1953).

Коэффициент конверсии γ -лучей может быть представлен в виде

$$\alpha_{K+L} = \frac{e}{\gamma} = \frac{e}{\beta^+} \cdot \frac{\beta^+}{\gamma}.$$

Если для определения коэффициента конверсии γ -перехода 1122 keV принять e/β^+ по работе [3] $(5,5 \pm 0,5) \cdot 10^{-3}$, а β^+/γ по нашим данным, то получим $\alpha_{K+L} = 1,84 \cdot 10^{-4}$ и $\alpha_K \approx 0,9$, $\alpha_{K+L} \approx 1,66 \pm 0,3 \cdot 10^{-4}$.



Экспериментальный γ -спектр Zn^{65} (за вычетом фона)

В таблице даны теоретические значения коэффициентов конверсии, полученные интерполяцией данных Розе для случая $Z = 29$ и $E = 1122$ keV

Коэффициенты конверсии на K -оболочке Cu для $h\nu = 1122$ keV, согласно [7]

Тип перехода	$E1$	$E2$	$E3$	$M1$	M
α_K	$(9,3-10,5) \cdot 10^{-5}$	$2,03 \cdot 10^{-4}$	$4,4 \cdot 10^{-4}$	$1,94 \cdot 10^{-4}$	$3,74 \cdot 10^{-4}$

Из сравнения нашего значения с теоретическими видно, что согласия получается удовлетворительным, если считать, что γ -переход 1122 keV является переходом типа $E2$, или $M1$, или смесью $E2 + M1$.

Этот вывод свидетельствует в пользу того, что первый возбужденный уровень Cu^{65} является коллективным.

Авторы признательны дипломантам Л. С. Лебедеву и И. Б. Голованов за участие в измерениях.

Радиовый институт
им. В. Г. Хлопина АН СССР

Цитированная литература

1. Bouchez R., Physica, 18, 1171 (1952).
2. Mann K., Rankin D., Daughkin P., Phys. Rev., 76, 1749 (1949).
3. Башилов А., Антонова Н., Бродер Д., Дзелепов Б., Изв. АН СССР, Серия физич., 17, 468 (1953).
4. Good M., Phys. Rev., 81, 891 (1951).
5. Дзелепов Б., Жуковский Н., Хольнов Ю., Изв. АН СССР, Серия физич., 18, 599 (1954).
6. Дзелепов Б., Приходцева В., Феоктистов А., Хольнов Ю. см. настоящий номер журнала, стр. 1361.
7. Beta- and Gamma-Ray Spectroscopy, Ed K. Siegbahn.—Amsterdam, 1955.

С. ДЖЕЛЕПОВ, В. П. ПРИХОДЦЕВА, А. И. ФЕОКТИСТОВ и Ю. В. ХОЛЬНОВ

γ -СПЕКТР As^{76} *

Прибор

Сложный γ -спектр As^{76} ($T = 1,1$ дня) изучался при помощи ритрона [1]. В 1956 г. прибор [1] был значительно усовершенствован: создан раз-
ельный вакуум в счетчиках и в коробке спектрометра. Основная трудность
остояла в том, что счетчик, находящийся в первом фокусе прибора, имеет
ольшие окна ($0,8 \times 3,3$ см), которые заклеиваются целлофановой плен-
ой. Необходимо было изготовить тонкие ($\sim 1-2$ μ) пленки, способные
ыдерживать разность давлений ~ 10 см рт. ст. Мы изготовили их из
оллодиевой пленки толщиной $1-2$ μ , которая состояла из нескольких
есятков очень тонких слоев.

Счетчики наполнялись смесью $\text{Ar} + \text{CH}_4$ (по 50%) до давления
0,4 см рт. ст. Камера прибора непрерыв-
но откачивается форвакуумным насо-
м. Все остальные параметры такие
е, как в работе [1].

Рис. 1 иллюстрирует степень улуч-
щения основной характеристики при-
бора. На нем дана зависимость относи-
ельной полуширины линий от энергии
старых (кривая *a*) и новых (кривая *b*)
условиях.

Следует, кроме того, указать на
начительное (в десятки раз) уменьше-
ние фона (при опущенной мишени), ко-
рый раньше создавался комптон-элек-
тронами, выбитыми из газа, находив-
шегося в районе мишени. Это обстоя-
тельство создает дополнительные
возможности для изучения слабых
линий.

Прибор был заново проградуирован по энергиям (с точностью до ~ 1 %) по известным γ -линиям: In^{114*} —190 keV, Hg^{203} —279, Au^{198} —412, Cu^{64} —511, Cs^{137} —661, Zn^{65} —1122, Co^{60} —1171 и 1331, Sb^{124} —597 и 1691, Na^{24} —380 и 2760 keV.

Градуировка по интенсивностям является наиболее трудной задачей приборах этого типа. Поскольку на пути электронов имеется первый счетчик, получение расчетной спектральной чувствительности затрудни-
тельно. Поэтому мы градуировали спектрометр следующим образом: были
измерены γ -линии препаратов, схема распада которых хорошо известна: Hg^{203} (γ -линия 279 keV), Au^{198} (412 keV), Cs^{137} (661 keV) и Co^{60} (1171 и 1331 keV).

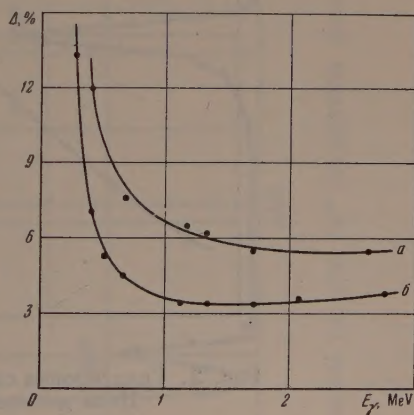


Рис. 1. Зависимость относительной полуширины линий от энергии

* Предварительные результаты доложены на III Всесоюзном совещании по ядерной спектроскопии (1953 г.).

Абсолютная активность указанных препаратов была определена Е. А. Хольновой на калориметре ВНИИМ [2] с погрешностью от 3 до 5 % в разных случаях.

Для получения спектральной чувствительности была определена площадь каждой линии (после вычитания фона, приведения к равным интервалам энергии и введения поправок на поглощение γ -лучей и эффективность счетчиков); полученные значения разделены на активность препарата точки нанесены на график, а затем масштаб его изменен так, чтобы при $E_\gamma = 1$ MeV спектральная чувствительность прибора S_γ была равна 1 (см. определение S_γ в [1]). Этим данным соответствуют пять левых точек на рис. 2. Две точки в жесткой области соответствуют двум каскадным γ -линиям Na^{24} (1380 и 2760 keV). Абсолютная активность Na^{24} не определялась. Мы воспользовались тем, что энергия первой γ -линии Na^{24} (1380 keV) близка к энергии второй линии Co^{60} (1331 keV). Если площадь первой линии Na^{24} изобразить точкой на продолжении кривой в жесткую

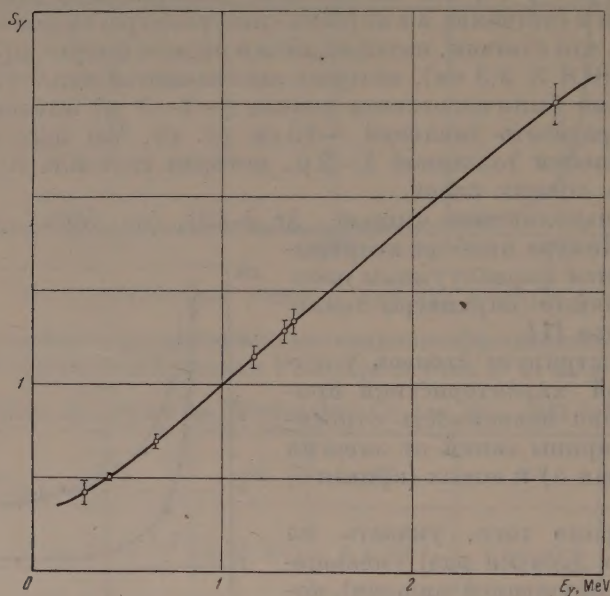


Рис. 2. Градуировка спектрометра по интенсивностям.
Цена деления по оси ординат $1/3$

область, то площадь второй линии, выраженная в этих же единицах, укажет, как нужно проводить кривую спектральной чувствительности в жесткую область.

Указанная градуировка является также и абсолютной градуировкой. Мы можем определять число квантов любой энергии, испускаемых препаратом.

Для этого необходимо знать, что в случае γ -лучей с энергией 1022 keV, испускаемых препаратом активностью 1 Ки в количестве 1 квант на распад, прибор будет регистрировать на максимуме линии 589 совпадений в минуту.

Результаты измерений

В этих рабочих условиях был изучен γ -спектр As^{76} . Экспериментальный спектр приведен на рис. 3. Фон вычтен. Под линией 562 keV он составлял 0,7 % от эффекта, под линией 2085 keV — 0,2 %.

На рис. 3 во вставке приводится самая жесткая часть спектра As^{76} . Соответствующая серия измерений была проведена в отличных от опи-

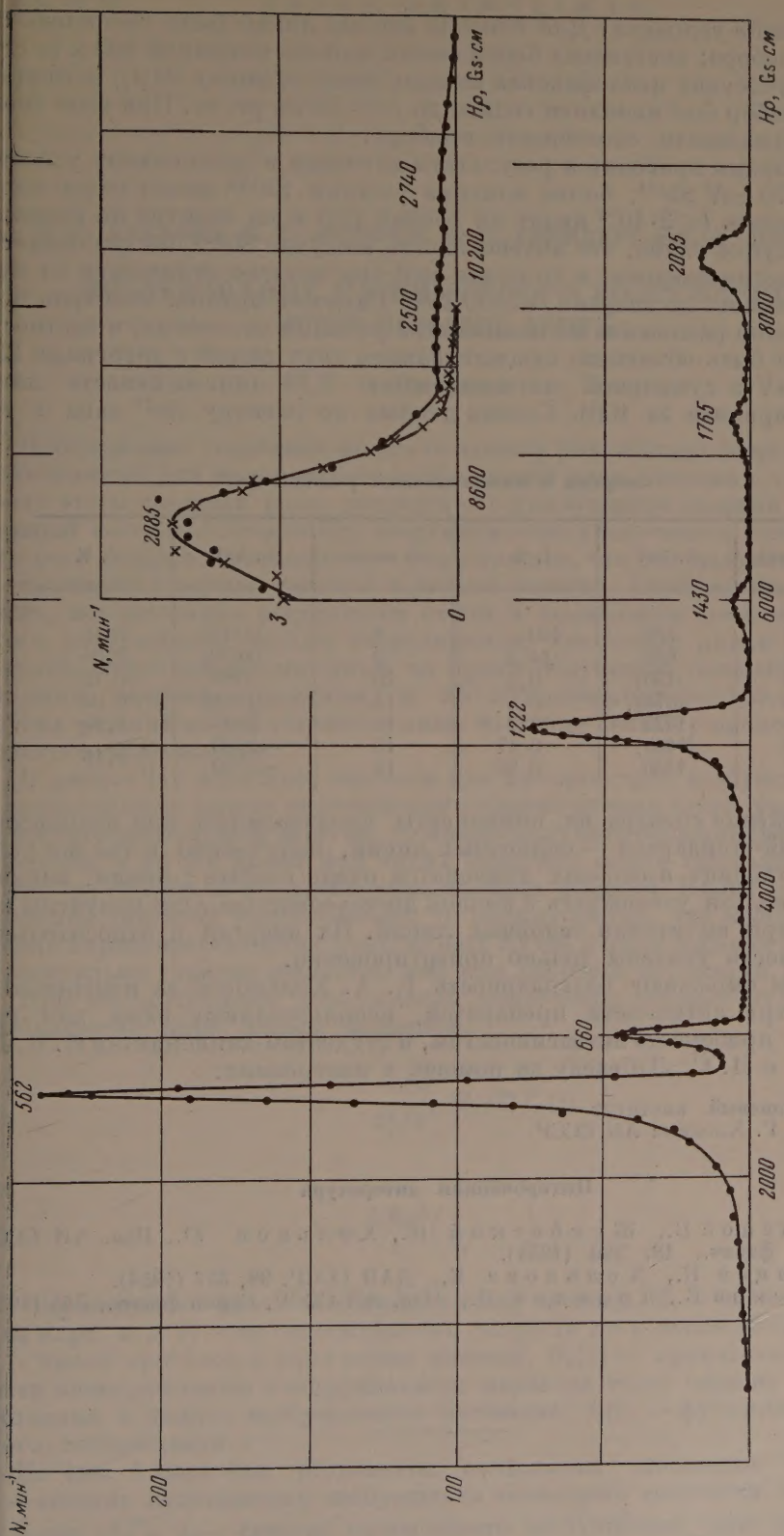


Рис. 3. Экспериментальный γ -спектр As^{76} (за вычетом фона). Цифры указывают энергию линий в keV

санных выше условиях. Для поисков слабых линий была увеличена светосила прибора: поставлена бериллиевая мишень толщиной 400 μ (в стандартных условиях целлофановая мишень имеет толщину 50 μ), расширена щель. Прибор был наполнен гелием до $p = 32$ см рт. ст. При этом снизилась разрешающая способность прибора.

Крестиками приводятся результаты изучения в аналогичных условиях линии 2070 keV Sb^{124} ; более жесткие γ -линии Sb^{124} имеют очень малую интенсивность ($< 2 \cdot 10^{-3}$ квант на распад [31]) и на спектре не видны.

Из рисунка видно, что интенсивность в случае Sb^{124} быстро падает до нуля с ростом энергии, в то время как она заметно отличается от нуля для As^{76} вплоть до энергии ~ 2800 keV. Разность ординат спектров Sb^{124} и As^{76} можно разложить на компоненты разными способами; в частности она может быть объяснена существованием двух линий с энергиями 2500 и 2750 keV и суммарной интенсивностью 0,16 (интенсивность линии 562 keV принята за 100). Сводка данных по спектру As^{76} дана в таблице.

Энергии и интенсивности γ -линий As^{76}

№ линии	E, keV	I, %	№ линии	E, keV	I, %
1	562	100	8	(1510)	0,10
2	660	14,3	9	(1620)	0,04
3	(730)	0,5	10	1765	0,72
4	(870)	0,5	11	(1850)	0,05
5	1222	12,7	12	2085	1,95
6	(1400)	0,17	13	~ 2500	} 0,16
7	1430	0,80	14	~ 2750	

Разложение спектра на компоненты производилось при использовании линий-стандартов — одиночных линий, полученных в тех же условиях. В таблице в скобках приводятся очень слабые γ -линии, наличие которых нельзя утверждать с полной достоверностью. Они получены как остаток при вычитании основных линий. Их энергия и относительная интенсивность указаны только ориентировочно.

Авторы выражают благодарность Е. А. Хольновой за измерение на калориметре активности препаратов, использованных нами для градуировки прибора по интенсивностям, и студентам-дипломантам И. Б. Голванову и Л. С. Лебедеву за помощь в измерениях.

Радиовый институт
им. В. Г. Хлопина АН СССР

Цитированная литература

1. Желепов Б., Жуковский Н., Хольнов Ю., Изв. АН СССР, Серия физич., 18, 599 (1954).
2. Аглинцев К., Хольнова Е., ДАН СССР, 98, 357 (1954).
3. Желепов Б., Ярицина И., Изв. АН СССР, Серия физич., 345 (1956).

Д. Г. АЛХАЗОВ, Д. С. АНДРЕЕВ, А. П. ГРИНБЕРГ и И. Х. ЛЕМБЕРГ

ИССЛЕДОВАНИЕ КУЛОНОВСКОГО ВОЗБУЖДЕНИЯ
ЯДЕР ИОНАМИ АЗОТА

Введение

Наблюдаемая тенденция ко все большему увеличению энергии частиц, применяемых для кулоновского возбуждения ядер, связана с тем, что сечение этого процесса резко возрастает с увеличением энергии бомбардирующей частицы. Однако эту энергию можно увеличивать только до некоторого предела, определяемого тем условием, что используемые частицы не вызывают ядерных реакций в данной мишени. Если последние имеют место, истолкование результатов опыта и вычисление сечения кулоновского возбуждения сильно затрудняются: некоторые линии в спектре лучей, испускаемых мишенью во время облучения, оказываются объяснимыми ядерным реакциям, а не кулоновскому возбуждению; для других γ -линий выход γ -квантов лишь частично связан с процессом кулоновского возбуждения.

В работе [1] показано, что если для кулоновского возбуждения ядер воспользоваться вместо протонов или α -частиц ионами азота, ускоренными до достаточно большой энергии, то можно получить большие сечения этого процесса; в то же время при таких энергиях ионов азота практически можно не опасаться возникновения ядерных реакций. Кроме того, с применением тяжелых ионов связано то преимущество, что мешающий фон в виде характеристических рентгеновых лучей атомов мишени становится относительно гораздо меньшим, чем при работе с протонами [1, 2].

При квадрупольном возбуждении поперечное сечение кулоновского возбуждения ядра дается формулой:

$$\sigma = \frac{m_f^2 v_f^2}{Z_2^2 e^2 \hbar^2} B_e(2) f_2(\xi), \quad (1)$$

$$\xi = \frac{Z_1 Z_2 e^2}{\hbar} \left(\frac{1}{v_f} - \frac{1}{v_i} \right), \quad (2)$$

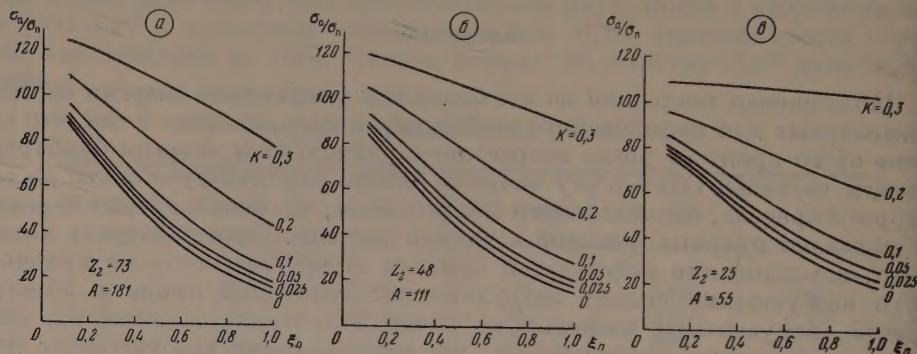
— приведенная масса бомбардирующей частицы, Z_1 — число протонов в ее ядре, v_i и v_f — ее относительные скорости до и после столкновения, Z_2 — число протонов в ядре атома мишени, $B_e(2)$ — приведенная вероятность электрического квадрупольного перехода этого ядра из основного состояния в данное возбужденное состояние, $f_2(\xi)$ — функция кулоновского возбуждения.

На рис. 1 показаны результаты вычисления отношения σ_a/σ_{π} , где σ_a — сечение кулоновского возбуждения некоторого состояния ядра иона азота (N_7^{14}), σ_{π} — сечение кулоновского возбуждения того же состояния протонами (с другой энергией, см. ниже). Кривые $\sigma_a/\sigma_{\pi} = f(\xi_{\pi})$ вычислены для трех мишеней, значительно различающихся по величине Z_2 .

В каждом случае параметром семейства кривых служит величина $k = \Delta E/E_{\pi}$, где ΔE — энергия возбуждения рассматриваемого состояния ядра, E_{π} — энергия столкновения при бомбардировке данной мишени протонами, имеющими в лабораторной системе координат кинетическую энергию $E_{1,\pi}$. ($E_{\pi} = \frac{m_2}{m_{\pi} + m_2} E_{1,\pi}$, m_{π} — масса протона, m_2 — масса ядра атома мишени.)

При расчете значений σ_a/σ_{π} принято, что $E_a = 7E_{\pi}$.

Каждому значению ξ_{π} при заданном k соответствует определенная энергия E_{π} (можно показать, что $E_{\pi} = \frac{\text{const}}{\xi_{\pi}^2}$). Некоторые значения E_{π} отмечены на рис. 1.



а

E_{π} , MeV	38	46	56	31	20	14	10,2	8	5,2	5	$K=0,3$
	8,8	9,6	20	11	7,3	5,1	3,7	2,9	2,3	1,8	0,2
	2,14	2,2	4,3	2,4	1,5	1,1	0,8	0,6	0,48	0,38	0,1
ξ_{π}	0,1	0,2	0,98	0,55	0,35	0,24	0,18	0,14	0,11	0,09	0,05
	0,1	0,2	0,24	0,13	0,09	0,06	0,04	0,033	0,026	0,021	0,025

6

$E_{\pi},$ MeV	$\left\{ \begin{array}{l} 16,6 \\ 3,8 \\ 0,92 \end{array} \right.$	54	24	13,5	8,6	6	4,4	3,4	2,7	2,2	$K=0,3$
		20	8,8	4,9	3,2	2,2	1,6	1,2	0,98	0,79	
		4,2	1,8	1	0,66	0,46	0,34	0,26	0,2	0,17	
		0,96	0,43	0,24	0,15	0,11	0,08	0,06	0,05	0,04	
ξ_{π}	0,1	0,23	0,10	0,06	0,04	0,026	0,019	0,014	0,011	0,009	0,025
	0,1	0,2	0,3	0,4	0,5	0,6	0,7	0,8	0,9	1,0	

в

E_{π} , MeV	58	14,5	6,4	3,6	2,3	1,6	1,2	0,9	0,7	0,6	$K=0,3$
	21	5,3	2,4	1,3	0,9	0,6	0,4	0,33	0,26	0,21	0,2
	4,5	1,1	0,5	0,28	0,187	0,12	0,09	0,07	0,06	0,04	0,1
ξ_{π}	0,25	0,114	0,028	0,010	0,004	0,0021	0,001	0,0003	0,0013	0,0003	0,05
	0,1	0,2	0,3	0,4	0,5	0,6	0,7	0,8	0,9	1,0	0,025

Рис. 1. Зависимость отношения σ_a/σ_{π} от ξ_{π} при разных значениях $k = \Delta E/E_{\pi}$. Кривые 0 вычислены по формулам полуклассической теории [3, 4], пригодным при $k \rightarrow 0$.

Как видно из графиков, для ξ_{π} в области от 0 до 1, которая охватывает все практически интересные случаи, отношение σ_a/σ_{π} во много раз больше единицы. Например, если изучается кулоновское возбуждение первого и второго возбужденных состояний тантала ($\Delta E_1 = 0,137$ MeV, $\Delta E_2 = 0,303$ MeV), и бомбардировка мишени производится ионами азота с энергией 15,6 MeV (т. е. $E_a = 14,5$ MeV и $E_{\pi} \approx 2,1$ MeV), то $(\sigma_a/\sigma_{\pi})_1 = 75$ и $(\sigma_a/\sigma_{\pi})_2 = 50$.

При использовании толстой танталовой мишени отношение выхода γ -квантов с энергией 0,137 MeV при бомбардировке ионами азота с $E_a =$

4,5 MeV к выходу тех же γ -квантов при бомбардировке протонами с $E = 2,1$ MeV равно 12 [1].

Расчет показывает, что в этих же условиях опыта отношение числа квантов K -квантов, возникающих за счет ионизации атомов тантала входящими частицами, к числу γ -квантов с энергией 0,137 MeV при использовании ионов азота должно быть в 15 раз меньше, чем при использовании протонов.

Проведенные нами опыты подтвердили изложенные выше выводы. Было исследовано кулоновское возбуждение ядер 21 элемента иона азота. При выборе методики измерений мы имели в виду две самостоятельные задачи: 1) определение энергии низших возбужденных уровней ядра и 2) вычисление значений приведенных вероятностей для соответствующих переходов. Зная $B_e(2)$, можно вычислить и внутренний квадрупольный момент данного ядра, если известно, какой возбужденный уровень является ротационным.

В этой статье приводятся результаты, касающиеся лишь первой из поставленных задач.

Описание эксперимента

Трехзарядные ионы азота с энергией 15,6 MeV были получены на циклотроне Ленинградского физико-технического института Академии наук СССР. Применялся ионный источник с графитовым трубчатым анодом и катодом из толстой танталовой проволоки (ϕ 3,5 мм). На небольшом расстоянии от щели анода находился «вытягивающий электрод», привинченный к одному из дуантов.

Для питания катода использовался отдельный генератор постоянного тока.

Работа производилась на выведенном при помощи обычного дефлектора пучке; при этом использовалась лишь небольшая часть выведенного пучка (рис. 2), проходившая через овальное отверстие высотой 20 мм и шириной 10 мм в пластине с этим отверстием (рис. 2). Позиция пучка в плоскости a). Поскольку пучок трехзарядных ионов, летевших к мишени, был достаточно однороден по энергии.

В этом пучке трехзарядных частиц практически были только те ионы, которые в виде трехзарядных вышли из ионного источника и ускорились в циклотроне на основной частоте ускоряющего поля. Для частиц же, вышедших из ионного источника в виде однозарядных ионов, а затем потерявших за счет столкновений с молекулами остаточного газа еще два электрона, вероятность пройти сквозь весь канал дефлектора очень мала, так как для таких ионов центр кривизны последнего витка орбиты лишь в исключительных случаях мог бы оказаться близким к геометрическому центру камеры. На опыте выяснилось, что в выведенном пучке, наряду с трехзарядными, имеются и однозарядные ионы азота. Это те ионы, которые в виде однозарядных вышли из ионного источника, ускорились в циклотроне на основной частоте ускоряющего напряжения, не изменив своего заряда до конца ускорения, и прошли сквозь канал дефлектора. Такие ионы имеют, очевидно, ту же магнитную жесткость, что и трехзарядные, а следовательно их энергия в 9 раз меньше, чем у трехзарядных.

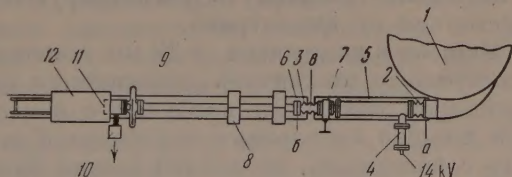


Рис. 2. Схема расположения установки (вид сверху): 1 — камера циклотрона, 2 и 3 — сильфоны, 4 — фарфоровый проходной изолятор, через который подается напряжение на одну из пластин отклоняющего конденсатора, 5 и 6 — шарнирно соединенные балки, 7 — вакуумная задвижка, закрываемая во время смены мишени, 8 — магнитные линзы, 9 — стеклянная деталь для наблюдения свечения экрана, 10 — входной каскад интегратора тока, 11 — мишень, 12 — железный корпус с ФЭУ

Чтобы получить экспериментальные данные, позволяющие вычислить абсолютное значение сечения кулоновского возбуждения, необходимо было очистить пучок от однозарядных ионов. Энергия их настолько мала, что они, попадая на мишень, не давали бы γ -лучей кулоновского возбуждения; но ток ионов на мишень представлял бы собой сумму токов однозарядных и трехзарядных ионов при неизвестном соотношении слагаемых.

Отделение трехзарядных ионов от однозарядных было осуществлено при помощи отклонения в электростатическом поле. Пучок пропускать между горизонтальными пластинами плоского конденсатора, на который подавалось напряжение ~ 14 kV ($E \approx 7$ kV см⁻¹). Длина конденсатора 25 см.

После конденсатора пучок трехзарядных ионов проходил через отверстие ϕ 30 мм, расположенное в плоскости б (рис. 2), а затем — сквозь систему из двух магнитных квадрупольных линз, которая фокусировала его на мишень.

Каждая линза имела следующие основные параметры: диаметр отверстия — 4 см, радиус кривизны цилиндрической поверхности полюса — 2,3 см, длина линзы — 10 см, вес линзы (с обмотками) — 50 кг, суммарное число витков в четырех обмотках ~ 4000 , ток при наилучшей фокусировке $\sim 1,8$ А*. Расстояние средней плоскости первой линзы от выходного окна камеры циклотрона составляло $\sim 1,6$ м, средние плоскости линз находились на расстоянии 50 см друг от друга, а мишень — на расстоянии 1,25 м от средней плоскости второй линзы.

Введение магнитных линз в установку привело к увеличению интенсивности пучка ионов азота, падающих на мишень, примерно в 5 раз и позволило отодвинуть регистрирующее устройство на значительное расстояние от циклотрона.

Мишень в виде диска ϕ 28 мм помещалась на дне изолированного металлического стаканчика, служившего цилиндром Фарадея. Перед этим цилиндром находился ползунок с нанесенным на него диском из ZnS. При помощи небольшого соленоида и железного сердечника, скрепленного с ползунком, последний можно было перемещать в вакууме и либо открывать вход в цилиндр Фарадея, либо подставлять под пучок слой ZnS.

Светящееся пятно от пучка на слое ZnS наблюдалось через стенку стеклянной трубки. Это устройство позволяло проверять правильность центрирования пучка и контролировать фокусировку. При оптимальных токах в обмотках линз пятно на экране имело в высоту ~ 5 мм, в ширину ~ 14 мм.

Балки 5 и 6 (рис. 2) были соединены между собой при помощи карданного шарнира, который позволял поворачивать балку 6 вокруг точки в любом направлении и, таким образом, легко устанавливать систему так, чтобы пучок попадал на центральную часть мишени.

Количество электричества в падающем на мишень пучке измерялось ламповым интегратором тока, который калибровался до и после каждого измерения γ -спектра кулоновского возбуждения (для этого через интегратор пропускался известный ток от постороннего источника э. д. с.). Для исключения возможных ошибок при измерении тока пучка, связанного со вторичной электронной эмиссией, перед цилиндром Фарадея было установлено кольцо, на которое подавалось напряжение 90 В по отношению к цилиндру. Ток трехзарядных ионов азота на мишень достиг 0,5 μ А (а общий ток выведенного пучка, измеренный в плоскости (рис. 2), составлял 10—15 μ А).

Возникающее во время бомбардировки мишени γ -излучение исследовалось при помощи сцинтилляционного γ -спектрометра с кристаллом

* Необходимые значения токов в обмотках линз, соответствующие наилучшей фокусировке пучка в зависимости от расположения плоскости фокусировки, были установлены в отдельных опытах.

—Т1 ϕ 29 мм, высотой 13 мм. Блок-схема спектрометра показана на рис. 3. Фотоэлектронный умножитель типа ФЭУ-С и первый катодный повторитель были помещены в надежную антимагнитную защиту в виде двух вложенных друг в друга железных цилиндров. Источником питания ФЭУ служила сухая батарея ($U \approx 1,2$ кВ). Подаваемое на ФЭУ напряжение контролировалось при помощи потенциометрической схемы и поддерживалось постоянным с точностью до 0,01%. Мощный катодный повторитель по высокочастотному полю длиной ~ 50 м передавал импульсы ФЭУ на линейный усилитель с отрицательной обратной связью, от которого импульсы попадали на 50-канальный амплитудный анализатор*. В этом приборе использован принцип преобразования амплитуды в длительность. В схеме анализатора предусмотрена блокировка, заключающая на 16 мсек вход анализатора 9 от выхода усилителя 8 после каждого принятого анализатором импульса. Только по истечении этого интервала времени заканчивается процесс амплитудного анализа импульса, завершающийся отсчетом в нумераторе одного из каналов. Обычно в условиях наших опытов число N_0 импульсов, поступивших за время опыта на вход усилителя 8, значительно превышало число N_6 импульсов, принятых для анализа амплитудным анализатором 9. Для вычисления абсолютных значений σ по полученной на опыте спектрограмме, очевидно, необходимо знать отношение N_6/N_0 . Поэтому в установку были введены быстродействующий интегральный дискриминатор 12, пересчетная схема 11, при помощи которых отсчитывалась величина N_0 . Число срабатываний блокировки за то же время (т. е. величина N_6) отсчитывалось при помощи пересчетной схемы 10.

В схеме анализатора предусмотрена возможность введения регулируемого сдвигающего напряжения U_c ; амплитуда импульса, поступающего в повторительное устройство, равна $U_a - U_c$, где U_a — амплитуда первоначального импульса. Уровень дискриминации в дискриминаторе 11 устанавливался в каждом опыте таким образом, чтобы он совпадал с нижним уровнем дискриминации анализатора 9.

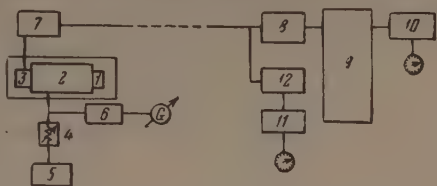


Рис. 3. Блок-схема γ -спектрометра: 1 — сцинтиллятор, 2 — ФЭУ, 3 — катодный повторитель, 4 — регулировочное сопротивление, 5 — сухая батарея, 6 — потенциометрическая схема измерения напряжения, 7 — мощный катодный повторитель, 8 — линейный усилитель, 9 — 50-канальный амплитудный анализатор, 10 и 11 — пересчетные схемы с коэффициентом пересчета 1024, 12 — интегральный дискриминатор

Вольтовая калибровка амплитудного анализатора производилась до каждого опыта при помощи генератора импульсов (калибратора), входящего в блок 9, и точного вольтметра. При всех измерениях ширина пика в анализаторе была равна 1В.

Калибровка γ -спектрометра в целом производилась по γ -линиям радиоактивных препаратов: Ce^{141} (146 keV), Hg^{203} (279,5 keV), Cs^{137} (661 keV), Co^{60} (1,17 и 1,33 MeV).

Выбор того или иного препарата в каждом опыте определялся тем, чтобы калибровочная γ -линия должна быть по энергии по возможности близка к исследуемой γ -линии.

Для характеристики разрешающей способности спектрометра можно сказать, что относительная полуширина фотопика γ -линии Cs^{137} составила 9,5%.

Отметим, что в нашей установке между мишенью и сцинтиллятором находились следующие слои, частично поглощавшие γ -излучение из ми-

* Анализатор изготовлен Л. Н. Гальпериным.

шени: Cu — 0,19 мм, Al — 1 мм, MgO — 1 мм. В некоторых случаях мишень имела медную подложку толщиной от 80 μ до 0,5 мм (см. следующий раздел), которая также являлась поглотителем γ -лучей.

Результаты измерений

Полученные нами данные об энергиях возбуждения ряда ядер указаны в таблице. В тех случаях, когда это известно, указано и массовое число ядра, к которому относится данный уровень.

Облучаемые ядра и энергии γ -квантов, keV *

F_{9}^{19}	125 205	Ge_{32}^{73}	72	Ag_{47}	310 409	Ta_{73}^{181}	138 301
Na_{11}^{23}	435	Se_{34}^{77}	238 452	Cd_{48}^{113} Cd_{48}^{111} Cd_{48}^{114}	279 325 543	W_{74}	112
V_{23}^{51}	320	Mo_{42}^{95} Mo_{42}^{100}	210 540	In_{49}^{115}	562	Au_{79}^{197}	286 580
Mn_{25}^{55}	127 590	Rh_{45}^{103}	295 358	J_{53}^{127}	60 205	Pb_{82}^{207}	580

При бомбардировках K, Ni, Cu, Sn и Bi никаких γ -линий не наблюдалось. В этих случаях, за исключением K, облучались металлические мишени, и результаты измерений использованы нами для введения поправок на тормозное излучение, возникающее при торможении ионов азота в различных мишенях (эти поправки необходимы при вычислении абсолютных значений сечения σ).

Рассмотрим подробнее экспериментальные данные о кулоновском возбуждении по каждому из исследованных элементов.

F^{19} . Кулоновское возбуждение F^{19} подробно изучено в работе [5], в ней в качестве бомбардирующих были использованы α -частицы. Наблюдались уровни с $\Delta E = 109$ и 196 keV. Эти уровни ранее были обнаружены в реакции $Ne^{21}(\alpha, \alpha)F^{19}$. В наших опытах в качестве мишени был взят CaF_2 , осажденный из взвеси в бензине на медную подложку толщиной 0,35 мм. Толщина слоя CaF_2 составляла 2,3 мг см $^{-2}$.

Na^{23} . Кулоновское возбуждение Na^{23} изучалось в работах [6, 7], в них были использованы α -частицы. Обнаружена γ -линия с энергией 439 keV. Из кривой возбуждения следует, что эта γ -линия получается за счет электрического квадрупольного возбуждения Na^{23} . Уровень с $\Delta E = 440$ keV был известен по данным о неупругом рассеянии протонов и нейтронов на натрии. По данным о β -распаде этот уровень не был известен. Недавно он был обнаружен Ю. А. Нemiловым и В. М. Овчинниковым при изучении β^- -распада Ne^{23} [8].

В наших опытах мишенью служил прессованный диск из NaCl толщиной ~ 130 мг см $^{-2}$ на медной подложке толщиной 0,5 мм. В контрольных опытах с мишенью из KCl показано, что наблюдаемая нами γ -линия с энергией 435 keV принадлежит натрию, а не хлору.

V^{51} . В природном ванадии содержится 99,8 % V^{51} . Кулоновское возбуждение ванадия α -частицами исследовалось в работах [6, 9], а возбу

* Величина энергии γ -квантов определялась с точностью до 1 \div 3%.

ние протонами — в работе [10]. В этих работах обнаружена γ -линия с энергией 320 keV, соответствующая возбужденному уровню V^{51} , известному по данным о β -распаде и о неупругом рассеянии протонов.

В наших опытах мишень была изготовлена путем осаждения взвеси марганцевой кислоты в бензине на медную подложку толщиной 0,5 мм. Толщина мишени составляла ~ 20 мг см^{-2} .

Полученный нами спектр представлен на рис. 4. Фон от космических лучей и тормозного излучения вычтен (это же касается и к последующим рисункам). По оси ординат отложено N_γ — число отсчитанных сцинтилляционным счетчиком квантов, приходящееся на 1 мккул азота и на интервал энергий квантов шириной 10 keV.

Mn^{55} . Кулоновское возбуждение марганца α -частицами изучалось в работе

а возбуждение протонами — в работе [10]. В этих работах найдена γ -линия с энергией 128 keV [9] или 131 keV [10]. Ранее соответствующий уровень был обнаружен при исследовании неупругого рассеяния протонов [11]. В работе [10] были найдены также γ -линии с энергиями 420, 505, 650 и 975 keV, интенсивность которых относительно линии с энергией 131 keV составляла от 0,2 до 0,01.

Результаты наших измерений приведены на рис. 5. Мишенью служил марганец Mn толщиной ~ 2 мг см^{-2} , нанесенный путем испарения в вакууме на медную подложку толщиной 150 μ .

По нашим данным, для первого уровня Mn^{55} $\Delta E = 127$ keV. В работе

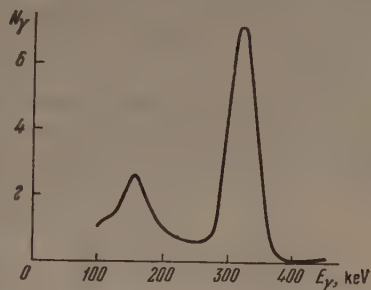


Рис. 4. γ -Спектр при кулоновском возбуждении ванадия

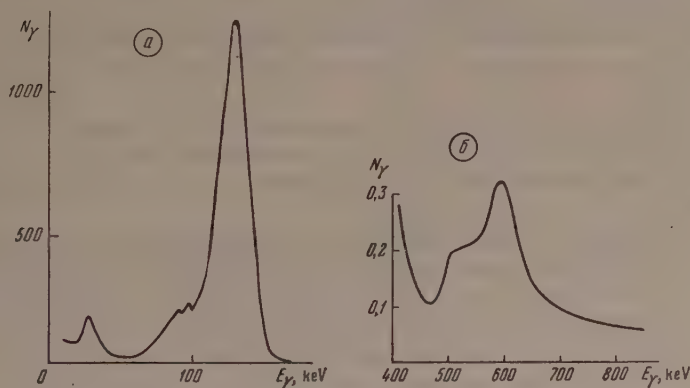


Рис. 5. γ -Спектр при кулоновском возбуждении марганца

на основании измерения энергии конверсионных электронов, испускаемых при кулоновском возбуждении Mn^{55} , дано значение $\Delta E = 128$ keV.

На рис. 5, б представлены результаты, полученные при введении смешанного напряжения в амплитудный анализатор. При этом отсутствует флуоресценция и блокирование анализатора большим количеством малых импульсов (в данном случае — импульсов, связанных с γ -квантами с $E_\gamma < 400$ keV), так что необходимое число отсчетов, соответствующих γ -квантам с $E_\gamma > 400$ keV, можно получить в значительно более короткое время. Как видно из рис. 5, б, наблюдается γ -линия с энергией 590 keV, интенсивность которой (без поправки на коэффициент внутренней конверсии) составляет 0,02 % от интенсивности γ -линии с энергией 127 keV.

Наши данные подтверждают предположение, высказанное в работе [10], что обнаруженные в этой работе γ -линии с энергиями 420, 650 и 975 keV связаны с ядерными реакциями, а не с кулоновским возбуждением. Что касается линии с энергией 505 keV, то наши данные не позволяют сделать однозначного заключения.

Ge⁷³. Природный германий состоит из смеси нескольких изотопов. Кулоновское возбуждение германия α -частицами изучалось в работах [6, 9, 13].

В наших опытах в качестве мишени использован диск толщиной $\sim 0,83$ мм, вырезанный из монокристалла германия. Результаты измерений представлены на рис. 6. Спектр снимался в области энергий до 210 keV. Наблюдается γ -линия с энергией 72 keV. По данным [9, 6], $E_\gamma = 68$ keV. Как показано в работе [6], выполненной с изотопически обогащенным германием, эту линию следует приписать Ge⁷³.

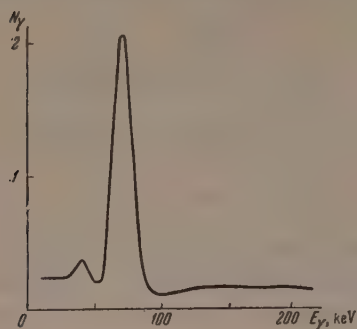


Рис. 6. γ -Спектр при кулоновском возбуждении германия

Кривая, изображенная на рис. 6, не падает до нуля в области больших E_γ . Это указывает на то, что при бомбардировке Ge ионами азота мишень, по-видимому, испускает также более жесткие γ -кванты с $E_\gamma > 210$ keV.

Se⁷⁷. Кулоновское возбуждение селена α -частицами изучалось в работах [6, 9, 14]. По данным этих работ, энергии γ -квантов — 244 и 457 keV. Уровень с энергией 457 keV не был известен по данным

β -распаде. В работе [14], в которой были использованы мишени, обогащенные различными изотопами селена, показано, что уровни с энергиями 244 и 457 keV принадлежат Se⁷⁷.

В наших опытах мишенью служил слой селена толщиной 32 мг см⁻², нанесенный путем испарения в вакууме на медную подложку толщиной 80 μ .

Mo. В природном молибдене содержатся четыре четно-четных изотопа ($z = 42$, $A = 94, 96, 98$ и 100) и два четно-нечетных изотопа ($A = 95$ и 97). Это обстоятельство затрудняет приписывание γ -линий, наблюдаемых при кулоновском возбуждении Mo.

В работе [9] при возбуждении Mo α -частицами найдена γ -линия с энергией 198 keV. Примерно такая же линия ($E_\gamma = 201$ keV) известна по данным о позитронном распаде Tc⁹⁵ [15]. В работе [13], выполненной с изотопически обогащенными мишенями, показано, что при кулоновском возбуждении Mo¹⁰⁰ наблюдается γ -линия с энергией 528 keV, а при возбуждении Mo⁹⁸ — γ -линия с энергией 786 keV.

В наших опытах мишенью служила молибденовая фольга толщиной 100 μ . Мы исследовали область энергий до 750 keV. Из сопоставления с приведенными выше данными следует, что наблюдаемую нами γ -линию с энергией 210 keV надо приписать первому уровню Mo⁹⁵, а линию с энергией 540 keV — первому уровню Mo¹⁰⁰.

Rh¹⁰³. Кулоновское возбуждение родия α -частицами изучалось в работах [9, 16], а возбуждение протонами — в работе [17].

Энергии возбужденных уровней Rh, по данным [16], равны 295 и 357 keV, а по данным [17] — 305 и 365 keV. Такие уровни найдены и в работе [18], в которой изучался захват орбитальных электронов ядром Pd¹⁰³.

В наших опытах мишенью служил родиевый диск толщиной $\sim 0,35$ мм. Мы наблюдали γ -линии с энергиями 295 и 358 keV и не наблюдали линии с энергией 440 keV, о которой сообщалось в работе [17]. Это подтверждает предположение авторов работы [17] о том, что γ -линия с энергией

keV получается не за счет кулоновского возбуждения Rh (авторы указанной работы приписывают эту линию результату ядерной реакции с Na^{23}).
Ag. Кулоновское возбуждение серебра протонами и α -частицами изучалось в работах [10, 16, 17, 18]. У каждого из двух изотопов серебра — ^{107}Ag и ^{109}Ag — обнаружено по два ранее не известных уровня, энергия которых, по данным работы [16], составляет 318 и 413 keV у Ag^{107} и 318 и 400 keV у Ag^{109} .

Так как процентное содержание обоих изотопов серебра почти одинаково, то при работе с мишенью из природного серебра следует ожидать спектров $E_\gamma = 312$ и 407 keV. На опыте, по данным работы [17], в этом случае были получены значения $E_\gamma = 325$ и 427 keV, а по энергиям конвекционных электронов [12] — значения $E_\gamma = 320$ и 420 keV.

В нашей работе использована мишень из серебряной фольги толщиной 100 μ . Мы получили $E_\gamma = 310$ и 409 keV.

Cd. Природный кадмий состоит из большого числа изотопов. В работах [10, 16] кулоновское возбуждение кадмия протонами и α -частицами детально исследовалось с применением топочески обогащенных мишеней.

В нашей работе мишенью служила кадмиевая фольга толщиной 0,4 мм. В спектре кулоновского возбуждения мы обнаружили три γ -линии. Мы не наблюдали γ -линий с энергией 420 и 500 keV, о которых сообщалось в работе [10].

Как и в предыдущих случаях, это подтверждает высказанное в работе [10] предположение,

что эти γ -линии обязаны своим происхождением ядерным реакциям, а не кулоновскому возбуждению. Из сопоставления наших данных с данными указанных работ следует, что наблюдаемую нами линию с энергией 297 keV следует приписать Cd^{113} , линию с энергией ~ 325 keV — Cd^{111} и линию с энергией 543 keV — Cd^{114} (возможно, что некоторая доля квантов с такой же энергией получается за счет Cd^{113}).

In¹¹⁵. Кулоновское возбуждение индия протонами изучалось в работах [9, 10]. В обеих работах обнаружен уровень с энергией ~ 500 keV.

В нашей работе мишенью служила индиевая фольга толщиной 80 μ на медной подложке толщиной 80 μ . На рис. 7 представлен спектр кулоновского возбуждения индия ионами азота, снятый при наличии соответствующего смещающего напряжения в амплитудном анализаторе. Наблюдается γ -линия с энергией 562 keV, линии же с энергией 500 keV. Поэтому последнюю, по-видимому, следует приписать ядерным реакциям. Отметим, что, по данным о β -распаде Cd^{115} , в ядре In^{115} имеется возбужденный уровень с энергией 595 keV [20].

Pb¹²⁷. Кулоновское возбуждение иода α -частицами изучалось в работе [10]. Возбуждение протонами — в работе [10]. Были найдены γ -линии с энергиями 57 и 200 keV, которые известны также по данным о β -распаде. Опасаясь ядерных реакций с калием, авторы работы [10] пользовались в качестве мишени не иодистым калием, а иодистым свинцом. Последнее вещество очень летуче даже при низких температурах, что мешало авторам указанной работы вычислить сечение кулоновского возбуждения иода. В нашей работе мишенью служил диск из KJ толщиной 50 мг см^{-2} , напессованный на медную подложку толщиной 0,5 мм. Результаты измерений даны на рис. 8. В контрольных опытах с KCl обнаружено отсутствие кулоновского возбуждения калия.

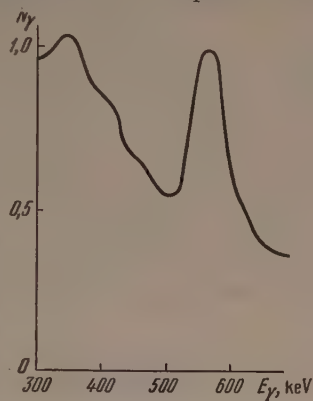


Рис. 7. γ -Спектр при кулоновском возбуждении индия

Ta¹⁸¹. Кулоновское возбуждение тантала протонами и α -частицами изучалось в ряде работ [9, 16, 17, 21, 22, 23].

В нашей работе мишенью служила танталовая фольга толщиной 110 мкм. Результаты измерений показаны на рис. 9. Пик А соответствует рентгеновскому К-излучению тантала с энергией 57,2 keV (по нашим данным $E = 57$ keV). На основании графиков, приведенных в работе [22], можно вычислить отношение $(I_K/I_\gamma)_\Pi$ — отношение числа рентгеновских К-квантов, возникающих за счет ионизации

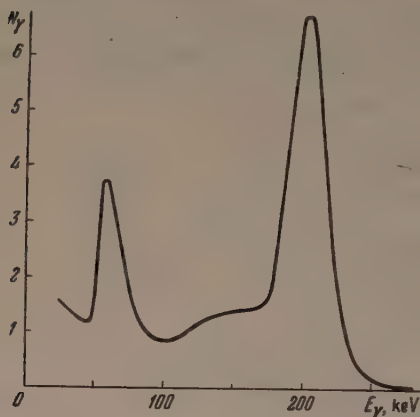


Рис. 8. γ -Спектр при кулоновском возбуждении иода

атомов тантала протонами с энергией 2,1 MeV, к числу γ -квантов энергией 137 keV, связанных с кулоновским возбуждением тантала; это отношение равно 12,4. Поэтому, согласно расчету, указанному в введении части этой статьи, следует ожидать, что в наших опытах мы получим

$$(I_K/I_\gamma)_\alpha = \frac{12,4}{15} \approx 0,83.$$

Приблизительно такая величина была найдена — мы получили в опыте $\sim 0,65$ (это значение найдено после вычитания из общего числа К-квантов той части, которая связана с процессом внутренней конверсии на К-оболочке при переходе с ΔE

на $\Delta E = 137$ keV). Полученный результат подтверждает теорию Хеннеберга, в которой основывался расчет в работе [1].

Пик В соответствует возбуждению первого уровня Ta¹⁸¹ с $\Delta E = 137$ keV. Этот уровень известен по данным о β -распаде. Спин основного с

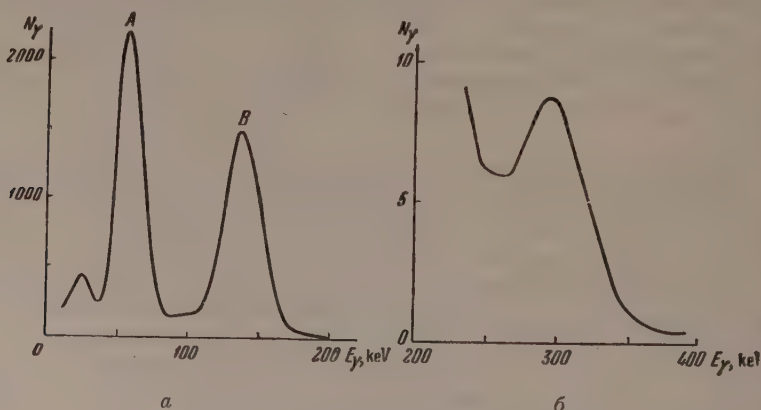


Рис. 9. γ -Спектр при кулоновском возбуждении тантала

стояния Ta¹⁸¹ равен 7/2. Если указанный возбужденный уровень является первым ротационным уровнем, то он должен иметь спин 9/2, а второй ротационный уровень Ta¹⁸¹ — спин 11/2; для этого второго уровня, согласно теории ротационных уровней,

$$\Delta E = 137 \frac{20}{9} \approx 304 \text{ keV}.$$

Действительно, в работе [22] были обнаружены γ -лучи с энергией 303 keV. Такой уровень ранее не был известен.

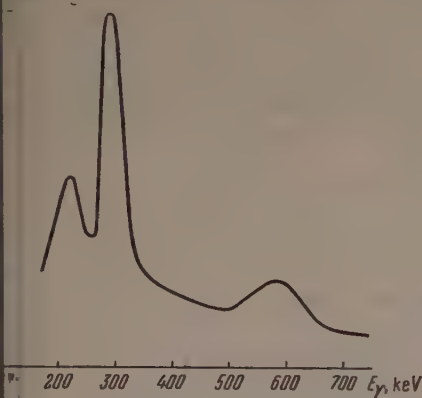
Вероятность возбуждения второго уровня Ta¹⁸¹ значительно уступает вероятности возбуждения его первого уровня. Это связано как с те

приведенная вероятность перехода на второй уровень в 4 раза меньше, а для перехода на первый уровень, так и с тем, что функция $f_2(\xi)$ быстро падает с увеличением ξ . Кроме того, относительная вероятность кулоновского возбуждения ионами азота (по сравнению со случаем возбуждения ионами) падает с увеличением энергии возбуждаемого уровня. Тем не менее, вводя соответствующее смещающее напряжение в амплитудный анализатор, легко можно было наблюдать γ -лучи с энергией 301 ± 9 keV (рис. 9,б).

W. Изучение кулоновского возбуждения вольфрама с использованием стохастически обогащенных мишеней [24] показало, что имеются уровни с $E = 101, 112$ и 124 keV, принадлежащие соответственно W^{182} , W^{184} и W^{186} , и уровень с $\Delta E = 103$ keV, принадлежащий W^{183} .

В нашей работе облучался природный вольфрам в виде диска толщиной 25μ на медной подложке толщиной 80μ . Наблюдался широкий пик с энергией 112 keV. Форма пика указывает на то, что он состоит из нескольких неразрешенных пиков.

Au¹⁹⁷. Кулоновское возбуждение золота α -частицами изучалось в работах [25, 18], возбуждение протонами — в работах [17, 23, 26]. Наблюдались линии с энергией $191, 277$ и 550 keV. Из сравнения с данными о распаде следует, что γ -кванты с энергией 191 keV излучаются при касковом переходе с уровня, для которого $\Delta E = 268$ keV, а γ -кванты с



10. γ -Спектр при кулоновском возбуждении золота

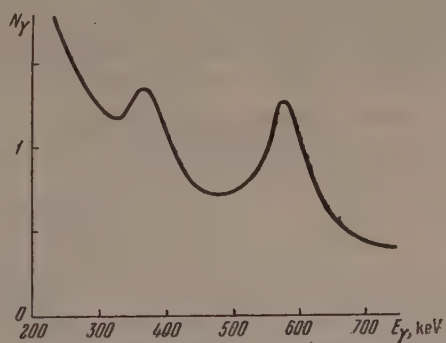


Рис. 11. γ -Спектр при кулоновском возбуждении свинца

энергией 277 keV — при переходе с уровня, для которого $\Delta E = 277$ keV. Линия с энергией 550 keV соответствует возбуждению ранее неизвестного уровня Au¹⁹⁷.

В наших опытах в качестве мишени была использована золотая фольга толщиной 100μ . Результаты измерений представлены на рис. 10. Спектр наблюдался при наличии смещающего напряжения, так что отсутствует линия спектра, связанная с испусканием характеристических рентгеновских лучей золота.

Pb. До последнего времени, в связи с тем, что энергия применявшихся бомбардировки частиц была недостаточно высока, не удавалось наблюдать кулоновское возбуждение свинца. Лишь недавно, при использовании протонов с энергией до 5 MeV, в свинце были возбуждены уровни с $E = 570$ и 810 keV [17]. Первый из них, на основании данных о β -распаде, приписывается Pb²⁰⁷; второй, согласно результатам облучения стохастически обогащенной мишени, приписан Pb²⁰⁶.

В нашей работе γ -спектр свинца исследовался в области энергий до 1000 keV. Мишенью служила свинцовая фольга толщиной 45μ на медной подложке толщиной 80μ . Результаты измерений Pb представлены на рис. 11. Наблюдается γ -линия с энергией 580 keV.

Как видно из рассмотрения полученных нами данных, γ -спектры ядер с $Z_2 \geq 9$ при бомбардировке ионами азота содержат только γ -линии, связанные с кулоновским возбуждением; никаких γ -линий, которые следовало бы приписать ядерным реакциям, мы не наблюдали.

Имеются некоторые указания на то, что при бомбардировке мишеней тяжелыми ионами ядерные реакции могут идти не только путем образования составного ядра, в которое налетающая частица входит целиком, но и за счет развала этой частицы на α -частицы, протоны и нейтроны из которых одна или несколько частиц проникают в ядро мишени [27]. В последнем случае порог реакции будет значительно ниже, чем это следует из величины кулоновского барьера, вычисленной для бомбардирующего ядра в целом. Возможно, что если для кулоновского возбуждения ядер воспользоваться ионами азота с более высокой энергией, чем в нашем случае, этот «шрапнельный эффект» начнет существенно сказываться, и тогда преимущества работы с тяжелыми ионами будут утрачены. Выяснение вопроса о допустимой верхней границе энергии применяемых тяжелых частиц в зависимости от зарядового числа ядер мишени требует отдельного экспериментального исследования.

В работах по кулоновскому возбуждению ядер протонами или α -частицами часто возникали помехи из-за наличия даже весьма слабых примесей легких элементов к исследуемым более тяжелым элементам. Это связано с тем, что при исследовании последних использовались частицы с большими энергиями, так как можно было не опасаться ядерных реакций; однако на ядрах примеси ядерные реакции могли иметь место. В нашей работе, несмотря на то, что мы не принимали мер к специальной очистке веществ, взятых для изготовления мишеней, не оказалось никаких помех, которые можно было бы приписать примесям.

Ленинградский физико-технический институт
Академии наук СССР

Цитированная литература

1. Гринберг А., Лемберг И., ЖЭТФ, 30, 807 (1956).
2. Hill D., Phys. Rev., 93, 923 (1954).
3. Тер-Мартirosян К., ЖЭТФ, 22, 284 (1952).
4. Alder K., Winther A., Phys. Rev., 91, 1578 (1953).
5. Sherr R., Li C., Christy R., Phys. Rev., 96, 1258 (1954).
6. Temmer G., Heydenburg N., Phys. Rev., 96, 426 (1954).
7. Temmer G., Heydenburg N., Phys. Rev., 98, 1198 (X5) (1955).
8. Овчинников В., Немиллов Ю., Александрова М., Ломоносов И., см. настоящий номер журнала, стр. 1417.
9. Temmer G., Heydenburg N., Phys. Rev., 93, 351 (1954).
10. Mark H., McClellan C., Goodman C., Phys. Rev., 98, 1245 (1955).
11. Hausman H., Allen A., Arthur J., Bender R., McDole C., Phys. Rev., 88, 1296 (1952).
12. Bernstein E., Lewis H., Phys. Rev., 99, 617 (CA7) (1955).
13. Heydenburg N., Temmer G., Phys. Rev., 99, 617 (CA 10) (1955).
14. Temmer G., Heydenburg N., Phys. Rev., 100, 961 (M9) (1955).
15. Huber O., Medicus H., Preiswerk P., Steffen K., Phys. Rev., 73, 1211 (1948).
16. Heydenburg N., Temmer G., Phys. Rev., 95, 3, 861 (1954).
17. Stelson P., McGowan F., Phys. Rev., 99, 112 (1955).
18. Huus T., Lundén A., Phil. Mag., 45, 966 (1954).
19. Temmer G., Heydenburg N., Phys. Rev., 98, 1308 (1955).
20. Varma J., Mandeville C., Phys. Rev., 97, 977 (1955).
21. Rietjens L., Bold H., Endt P., Physica, 20, 107 (1954).
22. Huus T., Zupančič C., Mat.-fys. Meddelelson, 28, 1 (1953).
23. Goldburg W., Williamson R., Phys. Rev., 95, 767 (1954).
24. McClellan C., Mark H., Goodman C., Phys. Rev., 93, 904 (1954).
25. Heydenburg N., Temmer G., Phys. Rev., 93, 906 (1954).
26. Cook C., Class M., Eisinger J., Phys. Rev., 96, 658 (1954).
27. Chackett K., Fremlin J., Walker D., Phil. Mag., 45, 173 (1954).

А. З. ДОЛГИНОВ и И. Н. ТОПТЫГИН

ВЛИЯНИЕ РАСПРЕДЕЛЕНИЯ ЗАРЯДА В ЯДРЕ
НА УГЛОВУЮ КОРРЕЛЯЦИЮ ПРИ β -РАСПАДЕ

Введение

Несмотря на то, что накоплен огромный материал, относящийся к спектрам, до сих пор не удалось однозначно установить вид β -взаимодействия. Дело в том, что форма разрешенных β -спектров не зависит от варианта теории, а запрещенные спектры трудно интерпретировать. Характер β -взаимодействия можно определить, исследуя угловое распределение ядер отдачи (β - γ -корреляция). Угловое распределение в этом случае анизотропно для разрешенных переходов и чувствительно к виду взаимодействия. Исследование β - γ -корреляции [1, 2] позволило установить, что β -взаимодействие является линейной комбинацией тензорного и, по всей вероятности, скалярного варианта. Однако эти опыты не могут дать сведений об относительном знаке скалярного S и тензорного взаимодействия, так как формулы содержат только квадраты матричных элементов. Псевдоскалярное взаимодействие P вовсе не дает вклада при разрешенных переходах.

Угловая корреляция между β -частицей и последующим γ -квантом отсутствует для разрешенных переходов. Для переходов первого запрещения корреляция чувствительна к варианту теории и позволяет полностью определить характер β -взаимодействия. Однако необходимость из сравнения опытом определить несколько неизвестных матричных элементов предъявляет повышенные требования к точности опытов.

Теория угловой β - γ -корреляции дана в ряде работ [3—7]. В работе [3] получены формулы угловой β - γ -корреляции для линейной комбинации вариантов теории, но использовано предположение о том, что волновая функция β -частицы внутри ядра равна своему значению на поверхности ядра. Это приводит к заметным ошибкам. Например, для ядра ^{170}Lu наши формулы, не содержащие такого предположения, дают величину угловой корреляции, которая на $\sim 50\%$ отличается от результатов [8, 9].

Релятивистская волновая функция β -частицы в поле точечного заряда стремится к ∞ при $r \rightarrow 0$. Ее значение на границе ядра заметно отличается от истинного, которое гораздо лучше можно определить путем сшивания внутреннего решения для электрона в поле размазанного положительного заряда с внешним решением. При этом волновая функция внутри ядра при $r \rightarrow 0$ стремится к 0, а не к ∞ .

Одним из авторов настоящей работы получены явные выражения угловой β - γ -корреляции [10] и β - γ -корреляции [5] с учетом конечности длин волн электрона для отдельных вариантов теории.

Так как опытные данные можно объяснить только при помощи линейной комбинации различных вариантов, то мы обобщили здесь результаты [5, 10] на интересующий нас случай.

Рассмотрены два крайних случая — случай заряда, равномерно распределенного по объему ядра, и случай поверхностного заряда. Оказалось, что угловая β - γ -корреляция для этих двух случаев может отли-

чаться на $\sim 20\%$ эффекта. Если менять предполагаемый радиус ядра то угловая корреляция также меняется, и неточность радиуса может маскировать характер распределения заряда.

Предположение о постоянстве волновой функции электрона внутри ядра приводит к ошибкам также при вычислении формы β -спектра. На это впервые было указано Л. А. Сливом [11], который произвел точный расчет для отдельных вариантов теории, предполагая объемное или поверхностное распределение заряда в ядре. Позднее этот вопрос рассматривался также в работах [12—14].

1. Формулы угловой корреляции при β -распаде

Методом, который использован в работах [5, 10], производится расчет угловой β - ν - и β - γ -корреляции. Вне области ядра берем релятивистскую волновую функцию электрона в кулоновском поле точечного заряда с определенным значением импульса на бесконечности, которая построена в [15]:

$$\psi_{p\nu} = \sum_{j\mu\lambda} i^{j-\lambda+2\nu} C_{1m\frac{1}{2}\nu}^{j\mu} Y_{1m\frac{1}{2}\nu}^* \text{Im}(\partial_p \varphi_p) \psi_{j\mu\lambda} e^{-i\delta_{j\lambda}}, \quad (1)$$

где

$$\delta_{j\lambda} = \eta_{j\lambda} - \arg \Gamma(\gamma_j + i\alpha ZE/p) - \frac{\pi}{2}(\gamma_j - j + \lambda); \quad (2)$$

$$\exp[2i\eta_{j\lambda}] = \left[(i\alpha Z/p) - 2\lambda \left(j + \frac{1}{2} \right) \right] / (\gamma_j + i\alpha ZE/p), \quad (3)$$

$$\gamma_j = \pm \sqrt{\left(j + \frac{1}{2} \right)^2 - (\alpha Z)^2}; \quad \hbar = c = m = 1;$$

здесь E, p — энергия и импульс электрона, q — импульс нейтрино, $\psi_{j\mu\lambda}$ — биспинорная волновая функция [16] с определенным значением полного, j и орбитального $l = j + \lambda$ угловых моментов. Радиальные части $\omega_{j\mu\lambda}$, соответствующие двум возможным знакам γ_j , обозначим через $F_{j\lambda}^{\pm}$ и $G_{j\lambda}^{\pm}$. Внутри ядра решения с отрицательными γ_j не удовлетворяют граничным условиям в начале координат. Радиальные части внутренней волновой функции обозначим через $f_{j\lambda}$ и $g_{j\lambda}$. Выражения $f_{j\lambda}$ и $g_{j\lambda}$ будут разными для случаев поверхностного и объемного распределения заряда ядра. Коэффициенты сшивания внешнего и внутреннего решений войдут в формулу угловой корреляции. Обозначим их через $A_{j\lambda}$ [11]:

$$A_{j\lambda} = N_{j\lambda} (F_{j\lambda}^- G_{j\lambda}^+ - F_{j\lambda}^+ G_{j\lambda}^-) / (F_{j\lambda}^- g_{j\lambda} - G_{j\lambda}^- f_{j\lambda}), \quad (4)$$

где

$$N_{j\lambda} = \{ 1 - 2C_{j\lambda} \cos(\delta_{j\lambda}^+ - \delta_{j\lambda}^-) + C_{j\lambda}^2 \}^{-\frac{1}{2}} \quad (5)$$

и

$$C_{j\lambda} = (f_{j\lambda} G_{j\lambda}^+ - g_{j\lambda} F_{j\lambda}^+) / (f_{j\lambda} G_{j\lambda}^- - g_{j\lambda} F_{j\lambda}^-). \quad (6)$$

Здесь $\delta_{j\lambda}^{\pm}$ — фазы (2), соответствующие двум знакам γ_j . Значения $F_{j\lambda}^{\pm}$, $G_{j\lambda}^{\pm}$, $f_{j\lambda}$ и $g_{j\lambda}$ в (4) надо брать на границе ядра. В формулы угловой корреляции войдут не $\delta_{j\lambda}^{\pm}$ по отдельности, а $\Delta_{j\lambda}$, определяемое формулой

$$\text{tg } \Delta_{j\lambda} = (\sin \delta_{j\lambda}^+ - C_{j\lambda} \sin \delta_{j\lambda}^-) / (\cos \delta_{j\lambda}^+ - C_{j\lambda} \cos \delta_{j\lambda}^-). \quad (7)$$

Угловая корреляция между β -частицей и нейтрино для переходов

вого порядка запрещения будет иметь вид:

$$W(\vartheta) = \sum_{n=0}^2 \sum_{i \leq k} [Re(M_i M_k^*)] c_{ik}^{(n)} P_n(\cos \vartheta), \quad (8)$$

Re означает вещественную часть, M_i и M_k — матричные элементы перехода, явный вид которых приведен в табл. 1. В (8) уже исполнено требование инвариантности при обращении во времени и сдвиги между матричными элементами выбраны таким образом, чтобы удовлетворить этому требованию. Величины $c_{ik}^{(n)}$ — функции от энергии β -частицы и от заряда ядра, различные для различных вариантов теории. Явный вид приведен в табл. 2. Коэффициенты $c_{ik}^{(n)}$ вычислены для линейных комбинаций STP и VT . Так как опытные данные противоречат предположению об аксиально-векторном варианте, то он здесь не рассматривается.

При $Z = 0$ наши формулы переходят в формулы борновского приближения, а при $Z \gg A^{1/3} E_{\text{MeV}}$ (где E_{MeV} — полная энергия электрона в MeV) сильно от них отличаются. Например, для чистого скалярного варианта при $Z = 0$ имеем

$$W(\vartheta) = (p^2 + q^2 + 2pq \cos \vartheta) [(1 - p/E) \cos \vartheta],$$

при $Z \gg A^{1/3} E_{\text{MeV}}$

$$W(\vartheta) \approx 1 + (p/3E) \cos \vartheta. \quad (9)$$

Для векторного варианта при $Z \gg A^{1/3} E_{\text{MeV}}$ получим

$$W(\vartheta) \approx 1 - (p/3E) \cos \vartheta.$$

Аналогичный результат имеет место для всех других вариантов теории β -распада.

В работе [10] показано, что если даже учитывать конечность длины волны электрона (в поле сферического ядра), то вид угловой β — γ -корреляции для разрешенных переходов не будет зависеть от Z .

Выражение угловой β — γ -корреляции для переходов первого запрещения может быть представлено в виде

$$W(\vartheta) = \sum_{n=0,2} \sum_{I \leq I' \leq k} [Re(M_{Ii} M_{I'k}^*)] U_{II'}^n c_{ik}^{nII'} B_n P_n(\cos \vartheta), \quad (10)$$

$$U_{II'}^n = U(I j_1 n j_2; j_2 I') = \sqrt{(2j_2 + 1)(2I' + 1)} W(I j_1 n j_2; j_2 I'), \quad (11)$$

$W(I j_1 n j_2; j_2 I')$ — функция Рака. Величины $c_{ik}^{nII'}$ для STP - и VT -вариантов теории приведены в табл. 3; $j_1 \xrightarrow{\beta} j_2 \xrightarrow{\gamma} j_3$ — моменты трех уровней ядра, участвующих в переходе. B_n относится к γ -переходу и в случае испускания γ -кванта мультипольности 2^L и имеет вид:

$$B_n = \left[1 - \frac{n(n+1)}{2L(L+1)} \right] U(L j_3 n j_2; j_2 L) C_{L0n0}^{L0}. \quad (12)$$

Для случая смешанного магнитного излучения мультипольности 2^L электрического излучения мультипольности 2^{L+1} получим

$$B_n = B_n^{(L)} + |a|^2 B_n^{(L+1)} \pm 2a \sqrt{\frac{2L+3}{L+2}} U(L 1 n L; L L + 1) U(j_2 j_3 n L + 1; L j_2) C_{L0n0}^{L0}, \quad (13)$$

$B_n^{(L)}$ совпадает с (12), а $B_n^{(L+1)}$ отличается от $B_n^{(L)}$ заменой L на

$L + 1$; $|a|^2$ — отношение интенсивностей электрического и магнитного излучения, $a = \pm |a|$, так как сдвиг фаз между матричными элементами электрического и магнитного переходов может быть 0 или π .

Если нас интересует корреляция β -частицы с конверсионным электроном, то в (10) вместе с B_n надо ввести дополнительный множитель, который приведен, например, в [17] (см. также [18]).

Если наблюдаемый γ -квант не следует прямо за β -распадом, а ему предшествует в общем каскаде еще один или несколько квантов, направленных которых не определяется опытом, то в выражение (10) надо ввести множитель Q_n , который равен [19]

$$Q_n = \prod_{k=3}^{N-1} U(j_k L_k n j_{k-1}; j_{k-1} j_k), \quad (1)$$

где переход $j_{N-1} \rightarrow j_N$ сопровождается испусканием наблюдаемого γ -кванта; L_k — мультипольности γ -квантов, испускаемых при переходах ядра из состояния с моментом j_{k-1} в состояние с моментом j_k . Если в промежуточных переходах испускается смешанное излучение, то складываются интенсивности, так как интерференционные члены выпадают.

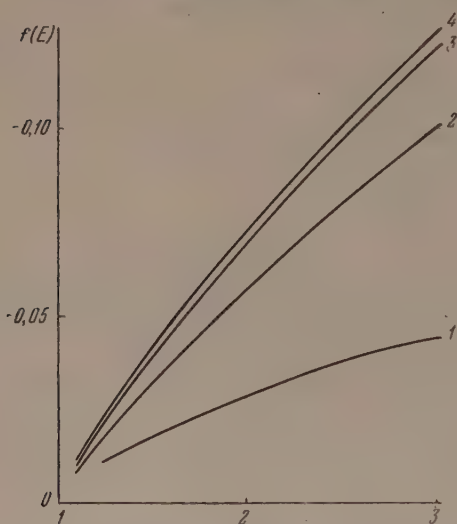


Рис. 1. Вид множителя $f(E)$ для ядра с $Z = 71$ и $A = 170$

Для иллюстрации той роли, какую играет правильный учет поведения волновой функции электрона внутри ядра, рассмотрим угловую $\beta - \gamma$ -корреляцию при $Z = 71$ и $A = 170$. Взаимодействие электрона с кулоновским полем не зависит от величины ядерных матричных элементов. Поэтому для оценки эффекта достаточно рассмотреть угловую зависимость при одном из матричных элементов.

Представляя $W(\vartheta)$ в виде $\text{const} [1 + f(E)P_2(\cos \vartheta)]$ и опуская в $W(\vartheta)$ все члены, кроме относящихся к матричному элементу M_3 , получим для $f(E)$ кривые, которые даны на рис. 1. Кривые 2 и 4 соответствуют случаю равномерного объемного распределения заряда для радиусов ядра R

$= 1,2 \cdot 10^{-13} A^{1/2}$ см и $R = 1,5 \cdot 10^{-13} A^{1/2}$ см, а кривая 3 — случаю поверхностного заряда и $R = 1,2 \cdot 10^{-13} A^{1/2}$ см. Наши кривые отличаются на $\sim 50\%$ от кривой 1, которая построена по формулам работы [6] для радиуса ядра $R = 1,2 \cdot 10^{-13} A^{1/2}$ см, где волновая функция электрона предполагалась постоянной внутри ядра. Для несферических ядер орбитальный момент электрона не является интегралом движения. Однако длина волны β -частицы много больше размеров ядра, поэтому вклад состояний с большими l , чем те, которые уже учтены в формулах, пренебрежимо мал. Влияние несферичности на состояния с $l = 0$ и $l = 1$ будет различно, что может несколько изменить угловое распределение. Однако основную часть этого изменения можно учесть, слегка изменив эффективный радиус ядра.

Если оставить в формуле (8) только один член с $n = 0$ и умножить ее на $(2j_2 + 1)q^2 \times / (2j_1 + 1)108 \pi^3$ (значения \times для объемного и поверхностного распределения заряда даны в табл. 2), то получим выражение для β -спектра для STP- или VT-взаимодействия.

Таблица 1

Матричные элементы

$$M_{Ii} = \int \psi_{j_2 m_2}^* \tau O_i^I \psi_{j_1 m_1} d\mathbf{r};$$

$$O_1^0 = g_s C_1 r \beta Y_{1M}; \quad O_2^0 = g_T C_0 r \beta (\vec{\sigma} \cdot \mathbf{Y}_{00}^1);$$

$$O_3^1 = g_T C_1 r \beta (\vec{\sigma} \cdot \mathbf{Y}_{1M}^0); \quad O_4^2 = g_T C_2 r \beta (\vec{\sigma} \cdot \mathbf{Y}_{2M}^{-1});$$

$$O_5^1 = i g_T C_1 \beta (\vec{\alpha} \cdot \mathbf{Y}_{1M}^{-1}); \quad O_6^1 = g_V C_1 r Y_{1M};$$

$$O_7^1 = i g_V C_1 (\vec{\alpha} \cdot \mathbf{Y}_{1M}^{-1}); \quad O_8^0 = i g_P C_0 \beta \gamma_5 Y_{00};$$

$\psi_{j_2 m_2}$ и $\psi_{j_1 m_1}$ — волновые функции начального и конечного состояния ядра, τ — оператор, действующий на переменные изотопического спина, g — постоянные β -взаимодействия, β , γ_5 , $\vec{\sigma}$ и $\vec{\alpha}$ — матрицы Дирака, $\mathbf{Y}_{1M}^{\lambda}$ — ша-
ховой вектор:

$$(\vec{\sigma} \cdot \mathbf{Y}_{1M}^{\lambda}(\vartheta, \varphi)) = - \sum_{\nu=-1}^1 C_{I+\lambda M+\nu, 1-\nu}^{IM} \sigma_{-\nu} Y_{I+\lambda M+\nu}(\vartheta, \varphi); \quad (15)$$

$$C_I \equiv [C_{IM j_2 m_2}^{j_1 m_1}]^{-1}; \quad \sigma_0 = \sigma_z, \quad \sigma_{\pm 1} = \pm 2^{-\frac{1}{2}} (\sigma_x \pm i \sigma_y),$$

$C_{IM j_2 m_2}^{j_1 m_1}$ — коэффициент Клебша — Жордана.

Таблица 2

$$c_{11}^{(0)}(q) = c_{66}^{(0)}(-q) = 3a_1^+ q^2 - 2a_2^+ q + 2a_4^+ + a_5^+;$$

$$c_{22}^{(0)} = 3(a_1^+ q^2 - 2a_2^+ q + a_5^+); \quad c_{33}^{(0)} = 3a_1^+ q^2 + 4a_2^+ q + a_4^+ + 2a_5^+;$$

$$c_{44}^{(0)} = 3(a_1^+ q^2 + a_4^+); \quad c_{55}^{(0)} = c_{77}^{(0)} = c_{88}^{(0)} = 27a_1^+; \quad c_{13}^{(0)} = 2\sqrt{2}(a_4^+ - a_5^+);$$

$$2c_{28}^{(0)}(q) = \sqrt{6}c_{15}^{(0)}(q) = \sqrt{6}c_{67}^{(0)}(-q) = -\sqrt{3}c_{35}^{(0)}(-q) = -18\sqrt{2}(a_1^+ q - a_2^+);$$

$$c_{37}^{(0)} = -\sqrt{2}c_{56}^{(0)} = 6\sqrt{6}(a_1^- q + a_2^-); \quad c_{57}^{(0)} = -54a_1^-;$$

$$c_{36}^{(0)} = 2\sqrt{2}(2a_2^- q + a_4^- + a_5^-);$$

$$3c_{11}^{(1)}(q) = -3c_{66}^{(1)}(-q) = -18a_7 q^2 + 12(a_8^+ + a_9^+)q + 2a_{10} - 8a_{11}^+ - 4a_{12}^+;$$

$$c_{22}^{(1)} = -6(a_7 q^2 - 2a_8^+ q + a_{10}); \quad 5c_{44}^{(1)} = 6a_7 q^2 + 30a_9^+ q + 6a_{12};$$

$$3c_{33}^{(1)} = 18a_7 q^2 + 6(a_9^+ + 4a_8^+)q + 4a_{10} + 8a_{11}^+ - 2a_{12};$$

$$3c_{55}^{(1)} = -3c_{77}^{(1)} = -c_{88}^{(1)} = 54a_7; \quad c_{35}^{(1)} = -4\sqrt{6}(3a_7 q + a_8^+ + a_9^+);$$

$$3c_{13}^{(1)} = 4\sqrt{2}(3a_9^+ q - 6a_8^+ q + a_{11}^+ - a_{10} - a_{12});$$

$$c_{15}^{(1)}(q) = -c_{67}^{(1)}(-q) = 4\sqrt{3}(3a_7 q + a_8^+ - 2a_9^+);$$

$$c_{36}^{(1)} = 4\sqrt{2}(2a_8^- q + a_9^- q + a_{11}^-); \quad c_{56}^{(1)} = -4\sqrt{3}(a_8^- + 2a_9^-);$$

$$c_{37}^{(1)} = 4\sqrt{6}(a_9^- - a_8^-); \quad c_{28}^{(1)} = 36(a_7 q - a_8^+);$$

$$3c_{11}^{(2)} = -6c_{33}^{(2)} = -10c_{44}^{(2)} = -3c_{66}^{(2)} = -12a_3^+ q; \quad c_{36}^{(2)} = -4\sqrt{2}a_3^- q.$$

Все остальные $c_{ik}^{(n)}$ равны нулю.

Здесь и в дальнейшем $c_{ik}^{(n)}(-q)$ означает, что в соответствующем выражении q заменено на $-q$.

Для случая равномерного объемного распределения заряда величины a_i^\pm равны:

$$\begin{aligned} a_1^\pm &= \varphi_0 [(\varepsilon - 1) \beta_1 \pm (\varepsilon + 1) \beta_2]; \quad \varphi_0 = 1 - 11 (\kappa R)^2 / 75; \\ a_2^\pm &= \varphi_4 (\beta_1 \pm \beta_2) \kappa^2 - (3\alpha Z / 10R) [(\varepsilon - 1) \beta_1 \pm (\varepsilon + 1) \beta_2]; \\ &\quad \varphi_4 = 1 - 7 (\kappa R)^2 / 75; \\ a_3^\pm &= \varphi_5 (\beta_7 \pm \beta_8) \kappa^2; \quad \varphi_5 = 1 - 4 (\kappa R)^2 / 35; \\ a_4^\pm &= \varphi_2 [(\varepsilon - 1) \beta_3 \pm (\varepsilon + 1) \beta_4] \kappa^2; \quad \varphi_2 = 1 - 3 (\kappa R)^2 / 35; \\ a_5^\pm &= \varphi_1 [(\varepsilon + 1) \beta_1 \pm (\varepsilon - 1) \beta_2] \kappa^2 - (3\alpha Z / 5R) (\beta_1 \pm \beta_2) \kappa^2 + \\ &\quad + (3\alpha Z / 10R)^2 [(\varepsilon - 1) \beta_1 \pm (\varepsilon + 1) \beta_2]; \quad \varphi_1 = 1 - 2 (\kappa R)^2 / 35; \\ a_6^\pm &= \varphi_3 [(\varepsilon + 1) \beta_7 \pm (\varepsilon - 1) \beta_8] \kappa^2 - (3\alpha Z / 10R) (\beta_7 \pm \beta_8) \kappa^2; \\ a_7 &= \varphi_0 \beta_5 \kappa; \quad \varphi_3 = 1 - 12 (\kappa R)^2 / 175; \\ a_8^+ &= \varphi_4 \beta_5 \varepsilon \kappa - (3\alpha Z / 10R) \beta_5 \kappa; \quad a_8^- = \varphi_4 \beta_5 \kappa; \\ a_9^\pm &= \varphi_6 [(\varepsilon - 1) \beta_6 \pm (\varepsilon + 1) \beta_9] \kappa; \\ a_{10} &= \varphi_1 \beta_5 \kappa^3 - (3\alpha Z / 5R) \beta_5 \varepsilon \kappa + (3\alpha Z / 10R)^2 \beta_5 \kappa; \\ a_{11}^\pm &= \varphi_3 (\beta_6 \pm \beta_9) \kappa^3 - (3\alpha Z / 10R) [(\varepsilon - 1) \beta_6 \pm (\varepsilon + 1) \beta_9] \kappa; \\ a_{12} &= \varphi_2 \beta_{10} \kappa^3; \\ \varepsilon &= E + 3\alpha Z / 2R; \quad \kappa = (\varepsilon^2 - 1)^{1/2}. \end{aligned}$$

Для случая поверхностного распределения заряда величины a_i^\pm равны

$$\begin{aligned} a_1^\pm &= \varphi_0 [(\varepsilon - 1) \beta_1 \pm (\varepsilon + 1) \beta_2]; \quad a_2^\pm = \varphi_2 (\beta_1 \pm \beta_2) \kappa^2; \\ a_3^\pm &= \varphi_2 (\beta_7 \pm \beta_8) \kappa^2; \quad a_4^\pm = \varphi_1 [(\varepsilon - 1) \beta_3 \pm (\varepsilon + 1) \beta_4] \kappa^2; \\ a_5^\pm &= \varphi_1 [(\varepsilon + 1) \beta_1 \pm (\varepsilon - 1) \beta_2] \kappa^2; \quad a_6^\pm = \varphi_1 [(\varepsilon + 1) \beta_7 \pm (\varepsilon - 1) \beta_8] \kappa^2; \\ a_7 &= \varphi_0 \beta_5 \kappa; \quad a_8^+ = \varphi_2 \beta_5 \varepsilon \kappa; \quad a_8^- = \varphi_2 \beta_5 \kappa; \\ a_9^\pm &= \varphi_2 [(\varepsilon - 1) \beta_6 \pm (\varepsilon + 1) \beta_9] \kappa; \quad a_{10} = \varphi_1 \beta_5 \kappa^3; \\ a_{11}^\pm &= \varphi_1 (\beta_6 \pm \beta_9) \kappa^3; \\ a_{12} &= \varphi_1 \beta_{10} \kappa^3; \quad \varphi_0 = 1 - (\kappa R)^2 / 5; \quad \varphi_1 = 1 - 3 (\kappa R)^2 / 25; \\ \varphi_2 &= 1 - 4 (\kappa R)^2 / 25; \quad \varepsilon = E + \alpha Z / R; \quad \kappa = (\varepsilon^2 - 1)^{1/2}. \end{aligned}$$

Величины β_i , входящие в a_i^\pm , определяются через коэффициенты спинового (4) и фазы (7):

$$\beta_1 = A_1^2 \frac{1}{2} \frac{1}{2}; \quad \beta_2 = A_1^2 \frac{1}{2} \frac{1}{2}; \quad \beta_3 = A_3^2 \frac{1}{2} \frac{1}{2}; \quad \beta_4 = A_3^2 \frac{1}{2} \frac{1}{2};$$

$$\beta_5 = A_{\frac{1}{2}, \frac{1}{2}} A_{\frac{1}{2}, \frac{1}{2}} \cos \left(\Delta_{\frac{1}{2}, \frac{1}{2}} - \Delta_{\frac{1}{2}, \frac{1}{2}} \right);$$

$$\beta_6 = A_{\frac{1}{2}, \frac{1}{2}} A_{\frac{3}{2}, \frac{1}{2}} \cos \left(\Delta_{\frac{1}{2}, \frac{1}{2}} - \Delta_{\frac{3}{2}, \frac{1}{2}} \right);$$

$$\beta_7 = A_{\frac{1}{2}, \frac{1}{2}} A_{\frac{3}{2}, \frac{1}{2}} \cos \left(\Delta_{\frac{1}{2}, \frac{1}{2}} - \Delta_{\frac{3}{2}, \frac{1}{2}} \right);$$

$$\beta_8 = A_{\frac{1}{2}, \frac{1}{2}} A_{\frac{3}{2}, \frac{1}{2}} \cos \left(\Delta_{\frac{1}{2}, \frac{1}{2}} - \Delta_{\frac{3}{2}, \frac{1}{2}} \right);$$

$$\beta_9 = A_{\frac{1}{2}, \frac{1}{2}} A_{\frac{3}{2}, \frac{1}{2}} \cos \left(\Delta_{\frac{1}{2}, \frac{1}{2}} - \Delta_{\frac{3}{2}, \frac{1}{2}} \right);$$

$$\beta_{10} = A_{\frac{3}{2}, \frac{1}{2}} A_{\frac{3}{2}, \frac{1}{2}} \cos \left(\Delta_{\frac{3}{2}, \frac{1}{2}} - \Delta_{\frac{3}{2}, \frac{1}{2}} \right).$$

Для случая $(\alpha Z)^2 \ll 1$ и $(\alpha Z)^2 \ll p^2$ можно получить простые выражения для β_i :

$$\beta_1 = p(E-1)/\kappa(\varepsilon-1); \quad \beta_2 = p(E+1)/\kappa(\varepsilon+1); \quad \beta_3 = (p/\kappa)^3 \beta_1;$$

$$\beta_4 = (p/\kappa)^3 \beta_2; \quad \beta_5 = (p/\kappa)^2; \quad \beta_6 = (p/\kappa)^2 \beta_1 \cos \omega; \quad \beta_{10} = (p/\kappa)^4;$$

$$\beta_7 = \beta_8 = (p/\kappa)^3 \cos \omega; \quad \beta_9 = (p/\kappa)^2 \beta_2 \cos \omega; \quad \omega = \arctg \frac{\alpha Z E}{p};$$

$$\varphi_k = 1.$$

Таблица 3

Величины $c_{ik}^{0II'}$ равны величинам $c_{ik}^{(0)}$ из табл. 2.

$$c_{66}^{211}(-q) = -\sqrt{5} c_{34}^{212}(-q) = 3\sqrt{10}(2a_3^+ q - a_4^+ - 2a_6^+);$$

$$c_{44}^{222} = -3\sqrt{7} a_4^+; \quad \sqrt{2} c_{33}^{211} = \sqrt{5}(4a_3^+ q - a_4^+ + 4a_6^+);$$

$$c_{15}^{211} = 3c_{67}^{211} = \sqrt{15} c_{48}^{202} = \sqrt{10} c_{45}^{212} = 3\sqrt{2} c_{35}^{211} = -18\sqrt{30} a_3^+;$$

$$c_{24}^{202} = 6\sqrt{2}(a_3^+ q - a_6^+); \quad c_{13}^{211} = 2\sqrt{5}(3a_3^+ q - a_4^+ + a_6^+);$$

$$c_{14}^{212} = 6(a_3^+ q + a_4^+ - a_6^+); \quad 3c_{36}^{211} = -\sqrt{5} c_{46}^{212} = -6\sqrt{5}(a_3^- q + a_4^- + a_6^-);$$

$$c_{56}^{211} = 3\sqrt{2} c_{37}^{211} = \sqrt{10} c_{47}^{212} = 18\sqrt{30} a_3^-.$$

Все остальные $c_{ik}^{nII'}$ равны нулю.

2. Сравнение с опытом и выбор ядра, подходящего для изучения угловой β — γ -корреляции

Основным требованием при выборе подходящего объекта для изучения угловой β — γ -корреляции является возможность наиболее однозначной интерпретации опытных фактов. Так как вариант теории β -распада не проверен, то не имеет большого смысла производить эти опыты с целью выделения угловых моментов ядра. Желательно использовать ядра, для которых угловые моменты и четности уровней известны с целью уточнения теории β -распада.

Если величина изменения момента ядра на единицу больше, чем порядок запрещения, то дает вклад лишь один матричный элемент. Угловая корреляция перестает зависеть от вида линейной комбинации вариантов распада и поэтому не представляет большого интереса. Если Δj на единицу

меньше, чем порядок запрещения, то в линейную комбинацию вариантов вносит вклад псевдоскалярный вариант. Если же стоит вопрос об отнормированном знаке S - и T -взаимодействия, то следует выбирать переходы для которых Δj равно порядку запрещения. В этом случае формулы (1) и (2) держат наименьшее число неизвестных матричных элементов.

Когда начальное и конечное состояние ядра хорошо описывается моделью ядерных оболочек, можно теоретически определить отношения между матричными элементами. Для выяснения знака S - и T -вариантов достаточно иметь хотя бы грубую (но с правильным знаком) оценку этих отношений.

Рассмотрим с этой точки зрения несколько ядер, которые, по-видимому, более других подходят для изучения.

1. Переход In_{49}^{117} из изомерного состояния на возбужденный 0,161 МеВ уровень Sn_{50}^{117} является переходом первого запрещения с $\Delta j = 1$.

Можно ожидать, что β -распад In^{117} связан с однонуклонным переходом, так как наблюдаемые характеристики уровней согласуются с предсказаниями модели оболочек [20]. Изомерный уровень In^{117} соответствует $p_{1/2}$ -, а возбужденный уровень Sn^{117} — $d_{3/2}$ -состоянию. Переход на основной $s_{1/2}$ -уровень сопровождается магнитным дипольным излучением.

2. β -Распад основного состояния Ba_{56}^{139} на возбужденный 0,163 МеВ уровень La_{57}^{139} также является переходом первого порядка запрещения [21] с $\Delta j = 1$. В Ba^{139} имеется один нейтрон сверх замкнутой оболочки в состоянии $f_{7/2}$. При β -распаде этот нейтрон превращается в протон и попадает на $d_{3/2}$ -уровень. Переход из $d_{3/2}$ на основное состояние $g_{7/2}$ сопровождается магнитным дипольным излучением.

3. Ядро Ce^{141} , так же как и Ba^{139} , имеет один нейтрон сверх замкнутой оболочки. Нейтрон из $f_{7/2}$ -состояния переходит на возбужденный 0,145 МеВ уровень Pr^{141} . Переход $g_{7/2} \rightarrow d_{3/2}$ в основное состояние Pr сопровождается магнитным дипольным излучением [22]. В отличие от Ba^{139} протонное $g_{7/2}$ состояние Pr^{141} лежит выше, чем $d_{3/2}$. Это не противоречит модели оболочек, так как уровни $g_{7/2}$ и $d_{3/2}$ лежат близко и могут пересекаться. Ce^{141} распадается с $\Delta j = 0$, что, вообще говоря, позволяет найти долю псевдоскалярного взаимодействия, но, вместе с тем, значительно усложняет интерпретацию опытов, так как вместо одного неизвестного отношения g_S/g_T и трех отношений матричных элементов войдут два неизвестных отношения g_S/g_T и g_P/g_T и пять отношений матричных элементов.

Имеется еще несколько ядер, например Hg^{203} [23—25], Tl^{208} [26—28], которые также, по-видимому, удовлетворяют поставленным требованиям.

Если угловая $\beta - \gamma$ -корреляция для таких ядер, как In^{147} , Ba^{139} и Ce^{141} , будет изучена хотя бы с той точностью, которая уже достигнута в технике корреляционных измерений, то можно будет, вероятно, однозначно интерпретировать опыты, определяя отношения матричных элементов при помощи модели оболочек.

Из числа экспериментально изученных случаев более других интересен Tl^{170} , так как для него известны моменты уровней, а β -распад является распадом первого запрещения при $\Delta j = 1$.

Для отношений величин M_i введем обозначения:

$$x = M_1/M_3; (\alpha Z/2R) y = M_5/M_3; u = M_4/M_3$$

(x представляет собой произведение отношения g_S/g_T на отношение матричных элементов). Требование инвариантности при отражении во времени приводит к такому выбору фаз матричных элементов, при которых величины x, y, u вещественны. Угловые моменты $\beta - \gamma$ -перехода Tl^{170} согласно [29, 30], равны $1^- \rightarrow 2^+ \rightarrow 0^+$. Экспериментальные точки [

уговой β — γ -корреляции для Tu^{170} приведены на рис. 2. На оси ординат отложены значения величины $a(E)$, которая входит в формулу (10), или ее записать в виде

$$W(\vartheta) = 1 + a(E) \cos^2 \vartheta.$$

Не делая никаких предположений о матричных элементах ядра, мы определили область значений x и y (при вещественном u), для которой угловая корреляция не выходит за пределы разброса опытных точек. Эта область ограничена кривой II на рис. 3. Если же сузить разброс опытных точек и ограничиться точками выше кривой I на рис. 2, область допустимых значений x, y сильно сузится (кривая I на рис. 3).

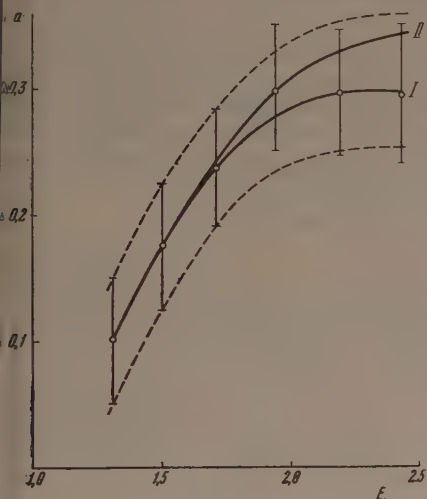


Рис. 2

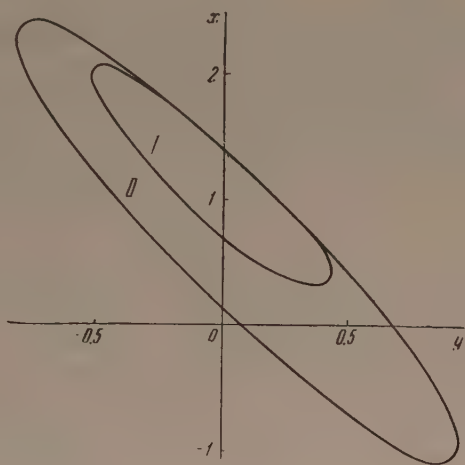


Рис. 3

рис. 2. Опытные точки угловой β — γ -корреляции для ядра Tu^{170} по данным работы [29]

рис. 3. Область допустимых значений параметров для ядра Tu^{170} . Кривая II ограничивает область значений x и y , при которых значения множителя $a(E)$ лежат внутри разброса опытных точек, кривая I соответствует значениям x и y , при которых $a(E)$ лежит выше кривой I рис. 2

в этом случае $x > 0$ при любом y , и для определения знака g_s/g_T достаточно установить только знак отношения матричных элементов. Нет серьезных оснований предполагать однонуклонный β -переход Tu^{170} . Если, однако, для грубой оценки сделать такое предположение и использовать результаты [31] для вычисления отношения матричных элементов, то в случае перехода $p_{1/2} \rightarrow s_{1/2}$ (на что указано в [30]), сравнение с опытом дает $g_s/g_T < 0$, если же предположить $p_{1/2} \rightarrow s_{3/2}$, то $g_s/g_T > 0$.

Ленинградский физико-технический институт
Академии наук СССР

Цитированная литература

- Rustad B., Ruby S., Phys. Rev., **89**, 880 (1953).
 Maxson D., Allen J., Jentscke W., Phys. Rev., **97**, 109 (1955).
 Долгинов А., ЖЭТФ, **20**, 636 (1950).
 Falkoff D., Uhlenbeck G., Phys. Rev., **79**, 334 (1950).
 Долгинов А., ЖЭТФ, **22**, 668 (1952).
 Yamada M., Morita M., Progr. Theor. Phys., **8**, 431 (1952).
 Morita M., Progr. Theor. Phys., **10**, 363, (1953).
 Morita M., Yamada M., Progr. Theor. Phys., **11**, 219 (1954).
 Kato Y., Morita M., Progr. Theor. Phys., **13**, 276 (1955).
 Долгинов А., ЖЭТФ, **22**, 658 (1952).

11. Слив Л., ЖЭТФ, **17**, 1049 (1947).
 12. Rose M., Holmes D., Phys. Rev., **83**, 190 (1951).
 13. Yamada M., Progr. Theor. Phys., **10**, 241 (1953).
 14. Malcolm I., Phil. Mag., **43**, 1011 (1952).
 15. Берестецкий В., Долгинов А., Тер-Мартirosян К., ЖЭТФ, **20**, 527 (1950).
 16. Rose M., Phys. Rev., **51**, 484 (1937).
 17. Biedenharn L., Rose M., Rev. Mod. Phys., **25**, 729 (1953).
 18. Долгинов А., Изв. АН СССР, Серия физич., **17**, 332 (1952).
 19. Долгинов А., ЖЭТФ, **23**, 493 (1952).
 20. McGinnis C., Phys. Rev., **97**, 93 (1955).
 21. Mitchell A., Hebb E., Phys. Rev., **95**, 727 (1954).
 22. Jones J., Jensen F., Phys. Rev., **97**, 1031 (1955).
 23. Thulin S., Nybö K., Ark. Pys., **7**, 289 (1953).
 24. Wapstra A., Macder D., Nijgh G., Ornstein L., Physica, **20**, 16 (1954).
 25. Marty N., C. R., **240**, 291 (1955).
 26. Elliot L., Graham R., Walker J., Wolfson J., Phys. Rev., **93**, 356 (1954).
 27. Feather N., Kyles J., Pringle R., Proc. Phys. Soc., **61**, 466 (1948).
 28. Martin D., Richardson H., Hsu Y., Proc. Phys. Soc., A **61**, 466 (1948).
 29. Rose H., Phil. Mag., **43**, 1146 (1952).
 30. Richmond R., Rose H., Phil. Mag., **43**, 367 (1952).
 31. Rose M., Osborn R., Phys. Rev., **93**, 1326 (1954).
-

И. М. БАНД, Л. Н. ЗЫРЯНОВА и ЦИН ЧЕН-ЖУЙ

ЧИСЛЕННЫЕ ЗНАЧЕНИЯ ФУНКЦИЙ ДЛЯ K -ЭЛЕКТРОНОВ,
ОПРЕДЕЛЯЮЩИХ ВЕРОЯТНОСТЬ РАЗРЕШЕННОГО
И ЗАПРЕЩЕННОГО K -ЗАХВАТА

Анализ экспериментальных данных по K -захвату ядер требует знания коэффициентов, зависящих от волновых функций захваченного электрона. Ниже приведены численные значения этих коэффициентов, найденные с учетом влияния конечных размеров ядра и экранирования на волновые функции K -электронов.

1. Волновые функции K -электронов

Волновые функции s -состояния, использованные в данной работе, найдены методом численного интегрирования уравнения Дирака для потенциала, учитывающего присутствие орбитальных электронов и конечные размеры ядра. Атомный потенциал был взят как решение уравнения Шредингера — Ферми — Дирака для статистического атома по методу Рейт — Метрополиса [1]. Эффект конечных размеров учтен по методу Сли — [2] для случая равномерного распределения протонов в объеме ядра, при этом R принимался равным

$$R = 1,2 \cdot 10^{-13} A^{1/3} \text{ см.}$$

В табл. 1 приведены полученные таким путем значения волновых функций K -электронов на границе ядра: даны G_K и F_K — большая и малая

Таблица 1

Значения волновых функций K -электронов на границе ядра

Z	$U_0 = \sqrt{2R}$	E_K	G_{KR}	F_{KR}
25	0,1540	0,98723	0,0019973	—0,00014624
33	0,16050	0,97671	0,0035224	—0,00023658
41	0,16677	0,96271	0,0057705	—0,00069685
49	0,17378	0,94502	0,0088587	—0,0013835
57	0,17940	0,92335	0,013126	—0,0022225
61	0,18110	0,91091	0,015671	—0,0028470
65	0,18353	0,89733	0,018771	—0,0036441
69	0,18544	0,88256	0,022306	—0,0046106
73	0,18747	0,86651	0,026476	—0,0058081
77	0,18963	0,84911	0,031377	—0,0072850
81	0,19132	0,83025	0,037058	—0,0090834
84	0,19280	0,81509	0,042007	—0,010708
88	0,19457	0,79342	0,049543	—0,013282
92	0,19623	0,76993	0,058385	—0,016432
95	0,19746	0,75103	0,066053	—0,019258
98	0,19865	0,73092	0,074714	—0,022547

компоненты волновой функции s -состояния для ряда значений Z , а также — теоретическое значение энергии связи K -электронов, и параметр $= \sqrt{2R}$.

2. Значения функции f_K

В случае разрешенных переходов в вероятность K -захвата входит функция

$$f_K = \frac{\pi}{2} G_K^2 (E_0 + E_K)^2, \quad (1)$$

где E_0 — энергия перехода в единицах $m_0 c^2$, E_K — энергия связи K -электрона в тех же единицах.

В большинстве имеющихся работ по K -захвату атомное электрическое поле считается чисто кулоновским полем ядра. В соответствии с этим в качестве функции G_K используются релятивистские волновые функции водородоподобного атома. Формула для f_K для чисто кулоновского поля имеет вид [3]:

$$f_K^{\text{кул}} = 2\pi (\alpha Z)^{2\gamma+1} (2R)^{2\gamma-2} e^{-2\alpha Z R} \frac{\gamma+1}{\Gamma(2\gamma+1)} (E_0 + E_K)^2, \quad (2)$$

где

$$\gamma = \sqrt{1 - \alpha^2 Z^2}.$$

В работе Слетэра [4] был дан приближенный метод учета экранирующего действия орбитальных электронов для волновых функций связанных состояний. В применении к K -захвату этот метод сводится к замене в формуле (2) на величину $Z_K = Z - 0,35$. Численные расчеты функции f_K для кулоновского поля с учетом экранирования по Слетэру проводились в работах [5—7]. Рассчитанные по Слетэру поправки на экранирование для K -электронов невелики: порядка 4% для элементов с $Z \approx 20$ и 1—2% для средних и тяжелых элементов. По этой причине более точные расчеты поправки на экранирование K -электронов [8, 9] с релятивистскими волновыми функциями, полученными Рейтцем [10] для статистического атома Томаса — Ферми — Дирака, показали согласие с расчетами по методу Слетэра в пределах 1%.

Учет конечных размеров ядра для K -захвата по модели равномерного заряженного шара проводился в работе Рапопорта [11], где было найдено, что для разрешенных переходов поправка на конечные размеры ядра имеет величину около 3% для элементов в районе $Z = 80$ и еще меньшую величину для более легких элементов. В работе Мэлькольма и Стрэген [12] поправки на конечные размеры найдены для поверхностного распределения протонов в ядре. Для случая $Z = 80$ поправка оказалась равной 14%.

В данной работе при вычислениях f_K были использованы волновые функции K -электронов, приведенные в табл. 1.

Значения волновых функций взяты на границе ядра радиуса

$$R = 1,2 \cdot 10^{-13} A^{1/3} \text{ см.}$$

Рассчитанные по формуле (1) значения f_K приведены в табл. 2 для Z от 5 до 98.

Для нахождения влияния эффектов экранирования и конечных размеров ядра на вероятность разрешенного K -захвата было найдено отношение функции f_K , приведенной в табл. 2, к значениям f_K для чисто кулоновского поля. Это отношение, представляющее собой поправку на экранирование и конечные размеры ядра для разрешенного K -захвата изображено на рис. 1 в зависимости от Z .

Поправка имеет величину около 15% для тяжелых элементов и равна 1% при $Z = 25$. Так как при $Z < 25$ расчеты волновых функций K -электронов не проводились, то значения f_K при $Z < 25$ были найдены

Таблица 2

Значения функции f_K

E.				
-0,80	-0,50	-0,30	0,00	0,25
1,020·10 ⁻⁵	6,389·10 ⁻⁵	1,253·10 ⁻⁴	2,558·10 ⁻⁴	3,997·10 ⁻⁴
1,823·10 ⁻⁵	1,433·10 ⁻⁴	2,243·10 ⁻⁴	4,579·10 ⁻⁴	7,156·10 ⁻⁴
2,963·10 ⁻⁵	1,861·10 ⁻⁴	3,651·10 ⁻⁴	7,455·10 ⁻⁴	1,128·10 ⁻³
4,514·10 ⁻⁵	2,838·10 ⁻⁴	5,569·10 ⁻⁴	1,136·10 ⁻³	1,778·10 ⁻³
6,515·10 ⁻⁵	4,107·10 ⁻⁴	8,082·10 ⁻⁴	1,647·10 ⁻³	2,575·10 ⁻³
9,070·10 ⁻⁵	5,728·10 ⁻⁴	1,125·10 ⁻³	2,299·10 ⁻³	3,594·10 ⁻³
1,220·10 ⁻⁴	7,726·10 ⁻⁴	1,518·10 ⁻³	3,103·10 ⁻³	4,852·10 ⁻³
1,599·10 ⁻⁴	1,015·10 ⁻³	1,995·10 ⁻³	4,081·10 ⁻³	6,383·10 ⁻³
2,051·10 ⁻⁴	1,306·10 ⁻³	2,570·10 ⁻³	5,258·10 ⁻³	8,227·10 ⁻³
2,582·10 ⁻⁴	1,650·10 ⁻³	3,247·10 ⁻³	6,647·10 ⁻³	0,01040
3,198·10 ⁻⁴	2,050·10 ⁻³	4,037·10 ⁻³	8,270·10 ⁻³	0,01294
3,910·10 ⁻⁴	2,516·10 ⁻³	4,960·10 ⁻³	0,01016	0,01592
4,717·10 ⁻⁴	3,048·10 ⁻³	6,013·10 ⁻³	0,01233	0,01931
5,633·10 ⁻⁴	3,658·10 ⁻³	7,224·10 ⁻³	0,01482	0,02322
6,663·10 ⁻⁴	4,351·10 ⁻³	8,597·10 ⁻³	0,01765	0,02766
7,803·10 ⁻⁴	5,122·10 ⁻³	0,01013	0,02081	0,03263
9,082·10 ⁻⁴	5,994·10 ⁻³	0,01187	0,02441	0,03828
1,049·10 ⁻³	6,966·10 ⁻³	0,01381	0,02842	0,04457
1,205·10 ⁻³	8,049·10 ⁻³	0,01597	0,03291	0,05164
1,374·10 ⁻³	9,238·10 ⁻³	0,01836	0,03785	0,05941
1,562·10 ⁻³	0,01058	0,02105	0,04343	0,06821
1,772·10 ⁻³	0,01209	0,02409	0,04977	0,07820
1,991·10 ⁻³	0,01369	0,02731	0,05647	0,08879
2,238·10 ⁻³	0,01552	0,03101	0,06419	0,1010
2,484·10 ⁻³	0,01737	0,03476	0,07204	0,1134
2,773·10 ⁻³	0,01957	0,03922	0,08139	0,1282
3,045·10 ⁻³	0,02170	0,04357	0,09052	0,1426
3,351·10 ⁻³	0,02412	0,04849	0,01009	0,1590
3,673·10 ⁻³	0,02671	0,05383	0,1121	0,1770
4,012·10 ⁻³	0,02951	0,05959	0,1243	0,1962
4,376·10 ⁻³	0,03257	0,06588	0,1376	0,2174
4,759·10 ⁻³	0,03585	0,07266	0,1520	0,2402
5,188·10 ⁻³	0,03957	0,08038	0,1684	0,2664
5,607·10 ⁻³	0,04335	0,08826	0,1853	0,2933
6,102·10 ⁻³	0,04785	0,09768	0,2054	0,3253
6,622·10 ⁻³	0,05266	0,1078	0,2269	0,3598
7,168·10 ⁻³	0,05794	0,1188	0,2508	0,3979
7,715·10 ⁻³	0,06330	0,1302	0,2751	0,4369
8,257·10 ⁻³	0,06892	0,1421	0,3010	0,4783
8,833·10 ⁻³	0,07505	0,1552	0,3293	0,5239
9,388·10 ⁻³	0,08119	0,1683	0,3580	0,5700
9,892·10 ⁻³	0,08724	0,1814	0,3867	0,6166
0,01042	0,09377	0,1957	0,4179	0,6669
0,01094	0,1005	0,2104	0,4504	0,7192
0,01141	0,1072	0,2251	0,4832	0,7727
0,01192	0,1145	0,2412	0,5189	0,8325
0,01245	0,1226	0,2593	0,5593	0,8955
0,01294	0,1307	0,2775	0,5999	0,9627
0,01349	0,1399	0,2982	0,6464	1,038
0,01406	0,1500	0,3207	0,6973	1,121
0,01465	0,1610	0,3456	0,7535	1,213
0,01530	0,1736	0,3745	0,8187	1,320
0,01602	0,1877	0,4066	0,8918	1,440
0,01657	0,2009	0,4370	0,9610	1,555
0,01706	0,2146	0,4691	1,035	1,676
0,01748	0,2284	0,5017	1,111	1,802
0,01782	0,2428	0,5362	1,190	1,939
0,01808	0,2590	0,5755	1,284	2,089
0,01837	0,2753	0,6149	1,377	2,243
0,01841	0,2911	0,6540	1,470	2,399
0,01881	0,3094	0,6981	1,574	2,572
0,01849	0,3265	0,7425	1,682	2,755

Таблица 2 (продолжение)

Z	E.				
	-0,80	-0,50	-0,30	0,00	0,25
67	0,01856	0,3473	0,7945	1,807	2,965
68	0,01832	0,3664	0,8439	1,928	3,170
69	0,01801	0,3866	0,8966	2,058	3,389
70	0,01772	0,4096	0,9562	2,204	3,637
71	0,01723	0,4325	1,017	2,356	3,895
72	0,01662	0,4570	1,083	2,521	4,177
73	0,01577	0,4789	1,144	2,677	4,445
74	0,01503	0,5056	1,217	2,862	4,761
75	0,01395	0,5316	1,292	3,054	5,092
76	0,01274	0,5559	1,363	3,241	5,417
77	0,01154	0,5829	1,442	3,449	5,778
78	0,01033	0,6142	1,534	3,688	6,194
79	9,323·10 ⁻³	0,6448	1,623	3,923	6,601
80	7,520·10 ⁻³	0,6716	1,711	4,165	7,031
81	5,893·10 ⁻³	0,7072	1,811	4,439	7,515
82	4,409·10 ⁻³	0,7288	1,901	4,691	7,964
83	3,097·10 ⁻³	0,7605	2,007	4,990	8,495
84	1,826·10 ⁻³	0,7963	2,128	5,329	9,098
85	8,162·10 ⁻⁴	0,8320	2,254	5,687	9,742
86	1,891·10 ⁻⁴	0,8657	2,376	6,043	10,38
87		0,8953	2,494	6,394	11,02
88		0,9263	2,620	6,773	11,71
89		0,9611	2,761	7,202	12,50
90		0,9934	2,905	7,649	13,32
91		1,023	3,046	8,101	14,17
92		1,052	3,189	8,560	15,03
93		1,085	3,357	9,111	16,05
94		1,112	3,513	9,634	17,04
95		1,136	3,668	10,17	18,07
96		1,171	3,863	10,83	19,31
97		1,189	4,028	11,44	20,50
98		1,201	4,182	12,03	21,67

Z	E.				
	0,50	0,75	1,00	1,25	1,50
5	5,576·10 ⁻⁴	7,836·10 ⁻⁴	1,024·10 ⁻³	1,295·10 ⁻³	1,599·10 ⁻³
6	1,031·10 ⁻³	1,403·10 ⁻³	1,833·10 ⁻³	2,320·10 ⁻³	2,864·10 ⁻³
7	1,679·10 ⁻³	2,285·10 ⁻³	2,985·10 ⁻³	3,778·10 ⁻³	4,664·10 ⁻³
8	2,561·10 ⁻³	3,487·10 ⁻³	4,555·10 ⁻³	5,765·10 ⁻³	7,118·10 ⁻³
9	3,710·10 ⁻³	5,052·10 ⁻³	6,598·10 ⁻³	8,353·10 ⁻³	0,01031
10	5,179·10 ⁻³	7,052·10 ⁻³	9,211·10 ⁻³	0,01166	0,01440
11	6,993·10 ⁻³	9,521·10 ⁻³	0,01244	0,01575	0,01945
12	9,198·10 ⁻³	0,01252	0,01637	0,02072	0,02559
13	0,01186	0,01615	0,02110	0,02671	0,03299
14	0,01499	0,02042	0,02669	0,03378	0,04172
15	0,01866	0,02542	0,03322	0,04207	0,05195
16	0,02295	0,03126	0,04085	0,05173	0,06389
17	0,02785	0,03794	0,04960	0,06281	0,07759
18	0,03349	0,04564	0,05967	0,07557	0,09336
19	0,03991	0,05440	0,07112	0,09009	0,1113
20	0,04707	0,06418	0,08391	0,1063	0,1313
21	0,05524	0,07531	0,09849	0,1248	0,1542
22	0,06436	0,08777	0,1148	0,1454	0,1797
23	0,07457	0,1017	0,1330	0,1686	0,2073
24	0,08584	0,1171	0,1532	0,1941	0,2400

Таблица 2 (продолжение)

Z	E ₀				
	0,50	0,75	1,00	1,25	1,50
25	0,1052	0,1345	0,1760	0,2230	0,2757
26	0,1130	0,1543	0,2019	0,2559	0,3163
27	0,1284	0,1752	0,2294	0,2908	0,3595
28	0,1460	0,1994	0,2611	0,3310	0,4092
29	0,1641	0,2240	0,2934	0,3721	0,4600
30	0,1855	0,2534	0,3319	0,4209	0,5205
31	0,2065	0,2822	0,3696	0,4689	0,5799
32	0,2303	0,3148	0,4125	0,5233	0,6474
33	0,2563	0,3504	0,4592	0,5827	0,7209
34	0,2844	0,3890	0,5099	0,6471	0,8007
35	0,3152	0,4314	0,5656	0,7179	0,8885
36	0,3487	0,4771	0,6257	0,7944	0,9833
37	0,3868	0,5294	0,6945	0,8820	1,092
38	0,4258	0,5832	0,7653	0,9721	1,203
39	0,4728	0,6478	0,8502	1,080	1,337
40	0,5232	0,7170	0,9411	1,196	1,481
41	0,5789	0,7936	1,042	1,324	1,641
42	0,6359	0,8722	1,146	1,457	1,805
43	0,6967	0,9560	1,256	1,597	1,979
44	0,7635	1,048	1,378	1,752	2,171
45	0,8312	1,141	1,500	1,909	2,367
46	0,8993	1,236	1,625	2,068	2,564
47	0,9739	1,338	1,761	2,241	2,780
48	1,051	1,445	1,903	2,422	3,004
49	1,130	1,554	2,046	2,606	3,233
50	1,215	1,674	2,203	2,808	3,483
51	1,312	1,807	2,381	3,034	3,767
52	1,410	1,943	2,562	3,265	4,054
53	1,523	2,100	2,769	3,530	4,384
54	1,646	2,270	2,995	3,820	4,745
55	1,782	2,460	3,246	4,142	5,147
56	1,940	2,680	3,539	4,517	5,614
57	2,118	2,928	3,868	4,938	6,139
58	2,290	3,166	4,184	5,345	6,641
59	2,470	3,419	4,520	5,775	7,185
60	2,657	3,680	4,868	6,223	7,744
61	2,859	3,962	5,243	6,698	8,343
62	3,088	4,282	5,671	7,255	9,033
63	3,319	4,606	6,103	7,810	9,728
64	3,556	4,938	6,546	8,382	10,44
65	3,814	5,300	7,030	9,003	11,21
66	4,091	5,691	7,553	9,679	12,07
67	4,410	6,136	8,149	10,45	13,03
68	4,718	6,572	8,733	11,20	13,98
69	5,050	7,042	9,363	12,02	15,00
70	5,426	7,572	10,07	12,94	16,15
71	5,819	8,128	10,82	13,90	17,36
72	6,248	8,735	11,64	14,96	18,69
73	6,658	9,317	12,42	15,97	19,97
74	7,142	10,00	13,35	17,17	21,47
75	7,650	10,73	14,32	18,43	23,06
76	8,150	11,44	15,28	19,68	24,64
77	8,706	12,23	16,36	21,08	26,40
78	9,346	13,14	17,59	22,68	28,42
79	9,973	14,03	18,75	24,24	30,39
80	10,64	15,00	20,10	25,95	32,55
81	11,40	16,08	21,57	27,87	34,97
82	12,10	17,09	22,95	28,95	37,24
83	12,93	18,29	24,57	31,79	39,93
84	13,87	19,65	26,42	34,21	43,00
85	14,88	21,10	28,41	36,81	46,28
86	15,89	22,56	30,40	39,41	49,58
87	16,90	23,03	32,41	42,05	52,93

Таблица 2 (продолжение)

Z	E.				
	0,50	0,75	1,00	1,25	1,50
88	18,00	25,63	34,61	44,93	56,60
89	19,24	27,44	37,09	48,19	60,73
90	20,08	29,37	39,74	51,67	65,17
91	21,91	31,34	42,46	55,26	69,74
92	23,29	33,37	45,24	58,93	74,43
93	24,95	35,80	48,60	63,36	80,07
94	26,55	38,16	51,87	67,68	85,59
95	28,22	40,63	55,80	72,20	91,37
96	30,24	43,60	59,41	77,65	98,33
97	32,19	46,49	63,44	82,99	105,2
98	34,12	49,39	67,47	88,37	112,1

Z	E.				
	1,75	2,00	2,30	2,70	3,00
5	$1,935 \cdot 10^{-3}$	$2,303 \cdot 10^{-3}$	$2,787 \cdot 10^{-3}$	$3,504 \cdot 10^{-3}$	$4,095 \cdot 10^{-3}$
6	$3,465 \cdot 10^{-3}$	$4,124 \cdot 10^{-3}$	$4,991 \cdot 10^{-3}$	$6,274 \cdot 10^{-3}$	$7,333 \cdot 10^{-3}$
7	$5,644 \cdot 10^{-3}$	$6,717 \cdot 10^{-3}$	$8,124 \cdot 10^{-3}$	0,01021	0,01194
8	$8,613 \cdot 10^{-3}$	0,01025	0,01240	0,01559	0,01823
9	0,01248	0,01485	0,01797	0,02260	0,02642
10	0,01742	0,02074	0,02510	0,03156	0,03688
11	0,02353	0,02801	0,03391	0,04260	0,04980
12	0,03096	0,03686	0,04459	0,05608	0,06556
13	0,03992	0,04751	0,05751	0,07232	0,08454
14	0,05050	0,06011	0,07277	0,09145	0,1069
15	0,06288	0,07485	0,09057	0,1139	0,1332
16	0,07733	0,09206	0,1114	0,1401	0,1638
17	0,09391	0,1118	0,1353	0,1702	0,1990
18	0,1130	0,1345	0,1629	0,2048	0,2394
19	0,1347	0,1604	0,1941	0,2442	0,2854
20	0,1590	0,1893	0,2292	0,2882	0,3371
21	0,1866	0,2222	0,2690	0,3383	0,3957
22	0,2176	0,2591	0,3138	0,3947	0,4613
23	0,2523	0,3004	0,3638	0,4576	0,5349
24	0,2906	0,3461	0,4189	0,5270	0,6165
25	0,3339	0,3977	0,4815	0,6059	0,7085
26	0,3831	0,4564	0,5527	0,6955	0,8133
27	0,4355	0,5187	0,6282	0,7906	0,9245
28	0,4958	0,5906	0,7154	0,9002	1,053
29	0,5573	0,6640	0,8040	1,012	1,184
30	0,6307	0,7514	0,9102	1,146	1,340
31	0,7027	0,8374	1,015	1,277	1,494
32	0,7846	0,9349	1,133	1,426	1,668
33	0,8736	1,041	1,262	1,589	1,858
34	0,9706	1,157	1,402	1,764	2,065
35	1,077	1,284	1,557	1,960	2,293
36	1,192	1,421	1,723	2,169	2,539
37	1,324	1,578	1,912	2,410	2,819
38	1,460	1,739	2,109	2,658	3,111
39	1,622	1,934	2,345	2,954	3,457
40	1,797	2,143	2,599	3,274	3,833
41	1,991	2,374	2,881	3,631	4,247
42	2,190	2,613	3,168	3,993	4,676
43	2,402	2,866	3,477	4,384	5,130
44	2,636	3,145	3,817	4,811	5,634
45	2,873	3,429	4,160	5,248	6,143

Таблица 2 (продолжение)

Z	E ₊				
	1,75	2,00	2,30	2,70	3,00
46	3,114	3,717	4,511	5,688	6,660
47	3,376	4,030	4,890	6,168	7,224
48	3,650	4,358	5,291	6,675	7,815
49	3,928	4,691	5,694	7,186	8,419
50	4,232	5,055	6,139	7,744	9,075
51	4,578	5,468	6,641	8,381	9,817
52	4,929	5,888	7,151	9,032	10,58
53	5,330	6,369	7,735	9,766	11,45
54	5,770	6,896	8,374	10,50	12,40
55	6,260	7,484	9,094	11,48	13,46
56	6,830	8,166	9,924	12,54	14,70
57	7,471	8,934	10,86	13,72	16,09
58	8,083	9,669	11,76	14,87	17,43
59	8,747	10,46	12,72	16,09	18,87
60	9,430	11,28	13,72	17,36	20,34
61	10,16	12,15	14,79	18,70	21,94
62	11,01	13,18	16,03	20,28	23,79
63	11,86	14,20	17,28	21,87	25,65
64	12,73	15,25	18,56	23,49	27,57
65	13,67	16,38	19,55	25,25	29,64
66	14,72	17,64	21,48	27,20	31,93
67	15,90	19,05	23,21	29,40	34,52
68	17,06	20,45	24,92	31,57	37,07
69	18,31	21,95	26,76	33,91	39,82
70	19,73	23,65	28,84	36,56	42,94
71	21,21	25,45	31,03	39,34	46,23
72	22,84	27,40	33,43	42,40	49,82
73	24,41	29,30	35,75	45,35	53,31
74	26,26	31,52	38,48	48,83	57,40
75	28,21	33,88	41,37	52,51	61,74
76	30,15	36,22	44,23	56,17	66,05
77	32,32	38,83	47,44	60,25	70,87
78	34,80	41,83	51,12	64,94	76,40
79	37,23	44,76	54,71	69,54	81,82
80	39,89	47,97	58,66	74,58	87,78
81	42,88	51,59	63,10	80,26	94,48
82	45,68	54,97	67,27	85,60	100,8
83	49,00	58,99	72,21	91,91	108,2
84	52,77	63,56	77,83	99,10	116,7
85	56,84	68,48	83,89	106,8	125,9
86	60,92	73,43	89,98	114,7	135,1
87	65,07	78,46	96,18	122,6	144,5
88	69,61	83,96	103,0	131,3	154,8
89	74,73	90,18	110,6	141,2	166,5
90	80,23	96,86	118,9	151,7	179,0
91	85,91	103,7	127,4	162,7	192,0
92	91,70	110,8	136,1	173,9	205,3
93	98,74	119,3	146,6	187,4	221,8
94	105,5	127,1	157,0	200,8	237,1
95	102,8	136,5	167,9	214,8	253,7
96	121,4	147,0	180,9	231,6	273,7
97	130,0	157,4	193,8	248,2	293,4
98	138,6	168,0	206,9	265,1	313,5

Таблица 2 (продолжение)

Z	E ₀				
	3,30	3,70	4,00	5,00	7,00
5	4,732·10 ⁻⁸	5,654·10 ⁻⁸	6,015·10 ⁻⁸	9,214·10 ⁻⁸	0,01638
6	8,474·10 ⁻⁸	0,01012	0,01146	0,01650	0,02934
7	0,01380	0,01649	0,01866	0,02687	0,04778
8	0,02106	0,02517	0,02848	0,04102	0,07292
9	0,03053	0,03648	0,04128	0,05946	0,1057
10	0,04263	0,05091	0,05762	0,08300	0,1476
11	0,05756	0,06878	0,07785	0,1121	0,1994
12	0,07577	0,09054	0,1024	0,1476	0,2624
13	0,09766	0,1167	0,1321	0,1902	0,3383
14	0,1236	0,1477	0,1671	0,2407	0,4281
15	0,1539	0,1839	0,2082	0,2998	0,5332
16	0,1893	0,2262	0,2560	0,3688	0,6559
17	0,2299	0,2748	0,3111	0,4480	0,7968
18	0,2768	0,3307	0,3744	0,5392	0,9593
19	0,3300	0,3943	0,4464	0,6430	1,144
20	0,3895	0,4656	0,5270	0,7594	1,351
21	0,4573	0,5467	0,6188	0,8915	1,586
22	0,5335	0,6375	0,7215	1,040	1,860
23	0,6186	0,7393	0,8369	1,206	2,146
24	0,7126	0,8518	0,9641	1,390	2,473
25	0,8191	0,9790	1,108	1,597	2,843
26	0,9402	1,124	1,272	1,834	3,264
27	1,065	1,278	1,447	2,085	3,712
28	1,217	1,455	1,648	2,375	4,228
29	1,369	1,636	1,853	2,672	4,757
30	1,550	1,852	2,098	3,024	5,386
31	1,728	2,065	2,339	3,373	6,006
32	1,929	2,307	2,612	3,768	6,709
33	2,149	2,570	2,910	4,197	7,477
34	2,389	2,857	3,235	4,666	8,312
35	2,651	3,171	3,592	5,181	9,232
36	2,936	3,512	3,977	5,738	10,23
37	3,263	3,902	4,419	6,376	11,37
38	3,598	4,304	4,876	7,035	12,54
39	4,000	4,787	5,422	7,825	13,95
40	4,435	5,305	6,010	8,674	15,47
41	4,915	5,881	6,662	9,616	17,15
42	5,412	6,473	7,334	10,59	18,89
43	5,939	7,105	8,051	11,63	20,74
44	6,520	7,800	8,840	12,77	22,78
45	7,110	8,512	9,643	13,93	24,86
46	7,709	9,227	10,46	15,11	26,97
47	8,364	10,01	11,35	16,39	29,27
48	9,047	10,83	12,28	17,74	31,68
49	9,743	11,67	13,23	19,11	34,13
50	10,50	12,58	14,26	20,61	36,82
51	11,37	13,62	15,44	22,32	39,88
52	12,25	14,68	16,63	24,06	42,99
53	13,26	15,88	18,01	26,05	46,55
54	14,36	17,21	19,51	28,22	50,46
55	15,60	18,68	21,19	30,66	54,83
56	17,03	20,41	23,14	33,49	59,90
57	18,64	22,34	25,33	36,69	65,62
58	20,21	24,21	27,47	39,76	71,10
59	21,86	26,20	29,72	43,04	77,05
60	23,59	28,29	32,07	46,45	83,19
61	25,43	30,49	34,59	50,12	89,77
62	27,59	33,08	37,53	54,39	97,44
63	29,74	35,67	40,47	58,66	105,1
64	31,97	38,35	43,52	63,09	113,1
65	34,37	41,24	46,80	67,86	121,7
66	37,04	44,45	50,44	73,16	131,2
67	40,05	48,06	54,54	79,13	142,0

Таблица 2 (продолжение)

	E.				
	3,30	3,70	4,00	5,00	7,00
3	43,02	51,63	58,60	85,04	152,6
9	46,22	55,48	62,98	91,42	164,2
0	49,84	59,84	67,94	98,44	177,2
1	53,66	64,44	73,17	106,3	190,9
2	57,84	69,47	78,89	114,6	206,0
3	61,90	74,35	84,44	122,7	220,6
4	66,66	80,08	90,96	132,2	237,8
5	71,71	86,17	97,89	142,3	256,1
6	76,74	92,24	104,8	152,4	274,3
7	82,35	98,99	112,4	163,7	294,7
8	88,78	106,8	121,3	176,6	318,1
9	95,10	114,3	129,9	189,2	340,9
0	102,0	122,7	139,5	203,2	366,3
1	109,9	132,2	150,2	218,9	394,9
2	117,2	141,0	160,4	233,7	421,8
3	125,9	151,5	172,3	251,3	453,6
4	135,8	163,5	186,0	271,2	489,9
5	146,5	176,4	200,7	292,8	529,1
6	157,3	189,4	215,5	314,6	568,7
7	168,3	202,7	230,6	336,8	609,1
8	180,3	217,3	247,2	361,1	653,5
9	193,9	233,7	266,0	388,7	703,8
0	208,5	251,4	286,2	418,4	758,0
1	223,7	269,8	307,1	449,2	814,3
2	239,2	288,6	328,6	480,8	871,8
3	258,1	311,3	354,6	519,1	942,0
4	276,5	333,7	380,1	556,8	1011
5	295,9	357,2	407,0	596,4	1083
6	319,2	385,5	439,4	643,8	1170
7	342,5	413,7	471,5	691,3	1257
8	366,0	442,1	504,0	739,6	1346

Значения функции $\frac{\pi}{2} G_K^2$

Таблица 3

$\frac{\pi}{2} G_K^2$	Z	$\frac{\pi}{2} G_K^2$	Z	$\frac{\pi}{2} G_K^2$	Z	$\frac{\pi}{2} G_K^2$
2,560·10 ⁻⁴	29	0,07465	53	0,7393	77	4,784
4,584·10 ⁻⁴	30	8,455	54	0,8020	78	5,169
7,467·10 ⁻⁴	31	9,431	55	0,8719	79	5,546
1,140·10 ⁻³	32	0,1054	56	0,9533	80	5,967
1,652·10 ⁻³	33	0,1175	57	1,045	81	6,440
2,307·10 ⁻³	34	0,1306	58	1,134	82	6,888
3,117·10 ⁻³	35	0,1452	59	1,229	83	7,417
4,102·10 ⁻³	36	0,1609	60	1,328	84	8,021
5,291·10 ⁻³	37	0,1789	61	1,434	85	8,675
6,695·10 ⁻³	38	0,1975	62	1,558	86	9,337
8,340·10 ⁻³	39	0,2198	63	1,683	87	10,02
0,01026	40	0,2438	64	1,812	88	10,76
0,01247	41	0,2705	65	1,951	89	11,61
0,01501	42	0,2980	66	2,106	90	12,52
0,01791	43	0,3274	67	2,281	91	13,47
0,02115	44	0,3598	68	2,454	92	14,45
0,02484	45	0,3928	69	2,642	93	15,63
0,02898	46	0,4264	70	2,854	94	16,80
0,03362	47	0,4631	71	3,079	95	18,03
0,03875	48	0,5015	72	3,325	96	19,51
0,04456	49	0,5407	73	3,565	97	21,00
0,05118	50	0,5836	74	3,847	98	22,52
0,05822	51	0,6325	75	4,148		
0,06334	52	0,6823	76	4,449		

формуле для кулоновского поля с учетом поправок на экранирование конечные размеры ядра по данным рис. 1.

Значения f_K в табл. 2 приведены для 20 значений энергии переходов

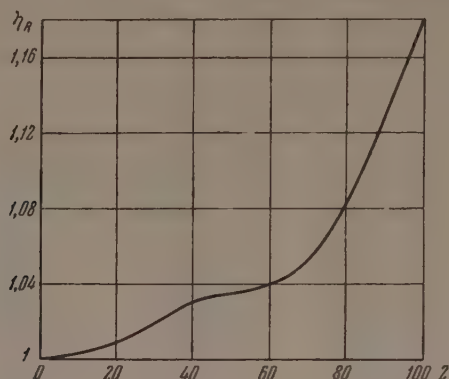


Рис. 1. Поправка на конечные размеры ядра и экранирование для разрешенного K -захвата

E_0 . Промежуточные значения функции f_K могут находиться путем интерполирования табличных данных. Характер поведения f_K в зависимости от энергии перехода показан на рис. 2.

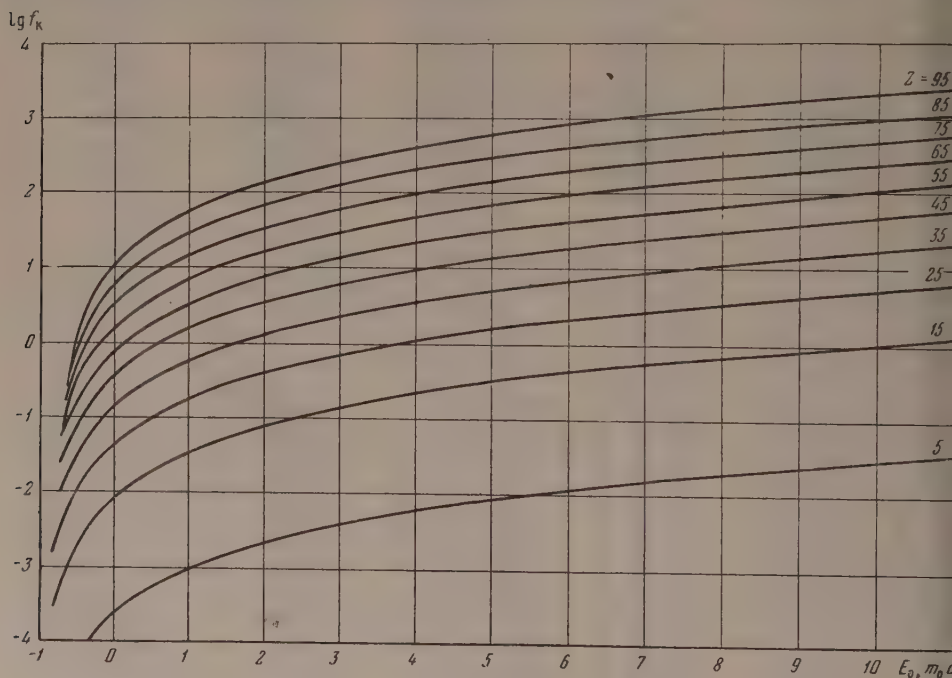


Рис. 2. Зависимость функции f_K от энергии перехода E_0

В тех областях, где функция изменяется круто, значения f_K можно находить по формуле (1).

Для ускорения расчетов в табл. 3 приведены значения функции $\frac{\pi}{2} G_K^2$. Для вычисления f_K значения, полученные из табл. 3, следует умножить на величину $(E_0 + E_K)^2$.

Функции, необходимые для вычисления вероятности запрещенного K -захвата

Вероятность запрещенного K -захвата, так же как вероятность β -распада, может быть записана через известный фактор запрещенного перехода S [13, 14], если использовать для K -захвата следующие коэффициенты, выражающиеся через волновые функции K -электрона:

$$\begin{aligned} L_0 &= G_K^2, & P_0 &= G_K^2, \\ M_0 &= R^{-2} F_K^2, & Q_0 &= -R^{-2} F_K^2, \\ N_0 &= R^{-1} G_K F_K, & R_0 &= R^{-1} G_K F_K. \end{aligned}$$

Таблица 4

Значения функций L_0 , M_0 и N_0 для K -захвата

Z	L_0	M_0	N_0	Z	L_0	M_0	N_0
5	$1,630 \cdot 10^{-4}$	$8,065 \cdot 10^{-4}$	$-3,626 \cdot 10^{-4}$	53	0,4706	51,96	-4,946
6	$2,918 \cdot 10^{-4}$	$1,831 \cdot 10^{-3}$	$-7,307 \cdot 10^{-4}$	54	0,5105	56,70	-5,380
7	$4,754 \cdot 10^{-4}$	$3,640 \cdot 10^{-3}$	$-1,315 \cdot 10^{-3}$	55	0,5550	61,01	-5,818
8	$7,256 \cdot 10^{-4}$	$6,597 \cdot 10^{-3}$	$-2,188 \cdot 10^{-3}$	56	0,6068	66,74	-6,363
9	$1,052 \cdot 10^{-3}$	0,01077	$-3,365 \cdot 10^{-3}$	57	0,6654	73,66	-7,001
10	$1,468 \cdot 10^{-3}$	0,01758	$-5,082 \cdot 10^{-3}$	58	0,7217	81,40	-7,666
11	$1,984 \cdot 10^{-3}$	0,02636	$-7,231 \cdot 10^{-3}$	59	0,7823	89,83	-8,387
12	$2,612 \cdot 10^{-3}$	0,03895	-0,01009	60	0,8455	100,4	-9,213
13	$3,368 \cdot 10^{-3}$	0,05585	-0,01372	61	0,9132	112,1	-10,12
14	$4,262 \cdot 10^{-3}$	0,07812	-0,01824	62	0,9920	122,8	-11,04
15	$5,310 \cdot 10^{-3}$	0,1066	-0,02380	63	1,071	135,1	-12,03
16	$6,533 \cdot 10^{-3}$	0,1399	-0,03024	64	1,154	148,8	-13,10
17	$7,937 \cdot 10^{-3}$	0,1856	-0,03838	65	1,242	165,0	-14,32
18	$9,557 \cdot 10^{-3}$	0,2406	-0,04794	66	1,341	181,2	-15,59
19	0,01140	0,3099	-0,05945	67	1,452	199,8	-17,04
20	0,01346	0,3826	-0,07177	68	1,563	220,2	-18,51
21	0,01581	0,4864	-0,08766	69	1,682	242,9	-20,21
22	0,01845	0,5977	-0,1050	70	1,817	266,8	-22,01
23	0,02140	0,7391	-0,1257	71	1,960	293,8	-23,99
24	0,02467	0,9002	-0,1356	72	2,117	320,9	-26,07
25	0,02837	1,080	-0,1750	73	2,270	353,7	-28,34
26	0,03258	1,345	-0,2093	74	2,449	397,4	-30,84
27	0,03706	1,596	-0,2432	75	2,641	428,4	-33,63
28	0,04223	1,952	-0,2871	76	2,833	466,8	-36,37
29	0,04752	2,310	-0,3313	77	3,045	507,8	-39,32
30	0,05382	2,631	-0,3763	78	3,291	553,7	-42,69
31	0,06003	3,132	-0,4336	79	3,531	605,8	-46,25
32	0,06708	3,615	-0,4923	80	3,799	667,4	-50,36
33	0,07479	4,281	-0,5659	81	4,100	735,4	-54,91
34	0,08323	4,795	-0,6317	82	4,385	799,6	-59,21
35	0,09242	5,579	-0,7182	83	4,722	883,4	-64,58
36	0,1024	6,367	-0,8076	84	5,106	960,1	-70,02
37	0,1139	7,329	-0,9140	85	5,523	1065	-76,70
38	0,1257	8,482	-1,032	86	5,944	1156	-82,89
39	0,1399	9,801	-1,171	87	6,376	1263	-89,77
40	0,1552	11,08	-1,312	88	6,850	1374	-97,02
41	0,1722	12,98	-1,495	89	7,388	1523	-106,1
42	0,1897	14,19	-1,640	90	7,969	1657	-114,8
43	0,2084	16,28	-1,842	91	8,573	1818	-124,8
44	0,2290	18,65	-2,066	92	9,196	1965	-134,4
45	0,2500	21,23	-2,303	93	9,948	2160	-146,8
46	0,2714	24,47	-2,577	94	10,69	2380	-159,5
47	0,2948	28,28	-2,887	95	11,48	2568	-171,7
48	0,3192	32,23	-3,207	96	12,42	2837	-187,7
49	0,3442	36,82	-3,560	97	13,37	3092	-203,3
50	0,3715	40,11	-3,860	98	14,34	3309	-217,8
51	0,4026	43,77	-4,197				
52	0,4343	47,81	-4,558				

$$P_0 = L_0; Q_0 = -M_0; R_0 = N_0; L_1 = P_1 = 0.$$

Исходя из данных табл. 1, мы протабулировали значения этих функций. Знание их позволяет проводить анализ запрещенных переходов ядер путем K -захвата, что вместе с анализом данных ветви позитронного распада дает возможность получить ряд существенных сведений об изменении состояния ядра при β -переходе.

Для запрещенных переходов, в выражение для вероятности которых входят «малые» компоненты волновых функций F_K , поправки на конечные

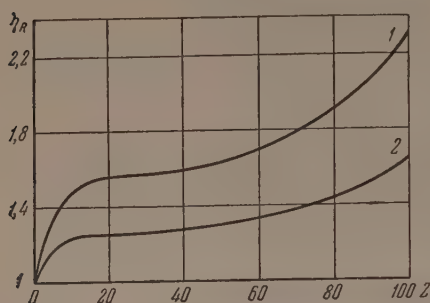


Рис. 3. Поправка на конечные размеры ядра и экранирование: 1 — для функции M_0 , 2 — для функции N_0 .

размеры ядра и экранирование, как можно видеть из рис. 3, играют значительную большую роль, чем для разрешенных переходов. Для тяжелых элементов поправки уменьшают значения M_0 в два раза и N_0 — в полтора раза. При $Z = 25$ поправки, соответственно, имеют величину 55 и 25%.

Значения функций L_0 , M_0 и N_0 , найденные с учетом конечных размеров ядра и экранирования, приведены в табл. 4.

Научно-исследовательский физический институт
Ленинградского гос. университета
им. А. А. Жданова

Цитированная литература

1. Metropolis M., Reitz J., J. Chem. Phys., 19, 555 (1951).
2. Слив Л., ЖЭТФ, 17, 1049 (1947).
3. Konopinski E., Rev. Mod. Phys., 15, 209 (1943).
4. Slater J., Phys. Rev., 36, 51 (1930).
5. Moszkowski S., Phys. Rev., 82, 35 (1951).
6. Feenberg E., Trigg G., Rev. Mod. Phys., 22, 399 (1950).
7. Landolt-Börnstein, 1, st. 5.—Berlin (1952).
8. Benoist-Guental P., Ann. de Phys., 8, 593 (1953).
9. Zweifel P., Phys. Rev., 96, 1572 (1954).
10. Reitz J., Phys. Rev., 77, 10 (1950).
11. Рапопорт Л., ЖЭТФ, 25, 282 (1953).
12. Malcolm I., Strachan C., Proc. Cambr. Phil. Soc., 47, 610 (1951).
13. Konopinski E., Uhlenbeck G., Phys. Rev., 60, 308 (1941).
14. Smith A., Phys. Rev., 82, 955 (1951).

Л. Н. ЗЫРЯНОВА

О РОЛИ ПСЕВДОСКАЛЯРНОГО ВАРИАНТА
ВЗАИМОДЕЙСТВИЯ В ТЕОРИИ β -РАСПАДА

В последние годы достигнут значительный прогресс в установлении β -взаимодействия. Выяснено, что основную роль при β -распаде играют взаимодействия S - и T -типов ($\frac{\lambda_T}{\lambda_S} \approx 1,3$) и исключено присутствие заметной степени взаимодействий V - и A -типов. Однако до настоящего времени не имеется прямых доказательств возможного присутствия псевдоскалярного варианта в общем законе β -взаимодействия. Ряд выводов о значении псевдоскалярного варианта и величине коэффициента λ_P был получен в предыдущие годы [1—4] на основе анализа формы β -спектра RaE в предположении, что спин RaE есть 0. Однако в дальнейшем, когда измерения показали, что спин RaE равен 1, эти выводы потеряли свое значение. Предполагают [5], что косвенным доказательством присутствия P -взаимодействия в β -распаде является относительно меньшая величина приведенного времени жизни ft для β -переходов первого запрещения, принадлежащих к типу $\Delta I = 0$ по сравнению с величинами ft для переходов типа $\Delta I = 1$.

В данной работе получен ряд выводов о роли P -варианта в β -распаде на основе анализа формы запрещенных β -спектров.

Из правил отбора для β -распада известно, что наибольшее значение взаимодействия имеет для β -переходов первого запрещения между уровнями с нулевыми спинами и разной четностью. С целью выяснения вопроса присутствия P -взаимодействия в общем законе β -распада мы провели анализ известных 0—0-переходов с изменением четности.

В настоящее время известно более десяти случаев β -распада ядер, которых установлен или подозревается 0—0-переход с изменением четности. Для теоретического анализа, однако, пригодны лишь те случаи, когда β -спектр, отвечающий 0—0-переходу, не затемняется в значительной степени спектрами от переходов на другие уровни ядра, а спины ядерных состояний установлены достаточно надежно. В настоящее время этим условиям удовлетворяют лишь β -спектры, связанные с переходом между основными уровнями ядер Pr^{144} — Nd^{144} и Tl^{206} — Pb^{206} . Ниже мы остановимся подробнее именно на этих двух β -спектрах.

Pr^{144} (17,5 мин) является продуктом β -распада Ce^{144} ; β -спектры Ce^{144} — Pr^{144} и схема их распада изучались в работах [6—10]. Схема распада Ce^{144} — Pr^{144} — Nd^{144} , полученная в работе Эммериха с сотрудниками [11], приведена на рис. 1. Для нашей задачи представляет интерес жесткий β -спектр Pr^{144} с граничной энергией 2,98 MeV ($97,3 \pm 0,8$ %), отвечающий переходу между уровнями 0^- — 0^+ . График Кюри β -спектра Ce^{144} — Pr^{144} изображен на рис. 2. Помимо жесткой компоненты 2,98 MeV, β -спектр содержит два слабых β -спектра Pr^{144} —2,28 MeV ($0,8 \pm 0,3$ %) и 0,80 MeV ($1,9 \pm 0,5$ %) и ряд компонент β -спектра Ce^{144} , лежащих в области ниже 0,3 MeV. На участке 2,3—2,8 MeV график Кюри β -спектра Ce^{144} — Pr^{144} является прямолинейным. Экстраполяция жесткого спектра в мягкую область по формуле Ферми позволяет выделить две β -компоненты с энергиями 0,8 MeV, интенсивности которых согласуются в пределах 2 % с интенсивностями, полученными из прямых, более точных измерений с γ -лу-

чами. Таким образом, из экспериментальных данных известно, что в энергиях выше 300 keV не имеется отклонений выше 2—3 % жесткого β -спектра Pr^{144} от фермиевской формы.

В схеме распада, приведенной на рис. 1, приписание спиновых характеристик 0^+ уровням основных состояний Ce^{144} и Nd^{144} произведено

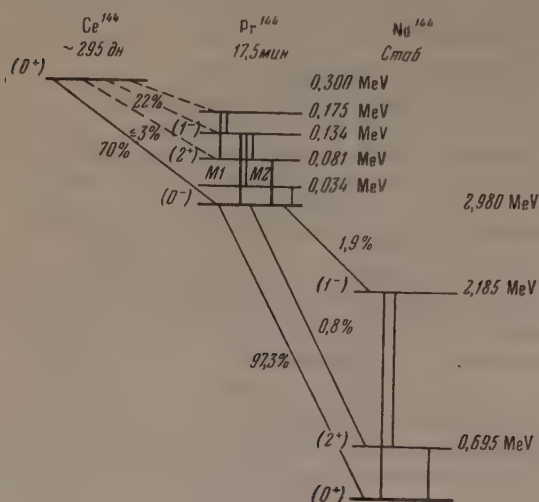


Рис. 1. Схема распада Pr^{144}

2,98 MeV проведен в предположении, что это есть $0^- \rightarrow 0^+$ -переход. β -Спектр Tl^{206} изучался в работе Альбургера и Фридландера [4]. У ядра Pb^{206} (рис. 3), помимо основного уровня 0^+ , известен уровень 2^+ с энергией 800 keV. Однако тщательное исследование с сильным источ-

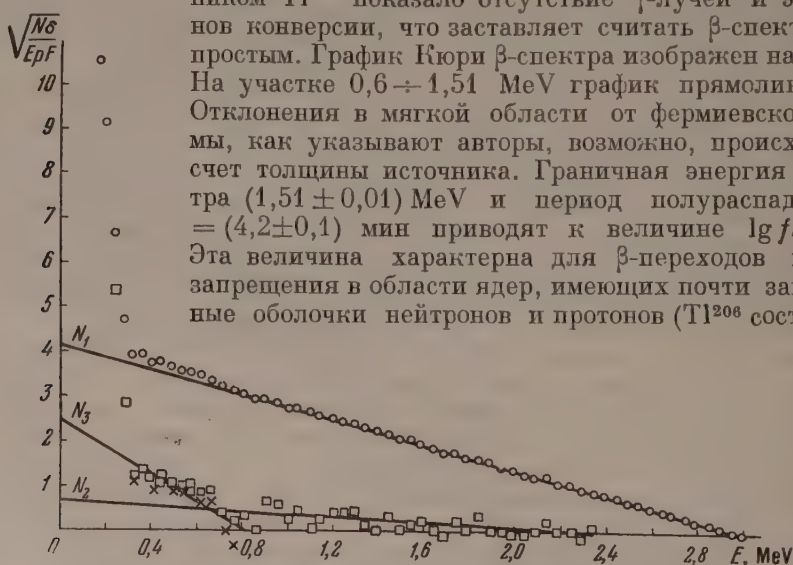


Рис. 2. Экспериментальный β -спектр Pr^{144} (график Кюри; измерения Эммериха, Ауса и Курбатова)

ником Tl^{206} показало отсутствие γ -лучей и электронов конверсии, что заставляет считать β -спектр Tl^{206} простым. График Кюри β -спектра изображен на рис. На участке $0,6 \div 1,51$ MeV график прямолинейный. Отклонения в мягкой области от фермиевской формы, как указывают авторы, возможно, происходят из-за толщины источника. Граничная энергия β -спектра $(1,51 \pm 0,01)$ MeV и период полураспада $T_{1/2} = (4,2 \pm 0,1)$ мин приводят к величине $\lg ft = 5$. Эта величина характерна для β -переходов первого запрещения в области ядер, имеющих почти заполненные оболочки нейтронов и протонов (Tl^{206} состоит

на основании общего правила об уровнях четно-четных ядер. Отрицательная энергия основного состояния Pr^{144} вытекает из величин ft для β -переходов $\text{Ce}^{144} \rightarrow \text{Pr}^{144}$ ($\lg ft = 7,5$) и $\text{Pr}^{144} \rightarrow \text{Nd}^{144}$ ($\lg ft = 6,5$), характерных для переходов первого запрещения в области, удаленной от ядер с замкнутыми оболочками. Приписание спина основному состоянию Pr^{144} имеет прямого экспериментального доказательства, однако позволяет создать согласованную схему распада и использовано во всех цитированных выше работах. В данной работе анализ β -спектра Pr^{144} с энергией

81 p и 125 n). С этим фактом связан вывод, что при β -переходе $\text{Tl}^{206} \rightarrow \text{Pb}^{206}$ происходит изменение четности. Отсутствие γ -лучей при β -распаде Tl^{206} говорит о запрещенности перехода Tl^{206} на возбужденный уровень Pb^{206} . На этой основе нижнему состоянию Tl^{206} приписывается спин

Таким образом, можно считать, что при β -распаде Tl^{206} происходит переход между уровнями $0^- \rightarrow 0^+$, и график Кюри, отвечающий этому переходу, является прямолинейным в области выше 600 keV. При анализе β -спектров Tl^{206} и Pb^{144} , проведенном ниже, мы принимали, что экспериментальная точность в измерении формы β -спектров составляет 5 %.

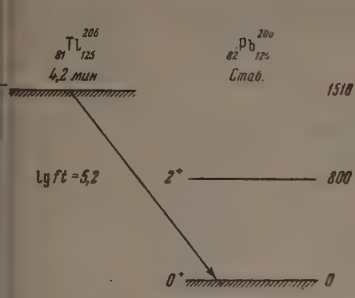


Рис. 3. Схема распада Tl^{206}

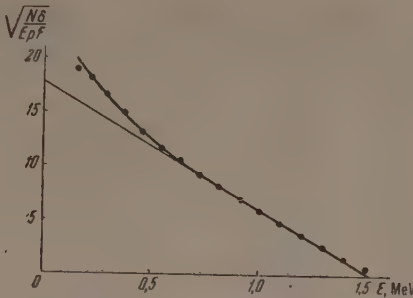


Рис. 4. Экспериментальный β -спектр Tl^{206} (график Кюри; измерения Альбургера и Фридландера)

Рассмотрим теперь, к каким предсказаниям в отношении формы спектра этих переходов приводит теория β -распада.

Из правил отбора известно, что в S - и V -вариантах теории нет $0-0$ -переходов с изменением четности. Если далее на основе выводов из теории разрешенных переходов не учитывать A -вариант, то в теории остаются возможности для описания $0-0$, да-переходов: T -вариант и линейная комбинация T - и P -вариантов $\lambda_T T + \lambda_P P$.

Рассмотрим вначале теоретическую форму спектра Pb^{144} и Tl^{206} в варианте теории. Поправочный коэффициент C_T для $0-0$, да-переходов имеет вид [12]:

$$C_T = \left(\frac{1}{9} K^2 L_0 + M_0 + \frac{2}{3} K N_0 \right) \left| \int \sigma \cdot r \right|^2, \tag{1}$$

K — энергия нейтрино.

Для определения C_T мы провели расчеты коэффициентов L_0 , M_0 , N_0 , Q_0 и R_0 с учетом кулоновского поля, экранирования и конечных размеров ядра. Конечные размеры учтены с использованием модели равномерно заряженного шара, радиус которого принимался равным $10^{-13} A^{1/3}$ см. Рассчитанные таким образом коэффициенты L_0 , M_0 и

Таблица 1

Функции β -электронов, необходимые для анализа формы спектра Pb^{144}

keV	M_0	N_0	P_0	Q_0	R_0
1					
100	121,106	-11,0038	0,896368	-107,025	-9,79579
200	123,768	-11,1228	0,749844	-89,3754	-8,18961
300	130,470	-11,4184	0,500826	-59,3558	-5,46038
400	134,402	-11,5889	0,409701	-48,3319	-4,46102
500	138,204	-11,7516	0,346453	-40,6702	-3,76764
600	141,914	-11,9082	0,300645	-35,1189	-3,26600
700	145,710	-12,0664	0,263767	-30,7082	-2,86503
800	151,082	-12,2869	0,224289	-25,7596	-2,42721
900	156,596	-12,5092	0,194719	-22,1115	-2,10259
1000	160,302	-12,6565	0,178914	-20,1485	-1,92900
1100	164,038	-12,8032	0,165459	-18,4644	-1,78103
1200	167,811	-12,9497	0,153862	-17,0051	-1,65351
1300	171,616	-13,0957	0,143745	-15,7245	-1,54224
1400	175,456	-13,2414	0,134886	-14,5972	-1,44480
1500	178,370	-13,3510	0,128896	-13,8263	-1,37877

др. для Pb^{144} и Tl^{206} приведены в табл. 1 и 2. Коэффициенты записаны в предположении, что при вычислении теоретической формы разрешенного спектра по формуле Ферми эффекты экранирования и конечных измерений учтены должным образом. В таком случае функция $L_0 \equiv 1$.

Таблица
Фракции β -электронов, необходимые для анализа формы спектра Tl^{206}

ϵ , keV	M_0	N_0	P_0	Q_0	R_0
1	186,149	-13,6418	0,795865	-144,541	-10,274
100	189,395	-13,7593	0,664589	-120,323	-8,945
200	192,408	-13,8678	0,569281	-102,773	-7,654
400	197,765	-14,0590	0,441584	-79,1896	-5,921
600	202,949	-14,2420	0,360175	-64,1844	-4,819
800	207,841	-14,4124	0,303681	-53,7148	-4,052
1000	212,642	-14,5780	0,262231	-46,0043	-3,490
1200	217,427	-14,7412	0,230498	-40,0838	-3,059
1400	222,192	-14,9017	0,205484	-35,3876	-2,719
1500	224,582	-14,9817	0,194846	-33,3858	-2,574

Найденные по формуле (1) факторы формы C_T изображены для Pb на рис. 5 и для Tl^{206} на рис. 6 (сплошные линии). Пунктирные линии этих рисунков показывают те пределы, в которых заключен экспериментальный коэффициент C для β -спектров Pb и Tl при точности измерения $\pm 5\%$.

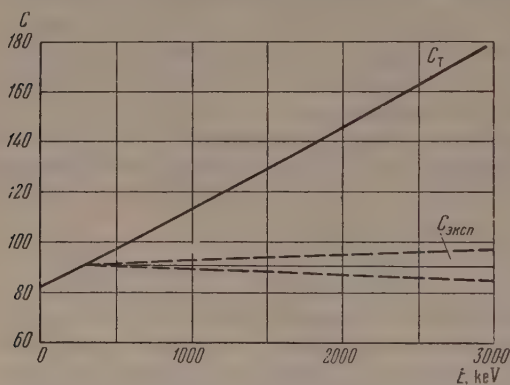


Рис. 5. Коэффициенты C_T и $C_{\text{эксп}}$ для Pb^{144} . Прерывистые линии показывают пределы, накладываемые экспериментом на коэффициент C при погрешности измерения 5%

Как видно из уравнения (1), теоретическая форма спектра при запрещении $0 \rightarrow 0$ -перехода в T -варианте, в отличие от большинства других запрещенных β -спектров, зависит лишь от одного ядерного матричного элемента и поэтому является однозначной. Этот факт приводит к однозначному выводу, что один T -вариант не в состоянии объяснить наблюдаемую форму спектров Pb^{144} и Tl^{206} .

Таким образом, для объяснения формы β -спектра указанных элементов необходимо привлекать псевдоскалярный вариант теории.

Рассмотрим теперь теоретическую форму спектра исследуемых переходов в TP -варианте теории. Поправочный коэффициент C в этом случае должен быть взят в виде [12]:

$$C = \lambda_T^2 \left[C_T + \frac{\lambda_P}{\lambda_T} C_{PT} + \left(\frac{\lambda_P}{\lambda_T} \right)^2 C_P \right],$$

$$C_P = \frac{1}{4M^2} \left\{ (U^2 + 1) M_0 - 2UQ_0 + \frac{2}{3} K [(U^2 - 1) N_0 + 4(UM_0 - Q_0)] \right\}.$$

$$+ \frac{K^2}{9} [(U^2 + 1)L_0 - 2UP_0 + 16M_0 + 8(UN_0 - R_0)] \left| \int \sigma \cdot r \right|^2, \quad (3)$$

$$C_T = -\frac{1}{M} \left\{ UM_0 - Q_0 + \frac{2}{3} K(2M_0 + UN_0) + \frac{K^2}{9} (UL_0 - P_0 + 4N_0) \right\} \left| \int \sigma \cdot r \right|^2, \quad (4)$$

где M — масса нуклона, E — энергия электрона, $U = E - V - K$, V — потенциал центрального поля.

Характерной особенностью опять является то, что все три поправочных коэффициента C_T , C_P и C_{PT} содержат один и тот же ядерный матричный элемент. Следовательно, форма спектра зависит лишь от известных функций β -электронов L , M , N и др. и значений коэффициентов λ_T и λ_P . Таким образом, исследование формы спектров в этом случае полагается путем сравнения с опытом фиксировать величину отношения λ_P/λ_T , характеризующую относительную долю T -взаимодействий в β -распаде.

На рис. 7 представлены коэффициенты C_T , C_P и C_{PT} для Pr^{144} и на рис. 8 — те же коэффициенты для Tl^{206} . Как видно,

все три коэффициента возрастают с увеличением энергии, откуда можно определить неизвестный знак величины $\frac{\lambda_P}{\lambda_T} \equiv x$.

Очевидно, что если взять сумму коэффициентов, изображенных на рис. 7 и 8, то согласие с опытом при любых x может только ухудшиться,

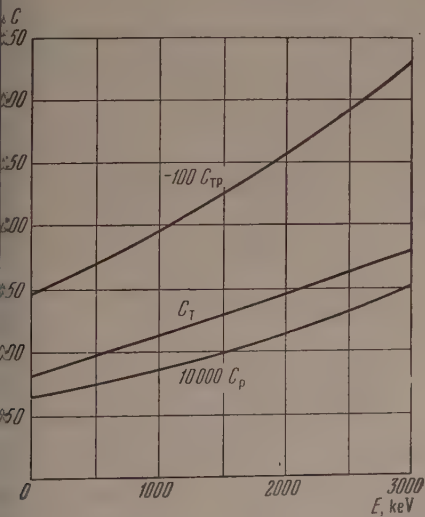


Рис. 7. Коэффициенты C в TP -варианте для Pr^{144}

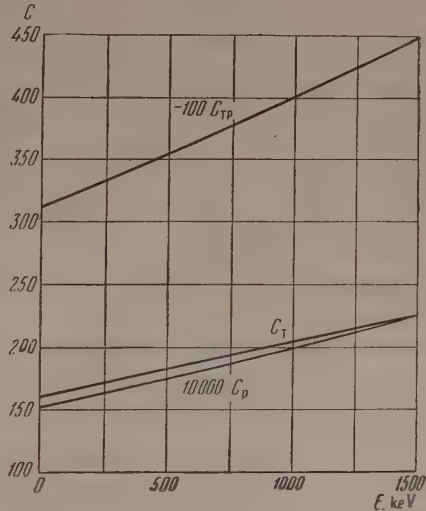


Рис. 8. Коэффициенты C в TP -варианте для Tl^{206}

как суммарный коэффициент C будет более сильно возрастать с увеличением энергии частиц. Чтобы теоретический коэффициент C получить возможности независимым от энергии, член с коэффициентом C_{PT} следует отнимать от суммы двух других членов. Отсюда непосредственно

можно определить, что знак величины λ_P/λ_T является положительным. Поскольку опять теоретические предсказания являются однозначными, этот вывод может быть сделан с достоверностью.

Рассмотрим далее вопрос о численном значении величины x . Для его решения была исследована зависимость от энергии коэффициента при различных величинах x .

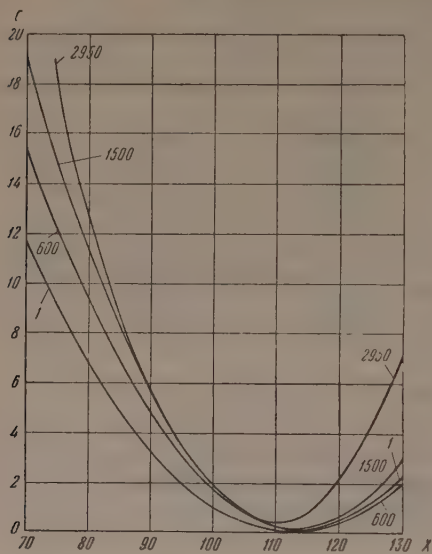


Рис. 9. Коэффициент C для Pr^{144} в зависимости от $x \equiv \lambda_P/\lambda_T$.

Цифры у кривых указывают значение энергии β -частицы в keV

тому, не находится в противоречии с экспериментальными результатами, если учесть некоторую неопределенность экспериментальной формы спектра 0—0-перехода Pr^{144} , связанную с наличием слабых компонент с граничными энергиями 2280 и 800 keV, а также тенденцию к спрямлению компонент экспериментального спектра. На рис. 11, изображающем теоретический спектр Pr^{144} , пунктирная линия представляет прямолинейный спектр. Учитывая присутствие слабых компонент 2280 и 800 keV, можно видеть, что отклонения теоретического спектра в ординатах от этой прямой не превышают погрешность эксперимента.

Таким образом, из анализа формы β -спектра Pr^{144} можно прийти к выводу, что лучшее согласие теоретического спектра с опытом имеется в TP -варианте теории при $\lambda_P/\lambda_T \approx +112$.

Перейдем теперь к β -спектру Tl^{206} . Зависимость C от λ_P/λ_T при различных энергиях представлена на рис. 12. Сближение коэффициента C опять наблюдается при λ_P/λ_T в районе 100. Наилучшая подгонка формы спектра к экспериментальным данным была получена при $\lambda_P/\lambda_T = 10$ (рис. 13 и 14). В случае Tl^{206} в области энергии выше 600 keV (достоверные экспериментальные данные) имеется согласие с опытом. Для теоретического спектра характерно увеличение числа медленных электронов

при различных величинах x . На рис. 9 представлен коэффициент C для Pr^{144} как функция при различных энергиях β -электронов. Слабая зависимость от энергии наблюдается в районе $x = 100 \div 120$. В этой области параметра x коэффициенты были сравнены с опытом. Наилучшая подгонка к экспериментальным данным о β -спектре Pr^{144} получена при $\lambda_P/\lambda_T = 110 \div 114$. На рис. 10 представлен коэффициент C для Pr^{144} и на рис. 11 — теоретическая форма β -спектра в координатах Кюри в TP -варианте теории при $\lambda_P/\lambda_T = 112$. Форма β -спектра является непрямолинейной, в жесткой части (при энергиях > 1000 keV) β -спектр похож на уникальный, в мягкой области имеется возрастание числа электронов малых энергий.

Хотя теоретический коэффициент C для Pr^{144} несколько выходит из выбранных нами $\pm 5\%$ в наклоне к оси абсцисс, этот факт, по-види-

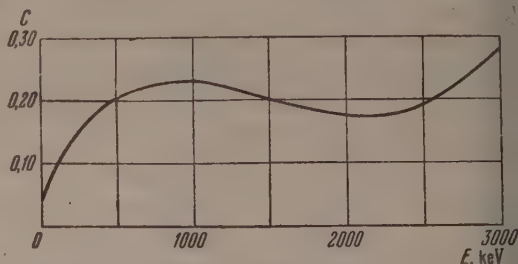
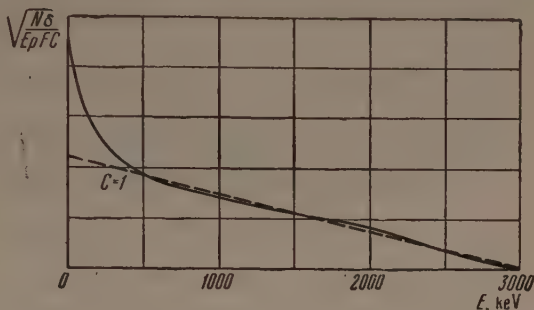


Рис. 10. Коэффициент C для Pr^{144} в TP -варианте теории при $\lambda_P/\lambda_T = 112$

сравнению с прямолинейным характером спектра при энергиях ниже keV .

Таким образом, из независимого анализа двух β -спектров получены значения величины λ_P/λ_T , близкие одна к другой (+112 и +101). Это

11. Теоретическая форма спектра Pr^{144} в TP -варианте теории при $\lambda_P/\lambda_T = 112$ (график Кюри)
выпуклая линия — разрешенная форма β -спектра



падение, которое при ряде существующих в теории приближений может считать хорошим, очевидно, не является тривиальным. Для большей достоверности выводов о величине отношения λ_P/λ_T в β -распаде желательно проведение тщательных точных измерений формы β -спектров Pr^{144} и Tl^{206} , а также β -спектров других $0-0$ -переходов первого запрета, в особенности в области малых энергий.

Из рис. 10 и 13 можно заметить, что суммарный коэффициент C , согласуемый с опытом, является малой величиной по сравнению с каждым из его слагаемых. Ввиду такой сильной компенсации очевидно, что существенно учитывать влияние поля атома на β -электроны, т. е. вычислять функции L , M , N с боль-

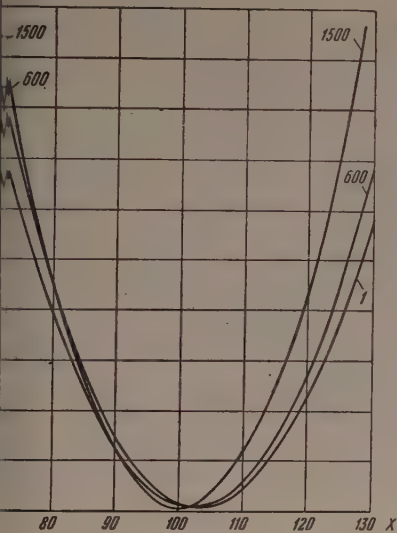


Рис. 12. Коэффициент C для Tl^{206} в зависимости от $x \equiv \lambda_P/\lambda_T$. Цифры на кривых указывают значение энергии β -частицы в keV

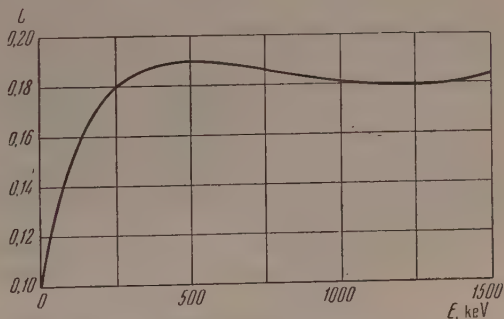


Рис. 13. Коэффициент C для Tl^{206} в TP -варианте теории при $\lambda_P/\lambda_T = 101$

й степенью точности. Для того чтобы проверить, какое влияние на полученные выше выводы может иметь метод расчета L , M , N , анализ спектра Pr и Tl был проведен с функциями L , M , N , рассчитанными без учета экранирования и конечных размеров ядра, а также при учете конечных размеров ядра для радиуса $1,5 \cdot 10^{-13} \text{ A}^{1/3} \text{ см}$. Расчеты показали, что основные выводы не зависят от характера предположения, положенного в основу расчетов электронных волновых функций.

Следует отметить, что в настоящей работе анализ β -спектров в P -варианте проведен в рамках существующей теории, содержащей ряд при-

ближений, которые могут исказить результаты. В частности, приведенные выше выражения для коэффициентов C_P и C_{PT} выведены в нерелятивистском приближении для нуклонов. Известно [12], что для P -варианта это приближение, а также ряд других имеющихся пренебрежений, являются значительно более грубыми, чем для S - и T -вариантов. По этой причине возможно, что теоретическая форма спектра, полученная для

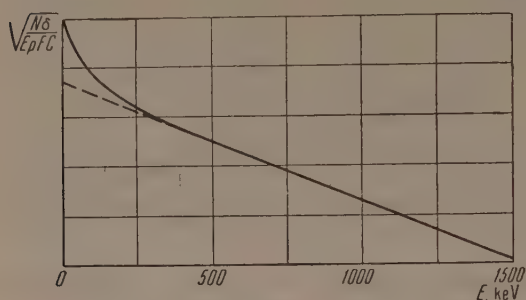


Рис. 14. Теоретическая форма β -спектра Tl^{206} (график Кюри) в TP -варианте теории при $\lambda_P / \lambda_T = 101$.

Прерывистая линия — разрешенная форма β -спектра

соединяется с тем фактом, что ft для обоих переходов имеют величину, сходную с величиной ft других β -переходов первого запрещения с $\Delta I = 0$, где, как известно, не происходит уничтожающей компенсации. Возможно, что это несоответствие связано с тем, что теория P -варианта, как уже упоминалось, является значительно менее точной, чем в случае остальных вариантов взаимодействия. Вместе с тем возможно, что предположение о сравнительно большой величине матричного элемента $|\langle \sigma \cdot r \rangle|$, которое необходимо делать в связи с малым значением C , не является серьезным противоречием теории. В работах Рудермана [13] и Хербста [14] было показано, что величина $|\langle \sigma \cdot r \rangle|$ сильно зависит от предположений о характере ядерных сил и в настоящее время нельзя дать оценку $|\langle \sigma \cdot r \rangle|$ или отношения этого матричного элемента к другим матричным элементам первого запрещения даже по порядку величины.

Приношу глубокую благодарность Б. С. Джелепову и Л. А. Слицину за обсуждение результатов этой работы.

Научно-исследовательский физический институт
Ленинградского гос. университета
им. А. А. Жданова

Цитированная литература

1. Petschek A., Marshak R., Phys. Rev., 85, 698 (1952).
2. Ahrens T., Feenberg E., Primakoff H., Phys. Rev., 87, 663 (1952).
3. Alaga G., Kgl. Danske Selsk. Vidk., Math.-fys. Medd., 28, 3 (1953).
4. Nataf M., Compt. Rend., 239, 341 (1954).
5. King R., Peaslee D., Phys. Rev., 94, 1284 (1954).
6. Porter F., Cook C., Phys. Rev., 87, 464 (1952).
7. Emmerich W., John G., Kurbatov J., Phys. Rev., 82, 968 (1951).
8. Keller H., Cork J., Phys. Rev., 84, 1079 (1951).
9. Alburger D., Kraushaar J., Phys. Rev., 87, 448 (1952).
10. Emmerich W., Auth W., Kurbatov J., Phys. Rev., 94, 110 (1954).
11. Alburger D., Friedlander G., Phys. Rev., 82, 977 (1951).
12. Rose M., Osborn R., Phys. Rev., 93, 1314 (1954).
13. Ruderman M., Phys. Rev., 89, 1227 (1953).
14. Herbst R., Phys. Rev., 96, 372 (1954).

Я. И. ГАЗИЕВ, К. П. МИТРОФАНОВ и В. С. ШПИНЕЛЬ

ИЗУЧЕНИЕ ДВУХЛИНЗОВОГО β -СПЕКТРОМЕТРА
И УЛУЧШЕНИЕ КОЛЬЦЕВОЙ ФОКУСИРОВКИ

Введение

В настоящее время двухлинзовые β -спектрометры находят все более широкое применение в ядерной спектроскопии. В области разрешения $\eta = 1-4\%$, по светосиле ω и по величине L , равной произведению ω на площадь источника σ ($L = \omega\sigma$), эти спектрометры превосходят многие другие. Большая светосила и особенности конструкции двухлинзового спектрометра, позволяющие удобно сочетать этот прибор с люминесцентной аппаратурой, весьма важны для измерений совпадений.

Форма магнитного поля рассматриваемого β -спектрометра и, следовательно, его фокусирующие свойства определяются размерами линз и расстоянием между ними. В зависимости от выбора этих геометрических параметров характеристики прибора и тесно связанная с ними экономичность прибора (расходуемая мощность) получают различными. Хорошими спектрометрическими характеристиками обладают приборы, имеющие раздвинутыми линзами, создающими U-образное поле, но при этом экономичность ухудшается. Например, для фокусировки электронов энергией 4 MeV потребляется мощность порядка 30 kW [1].

При сближении линз к центру прибора экономичность существенно улучшается, но разрешающая способность и светосила ухудшаются. Следует заметить, что электронно-оптические свойства двухлинзовых спектрометров пока изучены недостаточно. Теоретическое исследование этих приборов осложнено необходимостью выполнения громоздких сложных расчетов для каждой выбранной формы поля.

Настоящая работа посвящена экспериментальному исследованию фокусирующих свойств двухлинзового β -спектрометра, изготовленного заводом «Физприбор», и улучшению кольцевой фокусировки при помощи тороидной корректирующей катушки. Конструкция прибора разработана в задании 2-го НИФИ МГУ инженерами завода И. М. Беккерманом и М. Роммером.

1. Особенности двухлинзовых β -спектрометров

На рис. 1 схематически изображены траектории (треки) электронов в спектрометрах линзового типа. Хорошо известно, что сферическая аберрация в этих приборах, зависящая от выбранной формы поля, вызывает существенное ограничение разрешающей способности и светосилы. Расчет продольного магнитного поля, не дающего сферической аберрации, был сделан в работе [2]. Практически осуществить точно такое поле в некоторой ограниченной области не представляется возможным, так как на границах этой области напряженность поля должна быть равна бесконечности. Некоторое приближение к теоретическому полю можно получить магнитной линзой, помещенной в железный кожух цилиндрической формы, закрытый с торцов цилиндрическими полюсами [3] или при помощи двух тонких магнитных линз, расположенных на одной оси на некотором расстоянии одна от другой [4].

Преимуществом магнитных линз без железа является меньшая сферическая абберрация и отсутствие гистерезиса. Обычно используются тонкие линзы, магнитное поле которых выражается формулой [5]:

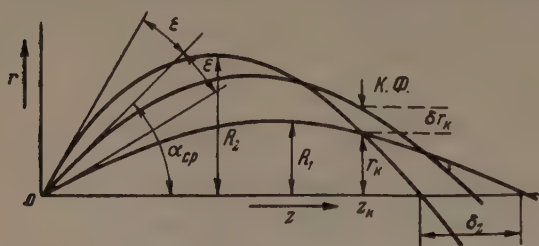


Рис. 1. Траектории электронов в линзовом спектрометре и принятые обозначения

$$H(z) = \frac{H_0}{1 + z^2/a^2},$$

где H_0 — магнитное поле центрелинзы ($z=0$), a — полуширина распределения магнитного поля.

Очевидно, форма магнитного поля, создаваемого двумя тонкими линзами определяется отношением a/l , где l — расстояние между центрами линз.

Как показано в работе [6], диапазон рабочих значений a/l мал. Обычно $\frac{1}{6} \leq \frac{a}{l} \leq \frac{1}{3}$, так как при $\frac{a}{l} > \frac{1}{3}$ поле уже не имеет требуемой U-образной формы, а при значениях $\frac{a}{l} < \frac{1}{6}$ фокусирующие свойства прибора [6] мало отличаются от случая $\frac{a}{l} = \frac{1}{6} \div \frac{1}{5}$, но длина прибора увеличивается.

Однако и в двухлинзовых спектрометрах с формой магнитного поля $H(z)$, близкой к теоретической [2] (рис. 2, а, кривая 1), сферическая абберрация еще значительна, особенно при $\frac{a}{l} = \frac{1}{3}$. Поэтому большое значение имеет использование в этих приборах, как и в других типах продольных спектрометров, выходной диафрагмы с кольцевой щелью в области кольцевого изображения. Двухлинзовые спектрометры с полем, изображенным на рис. 2, а (1), использующие выходную диафрагму с кольцевой щелью, имеют весьма хорошие характеристики, например, $\omega = 4,5\%$ от 4π при $\eta = 1\%$ для точечного источника [7].

Теория таких приборов дана в работах [8, 9]. В работе [8] для траекторий, не очень далеких от оси прибора, определены основные фокусирующие свойства спектрометра. Из выражений, полученных для радиуса кольцевого фокуса r_k и для положения его на оси z_k , следует, что с увеличением угла вылета электрона r_k возрастает, а z_k уменьшается.

В случае точечного источника для углов вылета α в интервале $\alpha_{ср} - \varepsilon \div \alpha_{ср} + \varepsilon$ вследствие зависимости r_k и z_k от α кольцевое изображение имеет конечную ширину

$$\delta r_k = 3 C_s \cdot \alpha \cdot \varepsilon^2,$$

где C_s — коэффициент сферической абберрации [8]. При изменении тока в линзах на $\pm \Delta I/I$ или импульса электрона на $\Delta p/p$, согласно упомянутой работе [8], радиус кольцевого изображения изменится на

$$\mp \delta r_c = 2 \alpha_{ср} \cdot C_c \cdot \frac{\Delta p}{p},$$

где C_c — коэффициент хроматической абберрации. Для двухлинзового спектрометра значения величин C_s и C_c необходимо брать в два раза больше, чем вычисленные Глезером [5] для тонкой линзы.

Разрешение $\eta = \frac{\Delta p}{p}$ определяется из условия $\delta r_c = \delta r_k$. Таким образом для точечного источника и кольцевой выходной диафрагмы разрешение

$$\eta = \frac{3}{2} \frac{C_s}{C_c} \cdot \varepsilon^2.$$

Так как светосила $\omega = \varepsilon \sin \alpha_{\text{ср}}$, то, по [7],

$$\frac{\omega}{V\eta} = \sqrt{\frac{2}{3} \cdot \frac{C_c}{C_s}} \sin \alpha_{\text{ср}}.$$

Из последних соотношений следует, что необходимо использование возможно больших углов вылета электронов как для выгодного соотношения между светосилой и разрешением, так и для получения большой светосилы. Величина α_{max} ограничивается радиусом камеры, зависит от расстояния между источником и детектором и от формы траектории.

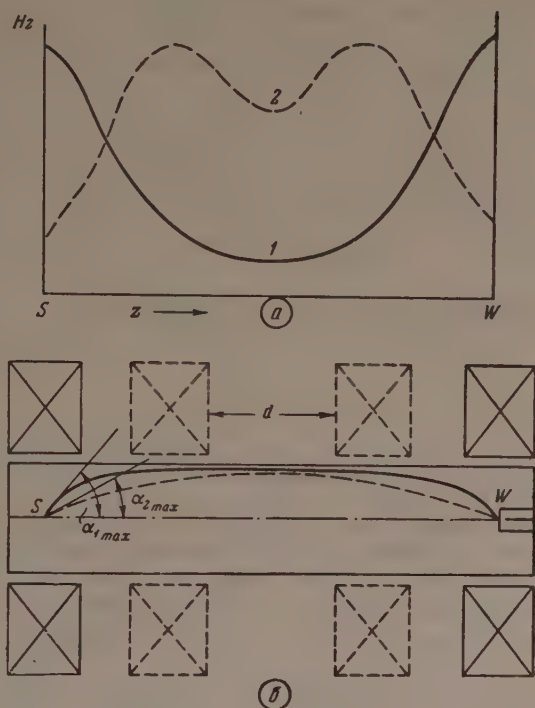


Рис. 2. Распределение магнитного поля H_z : вдоль оси двухлинзового спектрометра (а), для двух расположений линз (б); S — источник, W — счетчик, α_{max} — максимальный угол вылета фокусируемых электронов

В случае двухлинзового спектрометра характер траекторий допускает большие значения α_{max} , чем в спектрометре с тонкой линзой, при одинаковом радиусе камеры и том же расстоянии между источником и детектором. В работе [7] описан двухлинзовый спектрометр с $\alpha_{\text{ср}} \sim 50^\circ$. Для этого Бора отношение $\frac{\omega}{V\eta}$, вычисленное по предыдущей формуле, равно 0,5 (экспериментальное значение этой величины равно 0,5 ($\omega = 4,6\% = 0,9\%$)). Такое расхождение следует отнести за счет неточности формулы для больших α . Случай больших α в U-образном поле с $\frac{a}{l} = \frac{1}{5}$ рассмотрен в нескольких различных полях, численно рассчитан в работе [10]. Эффективность двухлинзового β -спектрометра может быть существенно повышена при переходе к фокусирующему полю, промежуточному между рассредоточивающим полем, данного на рис. 2, а (1), и полем однолинзового спектрометра. Траектории электронов такого спектрометра и соответствующее расположение линз показаны на рис. 2 пунктиром. Сближение линз к центру прибора при определенном положении источника и детектора приводит к тому, что умень-

шается область поля, где $\frac{\partial H(r, z)}{\partial r} < 0$, и сферическая aberrация возрастает, а величина α_{max} падает (рис. 2, б). В результате характеристики прибора ухудшаются. Теоретически такие спектрометры мало исследованы [10].

В работе [11] экспериментально, при помощи электронно-лучевой методики исследовалась зависимость сферической aberrации от расстояния между внутренними поверхностями линз, которое менялось от 0 до 25 см. При этом было найдено, что с увеличением расстояния сферическая aberrация монотонно уменьшается.

Впервые зависимость сферической aberrации от расстояния между линзами изучалась в работе [12], но в ней ошибочно [11] было получено, что величина сферической aberrации проходит через минимум приращении катушек.

В работе [11] экспериментально установлено, что для зависимости разрешения двухлинзового спектрометра от размеров источника справедлива известная формула Дейча [13], выведенная для случая тонкой линзы, без учета сферической aberrации:

$$\eta = 0,2 \frac{mS + W}{R_1(m + 1)},$$

где S — диаметр источника, m — увеличение линзы, W — диаметр окна счетчика, R_1 — максимальное отклонение от оси внутреннего луча; обычно $m = 1$, и тогда

$$\eta = 0,1 \frac{S + W}{R_1}.$$

В общем случае выражение для η содержит еще член, обусловленный сферической aberrацией.

Для улучшения разрешения двухлинзового спектрометра в работе [14] были применены установленные коаксиально внутри каждой линзы корректирующие катушки, с которыми наблюдалось некоторое уменьшение полуширины приборной линии. Однако влияние корректирующего магнитного поля внутренних катушек на ход траекторий детально не было выяснено.

Возможность коррекции сферической aberrации тонкой линзы путем использования рассеивающего действия внутренней катушки, установленной на оси прибора вне основного поля линзы, была отмечена в работах [15, 16]. Однако осуществление предложенной коррекции встречает практические затруднения.

Аналогичная коррекция в случае толстой линзы с корректирующей катушкой, помещенной на оси в центре прибора, была применена в работе [17], что позволило существенно улучшить характеристики спектрометра и получить $\eta = 0,6\%$ для источника диаметром 2 мм при $\omega = 1,5\%$. Сопоставление характеристик некоторых двухлинзовых спектрометров приведено в таблице.

Характеристики некоторых двухлинзовых спектрометров

Авторы	Год	Диаметр источн., мм	Светоспла ω , %	η , %	E_{max} , MeV	Потребляем мощность, л
Агню, Андерсен [4] . .	1949	4	1,5*	2,2	2,8	
Рундл, Эллис, Гриффитс, Томлинсон [11]	1954	1	0,4	0,97	4	6
Даниэль, Боте [7] . . .	1954	0,1	4,6*	1	4	40
		4	2*	1,9	4	40
Бент, Боннер [1]	1955	3	9	2,7	4,2	33
		3	4	2	4,2	33

* Эффективность [18].

2. Двухлинзовый β -спектрометр завода «Физприбор»

Схематический чертеж β -спектрометра приведен на рис. 3. Каждая из 1 спектрометра собрана из двух секций, состоящих из 360 витков медной шины сечением $2,44 \times 6,9$ мм, со стеклянной изоляцией, и имеет размеры: внутренний ϕ 25 см, внешний — 59 см; ширина 10 см.

Линзы имеют водяное охлаждение, позволяющее доводить общую потребляемую мощность до 5,5 kW. Для юстировки линз служит поддерживающее устройство, позволяющее производить небольшие смещения перпендикулярно оси прибора в горизонтальном и вертикальном направлениях, а также небольшие наклоны относительно этих направлений.

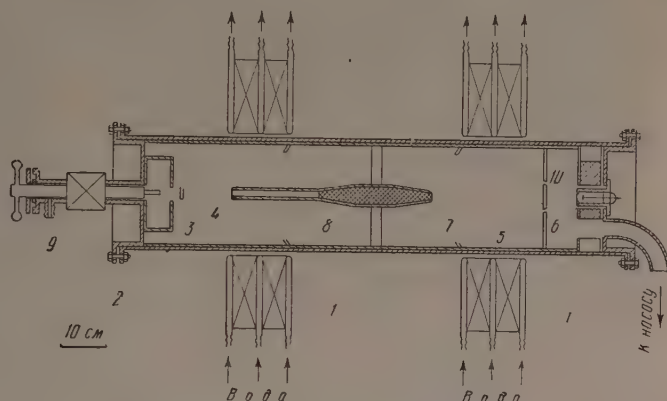


Рис. 3. Схема спектрометра завода «Физприбор»: 1 — магнитные линзы, 2 — вакуумная камера, 3 — источник, 4 — подвижной диск входной диафрагмы; 5 — выходная диафрагма с кольцевой щелью, 6 — счетчик, 7 — свинцовый блок, 8 — алюминиевая трубка, 9 — вакуумный плюз, 10 — свинцовая защита счетчика

с помощью червячного механизма линзы можно перемещать вдоль оси прибора одновременно и симметрично относительно центральной плоскости. При полностью раздвинутых катушках их центры совпадают с положением источника и окошка счетчика соответственно, и в этом случае максимальная энергия фокусируемых электронов ~ 1 MeV. При максимальном сближении катушек можно фокусировать электроны до энергий 3 MeV. Вакуумная камера 2 сделана из медной трубы с внутренним диаметром 225 мм и длиной 1130 мм. Внутренняя поверхность камеры выложена алюминием. В центре по оси прибора установлен свинцовый блок 7, защищающий счетчик от прямых γ -лучей. Откачка камеры производится диффузионным насосом ЦВЛ-100 до давления $2 \cdot 10^{-5}$ мм рт. ст. Устройство вакуумной системы позволяет в случае необходимости работать тонкими пленками на окошке счетчика, производить одновременную откачку камеры и β -счетчика.

Апертуру электронного пучка можно плавно изменять без нарушения вакуума, перемещая внутренний диск входной диафрагмы 4.

Установка радиоактивного источника производится без нарушения вакуума с помощью вакуумного плюза 9. Две пары компенсирующих катушек позволяют произвести компенсацию обеих составляющих земного магнитного поля.

3. Исследование траекторий и кольцевого фокуса

Рабочее расстояние между линзами было выбрано равным $d = 36$ см, исходя из условия фокусировки электронов до энергии 3 MeV. Для такого расположения в опубликованных работах [12] нет надежных данных.

Для исследования траекторий мы использовали электронную пушку с флюоресцирующий экран, который можно было перемещать вдоль оси спектрометра без нарушения вакуума. Светящееся пятно на экране наблюдалось через смотровое окно, установленное во фланце вместо β -счетчика. Нанесенная на экран координатная сетка, освещенная рассеянным светом от пушки, позволяла определять положение пятна с погрешностью, не превышающей 1 мм. Лучи с различными значениями угла вылета электронов α выделялись небольшими отверстиями (ϕ 0,3 мм) в аноде, имевшем форму полусферы. В нашем расположении максимальный угол, α_{\max} , допускаемый размерами камеры, составлял 24° . Электронная пушка была также использована для центровки линз и для подбора величины тока в катушках компенсации магнитного поля земли.

На рис. 4, а изображены треки, снятые для электронов с различным углом вылета α . На рис. 4, б дана проекция на плоскость, перпендикулярную

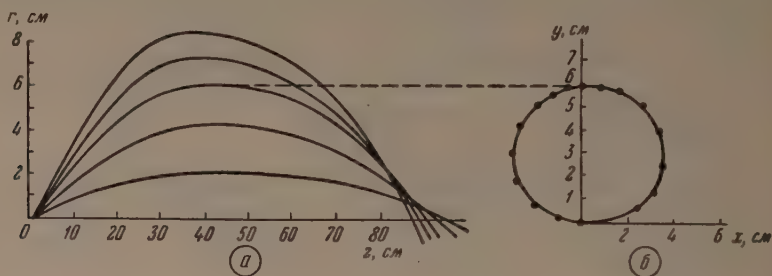


Рис. 4. Траектории электронов: а — проекция на меридиональную плоскость (треки), б — проекция траекторий электронов с $\alpha = 14^\circ$ на плоскость, перпендикулярную оси. Точки сняты через 5 см (начиная с $z = 10$ см)

ную к оси, для траектории электронов с $\alpha = 14^\circ$. Полученные траектории позволяют определить размеры и положение кольцевого фокуса в зависимости от выбранной апертуры.

Изучался также ход траекторий для случая многократной фокусировки, когда фокусируемые электроны несколько раз пересекают ось прибора. Такие траектории, пока-

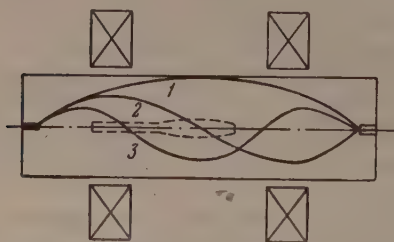


Рис. 5. Характер треков при: 1 — однократной, 2 — двухкратной и 3 — трехкратной фокусировке

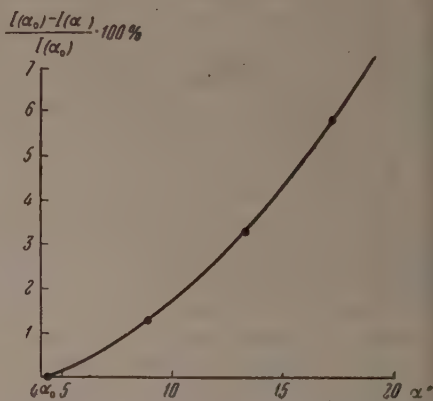


Рис. 6. График сферической аберрации: $I(\alpha)$ — ток фокусировки к $z = 90$ см для электронов с углом вылета α

занные схематически на рис. 5, отвечают случаю одновременной фокусировки электронов трех различных энергий.

Попадание в счетчик электронов с многократной фокусировкой устраивалось центральным свинцовым блоком и алюминиевой трубкой, установленными в спектрометре (рис. 5, пунктир).

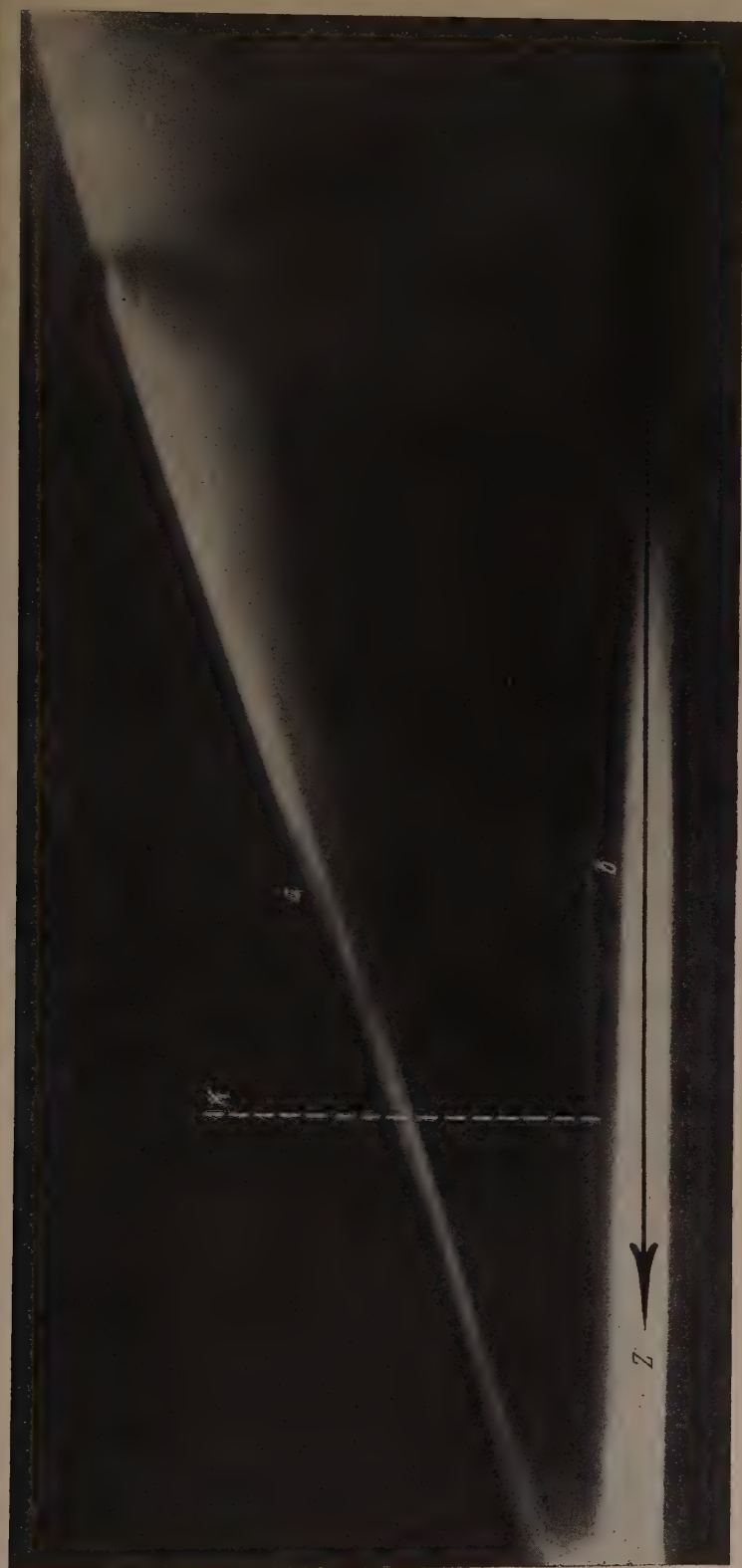


Рис. 7. а — продольная фотография пучка конверсионных электронов TbV , б — изображение от электронов непрерывного β -спектра

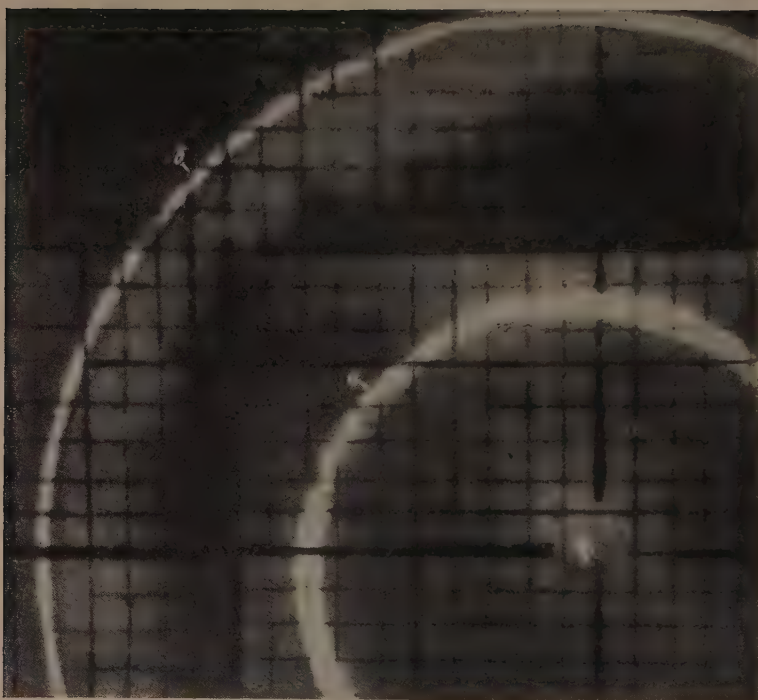


Рис. 11. Фотографии кольцевого изображения: *a* — без тока во внутренней катушке, *б* — при оптимальном токе в ней. Блики на фотографиях обусловлены светом накала электронной пушки

Результаты измерения сферической аберрации спектрометра представлены на графике рис. 6, причем $I(\alpha)$ — ток в линзах, соответствующий фокусировке электронов с углом вылета α ; α_0 — минимальный угол вылета в условиях опыта, равный $4^\circ 30'$. Кривая на этом графике может быть представлена следующим аналитическим выражением:

$$\frac{I(\alpha_0) - I(\alpha)}{I(\alpha_0)} = 2 \cdot 10^{-2} (\alpha^2 - \alpha_0^2).$$

При этих измерениях значительная часть нити накала электронной пушки заключалась в фарфоровую трубочку для уменьшения размеров пятна на экране и увеличения точности. Открытая часть пушки, служащая источником электронов, была не более 0,5 мм длиной; отверстия в аноде были уменьшены до 0,1 мм. Для получения достаточно точных значений α положение экрана в области линейных начальных участков треков изменялось через 2,5 см, начиная с $z = 5$ см.

При изучении кольцевой фокусировки использовался кольцевой электронный пучок, полученный применением анода с кольцевой щелью. Апертура пучка задавалась входной диафрагмой. Экран устанавливали в плоскости кольцевого изображения и определяли ширину кольца δr_k , изменение радиуса кольца с изменением тока $\delta r_I / \delta I / I$. Например, для пучка ограниченного углами $\alpha_1 = 22^\circ$ и $\alpha_2 = 15^\circ$ ($\omega = 2\%$), получается

$$\delta r_k = 2,5 - 3 \text{ мм и } \delta r_I / \delta I / I = 2 \div 2,5 \text{ мм/\%}.$$

Следовательно, применение выходной диафрагмы со щелью, соответствующей кольцевому изображению, должно в этих случаях дать разрешение $\eta = 1 - 1,3\%$.

Для меньших значений α_1 и α_2 при том же значении $\omega = 2\%$ разрешение было заметно хуже, как и следует ожидать из теоретических расчетов [8].

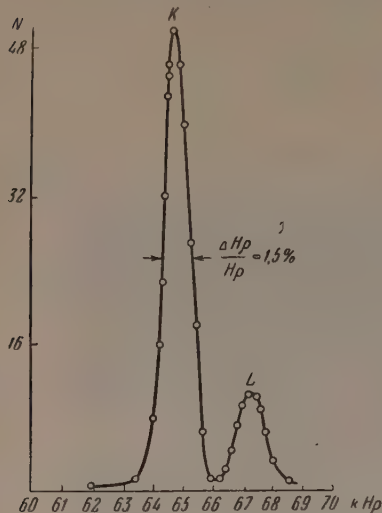
Заметим, что при использовании указанного пучка без кольцевой диафрагмы разрешение спектрометра, оцененное по кривой рис. 6, с учетом размеров осевого изображения ($\phi = 15$ мм), дает значение $\sim 7\%$.

Для установки кольцевой диафрагмы данные, полученные с электронной пушкой, не обеспечивают требуемой точности и недостаточны, так как включают влияния размеров источника. Поэтому было проведено фотографирование пучка конверсионных электронов F -линии ThB (при токе, соответствующем максимуму линии) для источника $\phi 3$ мм, при $\alpha_1 = 20,5^\circ$ ($\omega = 1,2\%$).

Для определения z — координаты кольцевого фокуса — рентгеновая пленка в специальной кассете, положение которой точно фиксировалось, помещалась вдоль оси спектрометра в области кольцевого изображения. Затем при постоянно контролируемом токе в линзах проводилась 12-часовая экспозиция с источником активностью $1 \div 2$ mCi.

На рис. 7 приведена полученная таким способом продольная фотография изображения в плоскости K на расстоянии 8 см от окошка счетчика; плоскость, совпадающая с осью прибора b , обусловлена электронами меньших энергий, принадлежащими непрерывному β -спектру. Для точного определения ширины и радиуса кольцевого изображения в его плоскости была получена поперечная фотография электронного пучка. Съемка производилась для двух значений тока в линзах, что позволило определить отношение $\delta r_I / \delta I / I$, которое оказалось равным $2,5 \text{ мм/\%}$ в согласии с вышеприведенным значением, полученным с электронной пушкой.

Кольцевое изображение не было строго одинаковой ширины на различных участках, и величина δr_k менялась в пределах $3,2 \div 3,5$ мм; $r_k = 30$ мм. В соответствии с этим была установлена выходная диафрагма с шириной щели 3,6 мм, полностью охватывающее кольцевое изображение.



После установки кольцевой диафрагмы были проведены измерения конверсионных линий ThB и Cs¹³⁷. В этих измерениях для источника $\phi = 3$ мм при $\omega = 1,2$ % мы получили $\eta = 1,6$ %, что хорошо согласуется с величиной η оцененной из найденных характеристик кольцевой фокусировки. Измерения выполненные с источниками различных размеров: 2, 4 и 5 мм, дали значения η равные 1,5; 1,7 и 1,9 % соответственно.

На рис. 8 приведены K- и L-конверсионные линии Cs¹³⁷, полученные с ис

Рис. 8. K- и L-конверсионные линии Cs¹³⁷ $16^\circ < \alpha < 20,5^\circ$. Вдоль оси абсцисс отложены величины, пропорциональные Нр

точником $\phi = 2$ мм. Из градуировки спектрометра следует, что при максимально допустимой мощности, рассеиваемой в линзах, энергия фокусируемых электронов 3,4 MeV.

4. Улучшение кольцевой фокусировки

Большой интерес для дальнейшего улучшения характеристик спектрометра представляет изучение и использование внутренних корректирующих катушек. В одном из испытанных расположений (рис. 9) использо

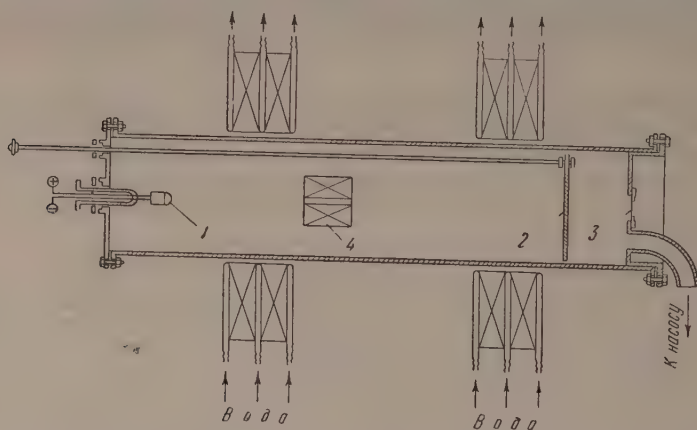


Рис. 9. Схема опытов по изучению влияния внутренней катушки на фокусировку: 1 — электронная пушка, 2 — подвижной флуоресцирующий экран, 3 — смотровое окно, 4 — внутренняя катушка

валась катушка из эмалированного провода $\phi 0,8$ мм, с внешним $\phi 100$ мм и длиной 100 мм. Расстояние от источника до центра катушки составляло 25 см.

Наблюдая за отдельными лучами по флуоресцирующему экрану, можно было установить, что магнитное поле внутренней катушки вызывает дополнительное вращение лучей и смещение их к периферии.

Направление дополнительного вращение совпадает с вращением, вызываемым линзой при одинаковом направлении токов в линзе и катушке, и не совпадает в противном случае.

Смещение лучей к периферии наблюдается в обоих случаях, причем в первом случае величина смещения больше. Внутренняя катушка оказывает большее рассеивающее действие на траектории, проходящие близко к ней, чем на траектории удаленные. Вследствие этого происходит изменение кольцевой фокусировки (рис. 10). При прохождении тока через внутреннюю катушку кольцевое изображение смещается по направлению к источнику, и радиус его возрастает; ширина изображения уменьшается, достигая минимума при определенном значении тока и с дальнейшим увеличением тока снова возрастает. Диаметр осевого изображения с увеличением тока в катушке непрерывно растет. На рис. 11 (см. вклейку I) в иллюстрации представлены фотографии, снятые при помощи фотоаппарата через щелевое окно. Используемый

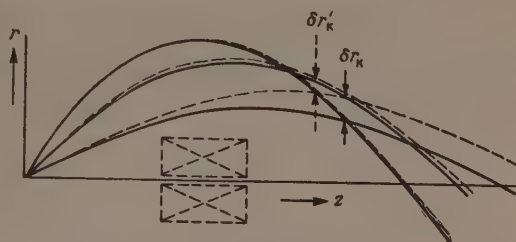


Рис. 10. Характер влияния внутренней катушки на траектории и кольцевое изображение. Сплошные линии—траектории при выключенной внутренней катушке; пунктирные линии—траектории при включенной внутренней катушке

электронный пучок ограничивался углами $\alpha_1 = 22^\circ$ и $\alpha_2 = 15^\circ$ ($\omega = 2\%$). При таком фотографировании часть кольцевого изображения слилась с бликами, вызванными светом нити накала, поэтому на рис. 11 показана только сравнительно ясная часть фотографии. При визуальном наблюдении эта засветка, имевшая белый цвет, не мешала, так как кольцевое изображение на экране было ярко зеленым.

Фотография кольцевого изображения меньшего радиуса, полученная выключенной внутренней катушкой, имеет ширину 3—3,5 мм. Второе изображение большего радиуса получается при оптимальном токе во внутренней катушке, когда наблюдали минимум ширины кольцевого изображения, и в этом случае его ширина уменьшилась до 1,2—1,5 мм. При этом диаметр осевого изображения увеличился в 1,5 раза и был равен 5 мм. Так как наша электронная пушка не есть идеальный точечный источник, то, очевидно, она вносит свой вклад в ширину кольцевого изображения. Из измерений ширины кольцевого изображения при последовательном уменьшении телесного угла было установлено, что ширина уменьшается до величины 0,5 мм, после чего остается постоянной. Если учесть эту постоянную величину, обусловленную пушкой, то оказывается, что действие внутренней катушки уменьшает в три раза сферическую абберацию кольцевой фокусировки.

Наблюдения показали, что при этом величина $\delta r_I / \delta I / I$ для $\delta r_I = \pm 2$ мм получается такой же, как раньше, так как $2,5 \text{ мм/1 \%}$ * ($\delta r_I = \pm 2 \text{ мм}$). Сюда можно получить, что спектрометр с улучшенной кольцевой фокусировкой имеет высокие характеристики, а именно, при $\omega = 2\%$, $\eta = 0,3—0,4\%$ для точечного источника.

При расположении, изображенном на рис. 9, мощность, потребляемая внутренней катушкой, составляет 10 % от мощности, рассеиваемой в лин-

* Было замечено, что если радиус r_k уменьшать больше чем на 5 мм, то $\delta r_I / \delta I / I$ заметно уменьшается.

зах спектрометра. Эта цифра может быть еще уменьшена в 1,5—2 раза удалением внутренних витков катушки, не существенных для ее работы.

Степень влияния катушки на траектории зависит от ее положения в приборе. Она тем сильнее, а следовательно, потребляемая катушкой мощность тем меньше, чем ближе к началу траекторий расположена катушка. Поэтому последняя помещалась как можно ближе к источнику.

2-й Научно-исследовательский
физический институт Московского
гос. университета им. М. В. Ломоносова

Цитированная литература

1. Bent R., Bonner W., Sippel R., Phys. Rev., **98**, 1237 (1955).
2. Glaser W., ZS. f. Phys., **116**, 19 (1940).
3. Siegbahn K., Phil. Mag., **37**, 162 (1945).
4. Agnew H., Andersen H., Rev. Sci. Instr., **20**, 869 (1949).
5. Glaser W., ZS. f. Phys., **117**, 285 (1941).
6. Paquen G., Grivet P., C. R., **230**, 65 (1950).
7. Daniel H., Bothe W., ZS. f. Naturforsch., **9a**, H. 5, 402 (1954).
8. Paquen G., Grivet P., C. R. **230**, 196 (1950).
9. Paquen G., Grivet P., C. R., **230**, 1048, 1652 (1950).
10. Snowdon S., Rev. Sci. Instr., **22**, 878 (1951).
11. Rundle G., Ellis T., Griffith T., Tomlinson H., Pros. Phys. Soc., **67** (B), 52 (1954).
12. Quade E., Halliday D., Rev. Sci. Instr., **19**, 234 (1948).
13. Deutsch M., Elliot L., Evans R., Rev. Sci. Instr., **15**, 178 (1944).
14. Шпинель В., ЖЭТФ, **22**, 255 (1952).
15. Persico E., Rend. Lincei, **7** (1950).
16. Nadeu G., Rend. Lincei, **10**, 225 (1951).
17. Hubert P., Annales de Phys., **8**, 662 (1953).
18. Persico E., Проблемы современной физики, вып. 7, 151 (1952).

В. М. ОВЧИННИКОВ, Ю. А. НЕМИЛОВ, М. Л. АЛЕКСАНДРОВА
и И. И. ЛОМОНОСОВ

СХЕМА РАСПАДА Ne^{23}

С помощью сцинтилляционного γ -спектрометра мы предприняли попытку исследования γ -спектра Ne^{23} ($T=40,2$ сек). Изотоп Ne^{23} мы получали реакции $\text{Na}^{23}(n, p)\text{Ne}^{23}$ при облучении металлического натрия, заключенного в никелевую капсулу, нейтронами от D-Li источника при $E_d=4,5$ MeV.

В сцинтилляционном γ -спектрометре был использован кристалл NaI (2 см \times 3 см) и фотоумножитель ФЭУ-12.

Импульсы от кристалла исследовались посредством 50-канального анализатора или при малых интенсивностях фотометрированием снимков деления импульсов на экране осциллографа со ждущей разверткой. Относительная полуширина линии Cs^{137} (661 keV) составляла около 6%. Спектрометр был прокалиброван при помощи известных γ -линий топов: Tl^{170} , Hg^{203} , Au^{198} , Cs^{137} , Zn^{65} , Co^{60} и Na^{24} . В исследуемом интервале энергий он обладал хорошей линейностью.

В γ -излучении Ne^{23} была обнаружена линия с энергией 440 ± 5 keV. Наблюдавшееся распределение импульсов представлено на рис. 1; γ -линия с энергией 3 MeV, полученная в рабо-

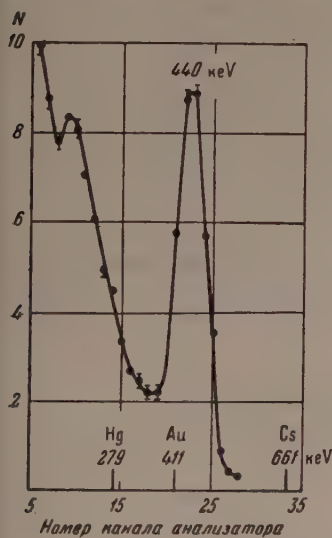


Рис. 1. Спектр γ -лучей Ne^{23}

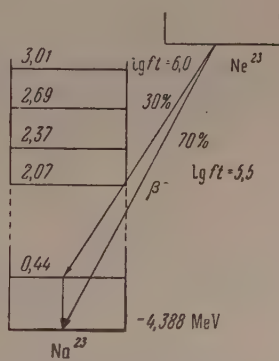


Рис. 2. Предполагаемая схема распада Ne^{23}

! [1, 2] методом поглощения γ -лучей в свинце, нами обнаружена не а. Верхний предел ее интенсивности, как следует из наших измерений, составляет не более 0,2% от интенсивности γ -линии 440 keV. Мы наблюдали также γ -линию с энергией 1,63 MeV, которая после изучения ее периода полураспада была отнесена к F^{20} ($T = 10,7$ сек), образуемому по реакции $\text{Na}^{23}(n, \alpha)\text{F}^{20}$. С помощью кристаллов CsI и стиль а изучались β - γ -совпадения. Кристалл CsI был защищен от β -лучей ьторм из Al , поглощающим β -частицы с энергией до 5 MeV. Для исклю-

чения влияния излучения F^{20} измерения начинались спустя десять периодов его полураспада после окончания облучения. Эти опыты показали, что β -спектр, связанный с γ -линией 440 keV, имеет границу на 400 ± 100 keV ниже, чем полный β -спектр Ne^{23} . Определенное нами отношение количества переходов на возбужденное состояние Na^{23} (440 keV) к полному числу распадов оказалось равным $30 \pm 5\%$.

Таким образом, можно предполагать, что распад Ne^{23} происходит согласно схеме, представленной на рис. 2.

После окончания настоящей работы мы получили возможность ознакомиться с результатами работ [3, 4], посвященных тому же вопросу. Наши результаты расходятся с данными работы [3], в которой линия 1,63 MeV была отнесена к Ne^{23} , и совпадают с выводами работы [4].

Цитированная литература

1. Pollard E., Watson W., Phys. Rev., 58, 12 (1940).
2. Peretz-Mendez V., Brown H., Phys. Rev., 78, 812 (L) (1950).
3. Penning J., Schmidt R., Bull. Amer. Phys. Soc., 30, 5, 8 (1955).
4. Gerber H., Garcia Muñoz M., Maeder D., Helv. Phys. Acta, 28, 4 (1955).

Л. Л. ПЕЛЕКИС

ИЗМЕРЕНИЯ γ - γ -СОВПАДЕНИЙ В СПЕКТРАХ Ir^{192} и Sb^{124}

γ — γ -совпадения измерялись при помощи двух сцинтилляционных спектрометров с одноканальными анализаторами амплитуд, включенных в схему совпадений. Разрешающее время схемы совпадений $1 \cdot 10^{-6}$ сек. Грузка в каждом канале и счет совпадений регистрировались одновременно отдельными пересчетными схемами. Счет случайных совпадений составлял около 5% от общего измеренного числа совпадений. В работе использовались фотоэлектронные умножители типа ФЭУ-19 и кристаллы NaJ—Tl и CsJ—Tl с отражателем MgO .

Ir^{192} . Подробный обзор экспериментальных данных, посвященных излучению Ir^{192} , имеется в работе А. Башилова, Н. Антоньевой, Б. Желепова. В более поздних работах по изучению изотопа Ir^{192} [2—7] даются схемы распада, в основном согласующиеся со схемой, приведенной в работе [1]. Наиболее интенсивная область γ -спектра Ir^{192} , полученная нами на сцинтилляционном γ -спектрометре с кристаллом NaJ—Tl , показана на рис. 1. Кристалл NaJ—Tl в виде цилиндра ϕ 29 мм и высотой 13,3 мм освещался неколлимированным пучком γ -лучей. Ширина «окна» амплитудного анализатора составляла 19 keV. При таких условиях эксперимента полуширина линии Cs^{137} (661 keV) равнялась 11%.

По площадям фотопиков оценены относительные интенсивности отдельных групп γ -линий. При этом для определения спектральной чувствительности прибора были использованы расчеты Маедера и др. [8] и реперные спектры, полученные при помощи монохроматических γ -лучей Cs^{137} и Sr^{90} . Результаты такой оценки относительных интенсивностей трех главных групп γ -линий представлены в таблице. Для сравнения приведены относительные интенсивности этих групп по данным других авторов. Совпадение результатов удовлетворительное, если учесть, что ошибки при оценке относительных интенсивностей могут достигать ~ 10 —20%.

Относительные интенсивности группы γ -линий Ir^{192}

Энергия γ -лучей, MeV	Данные разных авторов				Наши измерения
	[1]	[5]	[6]	[9]	
0,308; 0,316	100	100	100	100	100
0,484	29,6 (без линии 0,484)	47,6	50,4	35,8	38,5
0,605; 0,613	12,6	18,4	19,1	19,7	19,8

Полученные спектры γ — γ -совпадений показаны на рис. 2 и 3. Ширина «окна» первого, «неподвижного», канала составляла 60 keV, второго — 10 keV. Геометрия опыта показана на рис. 2. Кристаллы NaJ—Tl распола-

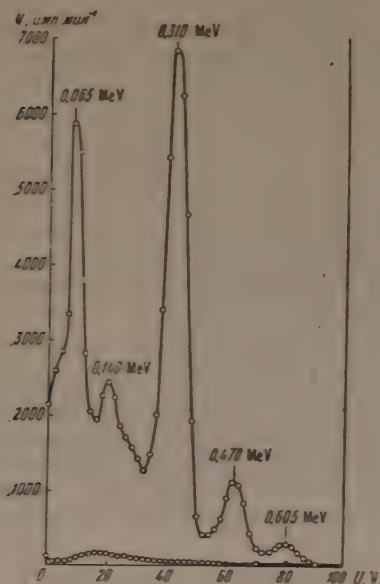


Рис. 1

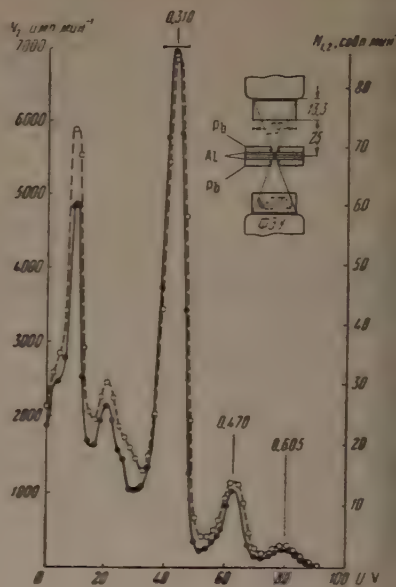


Рис. 2

Рис. 1. γ -Спектр Ir^{192} , снятый на сцинтилляционном спектрометре. Нижняя кривая — фон.

Рис. 2. Спектры γ — γ -совпадений для Ir^{192} ; сплошная кривая — γ -спектр, коррелирующий с γ -лучами 0.310 MeV; пунктирная кривая — γ -спектр Ir^{192} , полученный одновременно со спектром совпадений при помощи анализирующего канала; горизонтальной чертой показано положение «окна» неподвижного канала.

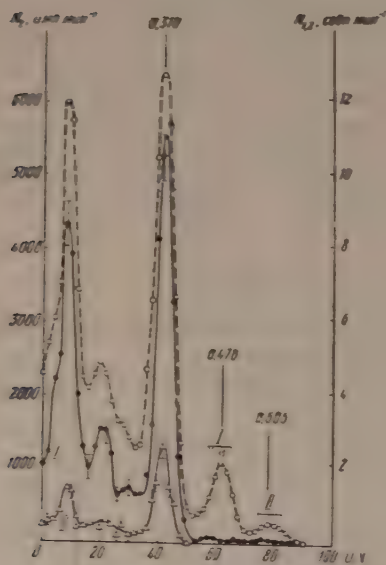


Рис. 3

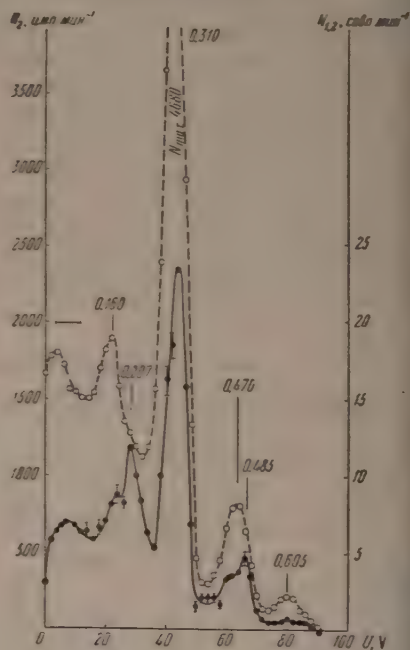


Рис. 4

Рис. 3. Спектры γ — γ -совпадений для Ir^{192} ; сплошные кривые I и II — γ -спектры, коррелирующие с γ -лучами 0.470 MeV и 0.605 MeV соответственно; пунктирная кривая — γ -спектр Ir^{192} , полученный при помощи анализирующего канала.

Рис. 4. Спектры рентгеновских γ -совпадений для Ir^{192} ; сплошная кривая — γ -спектр, коррелирующий с рентгеновыми лучами (65 KeV); пунктирная кривая — γ -спектр Ir^{192} , полученный при помощи анализирующего канала; рентгеновые лучи поглощены экраном, состоящим из Cd (1 мм) и Cu (0,5 мм).

лись под углом 180° по отношению к источнику. Расстояние между источником и каждым кристаллом 25 мм. β -Частицы Ir^{192} поглощались пластинкой из алюминия толщиной 0,8 мм. Для устранения совпадений от рассеянных γ -квантов из одного кристалла в другой использовался поглотитель из свинца толщиной 5 мм, расположенный симметрично с каждой стороны источника. В центре против источника — свинцовый поглотитель, имеющий отверстие ϕ 5 мм.

Экспериментально полученные числа γ — γ совпадений в пределах ошибки измерений удовлетворительно согласуются с ожидаемыми числами γ — γ -падений. Последние рассчитаны (для разных условий опыта), исходя из схемы распада Ir^{192} , приведенной в работе [1]. При этом переход 0,468 MeV принимался более интенсивным, в соответствии с результатами работ [5, 6]. Из приведенной в работе [1] схемы распада следует, что при распаде Ir^{192} могут испускаться рентгеновы лучи Pt (внутренняя конверсия γ -лучей) и Os (захват, внутренняя конверсия γ -лучей). Для исследования рентгеновских совпадений «неподвижный» канал направлялся на фотопик рентгеновских лучей. Чтобы уменьшить интенсивность рентгеновых K-лучей из свинцовый поглотитель (щиток) покрывался Cd толщиной 1 мм и Cu толщиной 0,5 мм.

Снимались два спектра совпадений: первый — без поглотителя рентгеновых лучей перед кристаллом «неподвижного» рентгеновского канала, а второй — с поглотителем, состоящим из Cd (1 мм) и Cu (0,5 мм).

В первом случае, очевидно, изучается суммарный эффект совпадений, условленный как совпадением между γ -линией и рентгеновским квантом, так и совпадением двух каскадных линий, из которых одна дает фотопик в кристалле анализирующего канала, а вторая претерпевает комптоновское рассеяние в кристалле «неподвижного» канала. Наличие поглотителя во втором опыте исключает совпадения, обязанные последовательному излучению γ - и рентгеновских квантов. Таким образом, разность описанных двух спектров совпадений — чистый спектр совпадений γ -лучей данной энергии и рентгеновского кванта. Полученный разностный спектр приведен на рис. 4.

В спектре рентгеновских γ -совпадений обнаружены фотопики γ -линий энергиями 0,207 и 0,485 MeV, принадлежащие, очевидно, Os^{192} . Sb^{124} . Условия опыта при изучении спектров γ — γ -совпадений Sb^{124} аналогичны. β -частицы поглощались пластинкой из алюминия толщиной 0,8 мм. В качестве сцинтилляторов использовались кристаллы CsI—Tl. В виде цилиндров ϕ 29 мм, высотой 13 мм (в «неподвижном» канале) и ϕ 34 мм высотой 16 мм (в анализирующем канале). Спектры γ — γ -падений Sb^{124} представлены на рис. 5. γ -Спектр, коррелирующий с γ -лучами с энергией $\sim 0,6$ MeV, указывает на наличие каскадных переходов с γ -линиями 0,646, 0,720, 1,69, 2,09, 1,36, 1,1, 0,98 MeV. Наличие каскадной связи первых четырех γ -линий с линией 0,603 MeV указано в работах [10, 11]. Последние три линии были обнаружены

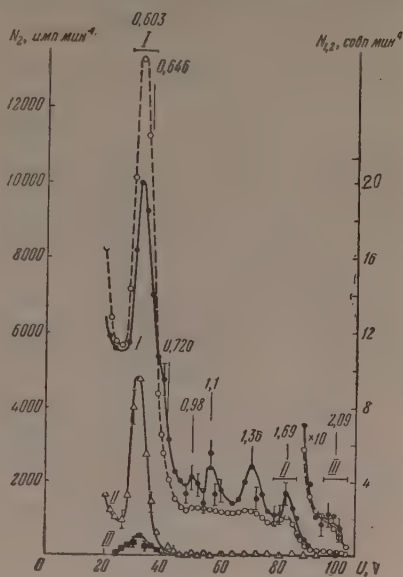


Рис. 5. Спектры γ — γ -совпадений Sb^{124} ; сплошные кривые I, II, III — γ -спектры, коррелирующие с γ -лучами с энергиями $\sim 0,6$; 1,7 и 2,1 MeV соответственно. Ширина «окна» неподвижного канала 160 keV. Пунктирная кривая — γ -спектр Sb^{124} , полученный при помощи анализирующего канала

в спектре Sb^{124} в ряде работ [12—14], выполненных на различных спектрометрах. Однако связь этих линий с переходом 0,603 MeV не установлена. Полученные нами экспериментальные данные о возможном каскадном переходе 2,09—0,603 MeV совпадают с результатами работы [10]. Однако ввиду малой интенсивности линии 2,09 MeV этот результат может рассматриваться только как предварительный. Для получения однозначного результата требуется количественная оценка всех факторов, которые влияют на экспериментальное число совпадений в данной области энергии. Этого требуется определение спектральной чувствительности прибора и ряд дополнительных экспериментов.

Выражаю благодарность Л. Бамбе и З. Пелекис за участие в измерении.

Институт физики Академии наук Латв. ССР

Цитированная литература

1. Башилов А. А., Антоньева Н., Дзелепов Б., Изв. АН СССР, Сер. физич., 16, 264 (1952).
2. Roulston K., Pringle R., Phys. Rev., 87, 930 (1952).
3. Daniel C., Wiedenbeck M., Phys. Rev., 94, 501 (1954).
4. Pringle R., Turshinets N., Taubor N., Phys. Rev., 95, 115 (1954).
5. Johns M., Nablo S., Phys. Rev., 96, 1599 (1954).
6. Глазунов М., Дзелепов Б., Хольнов Ю., Изв. АН СССР, Сер. физич., 19, 294 (1955).
7. Taylor H., Pringle R., Phys. Rev., 99, 1345 (1955).
8. Maeder D., Müller R., Wintersteiger V., Helv. Phys. Acta, 3 (1954).
9. Jaffe N., UCRL — 2537 (1954); Nuc. Sci. Abstr., 9, 12B, 282 (1955).
10. Langer L., Lazar N., Moffat R., Phys. Rev., 91, 338 (1953).
11. Langer L., Starner J., Phys. Rev., 93, 253 (1954).
12. Lazar N., Phys. Rev., 95, 292 (1954).
13. Громов К., Дзелепов Б., Жуковский Н., Силантьев Ю., Хольнов Ю., ДАН СССР, 86, 225 (1952).
14. Золотавин А., Григорьев Е., Аброян М., Изв. АН СССР, Сер. физич., 20, 289 (1956).

М. П. ГЛАЗУНОВ и В. И. СПИЦЫН

КОМБИНИРОВАННЫЙ β — γ -СПЕКТРОМЕТР

Среди магнитных β -спектрометров наибольшее распространение получили спектрометры с улучшенной фокусировкой электронов в одном или двух направлениях в неоднородном поперечном магнитном поле. Это объясняется тем, что в таких приборах удачно сочетается высокая разрешающая способность при достаточной светосиле. Как показали Джелепов и Башиев [1], спектрометр типа «кэтрон» с улучшенной фокусировкой электронов на 180° в одном направлении незначительно уступает в разрешающей способности спектрометру с двойной фокусировкой электронов типа Зигна — Свартхольма [2] при одинаковой светосиле. Между тем в спектрометре типа кэтрон расчет магнитного поля, конструкция полюсов и подложка поля под расчетное распределение являются значительно более простыми, чем в спектрометре с двойной фокусировкой. Спектрометр типа кэтрон позволяет с высокой точностью анализировать как β -спектры, так и спектры по электронам внутренней конверсии и фотоэлектронам. С другой стороны, для уточнения схем распада атомных ядер требуется знание относительных интенсивностей отдельных линий γ -спектров.

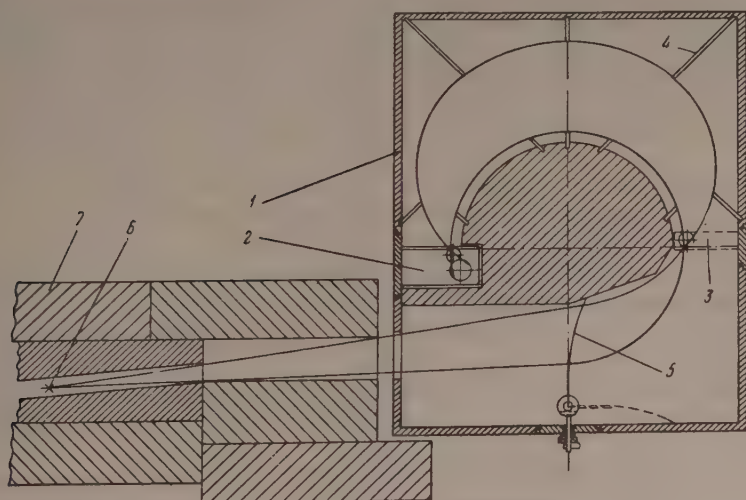


Рис. 1. Схема комбинированного β — γ -спектрометра: 1 — измерительная камера; 2 — большая счетчиковая камера, 3 — малая счетчиковая камера, 4 — диафрагма, 5 — мишень, 6 — источник γ -лучей, 7 — коллиматор

наиболее точно можно определить, изучая γ -спектр по электронам отдачи. Для этих целей Джелепов, Жуковский, Хольнов и др. [3, 4] построили специальные спектрометры типа ритрон и элотрон. Разработанный нами комбинированный β — γ -спектрометр объединяет в себе β -спектрометр типа кэтрон и γ -спектрометр типа элотрон. Схема прибора показана на рис. 1.

Имея один магнит, измерительную камеру и систему контроля, мы имеем возможность проводить измерения, обычно требующие наличия двух приборов.

1. Конструкция комбинированного β — γ -спектрометра

1. Электромагнит, система питания и контроля

Для улучшения фокусировки мы применили неоднородное магнитное поле, убывающее в радиальном направлении. Корсунский, Кельман и Петров [5] впервые предложили и построили β -спектрометр с неоднородным магнитным полем, фокусирующим широкий плоский пучок электронов. Теория такого поля разбирается в цитированной выше работе Далепова и Башилова. Полное решение задачи фокусировки плоских пучков электронов в неоднородном магнитном поле было дано Павинским [6].

Для нашего спектрометра мы применили электромагнит С-образного типа с двумя секционированными катушками с обмоткой из полосок меди сечением $6 \times 1,5$ мм. Сердечник магнита собран из отдельных брусьев материала для которых служила сталь марки Ст. 20. Полюсные наконечники

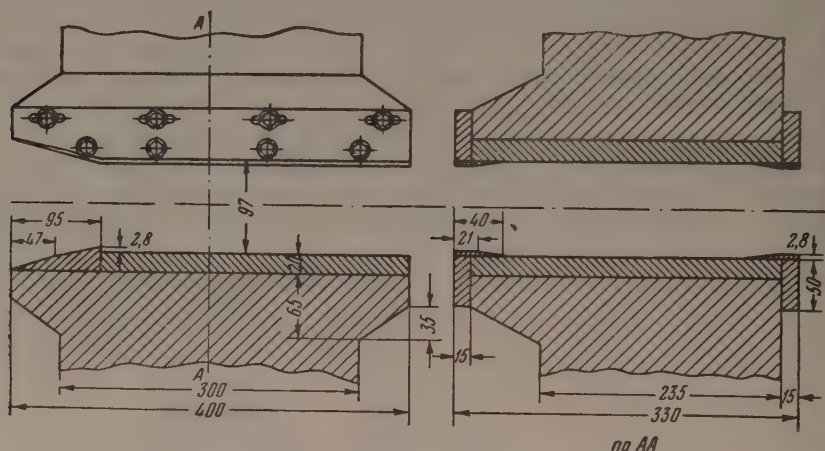


Рис. 2. Конструкция полюсов магнита

ники имели размер 300×400 мм и были изготовлены из малоуглеродистой стали. Сечение магнитопровода в самом узком месте составляло 25×300 мм. При поле в зазоре между полюсными наконечниками 3000 насыщения железа не наблюдалось.

В целях удобства подгонки магнитного поля под теоретическое распределение дополнительные полюсные наконечники были разрезаны на части. Первая часть предназначалась для создания однородного поля, вторая — для неоднородного поля. Обе части полюсного наконечника крепились при помощи соединительных планок к магниту. Соединительные планки одновременно увеличивали ширину полюсов до 330 мм. Для компенсации краевого эффекта сделаны дополнительные клинья. Конструкция и размеры полюсов показаны на рис. 2.

Топография магнитного поля измерялась при помощи флюксметра баллистического гальванометра с поворачивающейся на 180° катушкой. Мы использовали катушку со следующими данными: длина 6 мм, средний диаметр 8 мм, диаметр провода 0,1 мм, число витков 1500. Следует заметить, что при отношении длины L и среднего диаметра $D_{\text{ср}}$ катушки $L/D_{\text{ср}} = 0,72$ точность измерения мало зависит от размеров катушки [7]. В этом случае измеряемая напряженность магнитного поля соответствует напряженности в центре катушки. Измерение абсолютной напряженности

магнитного поля в зазоре носило вспомогательный характер и производилось флюксометром с калиброванными катушками. Отклонение напряженности магнитного поля от теоретического распределения не превышает 0,2%. Топография магнитного поля в пределах точности измерений (0,2%) изменяется при изменении напряженности.

Питание магнита осуществлялось от аккумуляторных батарей с напряжением 120 В. Ток в цепи магнита контролировался при помощи компенсационной схемы — с применением потенциометра типа ППТВ-1. Точность контроля тока порядка $2 \cdot 10^{-5}$.

2. Измерительная камера

При проектировании измерительной камеры мы исходили из следующих параметров: 1) радиус кривизны основной траектории электронов — 10 мм; 2) горизонтальный угол расходимости электронного пучка — 45° ; 3) вертикальный угол $\pm 5^\circ$; 4) высота источника — до 20 мм; 5) камера должна допускать возможность быстрого перехода от измерения спектров к измерению γ -спектров по электронам отдачи.

Измерительная камера была сконструирована в виде латунной коробки с съемной крышкой. Толщина ее стенок составляла 8 мм, крышка — 10 мм. Крышка уплотнялась при помощи резины.

Для защиты счетчиков от прямого γ -излучения источника использовался свинцовый блок толщиной 180 мм. В боковых стенках измерительной камеры сделаны специальные окна для установки счетчиковых камер, держателя и мишени.

Источник и входная щель счетчиковой камеры находятся в одной плоскости. Расстояние между входной щелью и источником ($2\rho_0$) устанавливалось после сборки камеры. Установка облегчалась тем, что положение щели и источника держателя могло регулироваться.

При изучении на спектрометре γ -спектра по электронам отдачи вместо держателя может устанавливаться малая счетчиковая камера с регулируемой щелью. Мишень вводится в пучок γ -лучей или выводится из него без нарушения вакуума. Переход от изучения γ -спектра по электронам отдачи к измерениям по фото- или конверсионным электронам может быть осуществлен в течение 1 часа.

Для уменьшения числа рассеянных электронов внутренние поверхности стенок и крышки камеры обшивались алюминием. Все части камеры, по возможности, удалялись от пучка электронов. Для ограничения попадания в счетчики рассеянных электронов были также поставлены диафрагмы, две из которых вырезали пучок электронов с требуемыми углами расходимости. Эти диафрагмы сделаны регулируемыми в радиальном направлении.

Вся вакуумная система и система наполнения счетчиков смонтированы на отдельном откачном посту (рис. 3).

3. Счетчиковые камеры и счетчики

Регистрация электронов в описываемом спектрометре осуществляется счетчиками Гейгера — Мюллера, помещенными в большую и малую счетчиковые камеры. Корпус большой счетчиковой камеры представляет собой цилиндр с крышкой. Внутри цилиндра расточены гнезда для двух счетчиков. Корпус камеры крепится кронштейном к фланцу. На кронштейне имеется выступ, который входит в паз поперечной рамки измерительной камеры, фиксируя таким образом положение входной щели относительно источника. Ширина входной щели может регулироваться без нарушения вакуума микрометрическим винтом. Объем счетчиковой камеры отделен от объема измерительной камеры тонкой, порядка $10\text{--}15 \text{ мкг см}^{-1}$, коллоидной пленкой. Счетчики изготавливались из меди. Их внутренняя поверхность тщательно полировалась. В качестве пробок использовался полированный

плексиглас. Наличие двух окон в первом счетчике сильно искажает форму электрического поля. Поэтому было необходимо одно (большое) окно счетчика заклеивать тонкой ($2-3 \text{ мкг см}^{-2}$) коллодиевой пленкой, покрытой тонким слоем меди.

Счетчиковая камера наполнялась до давления 9—12 см рт. ст. смесью аргона и паров абсолютированного этилового спирта в отношении 10 :

Спектр γ -лучей по электронам отдачи можно изучать, используя первый счетчик, помещенных в большую счетчиковую камеру. Счетчики включаются по схеме совпадений. Однако ввиду близкого расположения счетчиков, а также проникновения прямого γ -излучения от источника наблюдается большой фон ложных совпадений; это затрудняет работу, особенно



Рис. 3. Внешний вид комбинированного β — γ -спектрометра. На переднем плане виден вакуумный откачной пост

при изучении малоинтенсивных линий. Мы изготовили дополнительную малую счетчиковую камеру с одним счетчиком, поместив ее таким образом, что счетчик встал в первый фокус (на рис. 1 показано штриховыми линиями). Объем этой камеры отделен от объема измерительной камеры коллодиевой пленкой и соединяется с большой счетчиковой камерой. Входное окно малой камеры имеет размер $2 \times 20 \text{ мм}$, выходное — $8 \times 20 \text{ мм}$. Чтобы уменьшить площадь пленки выходного окна, в нем сделана узкая поперечная перемычка.

Счетчики обычно имели рабочую область 200 В при напряжении ионизации 800 — 900 В. В конструировании измерительной и большой счетчиковой камеры принимали участие сотрудники Института физической химии АН СССР В. И. Гаврилов и Н. Я. Титова.

4. Счетно-регистрирующая схема

Регистрация импульсов от счетчиков производится непосредственно при помощи расчетной установки типа ПС-64 или, в случае работы двух счетчиков, через схему совпадений. Разрешающее время схемы совпадений равно приблизительно $5 \cdot 10^{-6} \text{ сек}$. Схема позволяет работать на двойных и тройных совпадениях. Один из каналов схемы может быть включен на антисовпадения. Схема совпадений была собрана студентом МИФИ В. Сапожниковым при выполнении им дипломной работы.

II. Разрешающая способность и светосила комбинированного β — γ -спектрометра

1. Полуширина линий конверсионных и фотоэлектронов

Джелепов и Башилов в цитированной выше работе дают следующую формулу для подсчета относительной полуширины линий в β -спектрометре:

$$R = \frac{1}{4} \cdot \frac{(\Delta x) + d + q + 2\sigma}{\rho},$$

Δx — ширина изображения линейного источника, d — ширина щели, q — ширина источника, σ — спектральная ширина, ρ — радиус прира.

Подсчитанная по этой формуле относительная полуширина линий при ρ — 0,8 мм, высоте источника 15—20 мм, горизонтальном угле расходимости 30° и вертикальном угле $\pm 3^\circ$ равняется приблизительно 0,6%. Такая полуширина была получена при снятии спектра конверсионных электронов Cs^{137} в условиях работы на одном счетчике.

2. Полуширина линий электронов отдачи

Форма спектральной линии и ее полуширина определяются энергией фотоэлектронов, геометрией прибора (относительным расположением источника и мишени, радиусом прибора и т. д.), рассеянием и торможением электронов отдачи в мишени и пленках счетчиков, а также размерами источника. Расчет формы спектральной линии для γ -спектрометра с однородным магнитным полем типа «ритрон» был проделан Хольновым [8], учтя часть факторов, влияющих на форму линии. Вопросы формы линии рассматривались также Джелеповым, Жуковским и Хольновым в указанной выше работе. Как следует из этих работ, расчетная и экспериментальная полуширины линий значительно отличаются одна от другой. Джелепов [9] объяснил, по крайней мере, часть этого расхождения наличием «естественной» ширины линии электронов отдачи.

Весьма трудно рассчитать форму линий электронов отдачи в γ -спектрометре с неоднородным полем. Однако, учитывая экспериментальные результаты, полученные на γ -спектрометрах «ритрон» и «элотрон», можно предположить, что полуширина линий электронов отдачи в нашем случае должна быть порядка 2—2,5% для γ -линии Cs^{137} . Это подтвердилось на практике.

III. Градуировка спектрометра

1. Градуировка по γ -линиям конверсионных или фотоэлектронов

Мы градуировали свой прибор по правому спаду конверсионных линий. В качестве эталонных линий мы использовали K - и L -линии конверсионных электронов Cs^{137} (рис. 4); энергия этого γ -перехода, измеренная методом статаллидифракционным методом, составляет 0,6616 MeV.

Поскольку при напряженностях магнитного поля до 2000—3000 Ое наблюдается насыщения железа магнита, мы считали зависимость напряженности поля от тока в катушках линейной. Величина тока, соответствующего нулевой напряженности при выходе с отрицательной петли гистерезиса, выбиралась по графику петли. Напряженность проверялась питомером. Градуировка проверялась по γ -линии Zn^{65} . Снятый спектр K - и L -линии фотоэлектронов с энергиями 1033 и 1105 keV, что соответствует энергии γ -лучей 1120,6 keV. В качестве радиатора использовалась свинцовая фольга.

2. Градуировка спектрометра по электронам отдачи

Мы градуировали прибор по вершинам линий электронов отдачи. В качестве эталонных мы выбрали γ -линии Co^{60} и Cs^{137} . На рис. 5 представлен градуировочный график прибора по конверсионным электронам и по электронам отдачи 2. По оси абсцисс отложены деления потенциометра по оси ординат — энергия электронов в единицах $H\rho$.

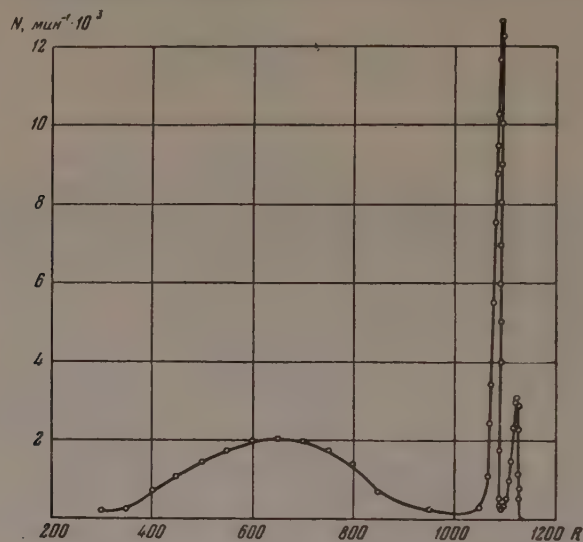
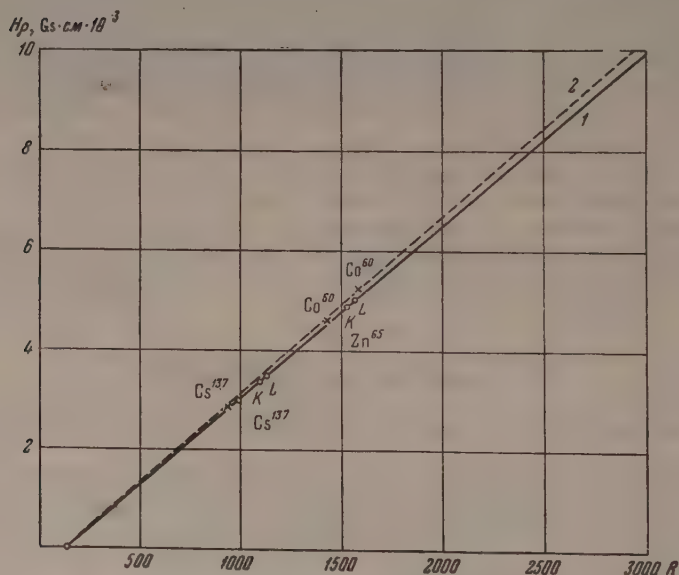
Рис. 4. β -Спектр Cs^{137} . R — деления потенциометра

Рис. 5. Градуировка по энергиям

VI. Воспроизводимость результатов и точность измерений на комбинированном β — γ -спектрометре

Необходимо было установить, насколько точно соответствует ток в электромагните напряженности магнитного поля и как это соответствие сохраняется в процессе работы при разных сериях опытов. Для этого мы т

но исследовали петлю гистерезиса и изучили повторение этой петли в разных циклах изменения тока в электромагните. Опытом установлено, что так называемая частная петля гистерезиса, получаемая при изменении тока в электромагните $0 \rightarrow I_{max} \rightarrow 0$, начинается с некоторой начальной напряженности и не имеет линейной зависимости от тока, особенно в начале петли. Повторяемость полной петли гистерезиса, получаемая при изменении тока в катушках $0 \rightarrow I_{max} \rightarrow 0 \rightarrow (I_{min} = |I_{max}|) \rightarrow 0$, лучше, чем в случае частной петли. Кроме того, напряженность поля на большом участке, включая линейно связана с током. Учитывая это, мы выбрали в качестве рабочей петли полную петлю гистерезиса.

Однозначное соответствие между током и напряженностью магнитного поля устанавливается после трех-пяти тренировочных циклов. Как показали неоднократные измерения конверсионной линии Cs^{137} , однозначность между током и напряженностью поля соблюдается с точностью $2 \cdot 10^{-3}$. Другими словами, результаты измерений в различных сериях опытов при энергии одного и того же спектра расходятся на 1—1,5 keV при энергии электронов ~ 600 keV. Это и определяет точность измерений на нашем приборе.

Авторы выражают свою благодарность Б. С. Джелепову, Ю. В. Хольцову, Н. Н. Жуковскому и П. П. Зарубину за помощь в освоении методики измерений, а также за оказанное внимание и помощь в работе.

Институт физической химии
Академии наук СССР

Цитированная литература

- Джелепов Б., Башилов А., Изв. АН СССР, Серия физич., 14, 3 (1950).
Biegbahn K., Svartholm N., Nature, 157, 872 (1946).
Джелепов Б., Жуковский Н., Хольцов Ю., Изв. АН СССР, Серия физич., 18, 5 (1954).
Джелепов Б., Жуковский Н., Карамян А., Шестопалова С., Изв. АН СССР, Серия физич., 17, 518, (1953).
Горсунский М., Кельман В., Петров Б., ЖЭТФ, 14, 394 (1944).
Гавинский П., Изв. АН СССР, Серия физич., 18, 2 (1954).
Perzog R., Tischler O., Rev. Sci. Instr., 24, 1000 (1953).
Хольцов Ю., Диссертация, РИАН СССР (1952).
Джелепов Б., ДАН СССР, 101, 5 (1955).

Е. Л. СТОЛЯРОВА и И. Е. КОНСТАНТИНОВ

ЛЮМИНЕСЦЕНТНЫЙ ДВУХКРИСТАЛЛЬНЫЙ γ -СПЕКТРОМЕТР

Спектрометр совпадений на компотон-электронах описан в работе [1]. Принципиальная схема спектрометра представлена на рис. 1.

Коллимированный пучок γ -лучей с энергией $h\nu$ падает на кристалл спектрометра X; в результате комптон-эффекта в кристалле X образуются электроны отдачи, а рассеянные кванты под углом θ регистрируются кристаллом D. Импульсы от обоих кристаллов регистрируются фотоумножителем и подаются на схему совпадений, при этом производится анализ импульсов, идущих с амплитудам от кристалла X, т. е. производится изучение спектра электронов отдачи. Таким образом, кристалл X играет роль анализатора, а кристалл D — регистратора. Энергия γ -кванта однозначно определяется по энергии электронов отдачи и углу θ .

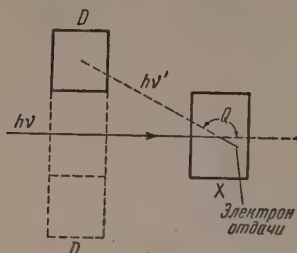


Рис. 1. Принципиальная схема спектрометра совпадений на комптон-электронах

Следует заметить, что при больших углах рассеяния θ энергия электрона отдачи E_e практически не зависит от θ . Следовательно, при больших углах рассеяния конечные размеры кристалла регистратора меньше сказываются на амплитудном разрешении, чем при малых углах.

Нами был построен двухкристалльный γ -спектрометр совпадений на фотоумножителях нового типа (ФЭУ-С), разработанных в лаборатории Н. С. Хлебникова.

В этих фотоумножителях электронно-оптическая система входной части фотоумножителя обеспечивает полный сбор электронов с фотокатода на первый эмиттер, что является наиболее существенным для получения хорошего разрешения.

В нашем спектрометре используются электроны отдачи по тому же принципу, что и в спектрометре Хофштадтера [1], наиболее удобном в интервале энергий γ -лучей $0,2 \div 2$ MeV.

Блок-схема построенного нами спектрометра представлена на рис. 2. В светонепроницаемом ящике помещаются два фотоумножителя 6 и 7 с кристаллами C_1 и C_2 . Угол рассеяния θ равен 150° . Свинцовый коллиматор K имеет размеры $15 \times 15 \times 22$ см; внутренний ϕ 6 мм. Источник может помещаться как внутри ящика, так и снаружи. Импульсы от ФЭУ-I и ФЭУ-II (6, 7) через предусилители 5, состоящие из одного усилительного каскада и катодного повторителя, поступают на линейные импульсные усилители 1 и далее на схему совпадений 8 с разрешающим временем $\tau = 1,5 \cdot 10^{-7}$ сек.

Схема совпадений при срабатывании запускает мультивибратор 9, который открывает электронный ключ 11, пропускающий импульсы с фотоумножителя-анализатора на амплитудный одноканальный анализатор 10. После чего импульсы регистрируются пересчетной схемой 3. Линия задержки в 1 мксек введена для задержки анализируемого импульса на время, необходимое для полного открытия электронного ключа. На схеме показан

же блоки питания умножителей, усилителей и дискриминатора. Нами использовались кристаллы NaJ—Tl размерами 29×12 мм.

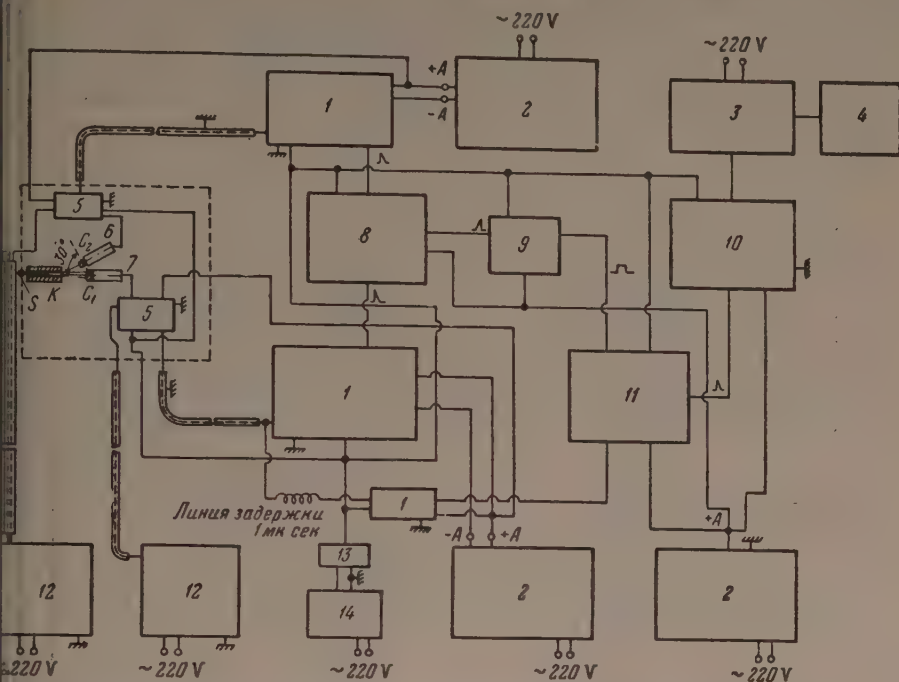


Рис. 2. Блок-схема двухкристального люминесцентного γ -спектрометра: 1 — линейный усилитель, 2 — стабилизатор анодного напряжения, 3 — пересчетная схема, 4 — механический счетчик, 5 — предусилитель, 6 — ФЭУ-II, 7 — ФЭУ-I, 8 — схема совпадений, 9 — мультипликатор, 10 — одноканальный дифференциальный анализатор, 11 — электронный ключ, 12 — стабилизатор высокого напряжения, 13 — аккумулятор, 14 — селеновый выпрямитель (накал)

N , отн. ед.

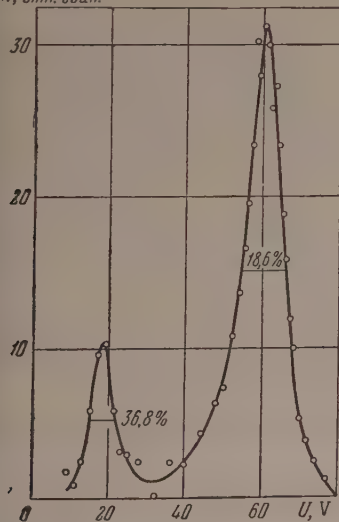


Рис. 3. Распределение импульсов по амплитудам в случае γ -лучей Hg^{203}

N , отн. ед.

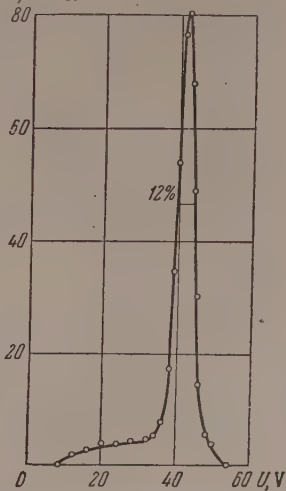


Рис. 4. Распределение импульсов по амплитудам для γ -лучей Cs^{137}

Для исследования разрешающей способности и эффективности установки нами были получены спектры электронов отдачи от монохроматических γ -лучей Hg^{203} , Cs^{137} , Co^{60} .

Распределение импульсов по амплитудам для γ -лучей Hg^{203} , Cs^{137} и Co^{60} представлено на рис. 3, 4 и 5.

Для линии 280 keV (рис. 3) относительная полуширина равна 18,6. Меньший пик, с энергией 40 keV и полушириной 36,8%, обязан характеристическому излучению Tl^{203} , в который переходит Hg^{203} . При помощи дискриминации импульсов в кристалле-детекторе возможно добиться исч

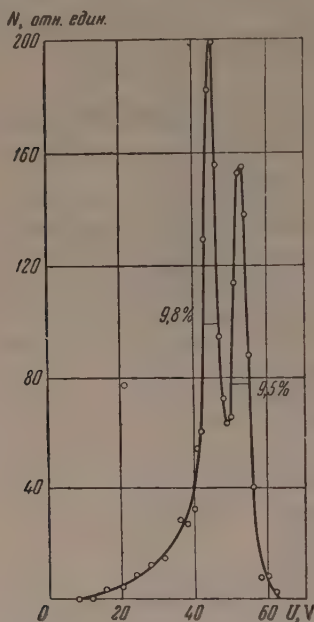


Рис. 5. Распределение импульсов по амплитудам для γ -лучей Co^{60}

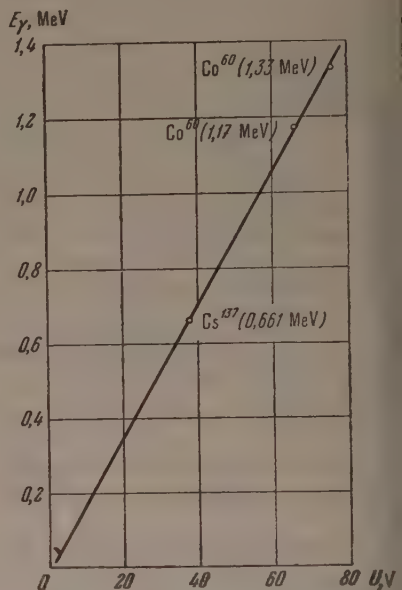


Рис. 6. Градуировочная характеристика двухкристального γ -спектрометра

новения этого пика. Полуширина линии Cs^{137} составляет 12%, а линии Co^{60} — 9,8 и 9,5%.

На рис. 6 представлена градуировочная характеристика спектрометра. Спектры Co^{60} , Cs^{137} и Hg^{203} были получены при различных коэффициентах усиления схемы (для наиболее полного использования энергетической шкалы прибора). На данном рисунке произведен пересчет к одному коэффициенту усиления. Зависимость энергии γ -лучей от амплитуды импульсов оказывается линейной.

Энергетическое разрешение двухкристального спектрометра несколько хуже, чем однокристального для одной и той же энергии по следующим причинам.

1. Кристалл-анализатор двухкристального спектрометра регистрирует энергию, меньшую, чем у однокристального, так как рассеянные γ -кванты уносят $\sim \frac{1}{2} m_0 c^2$ энергии первичного γ -кванта.

2. Конечная апертура кристалла-регистратора вносит свой вклад в энергетическое разрешение.

Для вышеуказанных изотопов нами была проведена экспериментальная оценка статистического и апертурного факторов на энергетическое разрешение.

Величина уширения за счет спектрометр-анализатора для регистрируемых им энергий определялась на основании закона

$$\sigma \approx \frac{1}{\sqrt{E_\gamma}} \quad (\sigma — \text{полуширина})$$

и с учетом энергии, уносимой рассеянным γ -квантом.

Для вычисления вклада кристалла и умножителя использовалась полу-
рина для линии Cs^{137} , равная 7,7%. Эта величина была получена на
й же установке, но в режиме
юкристального спектрометра.
ультаты вычислений приведе-
ив таблице.

Как видно из таблицы, относи-
ый вклад углового разреше-
с увеличением энергии γ -лучей
растает.

Эффективность нашего двукри-
стного спектрометра в наших
тах составляла 0,1% для Co^{60}
125% для Cs^{137} , т. е. примерно

два порядка меньше эффективности однокристалльного спектрометра.
мако для исследования не слишком слабых излучений двухкристаль-
и спектрометр может успешно применяться.

Московский инженерно-физический
институт

Цитированная литература

Loftstadter K., McIntyre I., Phys. Rev., 78, 619 (1950).

Изотоп	Вклад умножи- теля, %	Вклад апертуры угла кри- сталла- счетчика, %	Общее разреше- ние, %
Hg^{203}	16,2	2,4	18,6
Cs^{137}	9,2	2,8	12
Co^{60}	6,4 (1,17 MeV)	3,4	9,8
	5,9 (1,33 MeV)	3,6	9,5

Ю. И. ФИЛИМОНОВ и Г. А. ПЕТРОВ

ИСПОЛЬЗОВАНИЕ ИМПУЛЬСНОЙ ИОНИЗАЦИОННОЙ КАМЕРЫ ДЛЯ ИССЛЕДОВАНИЯ УГЛОВОЙ α — γ -КОРРЕЛЯЦИИ

В настоящее время наиболее распространенным методом изучения угловой α — γ -корреляции является метод двух регистраторов, расположенных под фиксированными углами друг к другу. Недостатком этого метода является длительность измерений, связанная с необходимостью последовательных измерений скоростей счета совпадений сигналов от регистраторов, расположенных под различными углами, при малой геометрической эффективности.

Использование ионизационной камеры в качестве регистратора направлений вылета α -частиц позволяет увеличить светосилу прибора и измерить угловое распределение одновременно в диапазоне углов от $\pi/2$ до π . В то же время импульсная ионизационная камера дает возможность получить большее разрешение по энергии α -частиц, чем, например, сцинтилляционный детектор.

Использованный нами метод регистрации направлений вылета α -частиц при помощи импульсной ионизационной камеры с сеткой состоит в следующем.

При помещении между собирающим электродом A (рис. 1) и высоковольтным электродом B заземленной по высокой частоте сетки C собирающий электрод A оказывается экранированным от влияния зарядов, находящихся в пространстве CB . Следовательно, если в начальный момент времени в пространстве между электродами C и B появится трек заряженной частицы под углом θ к оси камеры, то на собирающем электроде возникнет наведенный электрический сигнал только спустя время, которое необходимо для прохождения электронами расстояния l :

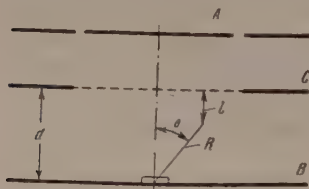


Рис. 1. Схема ионизационной камеры с сеткой

$$l = d - R \cos \theta,$$

где R — пробег α -частицы.

Таким образом,

$$t = \frac{d - R \cos \theta}{w},$$

где w — скорость дрейфа электронов в пространстве между сеткой и высоковольтным электродом.

Это явление запаздывания сигнала было использовано для определения угла вылета α -частиц из источника в корреляционных измерениях.

Угловая α — γ -корреляция наблюдается в тех случаях, когда время вылета α -частицы и находящегося с нею в каскаде γ -кванта разделены промежутком не более $10^{-9} \div 10^{-10}$ сек [1]. Поэтому время вылета α -частицы с достаточной для этой методики точностью задается моментом испускания γ -кванта.

Угловая α — γ -корреляция изучалась при помощи установки, блок-схема которой представлена на рис. 2.

В опытах применялась плоская ионизационная камера с сеткой. Сетка и высоковольтный электрод имели форму дисков ϕ 20 см. С

Ионизирующий электрод ϕ 10 см был окружен кольцеобразным охранным электродом. Подвод высокого напряжения к сетке и высоковольтному электроду осуществлялся через полые фарфоровые изоляторы, которые поддерживали электроды. Расстояние между собирающим электродом и сеткой было равно 1,5 см, между сеткой и высоковольтным электродом — 3,3 см. Источник α -частиц ϕ 1 см наносился на алюминиевую тарелочку и помещался на высоковольтном электроде.

В дне камеры было сделано отверстие для смены образцов, к нему неподвижно приставлялся кожух с фотоумножителем ФЭУ-19-С и кристаллом NaJ—Tl.

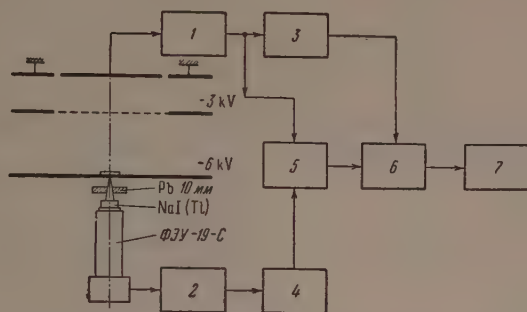


Рис. 2. Блок-схема устройства для измерения угловой α — γ -корреляции. 1 — усилитель импульсов от α -частиц, 2 — усилитель импульсов от γ -квантов, 3, 4 — дискриминаторы, 5 — генератор пилообразных импульсов, 6 — схема пропускания, 7 — 20-канальный амплитудный анализатор

Телесный угол счетчика составлял 10^{-2} от 4π . Кожух фотоумножителя окружался слоем свинца толщиной 5 см. Камера работала на химически чистом аргоне при давлениях 2—3 атм. Перед наполнением камера откачивалась до давления $\approx 10^{-2}$ мм рт. ст.

Для усиления импульсов с собирающего электрода камеры использовался усилитель с коэффициентом усиления до 10^6 .

Постоянные времени дифференцирования и интегрирования усилителя равны 4 мсек.

Импульсы с анода фотоумножителя поступали на усилитель с коэффициентом усиления до 10^4 и верхней границей полосы пропускания 2 МГц.

Выходные сигналы усилителей формировались триггерными схемами.

Пилообразный импульс возникал в схеме 5 (рис. 2) с приходом импульса от усилителя 2 и обрывался с приходом импульса от ионизационной камеры.

Таким образом, амплитуда импульса равна

$$V = ct, \quad (3)$$

где t определяется формулой (2), c — градуировочная постоянная.

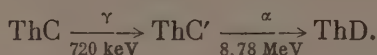
Схема пропускания 6 селектировала импульсы по энергии α -частиц. Амплитудный спектр импульсов на выходе схемы пропускания регистрировался 20-канальным амплитудным анализатором 7, каждый канал которого соответствовал определенному углу между направлениями вылета α -частицы и γ -кванта.

Радиотехническое устройство настраивалось при помощи генератора пилообразных импульсов, постоянная c (3) выбиралась равной $7,7 \text{ В мсек}^{-1}$. Собственная нестабильность прибора составляла 0,5 В при величине выходных импульсов от 10 до 50 В.

Для определения углового разрешения установки производились опыты с пучками α -частиц, направленными под углами 0, 45 и 90° к оси камеры. Угловая разрешающая способность выделения пучков составляла 5°.

Время появления трека α -частицы задавалось сигналом с высоковольтного электрода. Одна из гистограмм, снятая при давлении в камере $p=2,75$ атм и разности потенциалов между сеткой и высоковольтным электродом $2,5$ kV, представлена на рис. 3. Полуширина пиков в среднем составляет 12%. Разрешение ухудшено из-за плохих условий снятия сигнала с высоковольтного электрода: это обстоятельство не было предусмотрено в конструкции камеры. Поэтому отношение сигнала к шуму составляло $10 \div 20$.

Работа прибора проверялась при исследовании угловой α — γ -корреляции у ThC'' . Предварительно было снято угловое распределение в переходах



При этих переходах спин основного состояния ThC' равен нулю, угловое распределение должно быть изотропным [1].

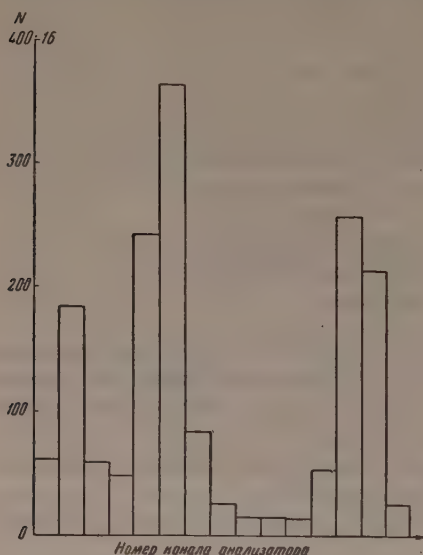


Рис. 3. Гистограмма углового разрешения устройства

При измерениях описанным методом изотропного углового распределения амплитудный спектр выходных сигналов должен быть также изотропным. Из выражений (2) и (3) име

$$\Delta V = c\Delta t = \frac{cR}{w} \sin \theta \Delta \theta.$$

С другой стороны,

$$\Delta N = N_0 \sin \theta \Delta \theta,$$

где ΔN — число отсчетов в одном канале анализатора, N_0 — полное число отсчетов в амплитудном спектре, определяемом выражением (3). ΔV — ширина канала анализатора.

Отсюда

$$\Delta N = \frac{N_0 w}{cR} \Delta V = k \Delta V,$$

где k — экспериментально определяемая постоянная.

Экспериментальные точки хорошо укладываются на прямую (рис. 4).

Далее была исследована угловая корреляция α -частиц ThC с энергией $6,04$ MeV и γ -лучей первого возбужденного уровня ThC'' (40 keV).

Энергетическое разрешение ионизационной камеры было измерено для α -частиц ThC' и составляло 60 keV.

Разрешение сцинтилляционного спектрометра определялось по характеристическому излучению Te^{127} (32 keV) и составляло 30% .

Таким образом, две группы α -частиц ThC с энергиями $6,04$ MeV и $6,08$ MeV в наших опытах разделены не были. По этой причине, а также из-за большой величины коэффициента внутренней конверсии γ -лучей ThC'' с $E_\gamma = 40$ keV ($\alpha = 19,6$) [2], фон случайных совпадений составил около 50% общего счета совпадений.

Фон случайных совпадений измерялся путем введения задержки в цепь регистрации импульсов от α -частиц.

Результаты измерений α — γ -корреляции обрабатывались по методу наименьших квадратов. Полученная корреляционная функция (рис. 5) имеет вид:

$$w(\theta) = 1 - (0,24 \pm 0,05) \cos^2 \theta.$$

Эта функция в пределах экспериментальных ошибок совпадает с теоретической функцией

$$w(\theta) = 1 - 0,22 \cos^2 \theta, \quad (8)$$

численной в предположении, что угловые моменты состояний равны:

$$I_{\text{ThC}} = 1, \quad I_{\text{ThC}''} = 4, \quad I_{\text{ThC}'''} = 5.$$

Полученные в наших опытах значения для коэффициентов в формуле

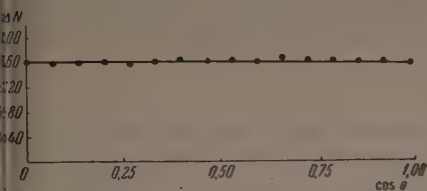


Рис. 4. Изотропное угловое распределение ThC'

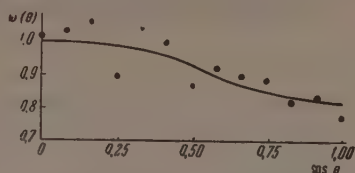


Рис. 5. Угловая α — γ -корреляция в ThC''

углового распределения (7) находятся в соответствии с результатами работы [2].

Проведенная работа показывает, что ионизационная камера с электронным собиранием может быть эффективно использована для изучения угловой α — γ -корреляции.

В заключение пользуемся случаем выразить благодарность проф. Синову Л. И. за интерес, проявленный к работе.

Ленинградский физико-технический институт
Академии наук СССР

Цитированная литература

- Долгинов А. З., ЖЭТФ, 23, 493 (1952).
Weale I. W., Proc. Phys. Soc., A68, 35 (1955).

Э. Е. БЕРЛОВИЧ

ВРЕМЯ ЖИЗНИ ВОЗБУЖДЕННЫХ СОСТОЯНИЙ
ЯДЕР В ОБЛАСТИ РЕДКОЗЕМЕЛЬНЫХ ЭЛЕМЕНТОВ

Введение

Разрядка нижних возбужденных состояний ядер может происходить либо путем испускания γ -квантов, либо путем передачи энергии одному из электронов оболочки атома (внутренняя конверсия), либо (если энергия возбуждения $E > 2 m_0 c^2$, где m_0 — масса покоя электрона, c — скорость света) путем образования электрон-позитронной пары (внутренняя конверсия с образованием пар). Вероятности второго и третьего процессов происходящих за пределами ядра, практически не зависят от деталей его структуры. Заметным оказывается лишь влияние на эти процессы конечных размеров ядра [1]. Однако вероятности конверсионных переходов особенно отношения вероятностей конверсий в различных оболочках подоболочках атома оказываются весьма чувствительными к характеристикам уровней ядра, между которыми происходит переход (энергии, спин, четности). Поэтому экспериментальное определение коэффициентов конверсии представляет надежное средство для получения сведений о характеристиках уровней и о типе ядерных переходов (мультипольность, характер).

Вероятность радиационных переходов существенно определяется ядерной структурой. Разные модели ядра (капельная, оболочечная и современная обобщенная) приводят поэтому к различным формулам для этой вероятности. Естественно, что экспериментальное изучение вероятности радиационных переходов является важным средством проверки адекватности разных моделей ядра. Успешно развивающаяся в последние два-три года обобщенная модель Бора — Моттельсона [2], хорошо разработанная для вращательных состояний, дает зависимость вероятности радиационных переходов от таких характеристик ядра, как параметр деформации, электромагнитные моменты, спин. Поэтому, если характер и мультипольность перехода между вращательными состояниями известны из данных по коэффициентам конверсии или по угловой корреляции каскадных излучений, измерения вероятностей таких переходов позволяют получить сведения о перечисленных параметрах ядра. Следует ожидать, что, по мере развития теории, измерения вероятностей переходов позволят извлекать сведения и о параметрах, связанных с колебательным движением.

Исследования вероятностей радиационных переходов осуществляют либо измерением времени жизни возбужденного состояния (прямым или косвенным) либо определением сечения кулоновского возбуждения уровней, которое связано с вероятностью перехода на возбужденный уровень а следовательно, и с вероятностью обратного радиационного перехода.

Настоящая работа посвящена определению вероятностей переходов путем измерения времени жизни методом задержанных совпадений.

1. Особенности метода задержанных совпадений

Измерения времен жизни возбужденных состояний ядер методом задержанных совпадений сводятся к исследованию зависимости числа совпадений импульсов, возникших под действием двух каскадных излучений,

временной задержки, введенной в один из каналов схемы совпадений. При этом возможны следующие случаи:

1. В случае, когда время жизни состояния заметно превосходит разлагающееся время схемы совпадений, форма кривой совпадений оказывается симметричной, и искомое время жизни находится по более пологой экспоненциальной ветви кривой [3].

2. Если время жизни исследуемого состояния мало и экспоненциальная ветвь кривой совпадений выражена плохо, определение времени жизни может быть выполнено сравнением кривой совпадений, полученной для исследуемого состояния, с кривой «быстрых» совпадений, полученной для изведомо короткоживущего состояния. Сравнение выполняется либо по методу Бея [4], либо по методу Ньютона [5].

3. Белл, Грэхем и Петч [6], используя двоянный магнитный спектрометр совпадений, применили метод «самосравнения»; они настраивали одну ветвь спектрометра на конверсионную линию, соответствующую разнице исследуемого уровня, а другую — на близкий по энергии участок спектра, а затем меняли роли обеих ветвей спектрометра. Этим способом величина смещения центра тяжести кривых была увеличена вдвое по сравнению с методом Бея.

Мы [7], используя с той же целью сцинтилляционный спектрометр совпадений, применили измерение кривых совпадений при двух положениях поглотителя β -лучей (или электронов конверсии): между первым или вторым фотоумножителями, с одной стороны, и источником, — с другой, поочередно.

Измерения времен жизни возбужденных состояний методом задержанных совпадений являются прямыми измерениями в отличие от других способов определения этого времени (например, метод резонансного рассеяния γ -лучей или метод, основанный на определении радиационной ширины уровней в реакциях (n, γ) или (p, γ) и др.).

Вместе с тем применение этого метода требует особого внимания к учету многочисленных аппаратурных эффектов, которые могут значительно повлиять на получаемые из опыта значения времен жизни. В качестве примера, иллюстрирующего роль методических факторов в подобных изменениях, отметим многократно исследованный случай уровня Hg^{198} с энергией 411 keV, возникающий при β -распаде ядра Au^{198} . В табл. 1 приведены результаты измерений времени жизни этого уровня по данным разных авторов. Как видно из табл. 1, различные измерения дают для времени жизни уровня Hg^{198} значения, распределенные в диапазоне от 10^{-7} до 10^{-11} сек, т. е. разброс достигает четырех порядков. Более того, даже у одних и тех же авторов (Белл и др.), при измерениях с постепенной модифицирующей методикой результаты изменяются от $3 \cdot 10^{-9}$ сек до $3 \cdot 10^{-11}$ сек.

Наиболее существенные причины большого разбоя в данных различных авторов, как правило, хорошо известных в качестве опытных экспериментаторов, сводятся, по-видимому, к следующему.

1. Наличие сопровождающих («сателлитных») импульсов в фотоумножителях. Совпадение между основ-

Таблица 1

Периоды полураспада возбужденного состояния ядра Hg^{198} по данным разных авторов

№ п/п	Авторы работ	T
1	Маданский и Виденбек [8]	$2-3 \cdot 10^{-7}$ сек
2	Мейер, Балдингер и Хубер [9]	$3,5 \cdot 10^{-8}$ сек
3	Ястрэм, Коннекер и Кле-ланд [10]	$4 \cdot 10^{-8}$ сек
4	Мак-Интайр [11]	$2,3 \cdot 10^{-8}$ сек
5	Белл и Петч [12]	$< 3 \cdot 10^{-9}$ сек
6	Белл и Грэхэм [13]	$< 2 \cdot 10^{-10}$ сек
7	Дейч и Райт [14]	$< 4 \cdot 10^{-9}$ сек
8	Белл, Грэхэм и Петч [6]	$< 3 \cdot 10^{-11}$ сек
9	Мун [15] *	$< 10^{-11}$ сек

* Метод резонансного рассеяния.

ным импульсом в одном из фотоумножителей и сопровождающим импульсом в другом представляет ложное, задержанное во времени совпадение (задержка при этом будет введена в канал первого фотоумножителя). Одним из причин появления сопровождающих импульсов в фотоумножителях состоит в оптической обратной связи, которая может быть вызвана свечением последних эмиттеров при больших усилениях и попаданием света на фотокатод. При специальном виде конструкции фотоумножителя (фотоумножители с «перетяжкой») оптическая обратная связь может быть устранена. Она может быть также устранена выбором для эмиттеров материала, не дающего люминесценции (например, Cu—Be).

Сопровождающие импульсы могут возникать также вследствие ионной обратной связи, при которой положительный ион, попадающий на фотокатод или на один из первых эмиттеров, может дать начало вторичному импульсу. Ионная обратная связь также может быть устранена при соответствующей конструкции фотоумножителя.

2. Наличие сопровождающих импульсов, возникающих за счет послесвечения фосфора. Органические фосфоры — стилбен и антрацен имеют по несколько компонент световой эмиссии с различными временами высвечивания и с разной интенсивностью. Если время разрешения схемы совпадений выбрано соответственно наиболее кратковременной компоненте, то амплитуда импульса соответствующего этой компоненте, будет наибольшей, ибо большинство возбужденных состояний в кристалле испустит фотоны в пределах выбранного времени. Более медленно высвечивающиеся возбужденные состояния в кристалле дадут отдельные вспышки малой амплитуды (схема разрешает единичные фотоны), частота появления которых будет тем меньше, чем больше время высвечивания состояния. Благодаря наличию этих сопровождающих импульсов можно получить задержанные совпадения, если при помощи амплитудного анализатора импульсов отбирать совпадения с импульсами малых амплитуд в одной из ветвей.

3. Влияние фронта импульса на форму кривой разрешения. Влияние энергии регистрируемых частиц на форму кривой разрешения отмечалось в работах [6] и [16]; нами этот эффект исследовался детально. Результаты описаны в следующем параграфе.

2. Влияние фронта импульса на форму кривой совпадений

На рис. 1 представлены кривые β — γ -совпадений для переходов $\text{Au}^{198} \rightarrow \text{Hg}^{198}$ для двух положений фильтра (β — γ -совпадения и γ — β -совпадения*). В этом случае регистрировался весь спектр β -частиц, граничная энергия которых составляет 960 keV, и весь спектр комптоновских электронов, граничная энергия которых для квантов 411 keV составляет 253 keV. По оси абсцисс отложены положения указателя на шкале линии переменного задержки в сантиметрах и в единицах времени, по оси ординат — число совпадений в единицу времени. Как видно из рисунка, обе кривые смещены и время жизни уровня, определенное из величины смещения, оказывается равным $\sim 2 \cdot 10^{-9}$ сек. Однако опыт показывает, что измеренное значение времени может изменяться в некоторых пределах, если пороговыми триггерами, помещенными в боковых каналах усилителя, менять чувствительность каналов. Наблюдаемые смещения кривых увеличиваются, если триггером канала, регистрирующего β -частицы, отрезать большую часть спектра, оставляя лишь наиболее жесткую часть. Наоборот, смещение кривых уменьшается, если отрезать большую часть комптоновского распределения.

* Кривые получены при помощи схемы совпадений с линией переменной задержки, описанной в работе [7].

Мы модифицировали схему, введя в каждый боковой канал амплитудный одноканальный анализатор импульсов. Это позволило отбирать совпадения в энергетически эквивалентных интервалах импульсов. На рис. 2 представлены результаты измерений совпадений для того же перехода $\text{Au}^{198} \rightarrow \text{Hg}^{198}$ с эквивалентными интервалами амплитуд при двух положениях фильтра β -частиц. Из рисунка видно, что какое-либо заметное смещение между кривыми совпадений для двух положений фильтра (кривые γ -совпадений и γ - β -совпадений) отсутствует. Верхний предел времени жизни уровня, оцененный из этих кривых, составляет ве-

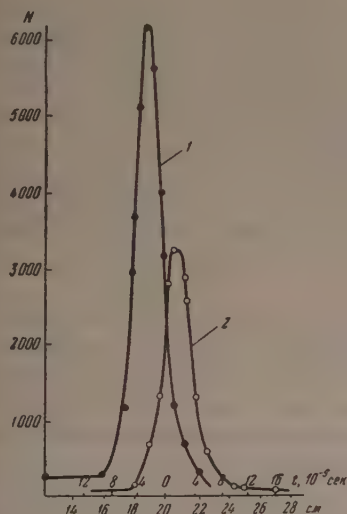


Рис. 1

рис. 1. Кривые совпадений между β -частицами Au^{198} и γ -квантами перехода Hg^{198} 111 keV. Регистрируется весь β -спектр и все комптоновское распределение: 1 — γ - β -совпадения, 2 — β - γ -совпадения

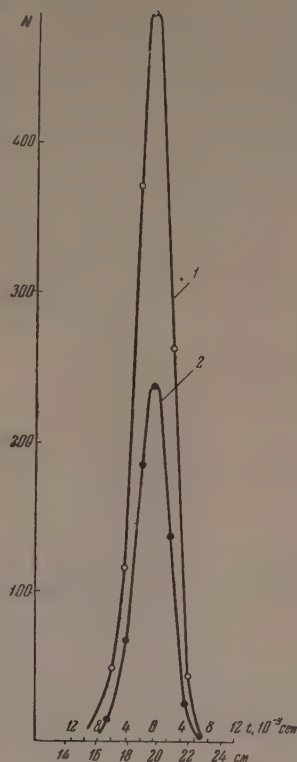


Рис. 2

рис. 2. Кривые совпадений между β -частицами Au^{198} и γ -квантами перехода Hg^{198} 111 keV. Регистрируются энергетически эквивалентные участки β -спектра и комптоновского распределения: 1 — γ - β -совпадения, 2 — β - γ -совпадения

личину $\sim 10^{-10}$ сек. Таким образом, очевидно, что смещение кривых, видимое на рис. 1, является ложным и никакому физическому времени жизни уровня не соответствует. Далее, и сам характер кривых не соответствует физически обоснованному смещению. В самом деле, если смещение вызвано изменением временем жизни уровня, то ветвь кривой, обращенная в сторону смещения, должна быть более пологой (ближе к экспоненциальной), чем противоположная, чисто гауссовская ветвь. На рис. 1 ситуация скорее противоположная, что наводит на мысль о методическом происхождении смещения.

Влияние энергии частиц на положение и форму кривой совпадений можно понять следующим образом. Пусть на концы нашей переменной линии задержки импульсы, возникшие под действием каскадных излучений, попадают практически одновременно (время жизни промежуточного уровня весьма мало). Крутизна переднего фронта импульса определяется, в частности, энергией частицы, ибо при большей энергии, теряемой частицей в кристалле, интенсивность сцинтилляции и соответственно число фотоэлектронов будут больше, а значит, время нарастания импульса

меньше. На рис. 3, а нижняя прямая изображает линию задержки, верхняя пунктирная прямая — уровень дискриминации, определяемый, например, потенциалом запирающего диода. Импульсы 1 и 2 происходят от частиц одинаковой энергии, поэтому после ограничения по амплитуде формирующими пентодами (см. схему в работе [71]) и ограничения по времени формирующим кабелем они имеют одинаковую амплитуду и крутизну. Очевидно, что при наложении импульсов потенциал достигает величины уровня дискриминации в средней точке линии задержки.

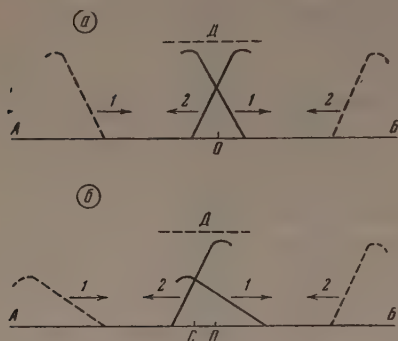


Рис. 3. Влияние крутизны фронтов импульсов на распределение совпадений вдоль линии задержки: а — совпадение между импульсами с фронтами одинаковой крутизны (А, В — концы линии задержки, О — центральная точка линии, Д — уровень дискриминации; совпадение происходит в центральной точке линии); б — совпадение между импульсами с фронтами различной крутизны. Импульс, идущий от точки А возник от частицы с малой энергией; импульс идущий от точки В, — от частицы с большой энергией. Совпадение происходит в точке С, смещенной относительно центра линии

Иначе обстоит дело, когда оба совпадающих импульса возникают от частиц различных энергий. На рис. 3, б импульс, поступающий на левый конец линии задержки, происходит от частицы малой энергии, а поступающий на правый — от частицы большой энергии. После ограничительных пентодов импульсы имели одинаковую амплитуду, а после формирования короткозамкнутым кабелем ширина у них оказалась одинаковой, но амплитуды и крутизна разные. Ясно, что в этом случае при наложении импульсов потенциал достигнет величины уровня дискриминации не в средней точке линии задержки, а несколько ближе к тому ее концу, на который поступил импульс от частицы с меньшей энергией.

Очевидно, что вся конфигурация кривой разрешения, зависящая от всевозможных сочетаний энергий обеих совпадающих частиц, определяется не только средней энергией частиц обоих сортов, но и всей формой энергетических спектров частиц.

Для того чтобы исключить влияние различия энергетических спектров частиц на результаты измерения времен жизни уровней методом задержанных совпадений, отбираются совпадения частиц только в более или менее узких, энергетически эквивалентных интервалах. Это можно делать либо при помощи амплитудных анализаторов импульсов, либо при помощи магнитных спектрометров (Белл и др. [6]). Иногда достаточно просто ограничить спектр с большей максимальной энергией. В случае, когда спектры обеих частиц не отличаются столь резко (как, например, в рассмотренном случае Au^{198}) или когда измеряемое время весьма велико, можно и вовсе не производить отбора по амплитудам. Следует учитывать влияние указанных факторов на точность измерений.

В некоторых случаях измерение совпадений с энергетически эквивалентными интервалами практически затруднительно, ибо может оказаться, что загрузка одного из каналов при этом невелика и число совпадений мало. Такая ситуация имеет место, например, при измерении совпадений электронов конверсии, энергия которых обычно мала ($\sim 100 \text{ keV}$) с электронами β -спектра с большой граничной энергией (1—2 MeV). Интервал энергии в области электронов конверсии будет соответствовать начальной малоинтенсивной части β -спектра. В таких случаях необходимо пользоваться сравнением кривой задержанных совпадений с кривой «быстрых» совпаде-

ий, снятых в одних и тех же амплитудных интервалах. Амплитудные интервалы при этом следует выбирать не по принципу энергетической эквивалентности, а по максимуму счета совпадений.

3. Результаты измерений времен жизни уровней

Исследование распада изотопов Eu^{152} и Eu^{154} . На рис. 4 представлены схемы распада долгоживущих изотопов Eu^{152} и Eu^{154} , согласно последним данным Слэттери, Лу и Виденбека [17]. Оба изотопа находились в смеси примерно в равном содержании. Исследовались времена жизни первых уровней Sm^{152} с энергией 122, Gd^{152} с энергией 344 и Gd^{154} с энергией 123 keV. В нашей быстродействующей схеме совпадений использовались кристаллы стильбена, вследствие чего разделение γ -линий возможно было

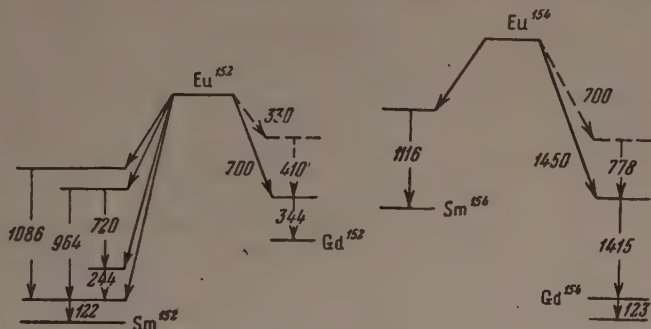


Рис. 4. Схемы распада Eu^{152} и Eu^{154}

только по комптоновскому распределению (фотоэффект для малых атомных номеров углерода и водорода практически не играл роли). Регистрация переходов 122 и 123 keV производилась по электронам конверсии. При исследовании времени жизни первого уровня Sm^{152} измерялись $e-\gamma$ -совпадения. При этом электроны конверсии попадали только на кристалл, помещенный открытой стороны источника. На пути ко второму кристаллу помещался алюминиевый фильтр, поглощавший все β -частицы. В такой позиции возможны совпадения электронов конверсии от переходов 122, 123 и 240 keV γ -лучами, а также β -частиц с γ -лучами и $\gamma-\gamma$ -совпадения. Обозначим эти совпадения так:

$$e_{122} - \gamma, e_{123} - \gamma, e_{240} - \gamma, \beta - \gamma, \gamma - \gamma. \quad (1)$$

Если алюминиевой фольгой слева от источника поглотить электроны конверсии от переходов 122 и 123 keV, то останутся совпадения

$$e_{240} - \gamma, \beta - \gamma, \gamma - \gamma. \quad (2)$$

Разность чисел совпадений, полученных в двух указанных позициях, представит почти только совпадения типов

$$e_{122} - \gamma, e_{123} - \gamma. \quad (3)$$

Спектрометрические исследования, выполненные Б. В. Бобыкиным в ФТИ на спектрометре с двойной фокусировкой, показали, что отношение интенсивностей K -пигов переходов 122 и 123 keV равно 2,5, а отношение интенсивностей K -пигов переходов 122 и 240 keV равно ~ 15 . Эффективность регистрации γ -лучей, находящихся в каскаде с переходом 122 keV имеющих энергии 1084, 964, 720 и 240 keV (особенно последних), должна быть больше, чем для γ -лучей с энергией 1415 keV и находящихся в каскаде с переходом 123 keV.

Если учесть указанные два обстоятельства, а также тот решающий факт, что энергетические интервалы, выбранные для обоих каналов соответствовали области электронов конверсии и, следовательно, регистрировалась лишь ничтожная часть электронов комптоновского распределения для γ -лучей 1415 keV, станет очевидным, что практически указанная разность (3) сводится к интересующим нас совпадениям типа $e_{122}-\gamma$.

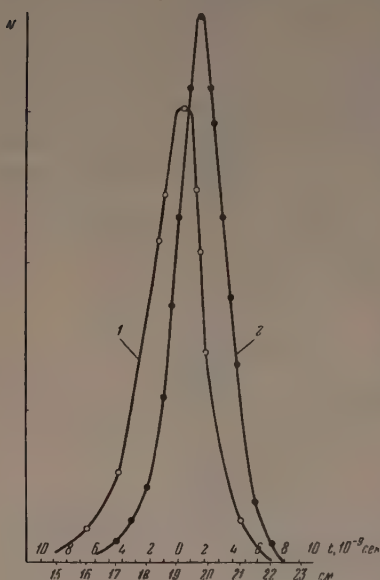


Рис. 5. Определение времени жизни уровня 122 keV Sm^{152} : 1 — $e-\gamma$ -совпадения для перехода $\text{Eu}^{152} \rightarrow \text{Sm}^{152}$, 2 — «быстрые» совпадения для перехода $\text{Co}^{60} \rightarrow \text{Ni}^{60}$

При выбранных интервалах энергии возможные совпадения электронов конверсии с рентгеновыми лучами также не регистрировались.

Полученная кривая совпадений изображена на рис. 5 вместе с кривой заведомо быстрых совпадений для перехода $\text{Co}^{60} \rightarrow \text{Ni}^{60}$, снятой для тех же энергетических интервалов. Обе кривые нормированы к одной площади. Время жизни обоих уровней Ni^{60} , по данным работы [16] менее 10^{-11} сек. В данном случае определение времени жизни уровня по экспоненциальному спаду кривой, как это было сделано, например, для уровня Ta^{181} со временем жизни 10^{-8} сек [7], не обосновано, ибо оно не превосходит времени разрешения схемы совпадений. Для таких случаев можно применить метод Бея [4], сводящийся к определению смещения центра тяжести кривой задержанных совпадений по сравнению с кривой «быстрых» совпадений

$$\theta = \frac{\int_{-\infty}^{\infty} F(t) dt}{I} - \frac{\int_{-\infty}^{\infty} P(t) dt}{I}, \quad (4)$$

где θ — среднее время жизни уровня, t — введенная задержка, $F(t)$ — кривая задержанных совпадений, $P(t)$ — кривая «быстрых» совпадений и

$$I = \int_{-\infty}^{\infty} F(t) dt = \int_{-\infty}^{\infty} P(t) dt. \quad (5)$$

Графическое интегрирование дает для периода полураспада

$$T = \ln 2 \cdot \theta = 1,31 \cdot 10^{-9} \text{ сек.}$$

Искомое время жизни можно вычислить также по методу Ньютона [5]

$$\theta = \frac{1}{\lambda} = \frac{\int_A^B [F(t) - P(t)] dt}{F(A) - F(B)}, \quad (6)$$

где A и B — два, вообще говоря, произвольных значения абсцисс, которые следует выбирать в области перекрытия кривых, лучше там, где статистическая точность определения кривых достаточно хороша. Числитель представляет часть площади, заключенной между двумя кривыми в интервале времен задержки $t = A$ и $t = B$, а знаменатель — разность ординат для границ выбранного интервала. Функции $F(t)$ и $P(t)$ предполагаются удовлетворяющими условию (5). Период полураспада, определенный этим способом, оказался равным $1,29 \cdot 10^{-9}$ сек. Среднее зн

ие $T = 1,3 \cdot 10^{-9}$ сек. Это значение несколько меньше полученного в работе Саньяра [18]:

$$T = 1,4 \cdot 10^{-9} \text{ сек.}$$

Из экспериментального значения периода полураспада можно определить радиационный период T_γ из соотношения

$$T_\gamma = T(1 + \alpha), \quad (7)$$

где α — полный коэффициент конверсии. При $\alpha = 1,27$ [18] это дает

$$T_\gamma = 3 \cdot 10^{-9} \text{ сек.}$$

Для измерения времени жизни уровня Gd^{152} с энергией 344 keV следовало зафильтровать, с одной стороны, все β -частицы (для регистрации β -лучей), с другой — электроны конверсии (переходов 122, 123, 240 keV) для регистрации β -лучей. Из схемы распада (рис. 4) видно, что при этом возможны совпадения β — γ для β -спектров с $E_{\max} = 700$ keV и $E_{\max} = 1450$ keV и γ — γ -совпадения. Интервалы энергии выбраны так, чтобы не превалировали совпадения мягкого β -спектра, γ — γ -совпадения составляли не более нескольких процентов. Кривые сняты при указанном расположении и при обратном расположении фильтров β -частиц и электронов конверсии, но при неизменных амплитудных интервалах. Центры тяжести кривых практически совпали, не дав уловимого смещения. Исходя из точности наших измерений, можно оценить верхнюю границу периода полураспада исследуемого уровня:

$$T < 10^{-10} \text{ сек.}$$

β -Спектр с граничной энергией 700 keV измерялся по методу совпадений с двойными спектрометрами в работах [19, 17]. Оценка времени жизни уровня с $E = 344$ keV сделана впервые.

В обеих упомянутых работах [19, 17], в которых измерялись совпадения типа $\beta_{700}e_{340}$, не обнаружено совпадений электронов конверсии для 1450 keV перехода с β -частицами. В обеих работах схема совпадений имела решающую способность $\tau = 3-4 \cdot 10^{-7}$ сек или $2\tau = 6-8 \cdot 10^{-7}$ сек. Авторы работы [17] делают вывод, что время жизни второго возбужденного уровня, на который идет β -распад с $E_{\max} = 1450$ keV, больше 10^{-6} сек. В наших измерениях, однако, обнаружены совпадения электронов конверсии для перехода 120 keV с жесткими β -частицами, энергия которых больше 700 keV. β -Спектр с $E_{\text{гр}} = 700$ keV полностью поглощался алюминиевым фильтром, поставленным перед одним из кристаллов. Другой кристалл был открыт для всех излучений. В этом положении возможны совпадения следующих типов:

$$\beta_{\text{жест}} - e_{122} - \gamma, \quad e_{123} - \gamma, \quad \gamma_{123} - \beta_{\text{жест}}, \quad e_{240} - \gamma, \quad \beta_{700} - \gamma, \quad \beta_{\text{жест}} - \gamma, \\ \gamma - \gamma, \quad e_{122} - X, \quad e_{123} - X.$$

Далее мы увеличивали толщину алюминиевого фильтра до значения, необходимого для поглощения β -лучей с энергией 1450 keV. На интенсивности γ -лучей это должно было сказаться очень мало ($\sim 4\%$). В этом положении возможны такие совпадения:

$$\gamma - \gamma, \quad e_{123} - \gamma, \quad e_{240} - \gamma, \quad \beta_{700} - \gamma, \quad \beta_{\text{жест}} - \gamma, \quad \gamma - \gamma, \quad e_{122} - X, \quad e_{123} - X.$$

Разность чисел совпадений для двух позиций, составляющая 25—30%, видно, должна быть отнесена за счет совпадений $e_{123} - \beta_{\text{жест}}$, $\gamma_{123} - \beta_{\text{жест}}$, которые связаны с интересующим нас уровнем 123 keV.

Отсутствие таких совпадений в работах [11, 17], возможно, след объяснить малой интенсивностью жесткого β -спектра, который на случайных совпадений не мог быть обнаружен. Ввиду недостаточной решающей способности схемы совпадений и малой геометрической эффективности регистрации совпадений фон в этих работах должен быть большим. По-видимому, совпадения этого типа наблюдались в работе Саяра [18]. Период полураспада для возбужденного уровня с энергией 123 оказался равным $1,1 \cdot 10^{-9}$ сек (среднее из определений методами Бейя и Ньютона) и близким к значению $1,2 \cdot 10^{-9}$ сек, полученному Сантьяго [18]. Для радиационного периода получаем $T_\gamma = 2,7 \cdot 10^{-9}$ сек. В жизни второго возбужденного уровня, по-видимому, меньше 10^{-10} сек. Er^{166} . На рис. 6 приведены результаты измерений для уровня Er^{166} .

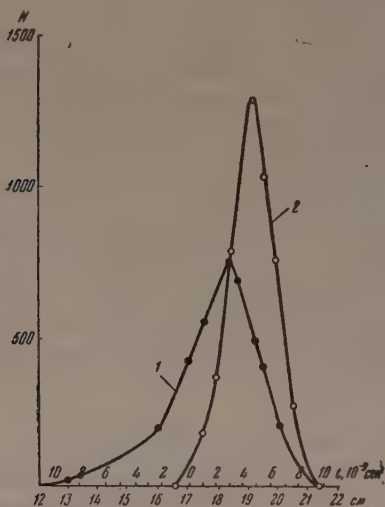


Рис. 6

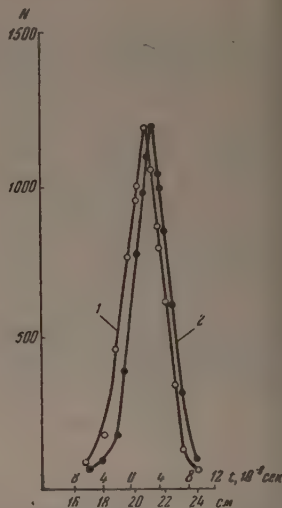


Рис. 7

Рис. 6. Определение времени жизни уровня 81 keV Er^{166} : 1 — e — β -совпадения для перехода $\text{Ho}^{166} \rightarrow \text{Er}^{166}$, 2 — «быстрые» совпадения для перехода $\text{Co}^{60} \rightarrow \text{Ni}^{60}$

Рис. 7. Определение времени жизни уровня 113 keV Hf^{177} : 1 — e — β -совпадения для перехода $\text{Lu}^{177} \rightarrow \text{Hf}^{177}$, 2 — β — e -совпадения для того же перехода

с $E = 81$ keV, полученные регистрацией совпадений электронов кон сии для этого перехода с β -спектром Ho^{166} с $E = 1,76$ MeV. Ввиду что в амплитудном интервале, регистрирующем электроны конвер оказывается очень мало электронов β -спектра с такой граничной энерг в этом случае при измерении совпадений не удастся удовлетворить принт эквивалентности энергий обоих типов совпадающих излучений. Ампли ный интервал для канала, регистрирующего β -лучи, выбран из усло максимального счета совпадений. Измерение времени производи сравнением с кривой быстрых совпадений, снятой для перехода $\text{Co}^{60} \rightarrow \text{Ni}^{60}$ в тех же амплитудных интервалах. Среднее значение периода п распада, полученное обработкой методами Бейя и Ньютона, оказа равным $T = 2 \cdot 10^{-9}$ сек (в работе [18] получено $T = 1,7 \cdot 10^{-9}$ сек), дает для радиационного периода $T_\gamma = 1,8 \cdot 10^{-8}$ сек.

Hf^{177} . Рис. 7 иллюстрирует случай уровня Hf^{177} с $E = 113$ keV личающийся тем, что для определения малого времени жизни уровня менен метод «самосравнения»: исследовались кривые e — β -совпаден β — e -совпадений и определялась величина смещения центров тяж двух кривых, которая дает значение периода полураспада $T = (4 \pm 0,6) \cdot 10^{-10}$ сек. Радиационный период $T_\gamma = 1,6 \cdot 10^{-9}$ сек. Ввиду лости измеряемой величины она определялась как средняя из резул

многочисленных измерений при разных условиях. В работе Саньяра для этого уровня дана верхняя граница периода полураспада $5 \cdot 10^{-10}$ сек. Pr^{141} . Кроме рассмотренных случаев, относящихся к переходам типа исследован также случай магнитного дипольного перехода с $E = 46$ keV в ядре Pr^{141} , образующемся при распаде ядра Ce^{141} . Это простой схемы распада с одним возбужденным уровнем. Исследуемое оказалось легко измеримым. Период полураспада $T = 2 \cdot 10^{-9}$ сек. в работе Де-Ваарда [20], полученной после того, как наши измерения были проверены, приводится значение $T = 1,9 \cdot 10^{-9}$ сек. Радиационный период полураспада, полученный из нашего результата, $2,8 \cdot 10^{-9}$ сек.

4. Анализ результатов измерений

Область редкоземельных ядер характерна большими значениями квадрупольных моментов. Хорошо известным является тот факт [2, 19], что вероятности квадрупольных переходов в ядрах этой группы оказываются большими на два порядка по сравнению с теми оценками, которые получаются формулами Вайскопфа [21] и Мошковского [22] для одночастичных переходов.

Упрощенная модель ядра [2, 23] рассматривает ядро как систему, в которой движение отдельных нуклонов связано с коллективным движением всего ядра. Сферически симметричную форму имеют лишь ядра с заполненными протонной или нейтронной оболочками. Нуклоны, находясь вне заполненной оболочки, взаимодействуя с нуклонами остова, деформируют ядро. В то же время характер движения этих нуклонов также определяется в силу изменения среднего поля деформированного остова, в котором они движутся.

Повышенная вероятность переходов типа $E2$ у таких ядер прямо связана с большой их деформацией и соответственно большим электрическим квадрупольным моментом. Для сильно деформированных ядер характерными являются вращательные состояния. Энергия вращательных уровней нечетных ядер, согласно [2], дается выражением

$$E = \frac{\hbar^2}{2J} I(I+1), \quad (8)$$

где $\hbar = \frac{h}{2\pi}$, J — эффективный момент инерции ядра относительно оси, перпендикулярной к оси симметрии, I — спин ядра в данном состоянии. В этом значении спина соседних вращательных состояний отличаются на единицы.

Вероятность электрических квадрупольных переходов для вращательных состояний с разностью энергий ΔE равна

$$\lambda(E2) = \frac{4\pi}{75} \cdot \frac{1}{\hbar} \cdot \left(\frac{\Delta E}{\hbar c} \right)^5 B(E2), \quad (9)$$

где $B(E2)$ — приведенная вероятность перехода, не зависящая от ΔE . Для нечетно-четных ядер при переходе $I+2 \rightarrow I$:

$$B(E2) = \frac{15}{32\pi} e^2 Q_0^2 \frac{(I+1)(I+2)}{(2I+3)(2I+5)}. \quad (10)$$

Здесь Q_0 — внутренний квадрупольный момент ядра, характеризующий деформацию ядра и измеренный в системе координат, связанной с ядром. Завен

$$Q_0 = \frac{4}{5} Z R_0^2 \frac{\Delta R}{R_0}, \quad (11)$$

где Z — порядковый номер элемента, ΔR — разность между большой и малой полуосями, $R_0 = 1,2 \cdot 10^{-13} \cdot A^{1/3}$ см — средний радиус ядра. Полученное из опыта значение среднего времени жизни уровня (величина, обратная вероятности перехода) дает возможность, пользуясь приведенными формулами (9), (10) и (11), определить параметр деформации ядра и внутренний квадрупольный момент Q_0 для четно-четных ядер Sm^{152} , Gd^{154} , Er^{166} . Для случая ядра Hf^{177} эти формулы не применимы. Для ядер с нечетным A энергии вращательных состояний даются выражением

$$E = \frac{\hbar^2}{2J} [I(I+1) - I_0(I_0+1)],$$

где I_0 — спин основного состояния. При этом, если проекция Ω -момента количества движения на ось симметрии ядра не равна половине, то ядро может принимать значения I_0, I_0+1, I_0+2, \dots . Приведенная вероятность перехода типа $E2$ во вращательном спектре при изменении спина на единицу равна [2]:

$$B(E2) = \frac{15}{16\pi} e^2 Q_0^2 \frac{\Omega^2 (I+1 - \Omega)(I+1 + \Omega)}{I(I+1)(2I+3)(I+2)},$$

где проекция момента количества движения $\Omega = I_0$.

Вращательный спектр четно-четных ядер обнаруживается как по энергии, которая для первого уровня лежит в области 100 кэВ, так и по отношению энергий второго (если он имеется) и первого уровней, которое, как это видно из формулы (8), равно $\frac{E_2}{E_1} = 3,33$ (спин основного состояния четно-четных ядер равен нулю). Кроме того, вращательные (и вообще коллективные) уровни в отличие от одночастичных возбуждаются кулоновским полем при бомбардировке тяжелыми заряженными частицами (протонами, α -частицами, многозарядными ионами).

Т а б л и ц а

Сводные данные для исследованных уровней

Символ ядра	E_γ , keV	Тип перехода	$T_{\text{набл.}}$, сек	$\alpha = \frac{N_e}{N_\gamma}$	T_γ	$T_{\text{теор}}$	$F = \frac{T_{\text{теор}}}{T_\gamma}$	$\frac{\Delta R}{R_0}$	Q_0
Pr_{59}^{141}	146	$M 1$	$2 \cdot 10^{-9}$	0,42	$2,8 \cdot 10^{-9}$	$7,2 \cdot 10^{-12}$	$2,6 \cdot 10^3$	—	—
Sm_{62}^{152}	122	$E 2$	$1,3 \cdot 10^{-9}$	1,27	$3 \cdot 10^{-9}$	$4,3 \cdot 10^{-7}$	140	0,29	—
Gd_{64}^{152}	344	$E 2$	$< 10^{-10}$	—	$< 10^{-10}$	$2,5 \cdot 10^{-12}$	—	—	—
Gd_{64}^{154}	123	$E 2$	$1,1 \cdot 10^{-9}$	1,42	$2,7 \cdot 10^{-9}$	$4,1 \cdot 10^{-7}$	150	0,29	—
Er_{68}^{166}	81	$E 2$	$2 \cdot 10^{-9}$	8,1	$1,8 \cdot 10^{-8}$	$3 \cdot 10^{-6}$	160	0,29	—
Hf_{72}^{177}	113	$E 2$	$4,2 \cdot 10^{-10}$	2,7	$1,6 \cdot 10^{-9}$	$5,3 \cdot 10^{-7}$	330	0,31	—

В табл. 2 сведены полученные данные для исследованных ядер: в первом столбце указан символ ядра, во втором — энергия первого уровня; в третьем — тип перехода, известный по данным о коэффициентах конверсии; в четвертом — наблюдаемое значение периода полураспада; в пятом — принятое значение коэффициента конверсии (по данным работы [18]); в шестом — радиационный период полураспада; в седьмом — период полураспада, вычисленный по формуле Вайскопфа; в восьмом — фактор F , представляющий отношение наблюдаемой и вычисленной вероятностей перехода; в девятом — параметр деформации $\Delta R/R_0$; в десятом — внутренний квадрупольный момент Q_0 .

ядра Gd^{152} , для которого установлен верхний предел времени жизни, эти уровни принадлежат, вероятно, к колебательному спектру [24]; следует из отношения энергий двух первых возбужденных уровней, которые близко к двум, и из величины энергии [344 keV].

Для ядра Hf^{177} спин основного состояния был измерен в 1956 г. Спенсера и Дженкинсом [25] и оказался равным $7/2$. Это дает возможность, зная время жизни, при помощи формул (9), (10) и (11) найти внутренний квадрупольный момент Q_0 и параметр деформации $\Delta R/R_0$.

В работе Теммера и Хейденбурга [26] по кулоновскому возбуждению из сечения квадрупольного возбуждения уровня ядра Hf^{177} с энергией 113 keV определена приведенная вероятность квадрупольного перехода из основного состояния в рассматриваемое состояние. Оказалось, $B_{if}(E2) = 2,8$. Пользуясь соотношением между приведенными вероятностями прямого и обратного переходов,

$$B(i \rightarrow f) = B(f \rightarrow i) \frac{2I_f + 1}{2I_i + 1}, \quad (14)$$

где I_i и I_f — спины основного и возбужденного состояний, а также формулу (9) и зная время жизни состояния, мы можем найти эту же величину. По нашим данным, $B_{if}(E2) = 2,6$, в хорошем согласии с результатом Теммера и Хейденбурга.

В работе Мармьера и Боема [27], в которой выполнены прецизионные измерения энергии γ -лучей Hf^{177} , для двух первых возбужденных уровней получены значения 112,97 и 249,59 keV соответственно.

Используя формулу (12), из спина основного состояния $I_0 = 7/2$ и энергии первого уровня для константы расщепления, получим

$$\frac{\hbar^2}{2J} = 12,56 \text{ keV}.$$

Применив эту же формулу ко второму уровню (249,69 keV), находим, что спин второго возбужденного состояния должен равняться $11/2$. Прямой переход из второго возбужденного состояния в основное должен поэтому происходить переходом типа $E2$, а не $M1$, как это указано в работе Мармьера и Боема.

Так как оба первых уровня ядра Hf^{177} возбуждаются кулоновским способом, применение формулы (12) для вращательных состояний представляется обоснованным и последовательность спинов $7/2, 9/2, 11/2$ для основного и двух возбужденных уровней кажется весьма вероятной (у Мармьера и Боема принята последовательность $1/2, 5/2, 3/2$).

Во всех исследованных случаях для переходов типа $E2$ между нижними вращательными состояниями времена жизни уровней оказались в 140—160 раз меньше оценок, даваемых одночастичной формулой Вайскопфа. Значения параметров деформации для исследованных ядер оказались близкими к 0,3. Внутренний квадрупольный момент возрастает от $0,024 \text{ см}^2$ у Sm^{152} до $8,2 \cdot 10^{-24} \text{ см}^2$ у Hf^{177} .

Ядро Pr^{141} имеет заполненную нейтронную оболочку ($N = 82$) и должно иметь сферически симметричную форму. Уровень с энергией $E = 146 \text{ keV}$ в магнитном поле не возбуждается [26] и имеет одночастичную природу. Значения коэффициентов конверсии на K - и L -оболочках, по данным Гейтса [28], равно 6,4, что наиболее близко к теоретическому значению [29] 7,7 для перехода $M1$. Если учесть, что в работе [28] линии L, M не разрешены и авторы фактически получают отношение

$$\frac{\alpha_K}{\alpha_L + \alpha_M + \alpha_N},$$

то экспериментальное отношение α_K/α_L будет еще ближе к теоретическому для магнитных дипольных переходов. Тот факт, что рассматриваемый пе-

реход является почти чистым переходом типа $M1$, вытекает также из оговоров по угловому распределению γ -лучей ориентированных ядер Pr^{141} , полученных Амблером, Хадсоном и Теммером [30].

Из модели оболочек и из измеренного значения спина основного состояния ($I_0 = 5/2$) следует, что переход происходит между уровнями g и $d_{5/2}$. В отличие от рассмотренных выше случаев переходов типа $E2$ между вращательными состояниями в случае магнитного дипольного перехода в ядре Pr^{141} время жизни уровня оказалось в 380 раз большим вычисленного по формуле Вайскопфа.

Грэхем и Белл [31] исследовали подобные замедленные магнитные дипольные переходы. Они объяснили понижение вероятности переходов запретом по орбитальному квантовому числу l (теоретически запрещенные переходы). В случае ядра Pr^{141} с заполненной оболочкой число является хорошим квантовым числом, и такой запрет, вероятно, имеет место. Следует, однако, отметить, что среди исследованных в работе Грэхема и Белла случаев имелись и такие переходы, при которых орбитальное квантовое число l не изменялось (например, переходы $p_{1/2} \rightarrow p_{1/2}$ в Hg^{199} и $p_{1/2} \rightarrow p_{1/2}$ для Fe^{57}). Тем не менее, и для них наблюдаемая вероятность переходов оказалась малой. Это говорит о том, что кроме l -запрета по-видимому, действуют и другие факторы, уменьшающие вероятность магнитных переходов. Таким фактором является магнитный момент, наведенный в остове ядра при одночастичном магнитном переходе.

Ленинградский физико-технический
институт Академии наук СССР

Цитированная литература

1. Слив Л., ЖЭТФ, **21**, 770 (1951).
2. Bohr A., Mottelson B., Kong. Danske Vidensk. Selsk., Mat.-fys. Medd., **27**, N 16 (1953). Сб. «Проблемы современной физики», обобщенная модель, № 9, статья вторая (1955).
3. Van Name F., Phys. Rev., **75**, 100 (1949).
4. Bay Z., Phys. Rev., **77**, 419 (1950).
5. Newton T., Phys. Rev., **78**, 490 (1950).
6. Bell R., Graham R., Petch H., Canad. J. Phys., **30**, 35 (1952).
7. Берлович Э., Изв. АН СССР, Серия физич., **19**, 343 (1955).
8. Madansky L., Wiedenbeck M., Phys. Rev., **72**, 185 (1947).
9. Meyer K., Baldinger E., Huber P., Helv. Phys. Acta, **23**, 517 (1950).
10. Jastram P., Konneker W., Kleland M., Phys. Rev., **79**, 243 (1950).
11. MacIntyre W., Phys. Rev., **76**, 312 (1949).
12. Bell R., Petch H., Phys. Rev., **76**, 1409 (1949).
13. Bell R., Graham R., Phys. Rev., **78**, 490 (1949).
14. Deutsch M., Wright W., Phys. Rev., **77**, 139 (1950).
15. Moon P., Proc. Phys. Soc. (London), A64, 76 (1951).
16. Bay Z., Henry V., McLernon F., Phys. Rev., **97**, 561 (1955).
17. Slattery R., Lu D., Wiedenbeck M., Phys. Rev., **96**, 465 (1954).
18. Sunyar A., Phys. Rev., **98**, 653 (1955).
19. Шавтвалов Л., ЖЭТФ, **21**, 1123 (1951).
20. De Waard H., Gerholm I., Physica, **XXI**, 599 (1955).
21. Блатт Дж., Вайскопф В., Теоретическая ядерная физика — ИЛ, Москва, 1954.
22. Moszkowsky S., Phys. Rev., **89**, 1071 (1951).
23. Hill D., Wheeler J., Phys. Rev., **89**, 1102 (1953).
24. Scharff-Goldhaber G., Wenner J., Phys. Rev., **98**, 212 (1955).
25. Speck D., Jenkins F., Phys. Rev., **101**, 1831 (1956).
26. Heydenberg N., Temmer G., Phys. Rev., **100**, 150 (1955).
27. Marmier P., Boehm F., Phys. Rev., **97**, 103 (1955).
28. Jones J., Iensen E., Phys. Rev., **97**, 1031 (1955).
29. Beta-and Gamma-Ray Spectroscopy, Ed K. Siegbahn, ch. XIV (1955).
30. Ambler E., Hudson R., Temmer G., Phys. Rev., **97**, 1212 (1955).
31. Graham R., Bell R., Canad. J. Phys., **31**, 377 (1953).

В. А. КОРОЛЕВ, Л. А. КУЛЬЧИЦКИЙ и А. И. ЖЕРНОВОЙ

УГЛОВАЯ α — γ -КОРРЕЛЯЦИЯ $\text{ThC}''(\text{Th}^{208}_{81})$

Введение

Предыдущие измерения угловой α — γ -корреляции ThC — ThC'' , проведенные в нашей лаборатории [1], не дали удовлетворительных результатов, так как не выделялись отдельные группы α -частиц, а применение газоразрядных счетчиков не позволило получить хорошей статистики.

Вил [2] измерил угловую α — γ -корреляцию для перехода на первый возбужденный уровень ThC'' . Найденная им угловая зависимость

$$W(\theta) = 1 - (0,022 \pm 0,05) \cos^2 \theta,$$

совместности с другими данными, полученными из изучения распада предыдущего и последующего ядер, позволила приписать соответствующим уровням следующие значения угловых моментов и четности

1^+ или 2^+ , 4^+ , 5^+ .

Нами произведено изучение угловой α — γ -корреляции при переходах на второй и четвертый возбужденные уровни ядра ThC'' (рис. 1). Интенсивность переходов на эти уровни составила 1,8 и 1,1%. Небольшая интенсивность переходов и наличие в спектре источника активного осадка тория большого количества γ -линий также от ThB

и ThD затрудняют проведение опытов по измерению интересующих угловых корреляций и требуют хорошего разделения линий α -частиц γ -квантов.

Методика измерений

Схема опытов приведена на рис. 2. Магнитный спектрометр, выделяющий отдельные группы α -частиц, дает возможность получать линии с относительной полушириной $\sim 0,5\%$ при светосиле около $8 \cdot 10^{-4}$ полного угла; α -частицы регистрировались сцинтилляционным счетчиком с кристаллом антрацена толщиной $\sim 50 \mu$ и фотоумножителем ФЭУ-19; γ -кванты регистрировались сцинтилляционным счетчиком с кристаллом — Ti .

Кристалл γ -счетчика и ФЭУ-19 экранировались от магнитного поля спектрометра при помощи тройного железного кожуха. Никакого изменения скорости счета γ -квантов при включении магнитного поля не наблюдалось.

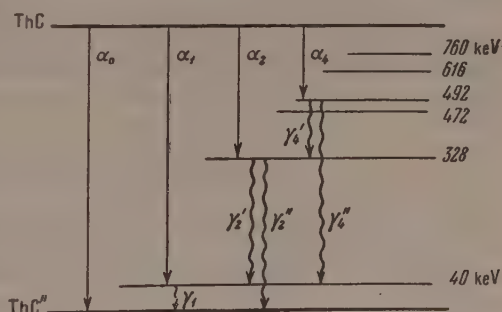


Рис. 1. Схема уровней ядра $\text{ThC}''(\text{Th}^{208}_{81})$ (указаны наиболее интенсивные переходы)

Источник активного осадка тория наносился с одной стороны алюминиевой фольги размером $10 \times 1 \times 0,007$ мм. Импульсы с анодов фотодиодов после формирующих каскадов поступали на быструю схему совпадений типа Росси на германиевых диодах [3]. Разрешающее время схемы совпадений было $\sim 2 \cdot 10^{-8}$ сек. Переменная линия задержки позволяла скомпенсировать время пролета α -частиц в спектрометре и разл

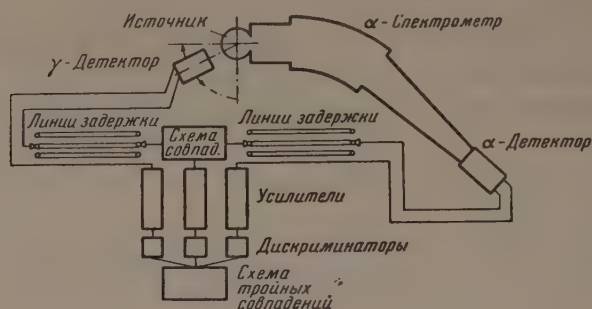


Рис. 2. Блок-схема установки

во времени прохождения импульсов через ФЭУ-19. Импульсы с периферии ФЭУ-19 и с быстрой схемы совпадений усиливались усилителем с полосой ~ 3 МГц и коэффициентом усиления около 1000, а затем поступали на дискриминаторы. Импульсы с дискриминаторов поступали на тройную схему совпадений с разрешающим временем $\sim 10^{-6}$ сек.

Такая схема быстро-медленных совпадений позволяла удобно устанавливать уровни дискриминации в каждом из каналов и считать совпадения в соответствии с уровнем дискриминации в каждом из каналов и в соответствии со счетом загрузок в отдельных каналах.

Измерения и результаты измерений

Измерения производились путем сравнения числа истинных совпадений под различными углами с числом совпадений под углом 180° . Совпадения производились за интервалы времени, соответствующие определенному количеству зарегистрированных α -частиц (8—25 мин), и многократно повторялись в прямом и обратном направлениях, чтобы исключить поправку на распад и возможные колебания в работе радиосхем.

Фон случайных совпадений для группы α_2 был примерно равен числу истинных совпадений (при средней скорости счета 3 истинных совпадения в минуту), а для α_4 в 1,5 раза больше. Фон измерялся при изменении магнитного поля в спектрометре, так чтобы регистрировались α -частицы другой группы.

Общее число истинных совпадений при каждом из углов для $\alpha_2 - \gamma$ -корреляции составляло в среднем около 6000 и для $\alpha_4 - \gamma$ — около 4000. Вводились поправки на конечные размеры телесных углов и на эксцентричность источника (около 1%). Результаты приводились к единице телесного угла.

Через полученные точки по методу наименьших квадратов проводились кривые типа

$$W(\theta) = 1 + AP_2(\cos \theta) + BP_4(\cos \theta),$$

где $P_n(\cos \theta)$ — полином Лежандра n -ного порядка.

Экспериментально найдены следующие угловые распределения (рис. 3 и 4): $W_{\text{эсп}}(\theta) = 1 - (0,063 \pm 0,017) P_2(\cos \theta) + (0,105 \pm 0,021) P_4(\cos \theta)$ для корреляции $\alpha_2 - \gamma$ и $W_{\text{эсп}}(\theta) = 1 - (0,083 \pm 0,016) P_2(\cos \theta)$ для корреляции $\alpha_4 - \gamma$.

Интерпретация результатов

Экспериментальные корреляционные кривые сравнивались с кривыми, рассчитанными по теоретическим формулам [4] для различных комбинаций моментов уровней, мультипольности γ -излучений и орбитальных моментов α -частиц. Для исходного ядра было испробовано два значения момента: 1^+ и 2^+ . Для перехода α_2 — γ конечное состояние имеет моменты 5^+ (при переходе на первый возбужденный и на основной уровни), для α_4 — γ одно значение 4^+ (переход на основной уровень малоинтенсивный, а на второй возбужденный — задискриминирован).

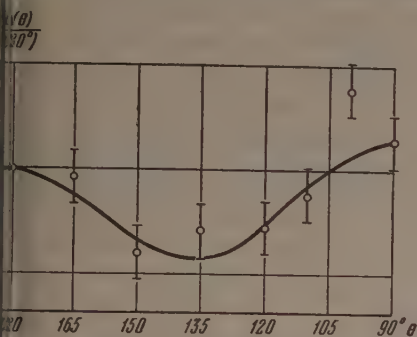


Рис. 3. Угловая корреляция при переходе α_2 — γ (кривая построена методом наименьших квадратов)

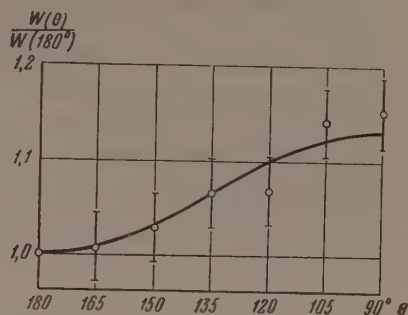


Рис. 4. Угловая корреляция при переходе α_4 — γ (кривая построена методом наименьших квадратов)

При проверке комбинации моментов $2^+ \rightarrow J \rightarrow 4^+$ (для α_4 — γ) не было найдено теоретической функции, близкой к экспериментальной. Из комбинации $1^+ \rightarrow J \rightarrow 4^+$ близко подходит к экспериментальной функция $W(\theta) = 1 - 0,124 P_2(\cos \theta)$, соответствующая моментам $1^+ \rightarrow 3^- \rightarrow 4^+$, тем γ -излучение должно быть электрическим дипольным [$E(1)$]. Расхождение примерно на 30% может быть объяснено тем, что корреляция уменьшается под воздействием поля электронной оболочки атома. Кроме того, можно получить точное совпадение экспериментальных данных с теорией для комбинации угловых моментов $1^+ \rightarrow 3^+ \rightarrow 4^+$, тем для α -частиц возможна интерференция переходов с моментами 2 и 4. γ -излучение должно быть в этом случае

$$M(1) + 0,001 E(2) \text{ с разностью фаз } 180^\circ.$$

Интерпретация экспериментальных результатов в случае α_2 — γ осложняется тем, что снятие возбуждения происходит двумя путями:

$J \rightarrow 4^+ \rightarrow 5^+$. Расчет для $J = 3^+$ дает почти точное совпадение теоретической функции с экспериментальной, если предположить, что: 1) отношение интенсивности электрического квадрупольного излучения к интенсивности магнитного дипольного для перехода на первый возбужденный уровень равно 8 с разностью фаз 180° ; 2) отношение интенсивности излучения с моментом 4 к интенсивности α -излучения с моментом 2 колеблется от 0,1 до 0,01 с различными фазами. При этом отношение интенсивностей переходов, вычисленное из известных коэффициентов констант, равно 0,34. При этих предположениях

$$W_{\text{теор}}(\theta) = 1 - 0,063 P_2(\cos \theta) + 0,090 P_4(\cos \theta).$$

Для момента $J = 5^+$ при предположении, что в переходе $J \rightarrow 4^+$ γ -излучение состоит из смеси $M(1)$ и $E(2)$ в соотношении $\delta^2 = 10$ с разностью фаз 180° , а в переходе $J \rightarrow 5^+$ оно чисто квадрупольное, теоретическая функция имеет вид:

$$W_{\text{теор}}(\theta) = 1 - 0,212 P_2(\cos \theta) + 0,280 P_4(\cos \theta).$$

При этом отношение интенсивности излучения при переходе J к интенсивности перехода $J \rightarrow 4^+$, вычисленное из известных коэффициентов конверсии, составляет 0,331. Несовпадение с экспериментальной функцией, как и в случае $\alpha_4 - \gamma$, может быть вызвано снятием кривой. Однако значение момента 5^+ сомнительно из следующих соображений. Из экспериментальной функции корреляции для $\alpha_4 - \gamma$ излучения γ'_4 (рис. 1) определяется как дипольное. При моментах же второго и третьего возбужденных уровней 5^+ и 3^+ излучение γ'_4 может быть то $M(2)$ или $E(2)$. Но тогда интенсивность излучения γ'_4 была бы гораздо меньше, чем интенсивность γ''_4 , а из рассмотрения интенсивностей конверсионных электронов для этих линий следует, что интенсивность γ''_4 меньше, чем γ'_4 .

Выводы

Исходя из сказанного выше, можно сделать следующие заключения.

Из двух возможных значений (1^+ или 2^+) момента основного состояния $\text{ThC}(\text{Bi}_{83}^{212})$ следует выбрать величину 1^+ .

Наиболее вероятное значение момента второго возбужденного уровня $\text{ThC}''(\text{Th}_{81}^{208}) - 3^+$, а γ -излучение в основном $E(2)$ с небольшой примесью $M(1)$. О моменте четвертого возбужденного уровня можно сказать лишь то, что он имеет значение 3, но о его четности пока нельзя сделать никакого вывода. В этом случае γ -излучение может быть $M(1)$ или $E(2)$.

Ленинградский физико-технический институт
Академии наук СССР

Цитированная литература

1. Кульчицкий Л., ДАН СССР, 73, 1153 (1950).
2. Weale J., Proc. Phys. Soc., 68, 35 (1955).
3. DeBenedetti S., Riching H., R. S. I., 23, 37 (1952).
4. Biedenharn L., Rose M., Rev. Mod. Phys., 25, 729 (1953).

Б. А. БОЧАГОВ, А. А. ВОРОБЬЕВ и А. П. КОМАР

ИСПОЛЬЗОВАНИЕ ИМПУЛЬСНОЙ ИОНИЗАЦИОННОЙ КАМЕРЫ В КАЧЕСТВЕ α -СПЕКТРОМЕТРА

Устройство и работа камеры

Принцип работы импульсной ионизационной камеры с электронным считыванием хорошо известен. Используемая нами камера состояла из трех электродов (рис. 1): высоковольтного 1, сетки 2 и собирающего электрода 3. Источник α -частиц помещался на высоковольтном электроде. Если пролетевшая α -частица укладывается в объеме между высоковольтным электродом и сеткой, то при этом образуется $N = E/W$ пар ионов, где E — кинетическая энергия α -частицы, W — средняя энергия, идущая на образование одной пары ионов.

Потенциалы на высоковольтном электроде и сетке устанавливаются при условии: 1) предотвращения рекомбинации ионов, 2) обеспечения протекания электронов сквозь сетку.

Под действием электрического поля электроны движутся к собирающему электроду и через некоторое время t_1 (~ 1 мксек) все собираются на нем.

Положительные ионы при этом останутся практически на месте, так как их подвижность меньше в 1000 раз, чем у электронов. Импульс на собирающем электроде обусловлен движением электронов, так как от действия заряженных положительных ионов собирающий электрод заэкранирован сеткой, поэтому амплитуда импульса на собирающем электроде равна

$$V_1 = - \frac{Ne}{C_1},$$

где e — заряд электрона, C_1 — емкость собирающего электрода относительно земли.

Наоборот, амплитуда V_2 импульса на высоковольтном электроде определяется положительными ионами. Можно показать, что

$$V_2 = \frac{Ne}{C_2} \left(1 - \frac{X}{d} \cos \varphi \right),$$

где X — расстояние между высоковольтным электродом и сеткой; φ — угол между направлением вылета ионы и нормалью к электродам; C_2 — емкость высоковольтного электрода относительно земли.

$$X = \frac{\int_0^R r \rho(r) dr}{\int_0^R \rho(r) dr}$$

где ρ — плотность ионов по треку; φ — угол между направлением вылета ионы и нормалью к электродам; C_2 — емкость высоковольтного электрода относительно земли.

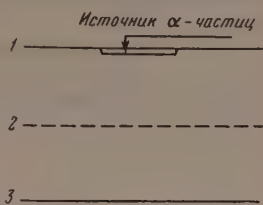


Рис. 1. Схематическое устройство камеры

Импульс на сетке определяется совместным действием заряда положительных ионов и электронов. Проведенный расчет показал, что импульс на сетке сначала возрастает до некоторой отрицательной величины V_3 , затем уменьшается, меняет знак и ко времени t_1 становится равным нулю.

$$V_4 = \frac{Ne}{C_3} \cdot \frac{X}{d} \cos \varphi.$$

Для α -частиц V_3 с хорошей степенью точности ($\sim 1\%$) дается формулой:

$$V_3 = -\frac{Ne}{C_3} \left(1 - \frac{R}{d} \cos \varphi \right),$$

где R — пробег α -частицы, C_3 — емкость сетки относительно земли.

Итак, импульс V_1 на собирающем электроде определяется кинетической энергией E α -частицы, а импульсы V_2 , V_3 и V_4 зависят как от энергии, так и от $\cos \varphi$.

Одновременное измерение V_1 и одного из импульсов V_2 , V_3 или V_4 дает энергию E α -частицы и угол между направлением вылета α -частицы и нормалью к поверхности электродов. Этим можно воспользоваться для решения ряда физических задач и, в частности, задач α -спектроскопии.

Использование прибора для измерения энергии α -частиц

Из изложенного видно, что, используя импульс с собирающего электрода, можно измерять энергию E α -частиц*. Рассмотрим возможные источники ошибок в определении E и оценим разрешающую способность прибора. Разрешающая способность характеризуется полушириной линии α -спектра, которая связана с δ (среднее квадратичное отклонение величины V_1) соотношением: полуширина равна $2,35 \delta$.

А. Среднее квадратичное отклонение числа пар ионов δ_1

Эта ошибка, связанная с флуктуацией числа пар ионов, образующихся при ионизации частицей, носит принципиальный характер. Она существует для всех ионизационных методов. Точных данных относительно величины δ_1 пока еще не существует. В настоящее время принято считать, что

$$\delta_1 = \sqrt{0,3 \cdot N},$$

где N — число образованных пар ионов. Это дает для случая ионизации аргона α -частицами с энергией в 5 MeV $\delta_1 = 6,6 \text{ keV}$ (что соответствует полуширине, равной 16 keV).

Б. Среднее квадратичное отклонение δ_2 , обусловленное шумом ламп предусилителя

Так как импульсы, возникающие на собирающем электроде, малой величины ($\sim 1 \text{ mV}$), то необходимо их усиливать. При этом существует шум первых каскадов усилителя.

В зарубежной литературе опубликован ряд работ [5, 6], посвященных конструированию предусилителей с низким шумом. Лучшие результаты получены в [5], где $\delta_2 = 10 \text{ keV}$ (полуширина $23,5 \text{ keV}$).

Нам удалось снизить δ_2 до $7,7 \text{ keV}$ (это соответствует полуширине, равной 18 keV).

* Этот метод довольно широко используется для измерения кинетической энергии как α -частиц, так и осколков деления. См., например, [1—3].

В. Среднее квадратичное отклонение δ_3 , обусловленное потерями в источнике

α -Частицы, эмиттируемые нижними слоями источника, теряют часть энергии в слое и притом тем большую, чем под большим углом к нормали вылетают. Чтобы сделать эту ошибку минимальной, нужно регистрировать лишь частицы, вылетающие под небольшим углом к нормали. Для используемого нами источника $\delta_3 = 2$ keV (полуширина равна 5 keV). Суммируя по закону квадратов все указанные ошибки, получаем

$$\delta = \sqrt{\delta_1^2 + \delta_2^2 + \delta_3^2} = 10,5 \text{ keV}$$

что соответствует полуширине, равной 25 keV).

Итак, проведенная оценка показывает, что если при измерении не вносятся каких-либо дополнительных аппаратурных погрешностей, то полуширина линии α -спектра должна быть равна 25 keV.

Светосила прибора

Если не вводить коллимацию, то камера регистрирует около 50% эмиттируемых α -частиц. Однако, как уже указывалось, для улучшения分辨ющей способности необходимо коллимировать источник α -частиц. Выход из этого положения — единственный способ — при помощи механического коллиматора. Однако такой коллиматор обладает по крайней мере двумя существенными недостатками: 1) не полностью используется площадь источника, что значительно снижает светосилу; 2) часть ионов, образовав-

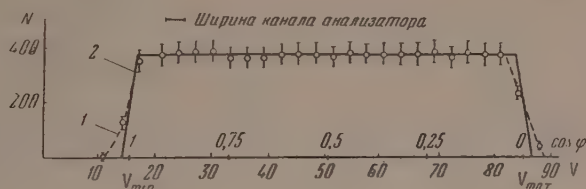


Рис. 2. Дифференциальное распределение отрицательных импульсов с сетки для α -частиц ThC' ($E_\alpha = 8,8$ MeV): 1 — экспериментальная кривая, 2 — расчетная кривая с учетом ширины канала

шие в отверстиях коллиматора, не попадает на собирающий электрод, что ухудшает разрешающую способность.

Используя возможность одновременного измерения угла вылета и энергии α -частицы, можно ввести коллимацию без помощи механического коллиматора.

Можно показать, что в случае изотропного распределения α -частиц любой энергии дифференциальное распределение, например импульсов V_3 , по амплитудам будет таким, как показано на рис. 2, где по оси абсцисс отложена величина амплитуды импульсов V_3 в вольтах, а по оси ординат — число импульсов данной амплитуды. По оси абсцисс отложена также величина $\cos \varphi$; $\cos \varphi$ и V_3 связаны между собой линейно. Импульсам минимальной амплитудой V_{\min} соответствуют α -частицы, вылетевшие перпендикулярно к поверхности электродов, а импульсам с максимальной амплитудой V_{\max} соответствуют α -частицы, вылетевшие параллельно поверхности электродов. Отсюда видно, что коллимацию можно ввести, регистрируя импульсы V_1 на совпадения с импульсами V_0 , лежащими в интервале $V_{\min} < V_3 < V_0 \leq V_{\max}$. Ясно, что, меняя величину V_0 , можно пропорционально менять степень коллимации.

Вместо V_3 могут быть использованы также импульсы V_2 или V_4 . В таком методе коллимации светосила снижается не более, чем в три-четыре раза и составляет 10—15%. Интересно сопоставить эти данные с данными магнитного спектрометра. Светосила лучших магнитных спектрометров $\sim 0,02\%$. Однако в большинстве случаев эффективный спектрометр определяется не светосилой, а величиной $\Phi = IS$ (трансмиссией), где I — светосила прибора, S — площадь источника.

В магнитных спектрометрах обычно $S \approx 0,1 \text{ см}^2$. В ионизационной камере площадь источника принципиально ничем не ограничена (напротив, нами использован источник площадью в 75 см^2).

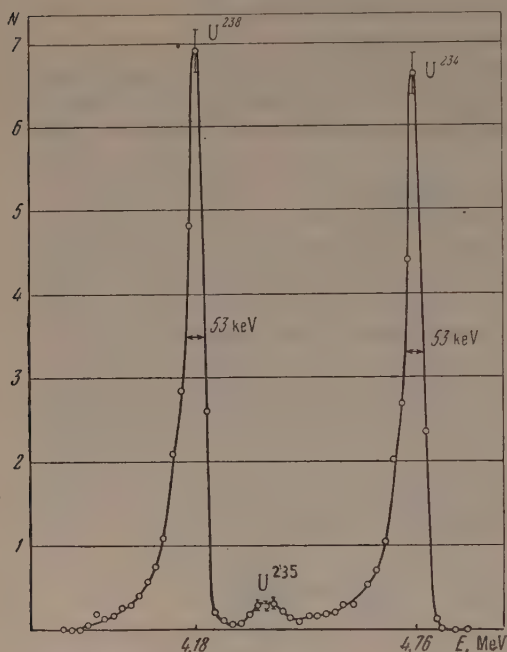


Рис. 3. Спектр естественной смеси изотопов урана, полученный без коллимации

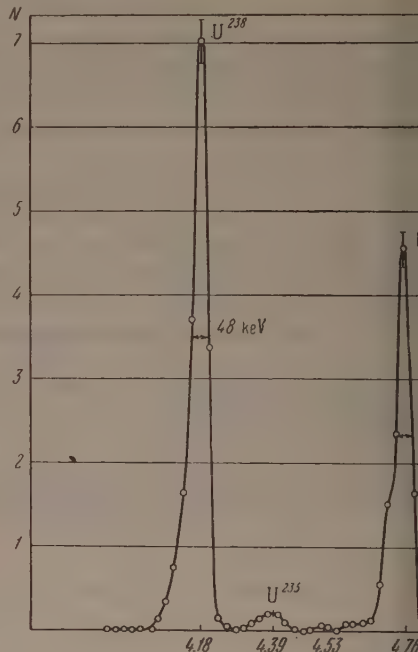


Рис. 4. Спектр естественной смеси изотопов урана; ширина канала 24 к

Отсюда видно, что трансмиссия в ионизационной камере на пять-шесть порядков выше, чем у магнитного спектрометра, что позволяет изучать α -спектры элементов с большим периодом полураспада (малые интенсивности), таких как U^{238} , Th^{232} . При этом разрешающая способность камеры лишь в три-четыре раза меньше, чем у магнитного спектрометра.

Еще одним преимуществом ионизационной камеры является возможность использования многоканального амплитудного анализатора, позволяет снимать все точки спектра одновременно и в одних и тех же условиях. Это важно при изучении спектров α -излучателей с очень малым периодом полураспада (минуты, секунды и даже миллисекунды).

Таким образом, импульсная ионизационная камера может быть использована для изучения спектров α -излучателей с широким периодом полураспада.

На рис. 3 приведен спектр естественной смеси изотопов урана, снятый без коллимации. На получение спектра затрачено 8 мин.

На рис. 4 показано, как применение коллимации описанным выше методом улучшает форму спектра. Скорость счета при этом снижена в три раза. Следует отметить, что истинные относительные интенсивности линий на этом рисунке не переданы, так как степень коллимации для U^{234} установлена большей, чем для U^{238} . Из сравнения спектров на ри

видно, что с введением коллимации резко сокращается хвост со стороны малых энергий, благодаря чему стало возможным выделение второй группы α -частиц U^{235} . На рис. 5 показана линия U^{234} , полученная в тех же условиях, что и спектр, изображенный на рис. 4, но с меньшей шириной канала.

Как видно из рис. 5, полуширина линии равна 35 keV. Это отличие от ожидаемой величины 25 keV мы относим за счет нестабильности электронного осциллографа, используемого для амплитудного анализа, а также за счет недостаточно хорошей экранировки сеткой.

Однако существует и принципиальная причина, не позволившая выделить тонкую структуру. Дело в том, что часть группы α -частиц с большей энергией сопровождается электронами конверсии, производящими дополнительную ионизацию в объеме камеры. Поэтому импульсы, соответствующие таким α -частицам, получаются большими, чем для остальных α -частиц той группы.

Чтобы избавиться от электронов конверсии, мы предполагаем поместить камеру в сильное магнитное поле. Тогда электроны конверсии будут возвращаться полем на источник, не производя заметной ионизации в объеме камеры.

Мы думаем, что в такой установке станет возможным изучение ротационных уровней α -излучателей.

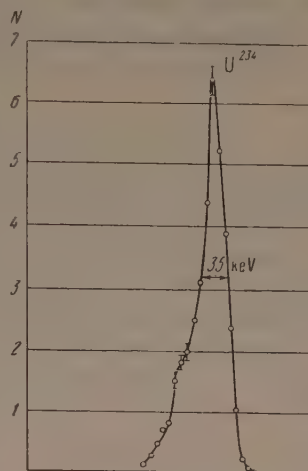


Рис. 5. Спектр U^{234} ; ширина канала 8 keV

Использование прибора для изучения α — γ -корреляций

Поскольку камера позволяет измерять одновременно энергию α -частицы и угол вылета, то естественно использовать ее для изучения α — γ -корреляций. Для этого необходимо снимать дифференциальное распределение одного из импульсов V_2 , V_3 или V_4 на совпадения с импульсами от антициклонотронного счетчика, регистрирующего γ -кванты, вылетающие перпендикулярно к поверхности электродов. Впервые подобным методом α — γ -корреляция изучалась Валладасором и др. [7]. Авторы использовали электродную камеру; поэтому их метод пригоден в случае, когда имеется одна группа α -частиц.

Однако обычно одновременно присутствует несколько групп α -частиц. Чтобы выделить одну из них можно, вводя совпадения с импульсами V_1 , соответствующими этой группе. На рис. 2 показано дифференциальное распределение импульсов с сетки V_3 на совпадения с V_1 , соответствующими энергии $E = 8,8$ MeV α -частиц ThC' .

На рис. 2 видно, что экспериментальные точки хорошо ложатся на расчетную кривую (в данном случае распределение α -частиц изотропное). Погрешность измерения $\cos \varphi$ не больше чем 3%.

Еще раз приведем сравнение с магнитным спектрометром. Как при измерении энергии α -частиц, так и при изучении угловой корреляции эффективность ионизационной камеры может быть на четыре-пять порядков выше, чем у магнитного спектрометра. Не уступая последнему по точности измерения угловых распределений, камера не требует такой сложной техники, как быстрые схемы совпадений, стабилизация поля и т. п.

Все это говорит о том, что использование импульсной ионизационной камеры вместо магнитного спектрометра для изучения α — γ -корреляций значительно сократит время, затрачиваемое на измерения, и, кроме того,

позволит изучать корреляции для таких элементов, где до сих пор это было невозможно.

Авторы выражают глубокую благодарность С. Н. Николаеву за ценные советы и помощь при конструировании и наладке радиоаппаратуры.

Ленинградский физико-технический
институт Академии наук СССР

Цитированная литература

1. Fower J. L., Rosen L., Phys. Rev., 72, 926 (1947).¹
2. Wahl I. S., Phys. Rev., 95, 126 (1954).
3. Баранов С., Шлягин К., Сессия АН СССР по мирному использованию атомной энергии, стр. 251, 1955.
4. Fano U., Phys. Rev., 70, 44 (1946).
5. Engelkemeir D., Magnusson L., Rev. Sci. Instr., 26, 295 (1955).
6. Buneman O., Granshaw T., Harvey J., Can. J. Res., 27, A, 191 (1954).
7. Valladas G., Teilac I., Falk-Vairant P., Benoist P., J. Phys., 16, 125 (1955).

И. А. КОНДУРОВ, Л. И. РУСИНОВ и В. Б. ЧЕРНЯЕВ

ИССЛЕДОВАНИЕ КОРОТКОЖИВУЩИХ ИЗОМЕРОВ Y^{88*} и Rb^{206*}

В настоящее время известно относительно небольшое число ядерных изомеров с периодами полураспада в интервале $10^{-5} \div 10^{-1}$ сек.

При определении коротких времен жизни ($T < 10^{-4}$ сек) используется метод запаздывающих совпадений. Это метод применим только при исследовании изомерных состояний, получающихся в результате β - или α -распада, и не является эффективным в интересующей нас области времен из-за большого фона случайных совпадений.

Для изучения короткоживущих изомеров в последнее время начал применяться метод импульсных источников излучений. В сочетании с временными и амплитудными анализаторами данный метод дает большие возможности для исследования метастабильных состояний в области времен жизни $10^{-5} - 10^{-1}$ сек.

Следует отметить в связи с работой [1], что переходы в случае изомеров с указанными периодами полураспада должны быть или квадрупольными с малыми энергиями возбуждения (десятки килоэлектронвольт), или октупольными с относительно большими энергиями (выше 0,5 MeV). Таким образом, можно предположить, что изомеры со средними энергиями возбуждения должны иметь времена жизни вне указанной области. Кроме того, при электрических квадрупольных переходах наличие коллективных вращательных уровней [2] приводит к уменьшению времени жизни изомеров (меньше 10^{-5} сек); при октупольных же переходах время жизни изомеров (больше 10^{-1} сек) может увеличиваться из-за деформации ядер. Следует также отметить, что наблюдаемые времена жизни для квадрупольных переходов с малыми энергиями возбуждения могут оказаться меньшими интересующих нас времен вследствие больших коэффициентов внутренней конверсии.

Относительно малое число изомеров в интервале $10^{-5} \div 10^{-1}$ сек, таким образом, может быть обусловлено не только методическими трудностями, и, возможно, связано со свойствами атомных ядер.

В связи с этим представляет интерес исследование ядерных изомеров периодами полураспада в указанном интервале времен.

Аппаратура

В данной работе по исследованию короткоживущих изомеров в качестве импульсного источника γ -излучения использовался синхротрон ЛФТИ 100 MeV с частотой повторения 50 Hz и эффективной шириной импульсного тормозного излучения, равной 15 мксек. Импульсы γ -квантов облучали мишень, содержащую исследуемый элемент. Регистратором наведенной активности служил кристалл NaJ—Tl с фотоумножителем типа ФЭУ-19. Уменьшение наведенной активности в исследуемой мишени измерялось с помощью многоканального временного селектора. γ -Спектр изучаемых изомеров исследовался амплитудным анализатором.

Блок-схема установки представлена на рис. 1. Импульс с выхода ФЭУ-19 1 после предварительного усиления 2 через 75-метровый кабель подается на линейный усилитель 3, имеющий время нарастания сигнала

0,1 мксек и коэффициент усиления 40. Дальнейшее двустороннее ограничение и формирование импульса, необходимое для остальных элементов схемы, производится в дифференциальном амплитудном анализаторе. Как в случае снятия энергетических γ -спектров, так и при определении периодов полураспада ядер из всех импульсов, поступающих из усилителя 3, выбирается исследуемый участок спектра.

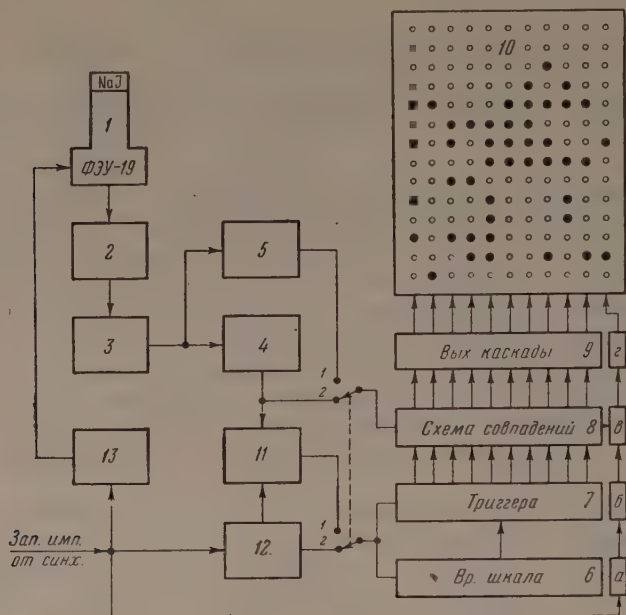


Рис. 1. Блок-схема установки: 1 — регистратор γ -излучения: кристалл NaJ—Tl и ФЭУ-19М, 2 — предварительный усилитель, 3 — усилитель, 4 — одноканальный дискриминатор, 5 — блок преобразования амплитуды во время, 6 — генератор импульсов временных интервалов, 7 — блок прямоугольных «канальных» импульсов, 8 — схема совпадений сигнала и «канальных» импульсов, 9 — схема формирования регистрируемых импульсов, 10 — информационное устройство, 11 — импульсное устройство, определяющее рабочую часть периода, 12 — генератор переменной задержки, 13 — схема для модуляции ФЭУ-19М

Когда производилось исследование γ -спектра, выбранная область амплитуд делилась на 10 частей соответственно десяти основным каналам временного селектора. При такой работе прибора (переключатель на блок-схеме в положении 1) блок 5 производит преобразование величины импульса во время, которое измеряется временным селектором 6—10. Для этого импульс от блока 4 через блокирующее устройство 11 запускает «временную» шкалу 6 и одновременно первый триггер (ламповое реле с двумя устойчивыми состояниями) цепочки 7 из десяти триггеров, и создается последовательность равных интервалов времени. Совпадение в блоке 8 задержанного (пропорционально величине измеряемого сигнала) импульса из блока 5 с одним из этих интервалов создаст импульс регистрации в соответствующем канале блока 9.

При измерении периодов полураспада ядер взаимодействие элементов устройства изменяется. В этом случае (переключатель в положении 2) каналы временного селектора и «временная шкала» 6 запускаются от сигнала 12, задержанным на любое время по отношению к импульсу γ -излучения синхротрона. На схему совпадений 8 теперь поступают импульсы от блока 4, соответствующие исследуемой части энергетическ

спектра. Схема блокировки 11 позволяет выбирать импульсы для амплитудной селекции в течение определенного отрезка времени. Этот рабочий интервал времени может быть расположен в любой части периода импульсов синхротрона. С целью ликвидации перегрузки усилителей во время импульса фотоумножитель запирается прямоугольным сигналом 150 В от модулятора 13. Последний запускается подобно генератору сдержки 12.

Для измерения фона от долгоживущих активностей служит контрольный канал — а, б, в, г, длительность и место расположения которого на временной шкале могут быть установлены в соответствии с требованиями опыта. Пучок информации 10 состоит из 11 идентичных бинарных накопителей на транзисторах МТХ-90 с емкостью каждого канала 16 383 импульса. Основные параметры прибора следующие: амплитудный анализатор линеен по амплитуде $\pm 2\%$ до 90 В. Скорость счета 2000 периодических импульсов

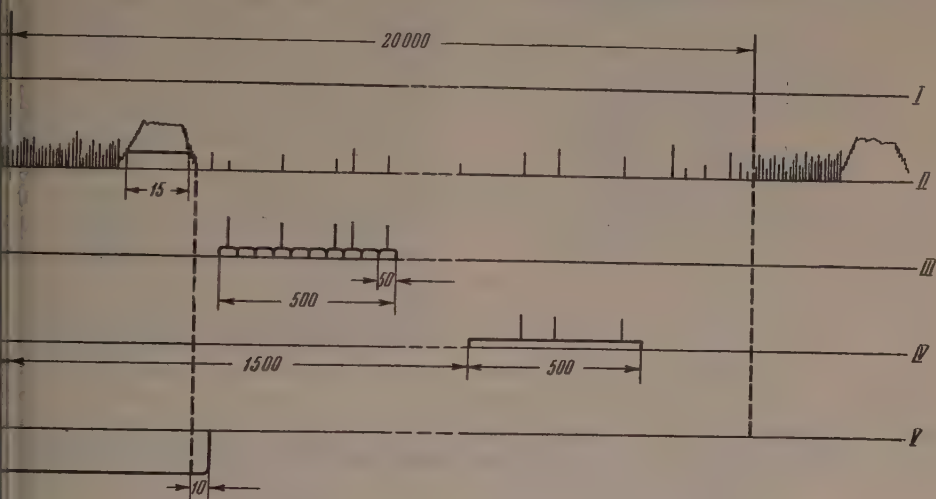


рис. 2. Временное распределение импульсов в различных точках схемы временного анализатора при измерении периодов полураспада: I — запускающие импульсы от синхротрона, II — пучок γ -лучей и импульсы от усилителя без модуляции ФЭУ, III — на схеме совпадений, IV — на контрольном канале. V — модуляция ФЭУ

секунду. Минимальная ширина канала 2 В. Ширина канала временного анализатора может быть установлена ступенчато: 5, 10, 16, 20, 30, 40 мксек. Неопределенность во времени, связанная с изменением эффективной ширины канала, не превышает 0,1 мксек. На рис. 2 приведен пример временного распределения импульсов, характеризующий взаимодействие основных узлов устройства *.

Методика и результаты измерений

При проведении исследований кристалл и фотоумножитель окружаются слоем свинца толщиной 200 мм и располагались на расстоянии 1,5 м от мишени ускорителя. Между ними находилась свинцовая стена толщиной 200 мм. Пучок γ -лучей дважды коллимировался свинцовыми коллиматорами: на расстоянии 1,0 м от ФЭУ, диаметром 40 мм, толщиной 100 мм и непосредственно около свинцовой защиты — диаметром 30 мм и той же толщины. Первый коллиматор и свинцовая защита покрывались слоями парафина и бора. Облучаемая мишень помещалась в пучок γ -лучей синхротрона под углом 45° (рис. 3).

* Подробные материалы по этой части работы будут переданы в печать.

Причинами, влияющими на энергетическое разрешение изучаемых γ -спектров и на точность в определении периодов полураспада ядер, в наших опытах служит значительный фон от посторонних реакций (захват медленных нейтронов, реакции $\gamma-\gamma'$, $\gamma-n$, $\gamma-2n$ и т. д.) и непосредственное влияние γ -импульса синхротрона на детектор. Последнее обстоятельство приводит к «мертвому времени» около 30–50 мксек после γ -импульса. Можно предположить, что это связано с реакцией ФЭУ-19 на электрический сигнал от блока 13 (см. рис. 1), которым он модулируется с целью устранения перегрузки регистрирующей системы в момент синхротронного γ -импульса. Кроме этого, рассеянные γ -кванты пучка создают фосфоресценцию кристалла, которая спадает с двумя постоянными времени: 100–200 мксек и более 1000 мксек. Первое возбуждение имеет большую плотность импульсов фосфоресценции, что приводит к дополнительным ошибкам при измерениях. Ослабить влияние фосфоресценции можно или снижением интенсивности излучения синхротрона или уменьшением толщины исследуемой мишени, что увеличивает относительный уровень фона. Фон от посторонних реакций в наших измерениях составлял значительный процент регистрируемых импульсов и спадал с периодом полураспада около 200 мксек.

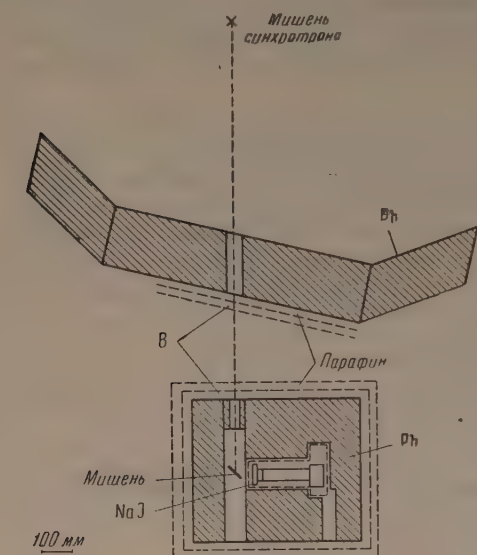


Рис. 3. Схема опыта при облучении на синхротроне

Для калибровки сцинтилляционного спектрометра использовали γ -линии $\text{Hg}^{203} - E_\gamma = 280 \text{ keV}$, $\text{Cs}^{137} - E_\gamma = 661 \text{ keV}$ и аннигиляционное излучение Cu^{62} (рис. 4). Замечено, что модуляция фотоумножителя несколько сдвигает максимум спектра в сторону малых энергий.

В качестве элементов для изучения короткоживущих изомеров нами были взяты иттрий и свинец. Были проведены опыты по получению этих изомеров путем фотоядерных реакций; времена жизни метастабильных состояний измерялись при помощи временного анализатора.

Измерения периода полураспада Pb^{206*} проводились со свинцовой мишенью, которая облучалась на синхротроне при максимальной энергии тормозного γ -излучения 70 MeV.

В предварительных опытах наведенная активность измерялась счетчиком Г.—М., который окружался свинцовым цилиндром, толщина стенок которого 7 мм, и помещался в γ -пучок ускорителя. Значение периода полураспада свинца оказалось равным $140 \pm 10 \text{ мксек}$.

В предварительных опытах наведенная активность измерялась счетчиком Г.—М., который окружался свинцовым цилиндром, толщина стенок которого 7 мм, и помещался в γ -пучок ускорителя. Значение периода полураспада свинца оказалось равным $140 \pm 10 \text{ мксек}$.

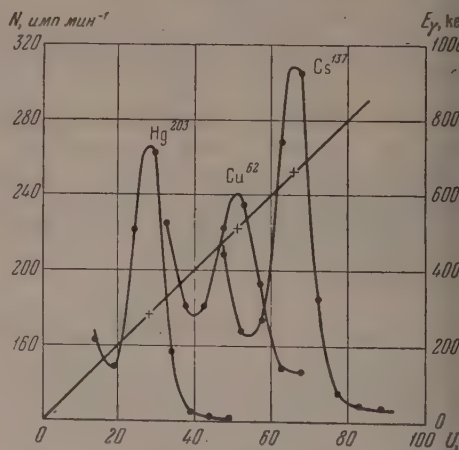


Рис. 4. Кривые градуировки сцинтилляционного γ -спектрометра

Основным регистратором при измерении γ -активности служил кристалл NaJ—Tl с ФЭУ-19 М. При исследовании короткоживущих изомерных состояний свинца в качестве мишени использовалась пластинка толщиной $1,5 \text{ г см}^{-2}$.

Период полураспада Pb^{206*} измерялся в интервале энергий $200 \div 900 \text{ keV}$, так как, по данным работы [3], распад метастабильного состояния Pb^{206*} энергией возбуждения $2,2 \text{ MeV}$ сопровождается каскадными переходами энергиями от 203 до 880 keV . В результате измерений при помощи временного селектора было получено значение периода полураспада метастабильного состояния Pb^{206*} , $T_{1/2} = 145 \pm 10 \text{ мксек}$ (рис. 5), возникающего

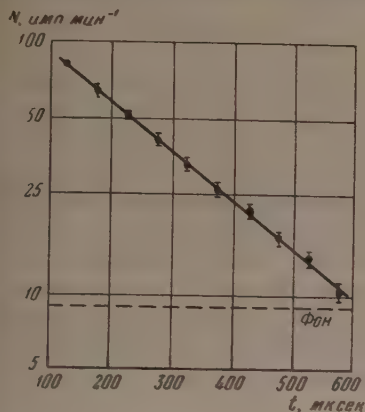


Рис. 5. Кривая распада Pb^{206*}

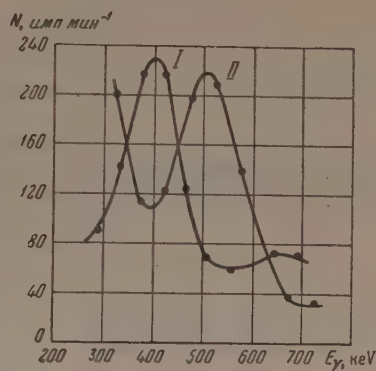


Рис. 6. Спектр: I — γ -излучения Y^{88*} и II — аннигиляционного излучения Cu^{62}

более вероятно по реакции $Pb^{207}(\gamma n)Pb^{206*}$. Эта величина периода полураспада совпадает с данными работы [3], где исследовался K -захват Pb^{206} ($T = 6,5$ дня) методом запаздывающих совпадений.

В исследовании иттрия мишенью служил азотнокислый иттрий толщиной $2,1 \text{ г см}^{-2}$. На рис. 6 приведен полученный нами γ -спектр Y^{88*} . Энергия γ -перехода оказалась равной $400 \pm 30 \text{ keV}$.

Далее было измерено время жизни метастабильного состояния Y^{88*} энергией возбуждения 400 keV , полученного в результате реакции $Y^{89}(\gamma n)Y^{88*}$. Период полураспада оказался равным $280 \pm 15 \text{ мксек}$ (рис. 7). Для периода полураспада Y^{88*} , полученного в результате K -захвата Zr^{88} ($T = 85$ дней), в работе [4] приводится значение $T = 370 \pm 30 \text{ мксек}$. Полученное нами значение периода полураспада Y^{88*} согласуется с данными работы [5].

На основании наших результатов и данных по конверсии [3, 4] следует считать, что переходы с метастабильного состояния Y^{88*} ($E_\gamma = 400 \text{ keV}$) Pb^{206*} ($E_\gamma = 500 \text{ keV}$) являются электрическими октупольными. Отношение времени жизни, полученного экспериментально с учетом коэффициентов внутренней конверсии к времени жизни, вычисленному по формулам [6], составляет: для $_{39}Y^{88*}_{49} — 0,2$ и для $_{82}Pb^{206*}_{124} — 3,2$.

Относительно небольшое отличие этих значений от единицы, по-видимому, обусловлено тем, что эти ядра имеют числа нуклонов, близкие к критическим.

Для оценки интегрального сечения образования метастабильного состояния Y^{88*} было измерено отношение выходов реакций $Y^{89}(\gamma n)Y^{88*}$ и $Cu^{63}(\gamma n)Cu^{62}$ ($T_{1/2} = 10 \text{ мин}$) по площадям фотопиков (400 keV для Y^{88*} и 500 keV для Cu^{62}) (рис. 6) с учетом комптоновской части спектра. Измерения для обоих элементов проводились в одинаковой геометрии. Как показал расчет, более 90% позитронов распада Cu^{62} поглощаются в ми-

пении толщиной $2,7 \text{ г см}^{-2}$. Это позволило использовать аннигиляционное γ -излучение для определения выхода реакции $\text{Cu}^{63}(\gamma n)\text{Cu}^{62}$. Отношение выходов N указанных реакций с учетом незначительного влияния позитронов Cu^{64} получилось равным

$$\frac{N_Y}{N_{\text{Cu}}} = 0,8 \pm 0,1.$$

Для вычисления из полученного отношения интегрального сечения образования Y^{88*} необходимо знать ход зависимости

$$\sigma_Y = \sigma_Y(E),$$

где E — энергия γ -квантов тормозного излучения. Для оценки сечения можно принять, что функция $\sigma_Y = \sigma_Y(E)$ не отличается существенно от таковой для медной фольги. Это подтверждается небольшим разбросом значений порогов реакций и энергий, соответствующих максимальным сечениям фотоядерных реакций в средней части периодической системы элементов [7].

При этих предположениях оценка интегрального сечения образования метастабильного состояния иттрия по реакции $\text{Y}^{89}(\gamma n)\text{Y}^{88*}$ дает значение

$$\int \sigma_Y(E) dE = 0,5 \text{ MeV барн.}$$

Величина интегрального сечения образования Cu^{62} ($0,66 \text{ MeV барн}$) взята из работы [7].

Кроме того, проводились опыты по возбуждению метастабильных состояний в результате фотоядерных реакций со следующими элементами: S, Ge, Ag, Sn. В пределах ошибок измерений наведенных активностей в указанном интервале времени жизни обнаружить не удалось.

Авторы приносят благодарность А. П. Комару за обеспечение проведения исследований на синхротроне и Н. Н. Чернову с группой сотрудников за подготовку и настройку синхротрона для выполненных исследований.

Ленинградский физико-технический
институт Академии наук СССР

Цитированная литература

1. Мазец Е., Русинов Л., ДАН СССР, **101**, 253 (1955).
2. Bohr A., Mottelson B., Dan. Mat. Fys. Medd., **27**, 16, 3 (1953).
3. Alburger D., Pryce M., Phys. Rev., **95**, 1482 (1954).
4. Hyde, Florence, Larsh, Phys. Rev., **97**, 1255 (1955).
5. Vegors S., Axel P., Phys. Rev., **101**, 1067 (1956).
6. Moszkowsky S., Phys. Rev., **89**, 474 (1953).
7. Montalbetti R., Katz L., Goldemberg J., Phys. Rev., **91**, 659 (1953).

***Материалы VIII Всесоюзной конференции
по полупроводникам***

(Ленинград, 15—21 ноября 1955 г.)

В Ленинграде с 14 по 20 ноября 1955 г. происходила VIII Всесоюзная конференция по полупроводникам, созванная по решению Комиссии по полупроводникам при Президиуме АН СССР.

В работе Конференции приняли участие специалисты из различных научно-исследовательских и учебных заведений Советского Союза, а также ряд ученых из стран народной демократии. Всего на Конференции было доложено 142 доклада, подавляющее большинство которых заслушивалось на секционных заседаниях.

Некоторая часть материалов Конференции уже опубликована в виде отдельных статей в «Журнале технической физики» и в «Докладах Академии наук СССР».

Основные доклады секции «Электрические и тепловые свойства полупроводников» помещены в настоящем номере «Известий АН СССР, Серия физическая». В первом и втором номерах этого журнала за 1957 г. будут опубликованы материалы секций: «Теория полупроводников», «Химия и металлургия полупроводников» и «Полупроводниковый катализ и поверхностные явления в полупроводниках». Наиболее важные материалы секций «Полупроводниковые электронные приборы», «Фотоэлектрические явления в полупроводниках» и «Магнитные свойства полупроводников» публикуются в восьмом и последующих номерах журнала «Радиотехника и электроника» за 1956 и 1957 гг.

*Комиссия по полупроводникам
при Президиуме АН СССР*

ЭЛЕКТРИЧЕСКИЕ И ТЕПЛОВЫЕ СВОЙСТВА ПОЛУПРОВОДНИКОВ

В. Е. ЛАШКАРЕВ

ТЕРМИЧЕСКОЕ РАВНОВЕСИЕ ЭЛЕКТРОНОВ НА ПОВЕРХНОСТНЫХ И ОБЪЕМНЫХ УРОВНЯХ В ПОЛУПРОВОДНИКЕ

Введение

За последние годы опубликован ряд работ с описанием явлений, доказывающих наличие у полупроводников поверхностных электронных состояний; эти доказательства были получены при исследовании таких явлений, как изменение проводимости полупроводников при адсорбции [1—3] под действием внешнего (поперечного) электрического поля [2—6], изменение работы выхода при адсорбции [1—3], влияние адсорбции на фотопроводимость [7—10], влияние степени дисперсности полупроводника на знаки концентрации темновых носителей тока [11, 12], влияние внешнего поля на фото-э. д. с. [13—15].

Однако при значительном прогрессе в этой области остается слабо разработанным вопрос об энергетической топографии поверхностных уровней, а также о влиянии на нее адсорбции.

Такое положение создавалось, как нам кажется, в первую очередь, в связи с тем, что вопросы равновесия электронов на поверхностных и объемных уровнях не были обсуждены с необходимой полнотой. Опубликованная на эту тему работа Пикуса [16] касается частного случая одной поверхностной зоны.

В настоящей работе мы попытаемся в некоторой степени восполнить этот пробел, рассмотрев более общую схему поверхностных состояний, как зонных, так и локальных, ограниченную, однако, ради простоты предположением о том, что как поверхностные, так и объемные уровни настолько слабо ионизированы, что степень их ионизации может быть найдена из распределения Больцмана.

Мы остановились на схеме поверхностных уровней, изображенной на рис. 1: полупроводник предполагается дырочным; N_a — концентрация акцепторных поверхностных уровней, N_d и N'_d — концентрации донорных уровней. Концентрации электронов на поверхностных акцепторных уровнях обозначены через N_- , вакансий — на донорных — соответственно N_+ и N'_+ . Энергетические высоты уровней отсчитываются от верха объемно-дырочной зоны и выражены в единицах kT . Рис. 1 соответствует положению в объеме антизапорного слоя. Область объемного заряда заштрихована. В глубине полупроводника объемный заряд равен нулю; W — потенциал (в единицах kT), μ — расстояние от уровня Ферми до верха запрещенной зоны в глубине полупроводника.

Расчеты концентраций N_{\pm} , которые мы проведем в дальнейшем, справедливы также для случая поверхностных зон. При наличии двух поверх-

ностных зон U_a следует трактовать как высоту низа свободной зоны U_d — как высоту верха заполненной зоны, при этом следует N_a заменить на B_- , а N_d — на B_+ , где

$$B_{\pm} = T_{\pm} \frac{2\pi m_{\text{эф}}^{\pm} kT}{h^2}.$$

Здесь T_{\pm} — весовой множитель ($T \gg 2$), $m_{\text{эф}}^{\pm}$ — эффективные массы свободных электронов и дырок в поверхностных зонах, при этом N_+ и N_- окажутся

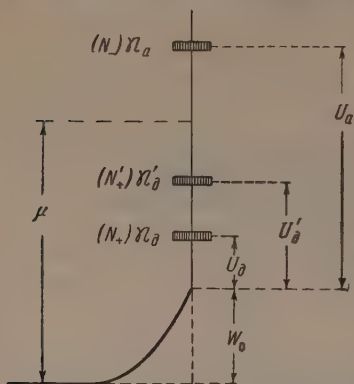


Рис. 1

ся концентрациями свободных дырок электронов на поверхности. Локальные уровни N'_d будут уровнями прилипания для поверхностных дырок. Можно, конечно, рассматривать и одну поверхностную зону как частный случай.

При такой постановке задачи поверхностная проводимость металлического типа оказывается автоматически исключенной.

Что касается объемной энергетической схемы полупроводника, то основные расчеты будут проведены для случая сбой ионизации дырочной зоны и локальных уровней. Полученные результаты легко обобщаются и на случай полностью ионизированных акцепторных уровней в объеме полупроводника.

В дальнейшем будем предполагать полупроводник «толстым», удовлетворяющим известному критерию:

$$\kappa x \gg 1,$$

где κ — длина экранирования, определяемая из равенства

$$\frac{1}{\kappa} = \left(\frac{\epsilon kT}{8\pi e^2 p n^0} \right)^{1/2},$$

n^0 — концентрация дырок в глубине образца, p — фактор прилипания дырок:

$$p = 1 + \frac{N_{\text{пр}}}{Q} e^{U_{\text{пр}}}.$$

Здесь

$$Q = T \left(\frac{2\pi m_{\text{эф}} kT}{h^2} \right)^{3/2},$$

$m_{\text{эф}}$ — эффективная масса дырок в объеме, $N_{\text{пр}}$ — концентрация объемных уровней прилипания, $U_{\text{пр}}$ — их энергетическая высота.

Очевидно, у толстых образцов процессы на обеих поверхностях полупроводника можно рассматривать независимо один от другого.

1. Вычисление концентраций

Кроме поверхностных концентраций N , потребуются вычислить объемные концентрации, проинтегрированные по толщине образца. Назовем их удельными концентрациями и будем обозначать индексом e внизу.

Удельная концентрация дырок складывается:

а) из удельной концентрации $n_e^0 = n^0 d$, соответствующей отсутствию объемного заряда,

б) из добавочной удельной концентрации, связанной с наличием объемного заряда (искривление зоны):

$$n_e = n^0 \int_0^{\infty} (e^W - 1) dx = \frac{2n^0}{\kappa} (e^{\frac{W_0}{2}} - 1) = \beta (e^{\frac{W_0}{2}} - 1), \quad (4)$$

где $\beta = \frac{2n^0}{\kappa}$.

Удельная концентрация объемного заряда v_e равна

$$v_e = n^0 p \int_0^{\infty} (e^W - e^{-W}) dx = p\beta (e^{\frac{W_0}{2}} - e^{-\frac{W_0}{2}}). \quad (5)$$

Из (4) следует вспомогательная формула

$$e^{\frac{W_0}{2}} = \frac{1}{\beta} (n_e + \beta). \quad (6)$$

Соотношение Больцмана позволяет немедленно выписать выражение

$$N_+ = \alpha_+ e^{W_0}, \quad (7a)$$

$$N'_+ = \alpha'_+ e^{W_0} \quad (7б)$$

$$N_- = \alpha_- e^{-W_0}, \quad (7в)$$

$$\alpha_+ = \mathfrak{N}_d e^{U_d - \mu}; \quad \alpha'_+ = \mathfrak{N}'_d e^{U'_d - \mu}; \quad \alpha_- = \mathfrak{N}_a e^{\mu - U_a}.$$

Что касается μ , то оно может быть найдено из соотношения

$$e^{\mu} = \frac{Q}{n^0}. \quad (8)$$

Для определения e^{W_0} следует использовать соотношение нейтральности.

Положим в общем случае, что пластинка полупроводника является одной из обкладок конденсатора; положим далее, что вторая металлическая обкладка заряжена отрицательно с поверхностной плотностью заряда N_m . Тогда условие нейтральности конденсатора в целом примет вид:

$$N_+ + N'_+ - N_- + v_e = N_m. \quad (9)$$

Подставляя в (9) значения концентраций из (5) и (7), имеем

$$(\alpha_+ + \alpha'_+) e^{W_0} - \alpha_- e^{-W_0} + p\beta (e^{\frac{W_0}{2}} - e^{-\frac{W_0}{2}}) = N_m. \quad (9a)$$

Для определения e^{W_0} мы получили алгебраическое уравнение четвертой степени, которое полезно исследовать в некоторых частных случаях. Предположим, что конденсатор не заряжен ($N_m = 0$):

- а) поверхностных уровней нет (все $\alpha = 0$), искривления зон нет;
- б) на поверхности существуют только акцепторные уровни, создающие «плотный» антизапорный слой ($W_0 \gg 1$), тогда из равенства $N_- = v_e$ следует:

$$\alpha_- e^{-W_0} = p\beta e^{\frac{W_0}{2}} \text{ и } e^{W_0} = \left(\frac{\alpha_-}{p\beta} \right)^{2/3},$$

тогда имеем

$$N_- = \mathfrak{N}_a^{1/3} \left(\frac{\varepsilon k T}{4\pi e^2} \right)^{2/3} Q^{1/3} p^{1/3} e^{-1/3 U_a}, \quad (10)$$

$$n_e = N_- p^{-1}; \quad (1)$$

если $p = 1$, то температурный ход n_e будет определяться только расположением поверхностных уровней;

в) поверхностных уровней так много и они так расположены, что

$$N_+ + N'_+ \gg n_e \text{ и } N_- \gg n_e.$$

В этом случае нейтральность обеспечивается главным образом распределением электронов на поверхности. Положим ради простоты, что $N_+ \gg N'_+$. Тогда условие нейтральности сведется к равенству $N_+ = N_-$ отсюда

$$e^{W_0} = \left(\frac{\alpha_-}{\alpha_+} \right)^{1/2}. \quad (2)$$

Если $\alpha_- > \alpha_+$, мы получим антизапорный слой на границе полупроводника; если $\alpha_- < \alpha_+$ — запорный. Имеем далее

$$N_+ = N_- = (\mathfrak{N}_a \mathfrak{N}_d)^{1/2} e^{-1/2 (U_a - U_d)}. \quad (3)$$

Из (12) и (76) следует:

$$N'_+ = \mathfrak{N}'_a \left(\frac{\mathfrak{N}_a}{\mathfrak{N}_d} \right)^{1/2} e^{-1/2 (U_a + U_d - 2U'_d)}. \quad (4)$$

Подставляя (12) в (4), найдем и n_e . Выпишем окончательную формулу лишь для случая сильно выраженного антизапорного слоя ($n_e \gg 3$):

$$n_e = \left(\frac{\epsilon k T}{8 \pi e^2} \right)^{1/2} Q^{1/2} \left(\frac{\mathfrak{N}_a}{\mathfrak{N}_d} \right)^{1/4} e^{-1/4 (U_a + U_d)}. \quad (5)$$

Для сравнения напомним известное выражение для n^0 при $p = 1$.

$$n^0 = Q^{1/2} \mathfrak{N}_0^{1/2} e^{-1/2 U_0}. \quad (6)$$

Здесь \mathfrak{N}_0 — концентрация акцепторных уровней в объеме, U_0 — энергетическая высота.

Если в результате наличия положительного поверхностного заряда на границе создается сильный запорный слой ($\frac{|W_0|}{2} \gg 1$), то, как следует из (4),

$$n_e = - \frac{2n^0}{\kappa},$$

т. е. n_e перестает зависеть от дальнейшего искривления зоны. Этот случай мало актуален и не будет нами рассмотрен.

2. «Продольная» и «поперечная» проводимости полупроводника

Возьмем полупроводник в форме тонкой пластинки, как показано на рис. 2. Положим, что $l_1 b \gg d$. Наносим электроды на поверхности bd , можно измерить продольную проводимость образца. Наоборот, наносим электроды с охранными кольцами на поверхности bl , можно измерить поперечную проводимость образца. В обоих случаях можно измерить средние удельные проводимости: продольную $|\sigma_2|$ и поперечную $|\sigma_1|$.

Исследуя образцы записи меди, автор и В. И. Ляшенко [17] показали, что σ_2 может во сто и более раз превышать σ_1 . Кроме того, энергия ак-

рации σ_1 оказалась значительно (иногда в два раза) меньше энергии активации σ_2 . Причина таких различий станет понятной из дальнейшего.

При измерении продольной проводимости образца k_2 последняя распадается на объемную проводимость k^o , соответствующую однородному полупроводнику с концентрацией дырок n^o , «приповерхностную» или «квазиповерхностную» k^{op} , связанную с наличием объемного заряда, и, наконец, поверхностную зонную проводимость $k^п$ (если, конечно, последняя существует). Заметим, что $k^{op} > 0$, если слой антизапорный, и $k^{op} < 0$, если слой запорный; k^{op} локализована на эффективной длине экранирования (см. [18]) $1/\kappa^*$, где

$$\kappa^* = \kappa \operatorname{ch} \left(\frac{W_0}{2} \right). \quad (17)$$

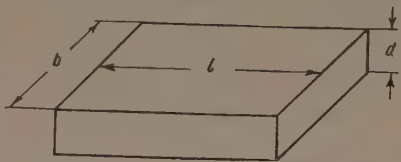


Рис. 2

Между прочим, используя (6), мы для хорошо выраженного антизапорного слоя ($\frac{W_0}{2} \gg 1$) имеем:

$$\kappa^* = \frac{2\pi e^2 p}{\epsilon k T} n_e, \quad (17a)$$

где n_e определяется из явления Холла [1]. Итак,

$$k_2 = k^п + k^{op} + k^o. \quad (18)$$

Если концентрации свободных электронов и дырок на поверхности равны соответственно N_- и N_+ , а их подвижности $U_-^п$ и $U_+^п$, то

$$k^п = \frac{b}{e} e (U_-^п N_- + U_+^п N_+). \quad (19)$$

Для k^o и k^{op} имеем:

$$k^o = \frac{b}{e} e U_+ n_e^o \quad (20)$$

$$k^{op} = \frac{b}{e} e U_+' n_e. \quad (21)$$

Вообще говоря, U_+' может и не совпадать с U_+ благодаря тому, что приповерхностный слой содержит иную концентрацию рассеивающих ионизированных центров. Кроме того, если $1/\kappa^*$ очень мало, порядка длины свободного пробега, может иметь место дополнительное рассеивание на эффектах кристалла вблизи поверхности, связанных с обработкой последней, а также и на самой поверхности. Последний эффект рассматривался в [19].

Очевидно, измерение продольной проводимости особо пригодно для исследования антизапорных слоев у поверхности полупроводника. При наличии антизапорного слоя поперечная проводимость дает нам сведения об объемных свойствах полупроводника. Она равна

$$k_1 = \frac{hl}{\kappa'} en n^o,$$

где α' — толщина образца, уменьшенная на сумму толщин антизапорных слоев на его поверхностях.

Как сами величины σ_2 и σ_1 , так и их зависимости от температуры могут существенно отличаться друг от друга. Это обстоятельство может быть использовано для исследования поверхностных электронных состояний, что выяснится ниже.

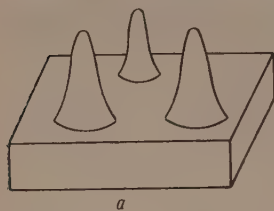
3. Модуляция электропроводности внешним (поперечным) электрическим полем

Опубликованные по этому вопросу работы позволяют установить следующие факты.

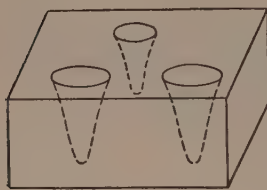
1. Отрицательный заряд на металлической обкладке конденсатора увеличивает проводимость полупроводниковой обкладки, если она изготовлена из дырочного полупроводника, и уменьшает, если из электронного. Положительный заряд оказывает противоположное действие.

2. Эффект изменения проводимости $\gamma = \frac{\Delta k}{\alpha}$ всегда меньше того, который можно было бы предвычислить, полагая, что весь заряд полупроводника обусловлен только изменением количества присутствующих в нем носителей тока.

Последний факт обычно объясняется наличием поверхностных электронных состояний, заряд которых изменяется под действием внешнего поля, но, будучи связанным, не изменяет проводимости образца (экранировка поля поверхностными уровнями).



a



б

Рис. 3

Другое объяснение, обсужденное нами [1], сводится к допущению существования рельефа поверхности. Однако в [17] молчаливо предполагалось, что рельеф всегда является выпуклым, т. е. состоит из ряда выступов, вроде изображенных на рис. 3, а. В этом случае действительно электрическое поле концентрируется на выступах, и изменение проводимости может вообще не проникнуть в ту область полупроводника, течет ток, измеряющий проводимость. В [17] указаны условия, когда действие выпуклого рельефа невелико.

Однако рельеф может быть вогнутым, как изображено на рис. 3, б. Рельеф вогнутого типа (микропоры) существенно не изменит концентрации

добавочных носителей тока, появившихся в результате действия поперечного поля. Однако, если микропор достаточно много, они могут существенно уменьшить их подвижность в том случае, конечно, если на границе микропор локализована значительная часть проводимости образца.

Вообще говоря, вогнутый рельеф не внесет в исследования модуляции проводимости поперечным полем тех серьезных осложнений, которые вызываются выпуклым рельефом. Какой из типов рельефа имеет место в каждом данном случае, должно зависеть от способа обработки поверхности образца. Вряд ли можно избавиться от выпуклого рельефа на мелкодисперсных поликристаллических образцах. Он может быть сведен к минимуму при использовании образцов в форме монокристаллов, ограниченных определенными кристаллографическими плоскостями.

В дальнейшем мы будем пренебрегать наличием рельефа и полагать, кроме того, что $p = 1$. Рассмотрим частные случаи.

А. Отсутствие поверхностной зонной проводимости

Уровни $\mathcal{N}_a, \mathcal{N}_d$ — локальные.

Из (20) и (21) следует:

$$\gamma = \frac{\Delta k}{k} = \frac{\Delta n_e}{n_e^0 + n_e},$$

где Δn_e — приращение под действием внешнего поля.

Максимально мыслимое значение глубины модуляции проводимости получится при выполнении равенства $\Delta n_e = N_m$. Тогда

$$\gamma = \frac{N_m}{n_e^0 + n_e}. \quad (23)$$

Равенство $\Delta n_e = N_m$ может осуществляться у дырочного полупроводника только при ионизации объемных акцепторных уровней и отсутствии поверхностных уровней.

Отношение $\eta = \frac{\gamma_m}{\gamma}$ назовем фактором ослабления модуляции. Исследуем η в различных случаях.

Положим, что глубина модуляции мала, т. е. $\Delta n_e \ll n_e^0 + n_e$ и $\Delta W_0 \ll 1$. Перейдем к уравнению (9а). Если в дальнейшем под W_0 понимать градиентное значение W без поля (т. е. когда $N_m = 0$), то приращение левой части уравнения (9а) будет равно N_m . Имеем

$$\left[(\alpha_+ + \alpha'_+) e^{W_0} + \alpha_- e^{-W_0} + \frac{1}{2} p \beta (e^{\frac{W_0}{2}} + e^{-\frac{W_0}{2}}) \right] \Delta W_0 = N_m. \quad (24)$$

Из (4) следует:

$$\Delta n_e = \frac{1}{2} \beta e^{\frac{W_0}{2}} \Delta W_0. \quad (25)$$

Выражая в третьем члене (24) и в (25) $e^{\pm \frac{W_0}{2}}$ через n_e по (6) и учитывая (7), получим окончательно

$$\eta = 2 \frac{N_+ + N'_+ + N'_-}{n_e + \beta} + p \frac{(n_e + \beta)^2 + \beta^2}{(n_e + \beta)^2}. \quad (26)$$

Теперь рассмотрим частные случаи, те же, что и в разделе 2.

а) Поверхностных уровней нет: $N_{\pm} = 0$, $n_e = 0$.

$$\eta = 2p. \quad (27)$$

Оказывается, что $\eta = 2$ даже в том случае, когда специальных уровней прилипания для дырок нет. Это связано с тем, что, как много ранее было замечено автором, сами акцепторные уровни являются также и уровнями прилипания для дырок, способными при слабом заполнении локализовать дополнительные дырки в количестве 50%.

Перейдем к рассмотрению резко выраженного антизапорного слоя $\gg \beta$, для которого

$$\eta = p + 2 \frac{N_+ + N'_+ + N_-}{n_e}. \quad (28)$$

б) На поверхности существуют только акцепторные уровни, т. е. $N'_- = N'_+ = 0$.

Из условия нейтральности следует: $N_- = n_e \approx p n_2$. Тогда из (28) имеем

$$\eta = 3p. \quad (29)$$

Если $p = 1$, то и в этом случае фактор ослабления мал.

в) Присутствуют уровни обоих типов в настолько большой концентрации, что

$$N_+ + N'_+, \quad N_- \gg n,$$

откуда

$$N_+ + N'_+ \approx N_- = N.$$

Имеем

$$\eta = p + 4 \frac{N}{n_e},$$

т. е. η , даже при $p = 1$, может быть весьма большим. Если $\frac{4N}{n_e} \gg p$,

$$\eta = 4 \frac{N}{n_e}.$$

Что касается температурной зависимости фактора ослабления, то при $p = 1$ в случаях «а» и «б» она отсутствует. Наоборот, в случае «в» она всегда имеет место. В дальнейшем будем полагать $p = 1$.

Используя случай «в» формулы (13) и (15), получим:

$$\eta \approx e^{-1/4 (U_a - 3U_d)}$$

Особенностью последнего выражения является то, что не только величина, но и знак изменения η с температурой зависит от энергетической топографии только поверхностных уровней. Зависимость от температуры легко найти, если $n_e \gg n_e^0$. Тогда

$$\gamma = \frac{1}{4} \cdot \frac{N_m}{N}.$$

Отсюда, используя (13), имеем:

$$\gamma = \frac{1}{4} \cdot \frac{N_m}{(N_a N_d)^{1/2}} e^{1/2 (U_a - U_d)}.$$

Так как всегда $U_a > U_d$, то γ уменьшается с ростом температуры. Опыт В. И. Ляшенко показали, что это всегда имеет место. Из (33) и (34) следует возможность раздельного определения U_a и U_d . Температурная зависимость σ_2 в том случае, если доминирует поверхностная проводимость, также может быть использована для определения U_a и U_d . Из (15) и (16) следует:

$$\sigma \approx n_e \approx e^{-1/4 (U_a + U_d)}.$$

Б. Наличие доминирующей поверхностной зонной проводимости

Знак изменения поверхностной проводимости под действием внешнего поля будет, очевидно, такой же как и у объемной, поэтому характер изменения поверхностной проводимости, как и объемной, может быть определен знаком ее модуляции электрическим полем. Ограничимся рассмотрением чисто дырочной проводимости, полагая уровни N_d зонными, а N'_d и N_a калльными.

В нашем случае «поверхностные» γ и η запишутся так:

$$\gamma_{\Pi} = \frac{\Delta N_+}{N_+} \quad \text{и} \quad \eta_{\Pi} = \frac{N_m}{\Delta N_+}.$$

Используя (7), (9) и (24), в которых полагаем $\gamma_e = 0$, получим:

$$N_m = (N_+ + N'_+ + N_-) \Delta W; \quad \Delta N_+ = N_+ \Delta W, \quad N_+ + N'_+ = N_-$$

Отсюда следует:

$$\gamma_{\Pi} = \frac{N_m}{2(N_+ + N'_+)}; \quad \eta_{\Pi} = 2 \frac{N_+ + N'_+}{N_+}.$$

Итак, большое ослабление модуляции проводимости (γ_{Π} велико) может быть получено только в том случае, если $N'_+ \gg N_+$, т. е. за счет поверхностных уровней прилипания. При этом $\gamma_{\Pi} = \frac{N_M}{2N_+}$. Этот случай рассмотрим подробнее. Окончательные формулы для γ_{Π} ($N_+ \sim k^n$) имеют вид

$$\gamma_{\Pi} = \frac{N_M}{2(N_A N'_D)^{1/2}} e^{(U_A - U'_D)}, \quad (38a)$$

$$N_+ = B_+ \left(\frac{N_A}{N'_D} \right)^{1/2} e^{-1/2(U_A + U'_D - 2U_D)}. \quad (38b)$$

Легко видеть, что знак изменения γ_{Π} и k^n при изменении температуры тот же, что и в случае квазиповерхностной проводимости.

4. Влияние адсорбции

При адсорбции полярных молекул на дырочных полупроводниках возникают два явления:

- а) уменьшение поверхностной проводимости и
- б) уменьшение работы выхода ($\Delta\phi$), указывающее на то, что поверхность становится при адсорбции более электроположительной.

Предположение квазиповерхностной проводимости позволяет получить только правильный знак $\Delta\phi$, но и правильную ее величину. В Cu_2O , где доминирует поверхностная проводимость как в вакууме, так и при адсорбции, существует сильное антизапорное искривление зон, причина которого может быть определена из равенства

$$n_e = \frac{2n_0}{\chi} e^{\frac{W}{2}}. \quad (39)$$

Тогда для изменения работы выхода при адсорбции имеем:

$$\Delta\phi = 2 \frac{kT}{e} \ln \frac{n'_e}{n_e}; \quad (40)$$

и n'_e — значения n_e в вакууме и после адсорбции соответственно.

По опытам Ляшенко [17] $\frac{n'_e}{n_e}$ достигает 10, что дает $\Delta\phi = 120 \text{ mV}$,

т. е. величину, совпадающую с измеренной Ляшенко.

Предположение о зонной поверхностной проводимости не дает такой четкой связи. Можно показать, что изменение энергетической топографии поверхностных уровней, приводящее к уменьшению концентрации поверхностных дырок в определенное число раз, может в этом случае сопровождаться различным изменением поверхностного заряда, т. е. различием изменением работы выхода. Однако, если предположить, что при адсорбции не происходит изменения положения и концентрации уровней в поверхностной зоне, тогда $\Delta\phi$ окажется в два раза меньше, чем в случае квазиповерхностной проводимости. Это следует из (38) и (39).

Уменьшение поверхностной проводимости при адсорбции может иметь две причины: а) уменьшение концентрации акцепторных поверхностных уровней или увеличение их энергетической высоты (деактивирование акцепторных уровней) и б) увеличение концентрации донорных уровней и опять-таки увеличение энергетической высоты (активирование донорных уровней).

Обе причины, кроме уменьшения проводимости, приведут также и к уменьшению работы выхода и потому окажутся неразличимыми.

Однако влияние адсорбции на модуляцию проводимости электрическим полем может позволить осуществить выбор между двумя вышеупомянутыми причинами.

Ранее было показано, что при наличии сильного экранирования поверхности присутствуют как акцепторные, так и донорные уровни. Рассмотрим этот случай. Перепишем (15) и (34) в следующей форме:

$$n_e \approx e^{-1/2[U_a - \ln N_A]} e^{-1/2[U_d + \ln N_D]}, \quad \gamma \approx e^{+1/2[U_a - \ln N_A]} e^{-1/2[U_d + \ln N_D]}.$$

Выражения в квадратных скобках отдельно содержат влияния проводимости (n_e) и γ топографии акцепторных и донорных уровней. Легко видеть, что изменение топографии донорных уровней дает изменение n_e и γ одного знака. Наоборот, изменение топографии акцепторных уровней дает изменение n_e и γ противоположных знаков.

Как нам сообщил В. И. Ляшенко, адсорбция на закиси меди при малых упругостях пара адсорбированного вещества всегда приводит к возрастанию γ при одновременном уменьшении n_e . Это говорит о том, что в данном случае адсорбция действует на акцепторные уровни, а не на донорные, именно в сторону дезактивации первых.

Аналогичное положение имело бы место и при поверхностной зонной проводимости.

Закключение

Для исследования топографии поверхностных уровней и ее изменения под действием адсорбции необходимо комплексное изучение температурной зависимости поверхностной проводимости, а также изменения последней под действием внешнего поля.

Если ослабление модуляции проводимости электрическим полем не так велико, то это значит, что на поверхности присутствуют как акцепторные, так и донорные локальные уровни в больших концентрациях.

Сопоставление энергии активации поверхностной проводимости с эффектом ее изменения под действием внешнего поля дает возможность разделить энергетические высоты тех и других уровней.

Сопоставление знака изменения поверхностной проводимости и ее модуляции электрическим полем при адсорбции позволяет заключить на какие уровни (донорные или акцепторные) действует адсорбция.

Институт физики
Академии наук УССР

Цитированная литература

1. Лашкарев В. Е., Ляшенко В. И., Сборник, посвященный 70-летию акад. А. Ф. Иоффе.— Изд. АН СССР, 1950.
2. Ляшенко В. И., Степко Н. И. Изв. АН СССР, Серия физич., 16 (1952).
3. Ляшенко В. И., Труды Института физики АН УССР, вып. 4, 33 (1954).
4. Shockley W., Pearson Ch., Phys. Rev., 74, 232 (1948).
5. Zuckler K., Z. S. f. Phys., 136, 40 (1953).
6. Калашников С. Г., Юнович А. Э., ЖТФ, 25, 952 (1955).
7. Ляшенко В. И., ДАН СССР, 87, 33 (1952).
8. Пудейко Е. К., ДАН СССР, 91, 1071 (1953).
9. Ляшенко В. И., Снитко О. В., Труды Института физики АН УССР, вып. 5, 65 (1953).
10. Ляшенко В. И., Снитко О. В., Семенюченко И. М., Труды Института физики АН УССР, вып. 5, 77 (1954).
11. Калашников С. Г., Покровский Я. Е., ЖТФ, 22, 888 (1952).
12. Покровский Я. Е., ЖТФ, 24, 1229 (1954).
13. Пудейко Е. К. ДАН СССР, 59, 471 (1948); 67, 1004 (1949); Изв. АН СССР, Серия физич., 16, 34 (1952).
14. Лашкарев В. Е., ДАН СССР, 70, 813 (1950).
15. Лашкарев В. Е., Труды Института физики АН УССР, вып. 3, 3 (1952).
16. Пикус Г. Е., ЖЭТФ, 21, 1227 (1951).
17. Лашкарев В. Е., Ляшенко В. И., ДАН СССР, 106, 243 (1956).
18. Лашкарев В. Е., Изв. АН СССР, Серия физич., 16, 203 (1952).
19. Schrieffer J. R., Phys., Rev., 97, 641 (1955).

Я. ТАУЦ

ТЕРМОЭЛЕКТРИЧЕСКИЕ ЯВЛЕНИЯ В ПОЛУПРОВОДНИКАХ И НЕРАВНОВЕСНОЙ КОНЦЕНТРАЦИИ НОСИТЕЛЕЙ ТОКА

1. Зависимость термо-э. д. с. от градиента температуры

Процессы, при которых происходит изменение концентрации носителя тока в полупроводнике, играют основную роль в работе транзисторов и выпрямителей с $p-n$ -переходом. Очевидно, что такие процессы должны проявиться и при термоэлектрических явлениях.

Исследование влияния неравновесных концентраций на термоэлектрические эффекты является, таким образом, естественным расширением теории таких процессов на полупроводники с градиентом температуры. К исследованию этих явлений нас, однако, привели не только теоретические рассуждения, а и необходимость объяснить описанные ниже экспериментальные факты.

Еще в 1952 г. при некоторых работах с германием мы заметили, что порошок разный германий дает всегда положительную термо-э. д. с., независимо от того, был ли до раздробления материал n -типа; аналогичные наблюдения опубликовали Калашников и Покровский.

При объяснении этого явления мы обратили внимание на то, что в порошке отдельные частицы соприкасаются на малых площадях, так что падение температуры сосредоточено у поверхности зерен. Для того чтобы создать подобные условия на поверхности монокристалла германия, мы измеряли термо-э. д. с. следующим образом: холодное вольфрамовое острие соприкасалось с кристаллом германия типа n , который нагревался до температуры T' . В месте прикосновения вольфрамового острия устанавливалась температура T'' , которая для заданных условий охлаждения является определенной функцией температуры T''' . Зависимость T'' от T''' можно

определить экспериментально. Зависимость измеренной термо-э. д. с. U от T''' и T'' представлена кривой a на рис. 1. Ход этой зависимости существенно отличается от хода термо-э. д. с., снятой при помощи плоских электродов при той же разности температур $\Delta T = |T'' - T'|$ (кривая b). Дополнительная термо-э. д. с., показанная на кривой c , обусловлена переносом концентрации дырок из мест с более высокой температурой, следовательно, с большей концентрацией дырок (т. е. из объема

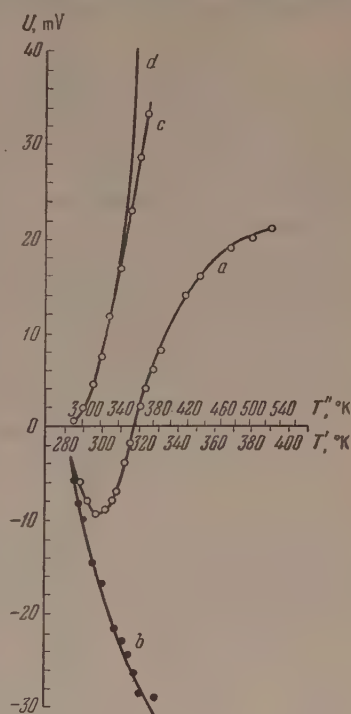


Рис. 1

кристалла) к месту с более низкой температурой и, следовательно, меньшей концентрацией дырок, т. е. к месту соприкосновения р-и-и. На поверхности германия под зондом образуется $p-n$ -переход, который задерживает электроны, но пропускает дырки. Эти дырки заряжают острое положительно и меняют, таким образом, знак изм. термо-э. д. с. Расчет, проведенный в работе [2], приводит к следующему выражению для этой дополнительной термо-э. д. с.:

$$\Delta U = 2\pi r_0 k T' \mu_p R \left[p_r(T'') - p_r(T') - \Delta T \left(\frac{\partial p_r}{\partial T} \right)_{T'} \right].$$

Здесь r_0 — радиус контакта, который предполагается сферическим; подвижность дырок; p_r — равновесная концентрация дырок; $\Delta T = T'' - T'$ — разность температур; R — сопротивление контакта. Эта формула справедлива при $\Delta T \ll T'$ и $p_r \ll n_0$, где n_0 — равновесная концентрация электронов.

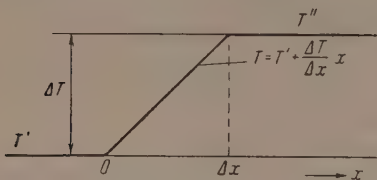


Рис. 2

Как видно из рис. 1, теоретическая кривая d при не очень высоких температурах хорошо совпадает с экспериментальной кривой c .

Этот эксперимент ясно показывает, что термо-э. д. с. в полупроводнике может зависеть от градиента температуры. В рассматриваемом устройстве существенную роль играет потенциальный барьер у

контакта. Позднее мы обратили внимание на более простые случаи, при которых потенциальные барьеры роли не играют. Оказывается, что и в случаях термо-э. д. с. может зависеть от градиента температуры. Для того надо создать такие условия, чтобы падение температуры происходило на расстоянии, сравнимом или меньшем диффузионной длины неосновных носителей тока L_p .

Подобные условия создаются в случае, когда температура в полупроводнике распределена так, как показано на рис. 2. Расчет, подобный приведенному автором в работе [3], показывает, что при $\Delta x \ll L_p$, $p_r \ll n_0$, $\Delta T \ll T$ концентрация неосновных носителей вблизи области, где происходит падение температуры, существенно отличается от равновесной. В области $0 < x < \Delta x$ она постоянна и равна

$$p = \frac{p_r(T') + p_r(T'')}{2};$$

поэтому в точке $x = \Delta x$ концентрация дырок меньше равновесной, в точке $x = 0$ — больше. По мере отступления от этой области концентрация носителей приближается к равновесной:

$$\text{при } x < 0 \quad \Delta p = p - p_r = \frac{p_r(T'') - p_r(T')}{2} e^{\frac{x}{L_p}},$$

$$\text{при } x > \Delta x \quad \Delta p = p - p_r = -\frac{p_r(T'') - p_r(T')}{2} e^{-\frac{x - \Delta x}{L_p}}.$$

Это отступление от равновесной концентрации приводит к появлению дополнительной э. д. с., выражаемой формулой

$$\Delta U = \frac{k \Delta T}{2e} \left[\frac{Q_n^x + Q_p^x}{kT} + (b - 1) \right] \frac{p_r(T'') - p_r(T')}{b n_0},$$

где $b = \frac{\mu_n}{\mu_p}$, Q_n^x и Q_p^x — средняя кинетическая энергия, приносимая носителями.

Для невырожденного полупроводника:

$$Q^x = \frac{\int_0^{\infty} l(E) E^2 e^{-E/kT} dE}{\int_0^{\infty} l(E) E e^{-E/kT} dE}, \quad (4)$$

$l(E)$ — длина свободного пробега носителей с данной энергией E . Это добавочное напряжение ΔU обычно мало в сравнении с нормальной термо-э. д. с. Оно отличается от нее тем, что возрастает гораздо быстрее с температурой (при очень малых ΔT ΔU_0 пропорционально $(\Delta T)^2$). Например, для германия с $n_0 = 10^{14} \text{ см}^{-3}$ при $\Delta T = 30^\circ \text{ К}$ ($T' = 270^\circ \text{ К}$, $T'' = 300^\circ \text{ К}$) $\Delta U = 0,63 \text{ мВ}$, при увеличении ΔT в два раза ($T' = 240^\circ \text{ К}$, $T'' = 330^\circ \text{ К}$) $\Delta U = 5,3 \text{ мВ}$, при увеличении в три раза ($T' = 210^\circ \text{ К}$, $T'' = 360^\circ \text{ К}$) $\Delta U = 21 \text{ мВ}$.

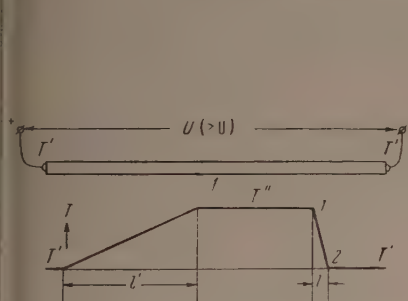


Рис. 3

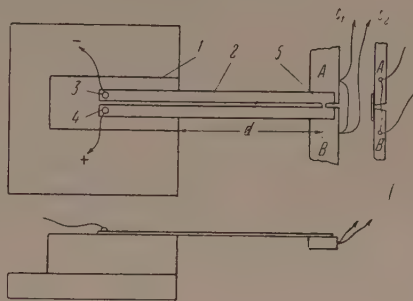


Рис. 4

Для экспериментального доказательства существования этой добавочной термо-э. д. с. ΔU целесообразно выбрать такие условия, в которых нормальная термо-э. д. с. компенсирована. Это может быть произведено, например, если создать распределение температуры, показанное на рис. 3. В полупроводнике имеются две области падения температуры. Одна из них имеет длину l' , значительно большую диффузионной длины дырок, длина второй — меньше диффузионной длины; контакты полупроводника имеют одинаковую температуру. Тогда первый спад не создает дополнительной термо-э. д. с. и проявится только ΔU второго спада температуры, которую можно, таким образом, изменить.

Аналогичную методику использовал Бенедикс в своих опытах по выяснению зависимости термо-э. д. с. от градиента температуры. В отличие от опытов Бенедикса, в нашем случае напряжение значительно больше и легко измеримо.

Существование предсказанного явления доказал недавно Троусил [4]. Из монокристалла германия вырезал тонкую пластинку, разделенную на две части, соединенные тонкой шейкой (рис. 4). Одна часть вблизи шейки соприкасалась с медным блоком А, охлаждаемым льдом, вторая часть нагревалась блоком В до температуры T'' . В шейке образовался спад температуры. На удаленных концах 3, 4 поддерживалась одинаковая температура.

Результат измерений изображен на рис. 5. Симметричная система была выбрана для того, чтобы неоднородность образца приводила при наличии градиента температуры к наименьшему значению нормальной термо-

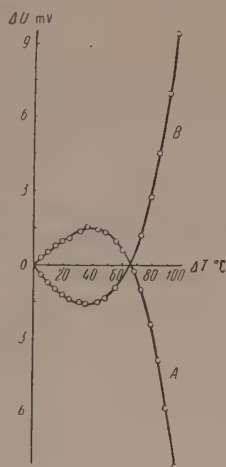


Рис. 5

э. д. с. При малой разности температур ΔT добавочное напряжение ΔU и измеряется только нормальная термо-э. д. с. Однако добавочное напряжение быстрее растет с температурой и скоро начинает преобладать.

Мы думаем, что этими опытами нам удалось показать существование в полупроводниках с двумя знаками носителей зависимости термо-э. д. с. от температурного градиента, т. е. так называемого явления Бенедикта.

2. Термический фотоэффект

Неравновесная концентрация дырок может быть создана и другими способами, например, освещением полупроводника. Если при этом в полупроводнике создать градиент температуры, то возникает новое явление, которое мы назвали термическим фотоэффектом. Суть этого явления заключается в следующем: если полупроводник однороден и поддерживается при постоянной температуре, то никакой фото-э. д. с. при его освещении не возникнет. Если температура по длине полупроводника изменяется, то изменяются и его свойства. При освещении такого полупроводника так же как и при освещении неоднородного полупроводника, возникает фото-э. д. с.

Нами проведен расчет [5] термической фото-э. д. с. при распределении температуры, показанном на рис. 6. Чтобы не учитывать влияния контактов, распределение температуры было выбрано со спадом внутри полупроводника, в освещенной и неосвещенной областях.

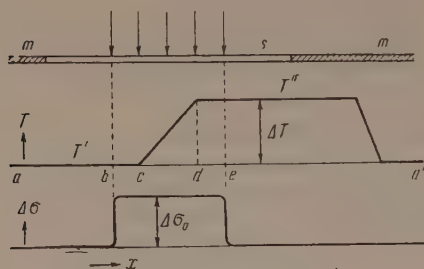


Рис. 6

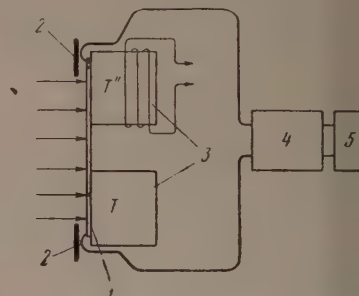


Рис. 7

Согласно расчету, при слабой освещенности в случае примесного полупроводника n -типа эта э. д. с. выражается формулой

$$\Delta U = \frac{k\Delta T}{e} \left[\frac{b-1}{b+1} - \frac{1}{b+1} \left(\frac{Q_n^x + Q_p^x}{kT} - 3 \right) \right] \frac{\Delta\sigma}{\sigma_0},$$

где $\sigma_0 = e\mu n_0$ — темновая проводимость полупроводника, $\Delta\sigma = e(\mu_n + \mu_p)\Delta n$ — изменение удельной проводимости при освещении. Из этого выражения мы можем, измерив ΔU , определить сумму $Q_n^x + Q_p^x$. Важное значение этих величин заключается в том, что в некоторых случаях достаточно знать сумму $Q_n^x + Q_p^x$, чтобы определить рассеяния носителей тока: если, например, $Q_n^x + Q_p^x = 4kT$, то электроны и дырки рассеиваются только на тепловых колебаниях решетки, $Q_n^x + Q_p^x = 8kT$, то имеет место рассеяние только на ионизированных примесях.

Точное экспериментальное определение $Q_n^x + Q_p^x$, однако, очень трудно по нескольким причинам. Самая существенная из них — неоднородность образца, которая приводит к возникновению объемной фото-э. д. с. Мы произвели пока только ориентировочные количественные измерения с помощью устройства, схема которого показана на рис. 7. Образец полупроводника прикреплен к двум металлическим блокам (3) и освещен.

ерывистым светом, проходящим через диафрагму (2); его концы соединены с ламповым вольтметром (4) и усилителем (5). Если полупроводник однородный и температура обоих концов одинаковая, то не возникает никакой фото-э. д. с. Если мы нагреем верхний блок до более высокой температуры, то обнаружим сигнал, который соответствует термической фото-э. д. с. В этом приборе мы измеряли потенциометрическим методом на постоянном токе дополнительную термо-э. д. с., возникающую при освещении образца. Результаты этих измерений приведены на рис. 8. По оси абсцисс отложено относительное изменение проводимости $\Delta\sigma$, по ординат — термическая фото-э. д. с., приведенная к единичной разности температур $\frac{\Delta U}{\Delta T}$. Из этого графика видно, что имеется согласие теории с экспериментальными результатами. Значение $Q_n^x + Q_p^x$ оказалось равным $6,4 \text{ kT}$. Мы думаем, что можно разработать на этой основательный метод для определения суммы $Q_n^x + Q_p^x$.

В заключение отметим, что различные явления, связанные с градиентом температуры у полупроводников со смешанной проводимостью, часто сильно отличаются от явлений, наблюдаемых у полупроводников с одним видом носителей тока. Изучение этих различий содействует более подробному знанию этого, в настоящее время наиболее важного вида полупроводников.

Институт технической физики
Чехословацкой Академии наук

Цитированная литература

- Жалашников С. Г. и Покровский А. Е., ЖТФ, 22, 883 (1952).
Гауц Я., Чехосл. физ. журн., 3, 120 (1953).
Гауц Я., Чехосл. физ. журн., 3, 282 (1953).
Троусил З., Чехосл. физ. журн., 6, 170 (1956).
Гауц Я., Чехосл. физ. журн., 5, 528 (1955).

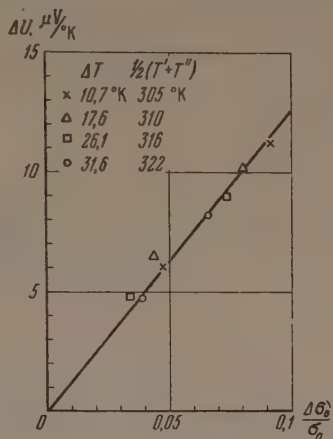


Рис. 8

Я. ТАУЦ

К ВОПРОСУ О ВОЗНИКНОВЕНИИ ФОТОЭЛЕКТРОДВИЖУЩЕЙ СИЛЫ В ОСВЕЩЕННОМ ПОЛУПРОВОДНИКЕ В НЕОДНОРОДНОМ МАГНИТНОМ ПОЛЕ

И. К. Кикоин описал в 1954 г. [1] наблюдаемое им возникновение напряжения при освещении полупроводника, помещенного в неоднородное магнитное поле. Впоследствии [2] было показано, что наблюдаемое явление обусловлено тепловым действием света. Лучи нагревают образец, на который они попадают, и от образца нагревается окружающий газ, частицы которого движутся под влиянием магнитных сил и вызывают неоднородное нагревание образца, приводящее к возникновению термо-э. явления.

Эти работы привели нас к вопросу: какого напряжения можно ожидать в случае настоящего внутреннего фотомагнитного эффекта в неоднородном магнитном поле при исключении мешающих явлений, например, таких, как описаны Кикоиным? Неоднородное магнитное поле действует на электроны и дырки, так как они обладают определенным магнитным моментом; его парамагнитная часть обусловлена спином электрона; диамагнитную часть открыл теоретически Ландау в 1930 г. [3]. Ландау привнес в свою работу выражения для химического потенциала электронов в неоднородном магнитном поле. Из этого мы исходили при расчете фото-э. д. с. в неоднородном магнитном поле. Для полупроводников типа p с невырожденным электронным газом и при слабом освещении фото-э. д. с. равна

$$U = \frac{kT}{e} \cdot \frac{b}{b+1} \left\{ 1 - \frac{1}{\sigma} \left[\left(\frac{m}{m_n^*} \right)^2 + \left(\frac{m}{m_p^*} \right)^2 \right] \right\} \frac{\beta^2 (H_2^2 - H_1^2)}{k^2 T^2} \cdot \frac{\Delta\sigma}{\sigma_n},$$

где m_n^* , m_p^* — эффективные массы электрона и дырки, H_2 , H_1 — магнитные поля на обоих краях освещенной зоны, β — магнетон Бора и постоянная Планка, σ — удельная проводимость, σ_n — удельная проводимость в отсутствие освещения, $\Delta\sigma$ — изменение удельной проводимости при освещении, T — абсолютная температура.

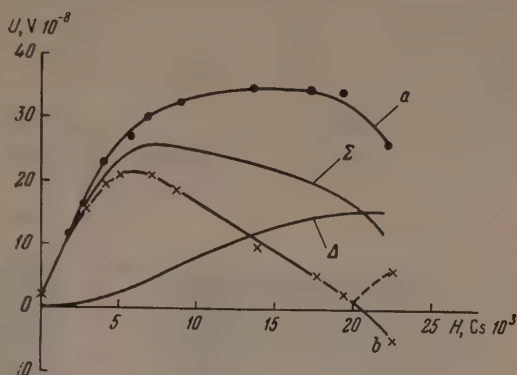
Измерение этого напряжения U было бы очень интересно, поскольку при его помощи можно определить сумму магнитных проницаемостей подвижных носителей тока и отличить их от проницаемостей неподвижных частиц. В случае, когда эффективная масса электронов намного меньше, чем эффективная масса дырок (как, например, у InSb), можно было бы при помощи измерения напряжения U определить эффективную массу электронов, подобно методу диамагнитного резонанса, открытого Дираком.

С этой целью мы и производили опыты с сурьмянистым индий- p -типа.

Чтобы исключить влияние термоэлектрических явлений, мы применяли прерывистое освещение. В образце всегда возникает, наряду с рассматриваемым явлением, фотомагнитный эффект, наблюдаемый впервые Кикоиным и Носковым [4] в однородном поле. Однако оба явления зависят от магнитного поля. Явление Кикоина характери-

нечетной функцией напряженности магнитного поля, явление в неоднородном поле — четной функцией. При изменении направления магнитного поля меняется фаза сигнала, соответствующего явлению Кикоина, так что оба сигнала для одного направления магнитного поля складываются, а для другого направления вычитаются один из другого.

На рисунке мы видим типичный результат измерения. Кривые *a* и *b* соответствуют двум разным направлениям магнитного поля. Ход кривых в однородном поле, в пределах ошибок наблюдения, одинаков для обоих направлений поля, в неоднородном поле он сильно отличается. Измеренные кривые являются суммой и разностью кривых Σ и Δ . Кривая Σ соответствует явлению Кикоина в однородном поле, кривая Δ — явлению в неоднородном поле.



Кривая Δ , имеющая для не слишком сильных полей квадратический вид, соответствует формуле (1). Однако после подстановки численных значений, постоянных для сурьмянистого индия, мы обнаружили, что изменение напряжения на два-три порядка больше, чем вытекает из формулы (1). Теоретический анализ показал, что в неоднородном поле появляются, кроме слагаемой (1), дополнительная слагаемая напряжения, которая в нашем случае сильно преобладает. Эта слагаемая вызвана действием магнитного поля на диффузионный ток, возникающий вдоль образца вследствие диффузии носителей тока из освещенной части в неосвещенную. Образцов в однородном поле возникают одинаковые напряжения у обоих концов, которые взаимно компенсируются. Если, однако, один конец освещенной части образца находится в поле с индукцией B_1 , а другой — в поле с индукцией B_2 , то в полупроводнике типа *p* возникает между контактами напряжение U :

$$U = -\frac{kT}{e} \mu_M^2 (B_2^2 - B_1^2) \frac{\Delta \sigma}{\sigma_n}. \quad (2)$$

После подстановки измеренных значений мы получили из формулы (2) подвижности электронов μ_n в InSb типа *p* значения от 20 000 до 100 000 $\text{cm}^2 \text{V}^{-1} \text{сек}^{-1}$, что находится в хорошем согласии с подвижностью, определенной из измерений константы Холла и проводимости.

Мы полагаем, что оба описанных явления — электронные эффекты, происходящие в освещенном полупроводнике в неоднородном магнитном поле.

Институт технической физики
Чехословацкой Академии наук

Цитированная литература

- Кикоин И. К., ДАН СССР, 96, 463 (1954).
Кикоин И. К., Ганев И. Х., Карчевский А. В., ДАН СССР, 99, 51 (1954).
Ландау Л. Д., ZS. f. Phys., 64, 629 (1930).
Кикоин И. К., Носков М., ZS. f. Phys., М. 5, 586 (1934).

И. Д. КОНОЗЕНКО и С. Д. МИХНОВСКИЙ

О СТРУКТУРЕ И ЭЛЕКТРИЧЕСКИХ СВОЙСТВАХ
СУРЬМЯНИСТОГО ИНДИЯ В ТОНКИХ СЛОЯХ

Введение

В последнее время появилось большое количество работ, посвященное исследованию интерметаллических соединений типа $A^{III}B^V$. Причиной вызвавшей повышенный интерес к этой группе элементов таблицы Д. И. Менделеева, являются ценные ее особенности, открывающие перспективы широкого применения их в технике.

К таким особенностям относятся чрезвычайно высокая подвижность носителей тока, низкая температура плавления, большое разнообразие значений ширины запрещенных зон и др.

Существенный теоретический интерес представляет также присутствие ряда аномальных явлений, наблюдаемых в этой группе соединений.

При изучении свойств, а также возможностей более широкого применения интерметаллических соединений типа $A^{III}B^V$ существенный интерес могут представлять исследования этих соединений в тонких слоях. Это обусловлено выбором темы исследования. Сурьмянистый индий в массовых образцах довольно широко исследован [1—7], однако в тонких слоях его свойства оставались неизвестными.

1. Методика эксперимента

Вакуумная колба, в которой производилась термическая возгонка сурьмянистого индия, была изготовлена таким образом, чтобы при нанесении слоя можно было производить всесторонние исследования образцов, не вынимая их из вакуума.

В качестве подложки было взято молибденовое стекло с полированной поверхностью, которая тщательно очищалась перед нанесением слоя. Контакт между слоем и отводящими электродами осуществлялся с помощью слоя серебра, нанесенного термической возгонкой в вакууме.

Важным моментом в приготовлении образцов был подбор температурного режима возгонки сурьмянистого индия. Навеска монокристалла сурьмянистого индия подвергалась прогреву в вакууме в танталовой лодочке. В расплавленном состоянии $InSb$ не смачивает танталового испарителя, сохраняет сферическую форму, что важно при определении толщины слоя. При определении толщины слоя мы исходили из предположения о равномерном распределении конденсата по поверхности сферы, радиус которой равен кратчайшему расстоянию от испаряемого вещества до подложки.

Термическая возгонка производилась при температуре 580—600°C. Для получения слоя толщиной 100 Å процесс испарения длился в среднем 3 часа.

Опыты показали, что возгонка $InSb$ при более высоких температурах дает низкоомные образцы, что, по-видимому, связано с диссоциацией молекул.

Образцы для электронографических и оптических исследований приготовлены путем нанесения термической возгонкой сурьмянистого индия на подложку.

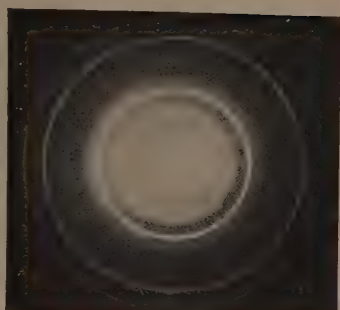


Рис. 1



Рис. 2

дия на тонкую пленку эфироцеллюлозы. Во всех случаях нанесения слоев держивался один и тот же режим.

2. Структура тонких слоев сурьмянистого индия

Прежде чем приступить к исследованию электрических свойств, необходимо было выяснить природу самого слоя. Исследование структуры полученных слоев проводилось на электронографе ЭМ-4 по методу проецирования. На рис. 1 представлена электронограмма, полученная от слоя толщиной $\sim 500 \text{ \AA}$.

Для большей точности расчета до и после съемки электронограмм снимались электронограммы от эталона, по которому вычислялась постоянная прибора.

Расчет полученных электронограмм указывает на то, что конденсат представляет собой поликристаллическое вещество, принадлежащее к структурному типу сфалерита с постоянной решетки $a = 6,46 \text{ \AA}$, что соответствует постоянной сурьмянистого индия. Согласно данным [1], постоянная решетки для массивных образцов InSb равна $a = 6,475 \text{ \AA}$, по данным [8] $a = 6,461 \text{ \AA}$.

Электронограммы, полученные от таких слоев, обладают хорошо разгруппированными и резко очерченными кольцами. От более тонких образцов, толщина которых меньше 100 \AA , на электронограммах получаются диффузные кольца, характеризующие значительную мелкодисперсность вещества (рис. 2).

При рассмотрении тонких слоев различной толщины, в том числе и подвергнутых температурной обработке, под металлмикроскопом ($\times 1000$) были во всех случаях мы наблюдали зеркальную металлическую поверхность. На некоторых же образцах были заметны легкие ориентированные зерном и том же направлении риски.

3. Электрические свойства

Зависимость удельного сопротивления слоя от его толщины и влияние воздуха

Зависимость удельного сопротивления слоя от его эффективной толщины снималась в процессе нанесения слоя. При этом предполагалось, что испарение вещества протекает равномерно во времени. Таким образом, полученное значение сопротивления можно сопоставлять с моментом измерения.

Характер полученной зависимости удельного сопротивления слоя от времени возгонки представлен на рис. 3 (максимальная толщина слоя $5 \cdot 10^{-6} \text{ см}$).

Отметим, что по окончании испарения сопротивление слоя не оставалось постоянным. При толщинах меньше $5 \cdot 10^{-6} \text{ см}$ сопротивление после окончания возгонки, как правило, увеличивалось, а слои с большей толщиной показывали уменьшение сопротивления, как это показано на графике рис. 4. Можно установить критическую толщину, при которой происходит перелом в направлении изменений сопротивления, нам не уда-

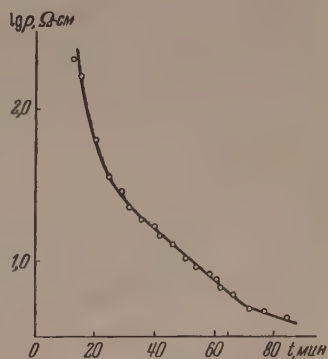


Рис. 3

По истечении двух-трех дней образцы становятся более стабильными. Полностью стабилизированные выдержанные на воздухе образцы периодически помещались в вакуум и на воздухе. По мере откачки воздуха сопротивление слоя возрастает и, наоборот, падает при впуске воздуха. Наблюдае-

мые изменения сопротивления протекают медленно и могут длиться до 45 мин. Характер этих явлений для двух образцов показан на рис. 5 (на воздухе и в вакууме образцы в среднем выдерживались по 45 мин).

Б. Температурная зависимость электропроводности слоев

Исследование температурной зависимости проводимости нами проводилось на образцах, в которых самопроизвольное изменение сопротивления в основном закончилось и, таким образом, не могло существенно влиять на результаты измерения.

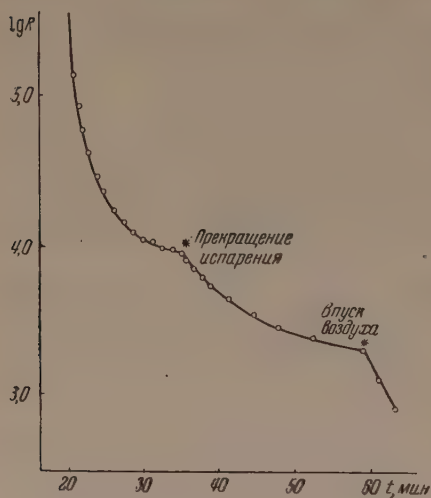


Рис. 4

Измерения производились в температурном интервале $-80 \div 300^\circ$. В температурном интервале $130 \div 150^\circ$ во всех случаях происходит необратимое уменьшение сопротивления слоя, в среднем на два порядка. Это уменьшение протекает с постепенным замедлением скорости. В связи с этим данные, полученные при температурах ниже и выше 150° , различны.

На непрогретых до 150° образцов температурный коэффициент сопротивления достигает $3,5\%$ на 1° . При прогреве всего $0,2\%$. При более высоких — всего $0,2\%$ на 1° . При этом полученные зависимости $\sigma = \sigma(T)$ для слоев после прогрева хорошо описываются законом

$$\sigma = \sigma_0 e^{-\frac{\Delta E}{kT}}.$$

Эта зависимость в логарифмическом масштабе от обратных температур изображена на рис. 6. Здесь кривая I относится к необратимому уменьшению сопротивления, а кривая II характеризует зависимость $\sigma = \sigma(T)$ после прогрева слоя до 150° . При этом

$$\Delta E \approx 0,05 \div 0,1 \text{ eV}.$$

При помощи термозонда был определен тип проводимости исходного материала в полученных нами слоях. Все слои обладали p-типом проводимости, в то время как исходный материал был электронным полупроводником.



Рис. 5

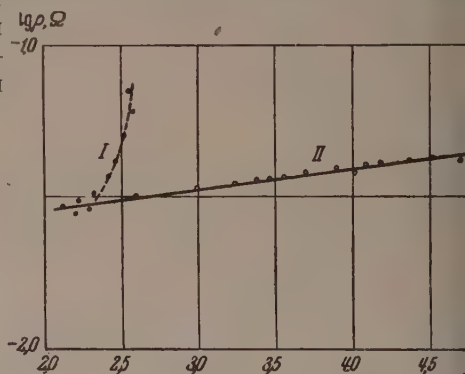


Рис. 6

Образцы, полученные термической возгонкой на подогретую до 150° подложку, при исследовании температурной зависимости проводимости вели себя подобно тем образцам, которые прогревались до 150° после возгонки.

4. Прозрачность тонких слоев InSb

Нами произведено также исследование прозрачности тонких слоев InSb в инфракрасной области спектра в интервале длин волн $1,5 \div 15 \mu$. При этом наносились при стандартном, принятом нами при всех возгонках, режиме. На рис. 7 приведена кривая прозрачности слоев InSb толщиной порядка $\sim 10^{-5}$ см. Прозрачность выражена в процентах относительно эфироцеллюлозной подложки.

Особенностью полученных нами спектров прозрачности является то, что при уменьшении длины волны, начиная с некоторого значения, вид в спектре прозрачности прекращается. В наименьшем прозрачности слоев колеблется около некоторого среднего значения (пунктирная линия). Отсутствие в спектре участков прозрачностью, стремящейся к нулю, как имеет место в массивных образцах [5], вероятно, может быть объяснено спецификой строения тонких слоев.

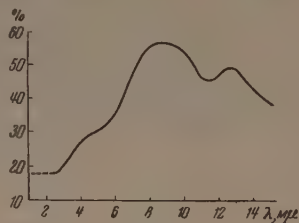


Рис. 7

5. Обсуждение результатов

1. Причина наблюдаемых нами необратимых изменений сопротивления слоя кроется, по-видимому, в том, что после нанесения слой представляет собой мелкодисперсную структуру с наличием возможно аморфных участков. При прогреве до 150° в результате дальнейшей кристаллизации образуется крупнозернистая структура слоя. Отдельные, разобщенные между собой гранулы при этом могут соединяться. Об этом говорит тот факт, что при нанесении слоя на подогретую подложку необратимого изменения сопротивления не наблюдается.

2. При истолковании обратимых изменений сопротивления слоев, связанных с процессами адсорбции и десорбции газов, приходится сделать предположение о наличии на поверхности слоя дырочных таммовских уровней. Ввиду того, что электропроводность слоя обусловлена, вероятнее всего, носителями на внутренних энергетических уровнях кристалла, величина электропроводности слоя должна зависеть от величины заряда, компенсирующего заряд на таммовских уровнях. Как указывалось, слой обладает дырочной проводимостью. В результате адсорбции молекул газа происходит уменьшение поверхностных зарядов, что приводит к возрастанию концентраций дырок — сопротивление слоя падает. При десорбции дырок с поверхности слоя наблюдается обратное явление.

3. Температурная зависимость электропроводности исследовалась в интервале $-85 \div 300^\circ$. Известно [8], что в массивных образцах InSb достаточно высокой степени чистоты влияние механизма собственной проводимости начинает сказываться лишь при температуре выше 300° . Таким образом, исследование температурной зависимости электропроводности производилось нами в области примесной проводимости.

Так как в тонких слоях выполнение закона для температурной зависимости электропроводности

$$\sigma = \sigma_0 e^{-\frac{\Delta E}{kT}}$$

может быть обусловлено своеобразным строением тонких слоев, можно считать, что значение ΔE не является энергией активации примесей. В большей мере это относится к образцам, не подвергавшимся прогреву. Наличие энергетического барьера в тонких слоях может быть объяснено существованием потенциальных барьеров между отдельными группами молекул или их агрегатами, созданных разрывами сплошности слоя.

5. Как указывают Танненбаум и Майта [3], материалу с удельным сопротивлением $7 \cdot 10^{-3} \Omega \text{ см}$ в их экспериментах по исследованию инфракрасного спектра прозрачности соответствовала граница полосы поглощения на длине волны 7μ . Такому положению границы полосы поглощения соответствует энергия оптической активации, равная $0,18 \text{ eV}$.

При сопоставлении полученного нами спектра прозрачности со спектрами для массивных образцов (см., например, [5]) можно видеть, что характер инфракрасного спектра прозрачности массивных образцов совпадает с характером спектра прозрачности тонких слоев. Отсутствие границ поглощения связано с тем, что слой имеет толщину 10^{-6} см . Это также говорит в пользу того, что слой образован соединением InSb .

Выводы

На основании вышеизложенных экспериментальных данных можно прийти к следующим выводам относительно природы и свойств тонких слоев InSb .

1. Слои обладают поликристаллической структурой. Решетка — цинковой обманки.

2. При нагреве слоев до температуры $130 \div 150^\circ$ происходит дальнейшая кристаллизация, мелкодисперсная структура переходит в более крупную; возможно также объединение отдельных агрегатов. Однако после прогрева некоторая гранулярность слоя сохраняется, что свидетельствует о большем конечном удельном сопротивлении слоев. После прогрева до 150° слои становятся относительно стабильными.

3. Получаемые нами слои InSb характеризуются полупроводниковой зависимостью электропроводности от температуры с дырочным типом проводимости, тогда как исходные образцы имели электронную проводимость.

Зависимость $\sigma = \sigma(T)$ исследована в области примесной проводимости в интервале температур $-80 \div 300^\circ$.

4. Влияние воздуха на слои сказывается на обратимом увеличении проводимости вследствие процессов адсорбции молекул воздуха.

5. Характер инфракрасного спектра прозрачности тонких слоев InSb подобен характеру спектра прозрачности массивных образцов, является подтверждением правильности наших выводов о природе полученных слоев.

Институт физики
Академии наук УССР

Цитированная литература

1. Breckenridge R. G. и др., Phys. Rev., **96**, 571 (1954).
2. Burstein H., Phys. Rev., **93**, 632 (1954).
3. Tannenbaum M., Maita J. P., Phys. Rev., **91**, 1009 (1954).
4. Tannenbaum M., Briggs, Phys. Rev., **91**, 1561 (1953).
5. Hrostovsky H. J., Wheatley G. H., Phys. Rev., **95**, 1683 (1954).
6. Tannenbaum M., Pearson G. L., Phys. Rev., **90**, 153 (1954).
7. Harman T. C., Willardson R. K., Phys. Rev., **95**, 699 (1954).
8. Бокий Б. Г., Введение в кристаллохимию.— Изд. МГУ, 1954.
9. Welker H., Physika, **20**, 893 (1954).
10. Векшинский С. А., Новый метод металлографического исследования ГТТИ, 1944.

М. ШТЕНБЕК и П. И. БАРАНСКИЙ

ИССЛЕДОВАНИЕ ЭФФЕКТА ПЕЛЬТЬЕ
И ТЕРМОЭЛЕКТРОДВИЖУЩИХ СИЛ В ГЕРМАНИИ

Основные уравнения:

$$\frac{dP}{dT} - \alpha - \tau = 0 \quad (1)$$

$$\frac{dP}{dT} - \frac{P}{T} - \tau = 0, \quad (2)$$

вызывающие теплоту Пельтье P , коэффициент Томсона τ и дифференциальную термо-э. д. с. α , не вытекают с необходимостью ни из основных законов термодинамики, ни из принципа Онзагера, поскольку последний не учитывает, например, возможного влияния взаимодействия между фононами и электронами. Поэтому величины P и τ , получаемые из (1) и (2), измеренным значениям $\alpha = \alpha(T)$ могут возбуждать сомнения.

Для экспериментальной проверки уравнений (1) и (2) мы попытались провести прецизионное изучение термо-э. д. с. и эффекта Пельтье, возникающего на паянных чистым оловом контактах медь — германий. Опыты проведены на монокристалльном образце Ge n -типа размерами $5 \times 5 \times 10 \text{ мм}^3$.

Поскольку монокристалльность и специальный выбор участка слитка, которого вырезался наш образец в виде призмы, сами по себе еще не обеспечивали необходимой однородности материала, мы использовали выводы специально предпринятых расчетов, указывающих на то, что вредное действие неоднородностей образца можно исключить путем использования продольного потока тепла, лишенного поперечных компонент, так как в этих условиях α и P автоматически усредняются одинаковым образом.

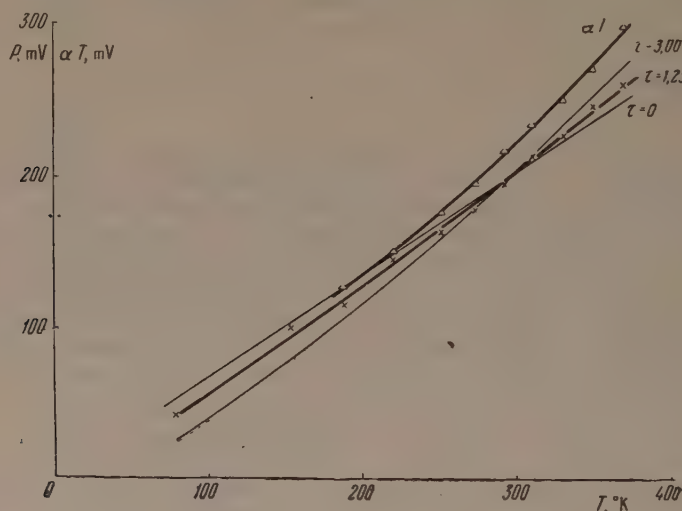
Для осуществления надежного термического контакта все термопары были в местах измерения температуры. Измерения эффекта Пельтье производились путем компенсации разности теплот, развивающихся на концах образца (для обоих направлений тока). Как термо-э. д. с., так и коэффициент Пельтье измерялись при условиях $J \rightarrow 0$ и $\Delta T \rightarrow 0$. Измерены также дифференциальная термо-э. д. с. α , так и коэффициент Пельтье в интервале $-196 \leq T \leq +100^\circ$, где условие постоянства концентрации носителей $n_e \approx 3,2 \cdot 10^{16} \text{ см}^{-3}$ заведомо выполнялось. Точность измерения эффекта Пельтье 1—2%; термо-э. д. с. — 1%. Точность измерения температуры окружающей среды T_0 составляла 1° ; в диапазоне низких температур — немного хуже. Предложенный нами метод непосредственного измерения разности температур при измерениях дифференциальной термо-э. д. с. позволил резко повысить точность в определении α (например, в интервале $0,20 \leq \Delta T \leq 5,02^\circ$ значение α уклонялось от постоянства меньше чем на 1%).

Использованная методика позволила получить следующие результаты. На рисунке представлена зависимость коэффициента Пельтье P и произведения αT от температуры (кривые I и II соответственно). Как видно из рисунка, соотношение $P = \alpha T$, непосредственно вытекающее из (1) и (2), подтверждается. Разность $\Delta = \alpha T - P$ значительно превосходит по абсолютной величине наших опытов. Уже этот факт не позволяет считать термоэлект-

рические процессы термодинамически обратимыми. Тем более странно является тот факт, что уравнение (2), являющееся следствием второго закона термодинамики, при значении $\tau = 3/2 k/e$, вытекающим из теории, довольно хорошо согласуется с результатами опытов. Действительно, единственное предположение о постоянстве разности $\frac{dP}{dT} - \frac{P}{T}$ в изучаемом температурном интервале, согласующееся с нашими экспериментальными данными, позволило осуществить проверку (2) в интегральной форме

$$P = \alpha T + \tau T \ln T.$$

Метод наименьших квадратов, использованный нами при обработке опытных данных для нахождения α и τ , привел к значению $\tau = 1,25$ (для оценки точности измерений на рисунке приведены расчетные кривые, соответствующие значениям $\tau = 0$; $1,25 k/e$ и $3 k/e$).



Тем не менее, совершенно ошибочно было бы расценивать эти результаты как экспериментальное подтверждение (2), поскольку коэффициент Томсона τ непосредственно не измерялся. Можно считать подтвердившимся уравнение

$$\frac{dP}{dT} - \frac{P}{T} - \frac{C}{e} = 0,$$

где $C = 3/2 k$ — теплоемкость классического газа носителей (постоянная концентрации).

Уравнение (3) получается путем термодинамического анализа обратимого процесса, рассматривающего перемещение одного моля растворенных частиц из раствора 1 в раствор 2, осуществляемое при температуре $T + \Delta T$, обратное перемещение одного моля частиц из 2 в 1 при температуре $T + \Delta T$ и охлаждение системы до температуры T . Если рассматривать проводник как раствор носителей тока в решетке — растворитель, а контакт двух проводников — как границу несмешивающихся растворов двух различных растворителей, то анализ этого замкнутого, строго обратимого термодинамического процесса приводит к уравнению

$$\frac{dQ_{12}}{dT} - \frac{Q_{12}}{T} - (C_1^* - C_2^*) = 0,$$

где Q_{12} — теплота перехода одного моля растворенных частиц из раство

2, а C^* — разность между теплоемкостью раствора одного моля растворенных частиц и теплоемкостью чистого растворителя в соответствующем количестве. При $Q = AeP$ (где A — число Авогадро), $C_1^* = A \cdot 3/2 \cdot k$ (теплоемкость классического газа носителей в полупроводнике) и $C_2^* = 0$ (ферми-газ в металле) из уравнения (4) непосредственно получаем (3).

Это и обосновывает наш вывод о том, что подтверждение уравнения (3) можно рассматривать как опытную проверку теоретических представлений о теплоемкости электронного газа в классическом полупроводнике, но не в том случае не как свидетельство о постоянстве энтропии при термоэлектрических процессах.

Итак, прецизионными опытами установлено, что основные термоэлектрические соотношения (1) и (2) совместно в точности не выполняются, что значит, что термоэлектрические процессы включают в себя еще какие-то необратимые процессы.

Институт физики
Академии наук СССР

Д. Н. НАСЛЕДОВ и А. Ю. ХАЛИЛОВ

ЭЛЕКТРИЧЕСКИЕ СВОЙСТВА НЕКОТОРЫХ СОЕДИНЕНИЙ
ТРЕТЬЕЙ И ПЯТОЙ ГРУПП ПЕРИОДИЧЕСКОЙ СИСТЕМЫ
ЭЛЕМЕНТОВ*(Краткое содержание доклада*)*

В работе исследованы электрические свойства сурьмянистого и мышьяковистого индия.

Изучена температурная зависимость электропроводности образцов с дырочным и электронным типом проводимости, начиная от $1,3^\circ \text{K}$. Исследован эффект Холла. Показано, что постоянная Холла в области перехода к собственной проводимости изменяет свой знак при увеличении напряженности магнитного поля. Это находится в соответствии с теорией Маделунга.

Обнаружено большое изменение сопротивления в поперечном магнитном поле.

В мышьяковистом индии наблюдается при высоких температурах аномальный рост подвижности при нагревании образца.

Показана возможность уменьшения концентрации примесей в сурьмянистом индии методом зонной очистки.

ПРЕДИСЛОВИЕ К ДОКЛАДУ Д. Н. НАСЛЕДОВА и А. Ю. ХАЛИЛОВА

3. З. Р. К о п е ц.— Соединение InSb исследовалось в Институте полупроводников АН СССР. Некоторые результаты, полученные мной для образцов с большими концентрациями примесей, соответствующими примерно концентрациям, изучавшимся в предыдущих работах, даны, по-видимому, ответ на часть вопросов, поставленных докладчиком и выступающими здесь товарищами.

Факт отсутствия в области высоких температур постоянного наклона логарифма электропроводности в функции обратной температуры можно объяснить особенностями структуры зон в этом полупроводнике. Нами была исследована по ходу термоэлектрической силы эффективная масса носителей тока. Для образцов с различной концентрацией примесей получается одна и та же оценка эффективной массы электронов $m_{\text{эф}} \leq 3,5 \cdot 10^{-2} m_0$, во всей исследованной области температур $120-750^\circ \text{K}$. По сравнению с другими полупроводниками этого же типа величина эта является исключительной малой.

Значение эффективной массы дырок превосходит $m_{\text{эф}}$ электронов больше чем на порядок величины ($m_{\text{эф}}$ дырок $\approx 0,55 m_0$). Благодаря этому сильному различию эффективных масс носителей в области собственной проводимости во всех электрических статистических характеристиках InSb (например σ , α , R) преимущественную роль играют электроны. Поскольку плотность уровней в зоне проводимости очень мала, по мере роста температуры быстро заполняются нижние уровни и растет расстояние между электронами в основной зоне и свободными уровнями в зоне проводимости. В итоге получается быстрый рост энергии активации электронов с ростом температуры. Если в области собственной проводимости имеется, например, число электронов соответственно порядка 10^{17} , 10^{18} , 10^{19}см^{-3} , получается заполнение зоны, считая от нижнего ее края, соответственно 0,13, 0,60, 0,97 eV. Этот сильный сдвиг имеющегося на деле нижнего края свободных уровней в зоне проводимости будет соответственным образом искажать ход логарифма электропроводности в функции обратной температуры. Поэтому в области собственной проводимости нельзя непосредственно из этого наклона судить о ширине запрещенной зоны.

* Подробная статья опубликована в ЖТФ, 26, 251 (1956).

В образцах с концентрацией примесей порядка 10^{17} см $^{-3}$ и больше область собственной проводимости начинается при температурах выше 600°K. Между этой областью и областью чисто примесной проводимости имеется переходная область. В ней заметную роль играют еще примесные носители, хотя рост электропроводности обуславливается перебором электронов из основной зоны. В этой области температур могут встречаться (прежде всего для образцов типа *p*) длинные, почти линейные, отрезки прямой логарифма электропроводности в функции $1/T$, но наклон их резко отличается для образцов с различной концентрацией примесей.

Более грязные образцы типа *p* дают более крутой ход линейного отрезка кривой, чем более чистые, в хорошем количественном согласии с представленной выше картиной зон в InSb. Конечно, здесь тоже нельзя эти различные наклоны непосредственно связывать с имеющейся на деле шириной запрещенной зоны. Ее можно получить путем анализа алгебраической формулы, связывающей концентрацию электронов, число ионизованных атомов примесей и постоянную Холла. При таких расчетах получается для всех образцов ширина запрещенной зоны при температуре 0° K $\approx 0,2$ eV, что подтверждается опытами по поглощению света в InSb.

При комнатной температуре ширина запрещенной зоны $\sim 0,18$ eV. С другой стороны, факт существования в InSb узкой запрещенной зоны и малой эффективной массы носителей обуславливает статистическое вырождение носителей в этом полупроводнике. Можно показать, что при температурах выше 250°K независимо от чистоты, все образцы InSb являются (из-за узкой запрещенной зоны) вырожденными. А образцы той степени чистоты, о какой говорилось в докладе, во всем исследованном интервале температур являются вырожденными (из-за малой эффективности массы носителей). Поэтому анализ всех электрических свойств, в том числе, конечно, и подвижностей, надо обязательно вести, учитывая этот факт.

Один из выступающих предложил возможное объяснение почти полной постоянности подвижности в области низких температур за счет механизма рассеивания на нейтральных атомах примесей согласно известной формуле Эргинзоя. Но количественная оценка величины подвижности, исходящая из действия только этого механизма, показывает, что, например, для объяснения наблюдаемой (при $T > 100^\circ\text{K}$) величины подвижности в образцах InSb типа *n* с концентрацией 10^{18} носителей надо предположить очень большие концентрации нейтральных атомов, что является невероятным в связи с проведенной очисткой исходных материалов.

Проведенные нами оценки различных возможных механизмов рассеивания приводят к выводу, что в широкой области низких температур основными механизмами рассеивания в случае образцов InSb, исследованных нами и соответствующих примерно образцам, рассмотренным в докладе, является рассеивание на колебаниях решетки ионах примесей. Но температурный ход этих подвижностей будет иной, чем в классических невырожденных полупроводниках.

С ростом вырождения, определяющегося ростом значения приведенного химического потенциала η , постепенно исключается действие механизма рассеивания на ионах (электроны, участвующие в токе, имеют большую кинетическую энергию — находятся на высоких уровнях энергии в зоне). Таким образом, в случае сильного вырождения, которое имеет место как раз для образцов с большой концентрацией примесей, главную роль, даже при низких температурах, играет рассеивание на решетке. Релевантную подвижность μ_L в случае вырождения можно выразить через соответствующую классическую подвижность $\mu_{L\text{кл}}$ следующей формулой:

$$\mu_L = \mu_{L\text{кл}} \frac{V \pi F_0(\eta)}{2F_{1/2}(\eta)},$$

где F_0 и $F_{1/2}$ — известные интегралы Ферми.

Вырождение, зависящее от приведенного химического потенциала, уменьшается с ростом η . В области примесной проводимости η является приблизительно линейной функцией $1/T$ (химический потенциал, равный $\eta \cdot kT$, почти не меняется с изменением температуры), и учет вырождения будет с убыванием температуры сильно понижать наклон логарифма подвижности в функции логарифма температуры по сравнению с обычным классическим полупроводником. В частных случаях это может привести к почти полному постоянству подвижности при низких температурах. При небольшом вырождении надо учитывать оба механизма.

Экспериментальные данные для образца типа *p* с небольшим вырождением можно было количественно сравнить с приближенной экстраполяционной формулой, учитывающей оба механизма. Получено неплохое согласие экспериментальных данных и рассчитанных формул.

Нами рассматривался также затронутый здесь вопрос о положении примесных уровней в InSb с большой концентрацией примесей. Из постоянства концентрации носителей при низких температурах и положительного значения химического потенциала, рассчитанного на основании измерения термо-э. д. с., можно заключить, что примесные уровни в нашем случае, по всей вероятности, входят сравнительно глубоко в зону, которая находится на фоне зоны проводимости в случае электронной проводимости и на фоне основной зоны в случае дырочной проводимости.

Н. А. ГОРЮНОВА и Б. Т. КОЛОМИЕЦ

НОВЫЕ СТЕКЛООБРАЗНЫЕ ПОЛУПРОВОДНИКИ

Как известно, в стеклообразном состоянии могут существовать многие вещества.

Наиболее обширная группа практически важных стекол, состоящая из сплавов окислов, таких, как SiO_2 , Na_2O , CaO , PbO и т. п., исследована весьма подробно.

Для целей оптической техники в последнее время изучались стекла на основе сульфидов мышьяка и германия [1, 2]. Возможность получения стекол с частичной заменой сульфидов селенидами и теллуридами обсуждалась Вейлем [3].

Исследуя изменение электрических свойств химического соединения $\text{Tl}_2\text{Sb}_2\text{Se}_4$ ($\text{Tl}_2\text{Se} \cdot \text{Sb}_2\text{Se}_3$) от изменения состава путем изоморфного замещения одних элементов другими, мы обнаружили, что при полной замене сурьмы мышьяком вещество состава $\text{Tl}_2\text{Se} \cdot \text{As}_2\text{Se}_3$ является аморфным. Изоморфное замещение в данном материале селена теллуром привело к получению целой группы аморфных веществ с составом, меняющимся от $\text{Tl}_2\text{Se} \cdot \text{As}_2\text{Se}_3$ до $\text{Tl}_2\text{Te} \cdot \text{As}_2\text{Te}_3$ (здесь и ниже формулы условные).

Дальнейшие исследования выявили еще ряд таких же аморфных веществ в следующих системах:

- | | |
|--|--|
| 1. $\text{As}_2\text{Se}_3 - \text{Sb}_2\text{Se}_3$ | 4. $\text{As}_2\text{Se}_3 - \text{As}_2\text{S}_3$ |
| 2. $\text{As}_2\text{Se}_3 - \text{Tl}_2\text{Se}$ | 5. $\text{As}_2\text{Se}_3\text{Tl}_2\text{Se} - \text{Sb}_2\text{Se}_3\text{Tl}_2\text{Se}$ |
| 3. $\text{As}_2\text{Se}_3 - \text{As}_2\text{Te}_3$ | 6. $\text{As}_2\text{S}_3 - \text{Sb}_2\text{S}_3$ |

Описание результатов исследования некоторых из этих систем частично опубликовано [4], часть находится в печати.

Синтез упоминаемых в данной работе веществ проводился в эвакуированных кварцевых ампулах. Взвешивание производилось с точностью до $2 \cdot 10^{-4}$ г. Чистота исходных веществ была следующей: $\text{Tl} - 99,9\%$, As (по данным спектрального анализа) содержал следы железа, сурьмы и кремния; $\text{Sb} - 99,95\%$; $\text{Te} - 99,0\%$; сера и селен содержали около 0,01% нелетучих примесей.

Режим синтеза сводился к выдерживанию сплавов в течение 1—2 при температуре плавления наиболее тугоплавкого из компонентов, тем же прогреву до $850-950^\circ$ и остыванию в течение 14 час в режиме естественного охлаждения выключенной печи.

Аморфные вещества изучавшихся систем имели раковистый излом, не давали остановок на кривых охлаждения, вытягивались в нити и раздувались в тонкие пленки. Совокупность упомянутых признаков дает нам возможность прийти к заключению, что исследуемые материалы аморфной структурой являются стеклами.

Эта точка зрения была подтверждена исследованиями структуры этих веществ. Действительно, изучение рассеяния рентгеновых лучей малыми углами, любезно проведенное по нашей просьбе проф. Е. А. рай-Кошицем в Институте химии силикатов АН СССР, а также рентгенограмма обычным методом показали, что исследованные материалы являются типичными стеклами.

Содержание кристаллической и аморфной фаз в указанных выше системах различно. Границу между этими фазами можно назвать границей стеклообразования. Как показал опыт, для всех систем положение границы определяется не только химическим составом, но и режимом синтеза. Граница стеклообразования для ряда перечисленных выше систем была определена при режиме синтеза со скоростью охлаждения, равной в среднем $50-70^\circ$ в час.

Граница стеклообразования для системы $\text{As}_2\text{Se}_3-\text{Ti}_2\text{Se}$, например, оказалась лежащей при 38% As_2Se_3 .

В системе $\text{As}_2\text{Se}_3-\text{Sb}_2\text{Se}_3$ граница стеклообразования лежит у веществ с значительно большим содержанием As_2Se_3 и т. д.

В схематическом виде граница стеклообразования для всех упомянутых систем, за исключением сложной системы $\text{Ti}_2\text{Se} \cdot \text{Sb}_2\text{Se}_3 - \text{Ti}_2\text{Se} \cdot \text{As}_2\text{Se}_3$, изображена на рис. 1. Как это следует из данного рисунка, заштрихованная площадь включает в себя весьма большое число стеклообразных веществ. Эти вещества обладают различными физическими и физико-химическими свойствами в соответствии с непрерывно меняющимся составом.

Вопрос о количестве стеклообразных веществ, как нам кажется, является интересным. Можно сказать, что рис. 1 дает лишь ориентировочное представление о возможном их количестве, поскольку граница стеклообразования зависит, как указывалось выше, от химического состава и режима синтеза.

В проведенном исследовании каждая система была разбита на семь экспериментальных точек с соответствующим соотношением между бинарными или тернарными компонентами. В силу уже одного этого обстоятельства граница стеклообразования на рис. 1 является неточной.

Изменив режим синтеза, например, за счет изменения режима охлаждения, вплоть до режима закалки, можно значительно расширить границы стеклообразования, определяющие количество стеклообразных веществ.

Помимо этих двух факторов, определяющих количество стеклообразных веществ, имеется еще один, и притом весьма существенный. Рис. 1 очерчивает группу стеклообразных веществ, образованных бинарными компонентами стехиометрического состава. Проведенными исследованиями было установлено, что исследуемые стекла допускают значительное отклонение в составе от стехиометрического соотношения. В связи с этим количество стеклообразных веществ значительно увеличивается, и, естественно, увеличивается и разнообразие их свойств.

Дальнейшими исследованиями было установлено, что часть изучаемых материалов может быть получена как в стеклообразном, так и в кристаллическом состоянии, в зависимости от скорости охлаждения расплава. Особенно характерна такая структурная обратимость для веществ, которые по составу лежат на границе стеклообразования. Количество таких структурно обратимых веществ достаточно велико; оно может быть представлено довольно широкой полосой вдоль границы стеклообразования.

Кроме исследования границ стеклообразования, нами были обследованы некоторые электрические и фотоэлектрические свойства стекол в пяти системах из перечисленных выше на основе As_2Se_3 .

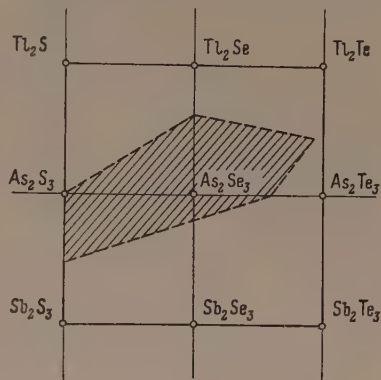


Рис. 1. Границы стеклообразования для тройных и четверных систем

Исследования показали, что характерной чертой этих, а также других стекол, существенно отличающей их от стекол на основе окислов сульфидов, является высокая проводимость. Так, например, стекло состава $\text{Ti}_2\text{Se} \cdot \text{As}_2\text{Te}_3$ имеет проводимость порядка $10^{-3} \Omega^{-1} \text{см}^{-1}$, что по меньшей мере в 10^8 раз выше проводимости оксидных стекол с максимальной электропроводностью.

Далее было установлено, что по всем признакам, помимо высокой электропроводности, новые стекла являются типичными полупроводниками. Так, температурная зависимость проводимости этих веществ подчиняется экспоненциальному закону и все они обладают заметной фотопроводимостью. Их проводимость может иметь как электронный характер, так и дырочный. Они обладают и термоэлектрической движущей силой.

В табл. 1 приведены пределы значений проводимости и границы положений максимумов спектральной чувствительности стеклообразных веществ изученных систем. Величина проводимости соответствует как

Таблица 1

Системы	Пределы значений проводимости стекол, $\Omega^{-1} \text{см}^{-1}$	Границы положений максимумов спектральной чувствительности стекол, μ
$\text{As}_2\text{Se}_3 - \text{As}_2\text{Te}_3$	$10^{-13} - 10^{-6}$	0,6—1,25
$\text{As}_2\text{Se}_3 - \text{Ti}_2\text{Se}$	$10^{-13} - 10^{-7}$	0,6—1,1
$\text{As}_2\text{Se}_3 - \text{Sb}_2\text{Se}_3$	$10^{-13} - 10^{-12}$	0,6—0,9
$\text{Ti}_2\text{Se} \cdot \text{As}_2\text{Se}_3 - \text{Ti}_2\text{Se} \cdot \text{As}_2\text{Te}_3$	$10^{-7} - 10^{-8}$	1,0—1,2
$\text{Ti}_2\text{Se} \cdot \text{As}_2\text{Se}_3 - \text{Ti}_2\text{Se} \cdot \text{Sb}_2\text{Se}_3$	10^{-8}	0,95—1,15

жиму синтеза, так и имевшимся примесям и нарушению стехиометрии при взвешивании.

О характере изменения проводимости и фотопроводимости с составом в стеклообразных веществах можно судить по рис. 2 и 3, относящимся к одной из наиболее детально изученных систем— $\text{Ti}_2\text{Se} \cdot \text{As}_2\text{Se}_3 - \text{Ti}_2\text{Se} \cdot \text{As}_2\text{Te}_3$ отличающейся значительным количеством стеклообразных веществ.

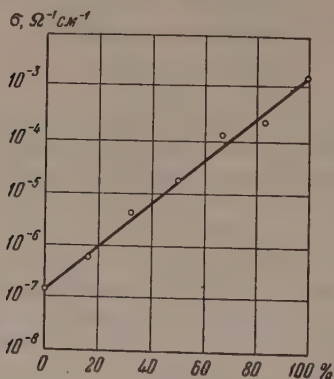


Рис. 2. Зависимость проводимости стекол от содержания Te в системе $\text{Ti}_2\text{Se} \cdot \text{As}_2\text{Se}_3 - \text{Ti}_2\text{Se} \cdot \text{As}_2\text{Te}_3$. По оси абсцисс — содержание Te

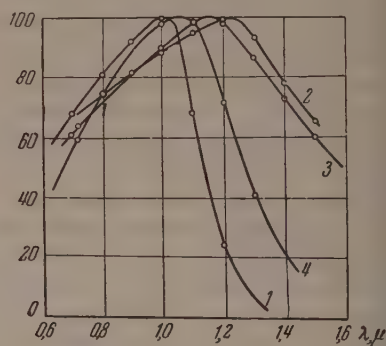


Рис. 3. Спектральное распределение внутреннего фотоэффекта в системах $\text{Ti}_2\text{Se} \cdot \text{As}_2\text{Se}_3 - \text{Ti}_2\text{Se} \cdot \text{As}_2\text{Te}_3$. 1— $\text{Ti}_2\text{Se} \cdot \text{As}_2\text{Se}_3$, 2— $\text{Ti}_2\text{Se} \cdot \text{As}_2\text{Se}_2\text{Te}$, 3— $\text{Ti}_2\text{Se} \cdot \text{As}_2\text{SeTe}_2$, 4— $\text{Ti}_2\text{Se} \cdot \text{As}_2\text{Te}_3$

Возвращаясь к рис. 1, на основании обследования электрических свойств можно утверждать, что значительное количество веществ, лежащих внутри границ стеклообразования, являются типичными полупроводниками. Количество полупроводников можно широко варьировать за счет изменения состава, так и нарушения стехиометрии. Как показывает опыт, например, по мере замены теллура селеном и серой проводим

кол падает, и мы переходим из области стекол-полупроводников в область стекол-диэлектриков. В точности то же самое в обратном направлении имеет место при замене серы селеном и теллуром и т. д. Как уже говорилось выше, многие вещества, лежащие на границе стеклообразования, можно получить как в стеклообразном, так и в кристаллическом состояниях. В ряде веществ этот переход сопровождается значительными изменениями в электрических свойствах. В табл. 2 приводятся данные о величинах проводимости различных веществ при переводе из кристаллического состояния в стеклообразное.

Как видно из табл. 2, переход из кристаллического состояния в стеклообразное не сопровождается как увеличением проводимости, так и уменьшением, что, видимо, указывает на отсутствие в характере взаимодействия компонентов при стеклообразовании в изучаемых системах.

О характере изменений, имеющих место в фотопроводимости при переходе из кристаллического в стеклообразное состояние, можно судить по рис. 4, в котором приведены данные, относящиеся к составу $2\text{As}_2\text{Se}_3 \cdot \text{Sb}_2\text{Se}_3$.

Помимо электрических, на некоторых образцах были исследованы также и оптические свойства. Предварительные данные о характере по-

Таблица 2

Химический состав	Проводимость, $\Omega^{-1} \text{ см}^{-1}$	
	стекло	кристалл
$2\text{As}_2\text{Se}_3 \cdot 3\text{As}_2\text{Te}_3$	$2,5 \cdot 10^{-8}$	10^2
$\text{As}_2\text{Se}_3 \cdot 2\text{Tl}_2\text{Se}$	$7,5 \cdot 10^{-8}$	$7,2 \cdot 10^{-3}$
$2\text{As}_2\text{Se}_3 \cdot \text{Sb}_2\text{Se}_3$	$1,0 \cdot 10^{-10}$	$2,5 \cdot 10^{-6}$
$\text{Tl}_2\text{Te} \cdot \text{As}_2\text{Te}_3$	$5,3 \cdot 10^{-8}$	$4,6 \cdot 10^{-1}$
$\text{Tl}_2\text{Se} \cdot \left(\frac{5}{6} \text{As} \frac{1}{6} \text{Sb}\right)_2\text{Se}_3$	$2,2 \cdot 10^{-7}$	$2,0 \cdot 10^{-8}$

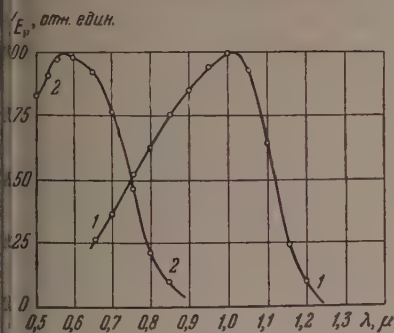


Рис. 4. Изменение спектральной чувствительности при переходе $2\text{As}_2\text{Se}_3 \cdot \text{Sb}_2\text{Se}_3$ из кристаллического состояния в аморфное (2); α — чувствительность, $E_{\text{п}}$ — падающая энергия

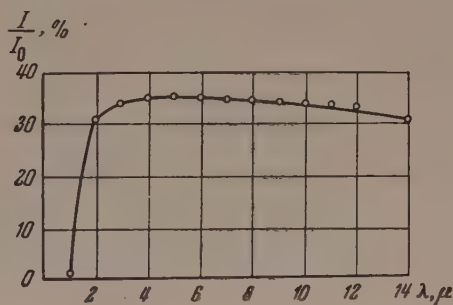


Рис. 5. Кривая пропускания для стекла состава $\text{Tl}_2\text{Se} \cdot \text{As}_2\text{Se}_{2,5} \text{Te}_{0,5}$

пускания в полупроводниковых стеклах, полученные в Институте кристаллографии*, указывают на отсутствие в них селективного поглощения в сравнительно широкой области спектра.

В качестве примера на рис. 5 изображена кривая пропускания для стекла состава $\text{Tl}_2\text{Se} \cdot \text{As}_2\text{Se}_{2,5} \text{Te}_{0,5}$ в виде пластины толщиной 0,29 мм. Характер пропускания стекол других составов мало отличается от приведенного на рис. 5. С изменением химического состава граница поглощения смещается.

* Пользуемся случаем выразить благодарность Г. И. Дистлеру, любезности которого мы обязаны приводимыми данными.

В соответствии с химическим составом описываемые в данной работе стекла на основе сульфидов, селенидов и теллуридов, в отличие от обычных стекол, можно назвать халькогенидными.

По физико-химическим свойствам новые стекла значительно отличаются от оксидных. Так, например, интервал размягчения халькогенидных стекол лежит значительно ниже, чем интервал размягчения оксидных и колеблется в пределах $100-230^{\circ}$.

По вопросу устойчивости халькогенидных стекол некоторые опытные данные позволяют думать, что к ним можно применить положения, выведенные для оксидных стекол [5]. Так, например, стеклообразный As_2Se_3 может быть легко переведен в кристаллическое состояние, тогда как $\text{Ti}_2\text{Se} \cdot \text{As}_2\text{Se}_3$ в наших условиях не удалось закристаллизовать. Это может быть объяснено, если по аналогии с оксидными стеклами принять критическое значение 0,5 для числа атомов стеклообразующего катиона на один атом селена.

Возможно, что положение теории оксидных стекол о структурной неэквивалентности мест, занимаемых ионами стеклообразующими и ионами нестеклообразующими, можно будет применить для интерпретации электрических свойств халькогенидных стекол. Для этого, конечно, необходим гораздо больший экспериментальный материал, чем тот, который мы получили к настоящему времени.

По-видимому, представляют некоторый интерес двухфазные системы кристалл — стекло.

Селенид мышьяка в сплаве с рядом веществ образует двухфазные системы, в которых As_2Se_3 находится в стеклообразном состоянии, а соответствующее вещество (полупроводник) — в кристаллическом. Такие двухфазные системы образуются, например, с PbS , PbSe , Cu_2Se , InAs , S и др. Одной из интересных особенностей этих систем является факт изменения температуры плавления кристаллической фазы. Можно предположить, что в данном случае мы имеем дело с эвтектическим взаимодействием.

Вещества, лежащие на границе раздела стекло — кристалл, благодаря простоте перевода их из стеклообразного состояния в кристаллическое в настоящее время, как нам кажется, могут представлять интерес в связи с изучением проводимости в твердых и жидких полупроводниках.

А. Ф. Иоффе еще в 1947 г. писал, что электрические свойства веществ определяются ближним порядком в расположении атомов, благодаря чему может не быть разницы между электрическими свойствами жидких и твердых тел. Это положение было экспериментально подтверждено А. Р. Регелем и его сотрудниками при изучении проводимости ряда полупроводников в жидком состоянии.

Существование стекол со свойствами полупроводников, которые можно рассматривать как переохлажденные жидкости, может служить дополнительным фактом, подтверждающим идеи, высказанные А. Ф. Иоффе.

В работе по изучению электрических и фотоэлектрических свойств стекол принимали участие Т. Н. Венгель и студентка ЛГУ В. С. Арефьева.

Авторы выражают искреннюю признательность Д. Н. Наследову за помощь и постоянный интерес к работе.

Ленинградский физико-технический
институт Академии наук СССР

Цитированная литература

1. Frerichs A. J. Opt. Soc. Am., 43, 12, 1153.
2. Dennis L. M., Laubengauer A. N., J. Phys. Chem. 30, 1510 (1926).
3. Weyl W. A., J. Chem. Education, 27, 520 (1950).
4. Горюнова Н. А., Коломиец В. Т., ЖТФ, 25, вып. 13 (1955).
5. Zachariasen, J. Am. Chem. Soc., 54, 3841 (1932).

А. К. КИКОИН и Г. Д. ФЕДОРОВ

ПОЛУПРОВОДНИКОВЫЕ СВОЙСТВА СПЛАВОВ МАГНИЙ—ВИСМУТ

Соединения металлов II и V групп периодической системы элементов стехиометрической формулой, соответствующей нормальной валентности компонент, могут обладать решеткой с резко выраженной гетерогенной связью. Это обусловлено переходом валентных электронов от атомов элемента II группы к атомам элемента V группы с образованием двухзарядных положительных ионов в первом случае и трехзарядных отрицательных ионов — во втором. Ясно, что по своим электрическим и оптическим свойствам такие соединения должны быть ближе к изоляторам, чем к металлам. Эти соображения, высказанные ранее А.Ф.Иоффе [1], И. Френкелем [2] и другими авторами, подтверждаются экспериментально.

Б. И. Болтакс и В. П. Жузе [3] подробно исследовали соединение Mg_3Sb_2 и показали, что оно является полупроводником примесного типа. Позднее Мосс [4] вновь исследовал это соединение (на образцах в виде тонких пленок) и пришел к выводу, что его свойства близки к свойствам изоляторов. Эти результаты были подтверждены также в работе Буша, Шлигера и Винклера [5]. Можно полагать, что другие соединения этого типа должны обладать подобными же свойствами. Нами было предпринято исследование системы Mg—Bi , химически аналогичной системе Mg—Sb . На диаграмме состояния этой системы составу Mg_3Bi_2 соответствует узкий максимум температуры плавления, сходный с соответствующим максимумом на диаграмме состояния системы Mg—Sb . Для того чтобы проследить изменение свойств при переходе от чистых компонент, обладающих металлическими свойствами, к соединению Mg_3Bi_2 , мы использовали в нашей работе метод С. А. Векшинского [6], позволяющий вести исследование на образцах с непрерывно изменяющимися концентрациями компонент.

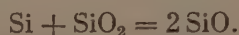
Приготовление образцов

Пленки Mg—Bi наносились испарением в вакууме на стеклянную пластинку размером $35 \times 70 \text{ мм}^2$. На специальном держателе-столике укреплялась пластинка, а под ней помещались нагреватели из вольфрамовой проволоки, в которых располагались шарики из висмута и магния. Столик с пластинкой и нагревателями помещался под колпак вакуумной установки. Перед опытом стеклянная пластинка подвергалась тщательной химической очистке. Непосредственно перед испарением пластинка подвергалась обработке ионной бомбардировкой (в форвакууме) при напряжении около 1000 V. После очистки ионным разрядом под колпаком создавался высокий вакуум ($10^{-6} \text{ мм рт. ст.}$) и производилось испарение компонента.

Висмут испаряется из жидкой фазы, магний же сублимирует, не плавясь. Принимались специальные меры к тому, чтобы испарение обоих металлов происходило одновременно и с постоянной относительной скоростью. Толщина пленки и ее состав в разных местах пластинки рас-

считывались из тщательно определявшихся геометрии установки и испарившихся металлов [6].

Для того чтобы предотвратить изменение свойств полученных так образом пленок под действием атмосферного воздуха, пленки в некоторых случаях покрывались защитным слоем окиси кремния SiO_2 . Такое покрытие производилось испарением в вакууме тотчас после получения пленки Mg—Bi . Для этого под пластинкой помещали третий нагреватель, в который загружалась смесь кварцевого порошка и кремния в количествах, определяемых формулой:



При нагревании этой смеси до $1000\text{—}1100^\circ$ SiO испаряется и покрывает тонким слоем пластинку с пленкой Mg—Bi . Защищенные таким образом пленки обладают достаточной стойкостью против атмосферных действий. Как известно, электрические и оптические свойства очень тонких пленок значительно отличаются от свойств массивных образцов тех же веществ, но при определенной для каждого вещества толщине аномалии исчезают.

Проведенные нами предварительные исследования показали, что в нашем случае «пленочные» эффекты исчезают при толщине пленок порядка $500\text{—}600 \text{ \AA}$. Исследовавшиеся нами пленки всегда имели толщину не менее 1000 \AA . Поэтому можно полагать, что пленочные эффекты не играли в наших опытах сколько-нибудь заметной роли. Из работ других авторов (например [7]) известно, что свойства пленок в условиях, логичных условиям наших опытов, не отличаются от свойств массивного материала.

Прозрачность пленок

Так как соединение Mg_3Bi_2 должно по своим свойствам приближаться к диэлектрику, то можно было ожидать, что это скажется на оптических свойствах этого соединения, в частности на его прозрачности.

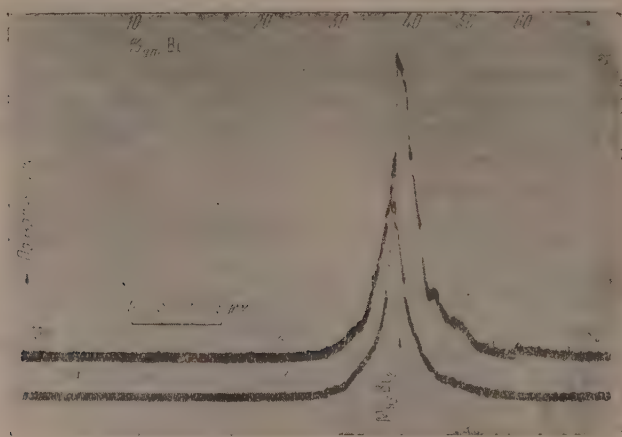


Рис. 1. Кривая прозрачности сплава Mg—Bi

Приготовленная описанным выше образом пленка Mg—Bi в самом определенном месте содержала узкую прозрачную для видимого света полосу; остальные участки пленки были непрозрачны и обладали металлическим блеском [8].

Расчет распределения компонент вдоль пластинки показывает, что прозрачная полоса появляется в том месте, где состав соответствует

ометрической формуле Mg_3Bi_2 . На рис. 1 представлена кривая прозрачности, снятая на записывающем микрофотометре системы М. А. Блона. На этом же рисунке нанесены рассчитанные значения атомных концентраций. Кривые 1 и 2 сняты соответственно через 10 мин после соприкосновения пленки с атмосферой и после 3-часового отжига в вакууме и температуре 230° . Пленки, к которым относятся эти кривые, лишены защитного покрытия. Кривые для защищенных слоев SiO пленок имеют той же характер. Следует отметить, что спад прозрачности в сторону увеличения концентрации магния несколько резче, чем в сторону избытка висмута.

Абсолютная величина коэффициента прозрачности для белого света (мпа накаливания) составляет 20—25%. Мы провели предварительные исследования прозрачности также для пленок Mg—As, Ca—Bi и Ca—As (защищенных слоем SiO). Во всех этих случаях образуется прозрачная зона в области состава A_3B_2 (A — элемент второй, B — пятой группы периодической системы).

Полученные результаты исследования прозрачности пленок Mg—Bi подтверждены также исследованием Г. А. Курова [9].

Описанные опыты с несомненностью показывают, что свойства сплавов Bi по мере приближения к составу Mg_3Bi_2 (т. е. типа A_3B_2) теряют металлические свойства. Поэтому особый интерес представляют исследования электрических свойств этой системы.

Электропроводность сплавов Mg—Bi

Исследование электропроводности сплавов в зависимости от состава производилось следующим образом.

Перед испарением металлов вдоль краев стеклянной пластинки наносился (испарением же) контактный слой металла, достаточно твердого и прочного, держащегося на стекле (хром или магний). Средняя часть пластинки в этом закрывалась фольгой. После этого полученные контактные полосы частично закрывались фольгой и производилось испарение Mg и Bi, чтобы пленка Mg—Bi слегка перекрывала контактные полосы, образуя таким образом надежный электрический контакт. Затем пленка специальным резцом на делительной машине разрезалась на полосы шириной в 1,5 мм (иногда 1 мм), так что отдельные полосы оказывались изолированными друг от друга. По расчету на каждую такую полосу приходился интервал концентраций около 2%_{ат}Bi.

К контактным частям полос прижимались в особом держателе стальные пружины, а к последним припаивались токовые и потенциальные выводы. Все эти провода подводились к коммутатору, при помощи которого можно было присоединить к измерительной схеме поочередно каждую полосу. Сопротивление измерялось обычным компенсационным методом при помощи высокоомного потенциометра.

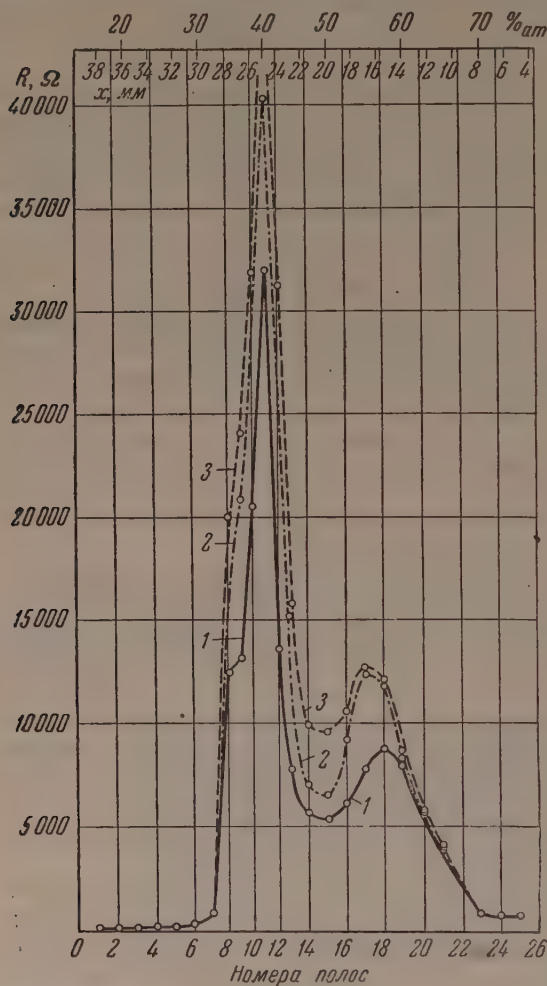
Для предохранения пленки от воздействия атмосферного воздуха она вместе с держателем помещалась в вакуум даже в том случае, когда она была покрыта слоем SiO. Таким образом, на воздухе пленка находилась в течение того времени, которое необходимо для монтажа (15—20 мин).

Принятая нами методика не позволяет измерять сопротивление, соответствующее точно определенному составу. Но вид зависимости сопротивления от состава этим способом может быть получен.

Было исследовано несколько десятков образцов. Качественно ход сопротивления с изменением состава во всех случаях одинаков. Количественного совпадения ожидать нельзя, так как разрезы на пленках, разрывающие полосы, наносились в случайных местах, и обеспечить совпадение интервалов концентраций на полосах было невозможно. На рис. 2 приведены кривые зависимости сопротивления от состава для незащищенных

ной пленки. Как видно из кривых, составу Mg_3Bi_2 соответствует very резкий максимум. Другой, меньший максимум наблюдается вблизи концентрации 50 %_{ат.} Пребывание на воздухе приводит к значительному увеличению сопротивления в области максимума.

Влияние воздуха на проводимость пленок $Mg-Bi$ наблюдал Г. А. Курсы [9]. Однако приводимое им объяснение этого влияния образованием MgO и выделением висмута кажется нам ошибочным. Н



указывает в своей работе И. В. Мочан [10]. Следует отметить, что сопротивление пленки при температуре около 250° приводит к большей устойчивости электрических свойств пленок, а также к уменьшению второго максимума на кривой; по-видимому, это связано с диффузионными процессами упорядочивания, которые завершаются при отжиге. На рис. 3 приведены кривые зависимости сопротивления от состава для пленки, защищенной слоем SiO_2 , подвергнутой отжигу при 230° в течение 1 часа. На кривую нанесены результаты многократных измерений, производившихся в течение 15 дней приготовления и от

Рис. 2. Зависимость сопротивления от состава для пленки $Mg-Bi$. 1 — снята через 7 час после приготовления, 2 — снята через 31 час после приготовления, 3 — снята через 10 час после приготовления

Ни длительное пребывание на воздухе, ни неоднократные нагревания и охлаждения не вызывают изменения свойств пленки. Это свидетельствует об эффективности защитного действия слоя SiO_2 .

Удельное сопротивление для полосы, содержащей состав Mg_3Bi_2 , влечет $10^{-1}-10^{-2} \Omega \text{ см}$, т. е. на 4—5 порядков больше, чем у исходных веществ. Разумеется, удельное сопротивление Mg_3Bi_2 значительно больше принятой нами методики его нельзя определить.

Был проведен опыт с пленкой, полученной не одновременным испарением Mg и Bi , а последовательным нанесением слоев обоих веществ в обычном в наших опытах режиме испарения. Пленка, полученная таким образом, не имеет прозрачной полосы, а максимум на кривой сопротивления — состав выражен крайне слабо. После отжига при 230° в течение 1 часа сопротивление в максимуме (Mg_3Bi_2) возрастает в 3, а после повторного нагревания до 230° и 3-часовой выдержки пр

температуре сопротивление в максимуме возрастает в 15 раз. Это показывает, что благодаря диффузии происходит не беспорядочное перемешивание атомов, а упорядочение с образованием устойчивых кристаллов Mg_3Bi_2 . Прозрачная полоса, однако, при этом не образуется, вероятно, вследствие недостаточно высокой температуры отжига.

Температурная зависимость электропроводности

Для выяснения характера проводимости важно изучить ее температурный ход. Мы провели исследования температурной зависимости сопротивления пленок Mg—Bi в области температур от температуры жидкого азота до 200° . Для этих измерений пластинка с держателем помещалась в сосуд со шлифом, который в свою очередь помещался в электрическую печь. Образец нагревался излучением от печи. Для ускорения установ-

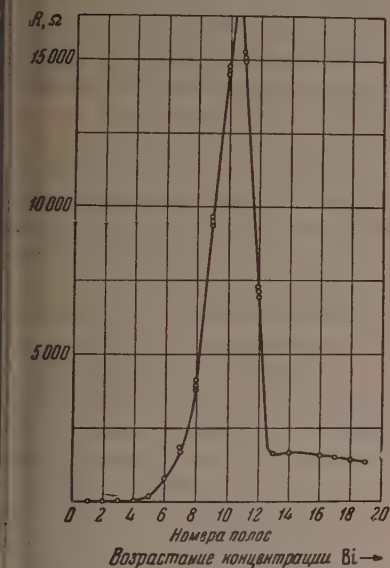


Рис. 3. Зависимость сопротивления от состава для пленки Mg—Bi, защищенной слоем SiO

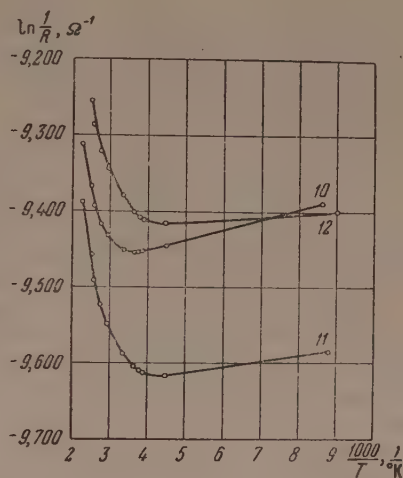


Рис. 4. Температурная зависимость электропроводности

ления равновесия латунные пластинки, составляющие держатель и прилегающие к стеклянной пластинке с пленкой, были зачернены. При измерениях в области температур ниже комнатной сосуд с образцом помещался в дьюар с твердой углекислотой или жидким азотом. Температура пленки измерялась термопарой медь — константан, спай которой прилегал непосредственно к пластинке с пленкой. Измерения были произведены как на пленках, покрытых слоем SiO , так и не защищенных. Существенной разницы в результатах не наблюдается.

На рис. 4 представлена зависимость $\ln 1/R$ от $1/T$ (R — сопротивление, T — температура) для одной из исследованных пленок. Кривая, отмеченная цифрой 11 (номер полосы на образце), относится к полосе, содержащей состав Mg_3Bi_2 , кривая 10 — к соседней полосе, более богатой висмутом, кривая 12 — к полосе с избытком магния.

Как видно из приведенных кривых, температурный коэффициент сопротивления участков пленки, близких к составу Mg_3Bi_2 имеет полупроводниковый характер. Что касается размеров области концентраций сплавов Mg—Bi с полупроводниковой проводимостью, то, по нашим измерениям, она оказывается довольно широкой. Именно она простирается со стороны избыточного висмута вплоть до концентраций в 80—85%_{ат} висмута.

Со стороны избыточного магния интервал полупроводниковых сплавов значительно меньше — до 60%_{ат} магния. Сплавы вне этой области имеют нормальный (металлический) знак температурного коэффициента сопротивления. На рис. 5 представлены кривые температурного хода сопротивления для трех полос с металлическим характером проводимости. На графиках указаны концентрации (средние) на этих полосах и величина температурного коэффициента сопротивления. Из кривых видно, что по мере приближения к полупроводниковой области концентрации величина температурного коэффициента уменьшается. Это обычная закономерность интерметаллических соединений (см. например [12]).

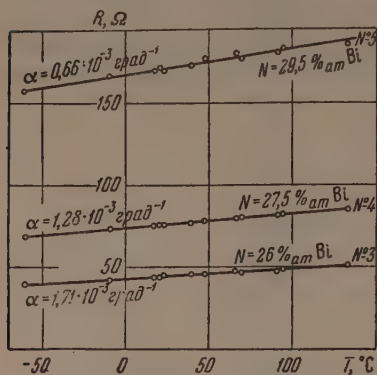


Рис. 5. Температурная зависимость сопротивления для полос с металлической проводимостью

что это значение относится к полосе пленки шириной в 1,5 мм, вырезанной вблизи состава Mg_3Bi_2 , на которую приходится интервал концентраций в несколько атомных процентов. Поэтому указанное значение ΔE является в какой-то мере усредненным. Имея в виду, что всякое отклонение от стехиометрического состава уменьшает энергию активации (см. рис. 4) и что наши измерения были проведены при температурах не выше 100°C, можно полагать, что величина энергии активации соединения Мг — Вi порядка 0,1 eV. Столь малая энергия активации объясняется, быть может, тем, что висмут является менее электроотрицательным элементом, например, сурьма, а известно, что энергия активации интерметаллических соединений тем меньше, чем менее электроотрицательной является одна из компонент и чем менее электроположительной — другая.

У пленок, полученных при одновременном испарении компонентов Мг и Вi, знак температурного коэффициента сопротивления на всем ее протяжении положительный. Однако после отжига при 230°C температурный коэффициент сопротивления полосы, включающей (по расчету) состав Mg_3Bi_2 , изменяет свой знак, а величина сопротивления, как уже указывалось, сильно возрастает. Это указывает на то, что отжиг приводит к изменению структуры пленки, вызывая постепенное образование соединения Мг — Вi со свойственной ему гетерополярной связью.

Термоэлектродвижущие силы в сплавах Мг — Вi

Для определения знака носителей тока полупроводниковых сплавов Мг — Вi мы исследовали термо-э.д.с. этих сплавов по отношению к меди. Для измерения термо-э.д.с. пластинка с нанесенной на ней пленкой укреплялась на специальном столике, который мог перемещаться при помощи микрометрического винта. На поверхность пленки опирались два медных термозонда с заостренными концами, прижимавшиеся к пленке.

пленке пружинами. Острия тщательно полировались, чтобы не вызвать повреждения пленки.

Разность температур между зондами создавалась нагревателями из никелиновой проволоки, намотанной на цилиндрическую часть зондов. Разность температур измерялась дифференциальной термопарой медь—константан, спай которой крепились в углублениях на остриях, на расстоянии 2 мм от края; э.д.с. дифференциальной термопары измерялась потенциометром ПТ-1. Величина термо-э.д.с. пары пленка—медь измерялась при помощи потенциометра ПИТВ-1. Передвигая пластинку с пленкой, можно было последовательно измерять термо-э.д.с. в различных местах пленки.

Предварительное измерение термо-э.д.с. на пленке чистых компонент Mg и Bi показало пригодность установки, так как полученные результаты совпадали с данными других авторов [14]. При толщинах пленок, превышающих для висмута 500 Å, а для магния 100 Å, термо-э.д.с. не зависит от толщины и по величине такая же, как у массивных материалов.

На рис. 6 представлен график зависимости термо-э.д.с. пленок от состава. По оси абсцисс отложены координаты точек пленки. Здесь же приведены расчетные значения концентраций в атомных процентах висмута. Резко выраженный максимум термо-э.д.с. приходится на то же место пленки, где наблюдаются максимумы прозрачности и сопротивления. По величине термо-э.д.с. достигает значений около $150 \mu\text{V град}^{-1}$.

Знак термо-э.д.с. в области максимума положительный. По мере увеличения концентрации висмута, с одной стороны, и магния, с другой,— величина термо-э.д.с. резко уменьшается, меняет знак и постепенно приближается к значению для чистых висмута и магния. Знак термо-э.д.с. оказывается положительным во всей полупроводниковой области концентрации. Это свидетельствует о дырочном характере проводимости полупроводниковых сплавов Mg—Bi. Характерно, что дырочной проводимостью обладают как сплавы с избытком магния, так и сплавы с избытком висмута.

Дырочный характер проводимости подтверждается также проведенным нами исследованием вольт-амперной характеристики контакта металл—пленка Mg—Bi.

Выводы

Описанные выше опыты показывают, что сплавы Mg—Bi вблизи стехиометрического состава Mg_3Bi_2 являются полупроводниками примесного типа. Само соединение Mg_3Bi_2 , как показывают оптические исследования, по своим свойствам близко к диэлектрику. Носителями тока в полупроводниковых сплавах Mg—Bi являются дырки, причем дырочный характер проводимости наблюдается при избытке любой из компонент. Тот факт, что температурный коэффициент сопротивления при низких температурах (ниже 25°) имеет металлический знак, может быть объяснен, если предположить, что акцепторные уровни примесей расположены настолько близко к верхнему краю заполненной зоны, что уже при низких температурах они оказываются занятыми электронами перебро-

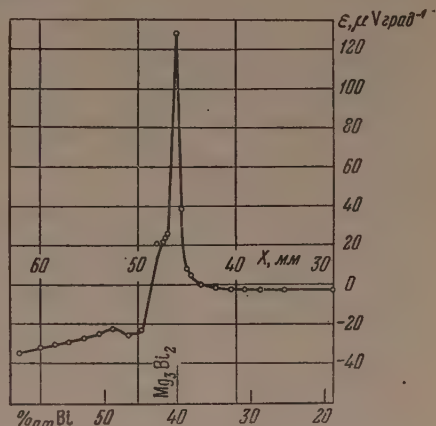


Рис. 6. Зависимость термо-э.д.с. от состава

шенными из этой зоны. Поэтому концентрация носителей тока (ды) остается постоянной, и температурный ход проводимости оказывается таинственным.

С методической точки зрения из наших опытов следует, что м. С. А. Векшинского хотя и не дает возможности определить некоторые важные величины, характерные для полупроводников (подвижность носителей и др.), но пригоден для целей предварительного быстрого исследования бинарных систем.

Кафедра физики
Уральского политехнического
института им. С. М. Кирова

Цитированная литература

1. Иоффе А. Ф., Юбилейный сборник, посвященный XXX годовщине Октябрьской революции, 1947.
2. Френкель Я. И., Введение в физику металлов, издание II. — Госиздтехн.-теор. лит., 1950.
3. Болтакс Б. И., Жузе В. П., ЖТФ, 18, 1459 (1948).
4. Moss T. S., Proc. Phys. Soc., 63B, 63 (1950).
5. Busch G., Hülliger F., Winkler U., Helv. Phys. Acta, 27, 195 (1954); 27, 249 (1954).
6. Векшинский С. А., Новый метод металлографического исследования сплавов. — Гостехиздат, 1944.
7. Мочан И. В., ЖТФ, 18, 1485, 1948.
8. Кикоин А. К., Федоров Г. Д., ДАН СССР, 92, 1163 (1953).
9. Куров Г. А., ДАН СССР, 94, 207 (1954); Куров Г. А. и Пинскер З. А., ДАН СССР, 94, 439 (1954).
10. Мочан И. В., ДАН СССР, 98, 579 (1954).
11. Болтакс Б. И., Жузе В. П., Изв. АН СССР, Серия физич., 16, 155 (1954).
12. Busch G., Junod P., Katz U., Winkler U., Helv. Phys. Acta. 27, (1954).
13. Trendelenburg F., Z. f. Angew. Chem., 66, 520 (1954).
14. Justi E., Kohler M., Lautz G., Z. f. Naturforsch., 6a, 456 (1951); 6a, (1951).

И. Г. ФАКИДОВ, Н. П. ГРАЖДАНКИНА и В. Н. НОВОГРУДСКИЙ

ЭЛЕКТРИЧЕСКИЕ СВОЙСТВА СПЛАВОВ МАРГАНЕЦ—ГЕРМАНИЙ

Введение

I. Среди многочисленных ферромагнитных соединений переходных металлов особое место занимают соединения марганца и хрома с элементами V и VI подгрупп периодической системы. Магнитные свойства таких соединений, как MnS , $MnTe$, $MnSb$, MnP , MnN , CrS , $CrTe$, $CrSb$ и др., отличаются рядом специфических особенностей, позволяющих отнести указанные соединения к классу ферримагнетиков.

Эти особенности, отличающие указанные соединения от ферромагнитных металлов и сплавов и роднящие их в определенном смысле с антиферромагнетиками, обусловлены одновременным сосуществованием ферромагнетизма и антиферромагнетизма в этих веществах. Кристаллическая решетка указанных соединений разбивается на две различные, в зависимости от типа кристаллической структуры, «магнитные» подрешетки с антипараллельной намагниченностью, однако в каждой из подрешеток магнитные моменты всех магнитноактивных ионов ориентированы параллельно друг другу. Отличная от нуля, результирующая самопроизвольная намагниченность кристалла в целом является следствием неэквивалентности магнитных моментов ионов переходного металла, расположенных в различных «магнитных» подрешетках. Существенную роль в этом играет косвенный характер обменного взаимодействия между электронными спинами различных ионов, т. е. ферромагнитное и антиферромагнитное состояние этих соединений определяется таким видом взаимодействия между магнитно-активными ионами, в котором существенная роль принадлежит магнитно-нейтральным ионам.

Таким образом, для уточнения условий возникновения ферро- и антиферромагнетизма особенно важным является решение вопроса о влиянии типа кристаллической решетки, ее параметров (и связанного с этим изменением характера химической связи) на магнитные свойства указанных сплавов. Наличие обменного взаимодействия спиновых магнитных моментов, приводящего к антиферромагнетизму в этих веществах, не может не сказаться на их электрических свойствах, подобно тому, как вызывает влияние на электрические свойства ферромагнетиков взаимодействие между внешними электронами (электронами проводимости) и внутренними электронами, играющими основную роль в ферромагнетизме.

Гем не менее нужно сказать, что электрические свойства указанных соединений до настоящего времени исследовались совершенно недостаточно. Вместе с тем комплексное изучение магнитных и электрических свойств этих веществ, наряду с изучением их структуры, представляет огромный интерес. В настоящей статье мы приводим лишь некоторые результаты проводимых нами более широких исследований электрических, пьезомагнитных, термоэлектрических, тепловых и магнитных свойств сплавов переходных металлов с элементами V и VI подгрупп периодической системы.

II. Исследование электрических свойств сплавов марганца с германием представляется важным по следующим двум причинам.

1. Сплавы марганца с германием как одним из представителей VI группы, так же как и соединения марганца с элементами VI подгруппы имеют одну и ту же кристаллическую структуру типа $Ni-As$, а по своим магнитным свойствам отличаются друг от друга: первые являются ферромагнетиками, а вторые — ферримагнетиками. В этом случае отличие однотипности кристаллической структуры на характер магнитного взаимодействия будут влиять лишь различия расстояний между атомами марганца и химическая природа магнитно-нейтральных атомов, от которых зависит характер косвенного обмена. Эти особенности в свою очередь не могут не оказать своего влияния на электрические свойства упомянутых сплавов.

2. Анализируя экспериментальные данные по структуре и магнитным свойствам сплавов марганца с элементами VI и V подгрупп периодической системы, Гийо [1] заметил, что антиферромагнитное взаимодействие в этих соединениях имеет место в том случае, когда расстояние между атомами марганца, расположенных в одной магнитной подрешетке (Mn_I), меньше, чем расстояние между ионами марганца (Mn_I-Mn_{II}), составляющих две различные подрешетки. Значение расстояний Mn_I-Mn_{II} при этом не должно превышать критическую величину $2,81 \text{ \AA}$, выше которой наступает ферромагнетизм.

По данным Кастелица [2], для сплава Mn_5-Ge_3 расстояние $Mn_{II}-Mn_I = 3,08 \text{ \AA}$, что говорит о невозможности появления антиферромагнитного взаимодействия в этом соединении. В связи с этим, наблюдая уменьшение магнитного момента Mn в соединении Mn_5Ge_3 ($M = 5$), не обусловливается взаимной компенсацией моментов двух магнитных подрешеток, а вызывается частичным заполнением $3d$ уровня Mn свободными электронами Ge , что, в свою очередь, должно привести к возникновению гетерополярных сил связи. Наличие даже слабо выраженных гетерополярных связей в этом соединении должно было бы резко сказаться на электрических свойствах сплава $Mn-Ge$ данного состава.

Обзор литературы

До последнего времени система $Mn-Ge$ исследовалась главным образом с целью выяснения ее фазовых и структурных особенностей. При этом большое внимание уделялось вопросу влияния германия на полиморфные превращения α -, β - и γ -марганца. Цвиккерт, Ян и Шуберт [3], исследовав диаграмму состояния системы $Mn-Ge$, установили, что при соотношении компонентов 23,8, 28,6, 37,5 и 40%_{ат} германия образуются четыре металлических соединения: $Mn_{3,25}Ge$, Mn_5Ge_2 , Mn_5Ge_3 и Mn_3Ge_2 . Обнаруженные им слабые максимумы на диаграмме состояния при температурах 920 и 932° соответствуют химическим соединениям Mn_5Ge_3 . Соединения $Mn_{3,25}Ge$ и Mn_3Ge_2 образуются путем перитодических превращений: Mn_3Ge_2 образуется при температуре 745° из расплава, содержащего 50,5%_{ат} Ge , а $Mn_{3,25}Ge$ при температуре 745° из γ -твердого раствора и расплава, содержащего 23,8%_{ат} Ge . Чистые химические соединения образуют друг с другом ряд эвтектик.

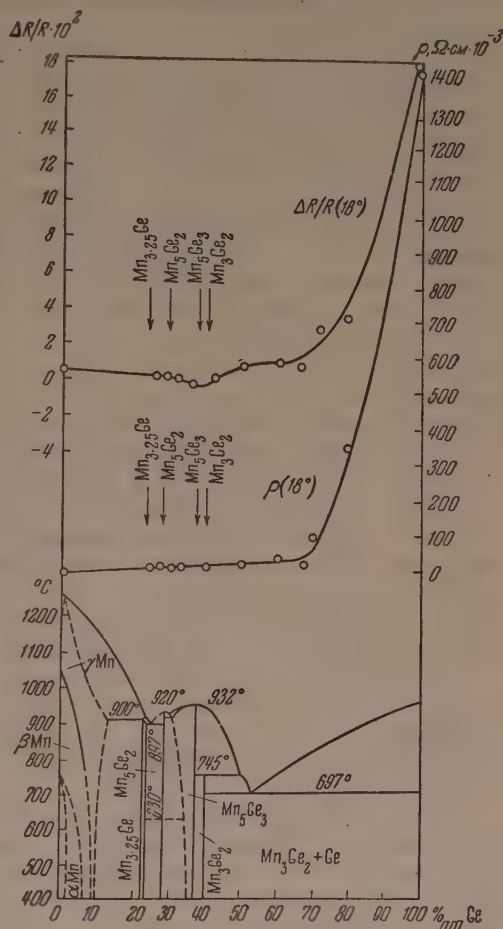
$Mn_{3,25}Ge$ и Mn_5Ge_2 при температуре 897° и 24,5%_{ат} Ge образуют эвтектику, которая легко распадается при закалке сплава в воде. Mn_5Ge_2 и Mn_5Ge_3 также образуют эвтектику, эвтектическая точка при этом лежит при температуре 915° и 29%_{ат} Ge . Эвтектика химического соединения Mn_3Ge_2 и германия образуется при температуре 637° и 52,5%_{ат} Ge . Что же касается возможности образования твердых растворов Mn_5Ge_3 с Mn_5Ge_2 и Mn_3Ge_2 , то до настоящего времени этот вопрос не выяснен. Установлено только, что Mn_5Ge_2 может образовывать

ые растворы с Mn_5Ge_3 , однако область их однородности очень мала при комнатных температурах.

Рентгеновским анализом было установлено, что соединение $Mn_{3,25}Ge$ имеет гексагональную, плотно упакованную решетку. Образцы, прошедшие длительную термическую обработку, обладают сверхструктурой. Соединение Mn_5Ge_2 имеет кристаллическую структуру Ni—As-типа. Высокотемпературный нагрев, так же как в соединении $Mn_{3,25}Ge$, приводит к образованию сверхструктуры. При помощи микроструктурного анализа было установлено, что при температуре 630° в соединении Mn_5Ge_2 происходит полиморфное превращение, в результате которого изменяется взаимная ориентация кристаллов. Образцы, закаленные при температурах выше температуры указанного превращения, отличаются от отожженных образцов однородной ориентацией кристаллов один относительно другого. Кристаллическая структура Mn_5Ge_3 , ранее считавшаяся структурой Ni—As-типа, действительно, как показал Кастелиц [2], является структурой типа $D8_8$, аналогично Mn_5Si_3 .

За исключением структурных особенностей системы Mn—Ge, физические ее свойства исследованы очень мало. Цвиккерт, и Шуберт [3] при исследовании диаграммы состояний этой

в. 1. Диаграмма состояний сплава Mn—Ge; зависимость удельного сопротивления и изменения сопротивления в магнитном поле от состава сплава



системы заметили, что низкотемпературная модификация Mn_5Ge_2 и соединение Mn_5Ge_3 сильно ферромагнитны. В связи с этим было высказано предположение, что фазы промежуточного состава между Mn_5Ge_2 и Mn_5Ge_3 , т. е. сплавы, лежащие в интервале концентраций $28,6 \div 37,5\%$ ат германия, должны быть, по-видимому, также ферромагнитны. Других ферромагнитных сплавов в этой системе не было обнаружено.

В более поздних работах Кастелица [4] исследуются магнитные свойства соединения Mn_5Ge_3 ; при этом были измерены температурная зависимость намагниченности в интервале температур $90 \div 193^\circ \text{K}$, определена температура Кюри ($\theta_f = 320^\circ \text{K}$) и магнитный момент марганца в исследуемом соединении ($M = 2,57 \mu\text{B}$).

Несмотря на то, что в литературе имеется указание на существование не одного ферромагнитного соединения (Mn_5Ge_2) и фаз прилегающего состава, однако, никаких данных по исследованию их магнитных и электрических свойств мы не нашли.

Приготовление образцов и методика измерений

Сплавы Mn—Ge различного химического состава были получены введением мелко истолченных и тщательно перемешанных порошков ганга и германия в откочанных и отпаянных кварцевых ампулах. В качестве исходного материала служил электролитический марганец следующего химического состава: Mn—99,8%, S—0,07%, C—0,07%, P—0,001%.

Для удаления газов и остаточных окислов марганец переплавлялся в высоком вакууме.

О чистоте применяемого нами германия можно судить по величине удельного электрического сопротивления, которое при температуре было равно $1,43 \Omega \cdot \text{см}$. Химический анализ германия показал следующие результаты: Ge > 99,972%; Si < 0,0004%; Al < 0,0004%; Fe < 0,001%; As < 0,001%.

Термический режим получения сплавов оказывал сильное влияние на их физические свойства. Согласно диаграмме состояний (см. рис. 1) температура плавления сплавов Mn—Ge различного химического состава (от 25,2 до 80%_{ат} Ge) лежит в интервале температур 930–850°. В соответствии с этим, термический режим получения сплавов был следующий: сплавы нагревались выше их температур плавления на 100° и выдерживались при этой температуре в течение 2 час, затем температура медленно снижалась, и при температурах ниже соответствующих точек плавления производилась выдержка в течение 3 час для гомогенизации сплава, после чего сплавы медленно охлаждались вместе с печью.

В результате было изготовлено и исследовано 12 сплавов различного состава: 25,2, 27,8, 30, 33,3, 40,8, 50, 60,4, 67,3, 69,2 и 80%_{ат} Ge. При этом все полученные сплавы Mn—Ge оказались ферромагнитными. Температуры Кюри для различных сплавов были различными. Было установлено, что температура Кюри для сплавов с содержанием германия до 33,3%_{ат} одинакова для всех сплавов указанного состава и лежит в интервале $+25^\circ$. Таким образом, ферромагнетизм сплавов указанных составов обусловлен наличием одной ферромагнитной фазы, по-видимому, Mn₃Ge₂.

Температура Кюри для сплавов с содержанием германия 37–80%_{ат} равна $+50^\circ$, что говорит о том, что носителем ферромагнетизма в данном интервале составов является соединение Mn₅Ge₃. Сплавы Mn—Ge с содержанием германия (выше 50%_{ат} Ge) имеют две точки Кюри: -185° и -12° .

Предположение о том, что в данном случае мы имеем дело с двумя ферромагнитными фазами, имеющими различные температуры Кюри, было оправдано. Исследования микршлифов* и микротвердости указанных сплавов показали, что все сплавы с содержанием германия от 30 до 80%_{ат} имеют всего лишь две структурные составляющие: германец и химическое соединение Mn₃Ge₂. Таким образом, ферромагнитное состояние указанных сплавов может быть обусловлено соединением Mn₃Ge₂ и имеет место лишь в ограниченном интервале температур — 185° – -12° , причем нижняя температурная граница существования ферромагнитного состояния отличается от 0°K и имеет конечное значение. Следовательно, в случае сплавов Mn—Ge с содержанием германия выше 50%_{ат} можно говорить о «высокотемпературном» и «низкотемпературном» магнитном превращении.

Измерения электрических свойств выполнялись на образцах, изготовленных путем вырезывания и шлифовки тонких пластин из соответствующих сплавов. Все измерения велись потенциометрическим методом на по-

* Состав травителя для сплавов, содержащих германия более 30%_{ат}, был следующий: 15 г хлорида железа (FeCl₃), 3 г тетрааммиаката хлористой меди (ICu(NH₄)₂Cl₂), 50 см³ соляной кислоты (HCl) и 25 см³ воды.

Сплавы, содержащие германия менее 30%_{ат}, травились 0,5%-ным раствором соляной кислоты в спирте.

ом токе. Для исключения ошибок, связанных с побочными эффектами, измерения сопротивления производились при двух направлениях компенсационного тока, а э. д. с. Холла определялась при двух направлениях магнитного поля и тока в образце. Максимальная напряженность магнитного поля при этом достигала 22000 Ое.

Результаты измерений и их обсуждение

Измерения электропроводности сплавов Mn—Ge были проведены нами в интервале температур $77 \div 400^\circ \text{K}$. При этом мы изучали изменение величины электропроводности и ее температурного коэффициента в зависимости от химического состава сплава, т. е. от количества германия, входящего в сплав. На рис. 1 и в таблице сопоставлены значения удельно-

Удельное электрическое сопротивление некоторых образцов Mn—Ge при температуре 18°

Состав образца				ρ , $\Omega \cdot \text{см} \cdot 10^{-4}$
%ат		%вес		
Mn	Ge	Mn	Ge	
100	0	100	0	3,8
74,8	25,2	69,17	30,83	4,2
72,18	27,82	66,25	33,75	5,4
70,0	30,0	66,8	36,2	6,8
66,74	33,26	60,28	39,72	7,9
59,21	40,79	52,34	47,66	13,7
50,0	50,0	43,1	56,90	237,0
39,75	60,35	33,2	66,8	342,0
32,66	67,34	26,84	73,16	116,0
31,8	69,2	25,19	74,81	1050,0
20,0	80,0	15,9	84,1	3510,0
0	100	0	100	14300,0

го электрического сопротивления и химический состав исследованных нами сплавов при температуре 18° . На этом же рисунке приведена зависимость изменения сопротивления в магнитном поле ($\Delta R/R$) от содержания германия в сплаве и диаграмма состояния Mn—Ge.

Из приведенной таблицы следует, что величина удельного электрического сопротивления сплавов Mn—Ge растет по мере увеличения германия. Причем этот рост становится более заметным, начиная с 40% ат германия, что может быть объяснено наличием германия в эвтектике $\text{Mn}_3\text{Ge}_2 + \text{Ge}$. Особенно резкое возрастание ρ с увеличением содержания германия происходит у сплавов, богатых германием (более 66,6% ат); в этом случае увеличение удельного электрического сопротивления пропорционально увеличению германиевой фазы. Более отчетливо это влияние германия на электропроводность исследуемых сплавов проявляется при изучении изменения электрического сопротивления в магнитном поле в зависимости от химического состава исследуемых сплавов, о чем будет сказано ниже (см. рис. 1).

Следует обратить особое внимание на характер зависимости удельного электрического сопротивления от химического состава в системе Mn—Ge в интервале концентраций $20 \div 40\%$ ат Ge. Абсолютная величина удельного электрического сопротивления этих сплавов близка к значению ρ чистого марганца ($3,8 \cdot 10^{-4} \Omega \cdot \text{см}$). Отсутствие отчетливых максимумов удельного электрического сопротивления на кривой зависимости ρ от состава, которые должны были бы соответствовать составам: $\text{Mn}_{3,25}\text{Ge}$, Mn_5Ge_2 , Mn_3Ge_3 и Mn_3Ge_2 , позволяет предположить, что мы имеем дело с соединениями, обладающими металлическим характером проводимости. Если бы

$\text{Mn}_{3,25}\text{Ge}$, Mn_5Ge_2 , Mn_5Ge_3 и Mn_5Ge_2 были типичными химическими соединениями с сильными ионно-гомеополярными связями, то отступление от точного стехиометрического состава должны были бы резко повысить электропроводность сплава, так как при этом изменение электропроводности обуславливалось бы изменением концентрации носителей тока. Изменение их подвижности играло бы здесь второстепенную роль. Таким образом, абсолютная величина удельного электрического сопротивления и ее зависимости от состава позволяют сделать заключение, что исследованные соединения имеют металлический характер проводимости.

С этим заключением согласуются и данные по температурному коэффициенту электрического сопротивления, хотя на первый взгляд исследованные соединения имеют отрицательный температурный коэффициент.

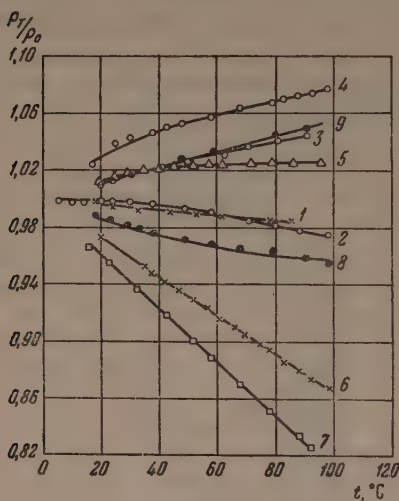


Рис. 2

Рис. 2. Температурная зависимость относительного электросопротивления ρ_T/ρ_0 сплавов Mn—Ge различного состава: 1—25,2%_{ат} Ge, 2—27,8%_{ат} Ge, 3—30%_{ат} Ge, 4—33,26%_{ат} Ge, 5—40,79%_{ат} Ge, 6—50%_{ат} Ge, 7—60,35%_{ат} Ge, 8—67,34%_{ат} Ge, 9—69,2%_{ат} Ge.

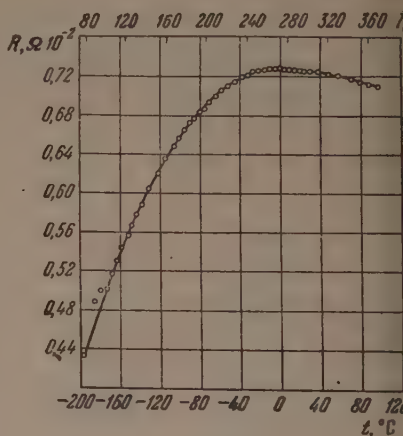


Рис. 3

Рис. 3. Температурная зависимость электросопротивления сплава Mn—Ge, содержащего 27,82%_{ат} Ge.

Исследованная нами температурная зависимость удельного электрического сопротивления сплавов Mn—Ge различного состава в интервале температур 273–400° K имеет довольно сложный характер. Как можно видеть из рис. 2, с изменением состава сплава четыре раза изменяется знак температурного коэффициента удельного электрического сопротивления ρ . Сплав, содержащий германия 25,2 %_{ат} имеет отрицательный знак: $\frac{1}{\rho_0} \cdot \frac{d\rho}{dT}$.

При увеличении германия до 30 %_{ат} происходит изменение знака: $\frac{1}{\rho_0} \cdot \frac{d\rho}{dT}$ на обратный, и в данном случае исследуемое вещество ведет себя как металл.

Начиная с 50–67,34 %_{ат} Ge, сплавы Mn—Ge в данном интервале температур имеют характерную для полупроводников температурную зависимость удельного электрического сопротивления с отрицательным знаком температурного коэффициента. У Mn—Ge, содержащего 69,2%_{ат} Ge, знак $\frac{1}{\rho_0} \cdot \frac{d\rho}{dT}$ снова изменяется на положительный. Картина значительно проясняется при исследовании температурной зависимости ρ в более широком температурном интервале.

Проведенные нами исследования температурной зависимости электропроводности в интервале температур $77-400^\circ\text{K}$ показали, что исследованные нами вещества по своим электрическим свойствам могут быть отнесены к классу полуметаллов.

На рис. 3 приведена зависимость $\rho = f(T)$ для сплава Mn-Ge, содержащего 27,82 %_{ат} Ge. Из этой кривой видно, что с изменением температуры от 77 до 400°K происходит изменение не только величины удельного электрического сопротивления, но при температуре $T = 0^\circ$ происходит изменение знака температурного коэффициента электропроводности. Образцы с содержанием германия 67,34 %_{ат} имеют отрицательный температурный коэффициент электропроводности также лишь в ограниченной области температур. С дальнейшим ростом температуры температурный коэффициент убывает, а затем изменяет свой знак при температуре -160° . Сплавы с содержанием германия 30, 33, 26 и 40, 79 %_{ат} имеют положительный температурный коэффициент электрического сопротивления, причем чрезвычайно малое значение $\frac{1}{\rho_0} \cdot \frac{d\rho}{dT}$ у сплава с содержанием Ge 40,79%_{ат} указывает на то, что в области температур 100—150° может произойти изменение знака $\frac{1}{\rho_0} \cdot \frac{d\rho}{dT}$. Подобная температурная зависимость наблюдалась ранее у PbS и Cr—S [5, 6].

Эти результаты позволяют сразу высказать естественное предположение, что исследованные вещества при низких температурах должны иметь электроны в полосе проводимости. Уменьшение электропроводности с ростом температуры обусловлено при этом, как и в металлах, изменением длины свободного пробега и эффективной массы носителей тока, т. е. изменением подвижности электронов проводимости. С повышением температуры концентрация носителей тока начинает возрастать, в результате электропроводность при высоких температурах определяется, как в полупроводниках, не только изменением подвижности электронов проводимости, но главным образом изменением их числа в полосе проводимости за счет внутренней тепловой ионизации. Эти особенности температурного хода электропроводности позволяют отнести исследованные вещества к классу так называемых полуметаллов.

Учитывая возможность получения при помощи гальваномагнитных эффектов важных сведений для выяснения механизма проводимости веществ, а также возможность использования этих эффектов в качестве чувствительного индикатора структурных состояний, представлялось интересным исследовать влияние напряженности магнитного поля на изменение электрического сопротивления в магнитном поле $\Delta R/R$ и постоянную Холла R для различных сплавов Mn-Ge.

В результате проведенных измерений выяснилась весьма характерная общая закономерность (рис. 4 и 1).

Сплавы, содержащие германия от 25,2 до 40,79 %_{ат}, имеют отрицательный знак эффекта изменения сопротивления в магнитном поле, т. е. они дают характерной только для ферромагнетиков зависимостью $\Delta R/R$ от H . У образцов, содержащих 50 %_{ат} германия и выше, $\Delta R/R > 0$ и зависимость изменения электрического сопротивления от напряженности магнитного поля квадратичная (в слабых полях), т. е. типичная для ферромагнитных проводников. Объясняется это, очевидно, тем, что в сплавах с большим содержанием германия гальваномагнитные эффекты определяются в основном чистым германием, который является одной из структурных составляющих сплава, а также входит во вторую составляющую — эвтектику из чистого германия и химического соединения Ge_2 . На это указывает также и то, что величина $\Delta R/R$ резко возрастает с увеличением концентрации германия, при этом знак эффекта изменения сопротивления в магнитном поле положителен независимо от взаимного расположения тока в образце и внешнего магнитного поля.

($\Delta R/R > 0$, как при $H \perp I$, так и при $H \parallel I$).

Сплавы Mn—Ge, содержащие 25,2 %_{ат}, 27,8, 30, 33,26 и 40,79 %_{ат} имеют одинаковые (отрицательные) знаки $\Delta R_{\perp}/R$ и $\Delta R_{\parallel}/R$, что можно объяснить влиянием парапроцесса, так как точка Кюри для всех сплавов лежит в области комнатных температур. Представленная на рис. 4 температурная зависимость $\Delta R_{\perp}/R$ сплава Mn—Ge с содержанием 33,26 % Ge является иллюстрацией вышесказанному. Как видно из приведенных кривых, температура Кюри этого сплава равна +25°, так как при этой температуре все кривые имеют резкий минимум. В связи с этим, уже отмечалось выше, особенности зависимостей $\Delta R_{\perp}/R$ и $\Delta R_{\parallel}/R$ от

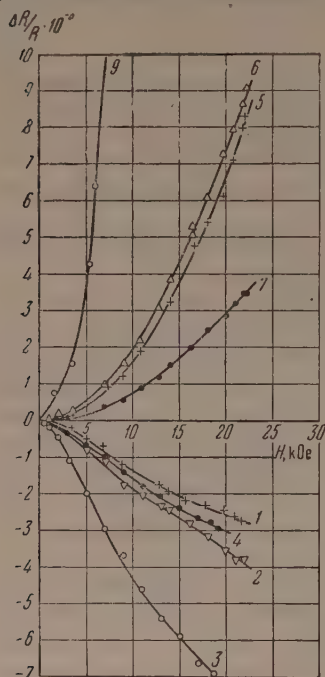


Рис. 4

Рис. 4. Изменение электросопротивления в поперечном магнитном поле сплавов Mn—Ge различного состава: 1—25,2%_{ат} Ge, 2—30%_{ат} Ge, 3—33,26%_{ат} Ge, 4—40,79%_{ат} Ge, 5—50%_{ат} Ge, 6—60,35%_{ат} Ge, 7—67,34%_{ат} Ge, 8—69,2%_{ат} Ge, 9—71,4%_{ат} Ge.

пряженности магнитного поля и температуры можно объяснить влиянием парапроцессов. Действительно, результаты измерений хорошо укладываются

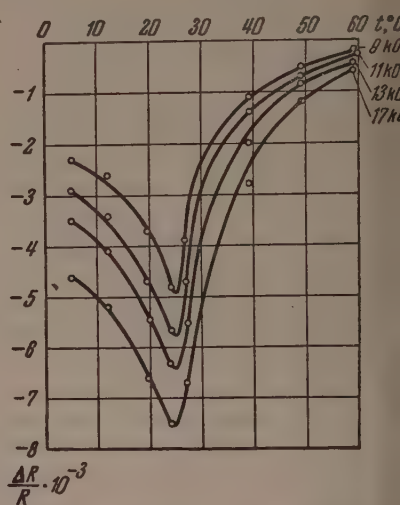


Рис. 5

Рис. 5. Температурная зависимость $\Delta R_{\perp}/R$ сплава Mn—Ge, содержащего 33,26% Ge.

ваются в характерные зависимости четных эффектов, относящихся к области парапроцесса. Согласно теории Акулова [7], мы имеем:

$$\frac{\Delta R}{R} = a H^{1/2} \text{ в точке Кюри,}$$

$$\frac{\Delta R}{R} = b H^2 \text{ выше точки Кюри,}$$

$$\frac{\Delta R}{R} = c H \text{ ниже точки Кюри.}$$

На рис. 6 в качестве примера представлены результаты сопоставления теоретических зависимостей (1), (2) и (3) с данными наших измерений.

Как видим, теоретическая кривая довольно хорошо воспроизводит ход экспериментальной (при этом $a = 1,13 \cdot 10^{-5}$, а $b = 0,98 \cdot 10^{-11}$).

Для того чтобы получить сведения о концентрации носителей тока и их подвижности на ряде образцов, был измерен эффект Холла, причем для вычисления концентраций носителей заряда исходили из предположения наличия носителей одного только знака, так как все исследованные нами образцы всегда обладали электронным характером проводимости как по знаку эффекта Холла, так и по знаку термоэлектродвижущей силы.

Кроме того, используя измеренные нами зависимости изменения сопротивления в магнитном поле ($\Delta R/R$), была произведена оценка подвижности носителей тока для данных, относящихся к слабым магнитным полям по известной формуле [6] для проводников с одним знаком носителей тока. Вычисленные таким образом значения подвижностей и концентраций носителей тока изменяются в зависимости от состава сплава Mn—Ge лежат в следующих пределах: $n = 1,3 \cdot 10^{17} \div 1,6 \cdot 10^{19} \text{ см}^{-3}$, $\mu = 400 \div 1700 \text{ см}^2 \text{ V}^{-1} \text{ сек}^{-1}$.

Выводы

Ввиду того, что данных для полного количественного анализа электрических свойств сплавов Mn—Ge еще недостаточно, целесообразно пока ограничиться регистрацией ряда особенностей электрических свойств исследованной системы, которые сводятся к следующему.

1. Установлено, что по абсолютной величине удельного электрического сопротивления ($10^{-4} \div 1,4 \text{ Ом} \cdot \text{см}$) исследованные вещества занимают промежуточное положение между металлами и полупроводниками. На основании анализа полученных зависимостей ρ и $\Delta R/R$ от химического состава сплава и температуры делается предположение о наличии металлического типа связей в соединениях: $\text{Mn}_{3,25}\text{Ge}$, Mn_5Ge_2 , Mn_5Ge_3 и Mn_3Ge_2 .

2. По знаку термоэлектродвижущей силы и эффекта Холла было установлено, что все исследованные вещества относятся к типу электронных проводников. Концентрация носителей тока в них лежит в пределах $10^{17} \div 10^{19} \text{ см}^{-3}$. Величина подвижности электронов проводимости порядка $400 \div 1700 \text{ см}^2 \text{ V}^{-1} \text{ сек}^{-1}$.

3. Температурные измерения электропроводности показали, что сплавы Mn—Ge по своим электрическим свойствам принадлежат к классу полуметаллов и в области температур $77 \div 400^\circ \text{ K}$ имеют постоянное число носителей электрического тока, энергия которых лежит в полосе проводимости.

4. Установлено, что в данной системе имеются три ферромагнитные фазы, соответствующие соединениям: Mn_5Ge_2 , Mn_5Ge_3 и Mn_3Ge_2 . Соединение Mn_3Ge_2 имеет две температуры ферромагнитного превращения: $\theta_1 = -185^\circ$ и $\theta_2 = -12^\circ$.

Авторы благодарны С. С. Левиной за помощь при изготовлении микрошлифов сплавов и измерении их микротвердости.

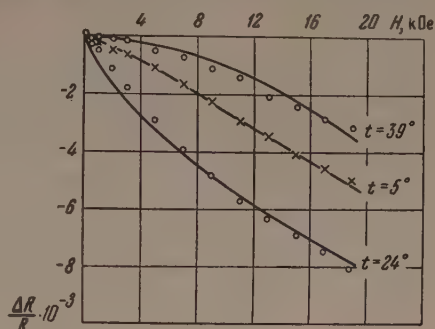


Рис. 6. Зависимость $\Delta R_{\perp}/R$ сплава, содержащего 33,26%_{ат} Ge, от напряженности магнитного поля при различных температурах. Сплошная кривая — теоретическая, точки — экспериментальные данные

Цитированная литература

1. Guillard Ch., C. R., 235, 468—70 (1952), Rev. Modern Phys., 25, 119 (1953).
 2. Castellir L., Z. Metallkunde, 46, 199 (1955).
 3. Zwi Eckert U., Jahn E., Schubert K. Z., Metallkunde, 40, 433 (1950).
 4. Castellir L., Mh. Chem., 82, 1059 (1951); 84, 765 (1953).
 5. Дунаев Ю. и Маслаковец Ю., ЖЭТФ, 17, 901 (1947).
 6. Факидов И. Г., Гражданкина Н. П., ДАН СССР, 63, 27 (1948).
 7. Акулов П. С., Ферромагнетизм, стр. 144, 158. — Гостехтеоретиздат, 1938.
 8. Seitz F., Phys. Rev., 79, 372 (1950).
-

Х. И. АМИРХАНОВ, Р. И. БАШИРОВ, А. З. ДАИБОВ
и И. М. ЦИДИЛЬКОВСКИЙ

ТЕРМОМАГНИТНЫЕ ЯВЛЕНИЯ В ПОЛУПРОВОДНИКАХ

(Краткое содержание доклада*)

С 1952 г. авторами исследовались термомагнитные явления у ряда полупроводников: сульфида, селенида, теллурида свинца, закиси меди, селенидов и теллуридов висмута, теллура, германия. Показано, что эффект Нернста — Эттингсгаузена позволяет вычислить подвижность носителей тока, выяснить, какой механизм рассеяния носителей тока (на акустических или оптических колебаниях решетки, на нейтральных или ионизованных примесях) доминирует в данной температурной области. Теоретически предсказан и экспериментально изучен новый термомагнитный эффект — продольно-поперечный. Подробно проанализированы случаи смешанной проводимости и показано, что эффект Нернста — Эттингсгаузена позволяет и в этом сложном случае получить сведения о величине и температурной зависимости подвижности носителей тока.

ПРЕНИЯ ПО ДОКЛАДУ Х. И. АМИРХАНОВА, Р. И. БАШИРОВА,
А. З. ДАИБОВА и И. М. ЦИДИЛЬКОВСКОГО

П. И. Баранский. — Какие имеются прямые и косвенные доказательства утверждения, что в исследованном Вами p -Ge при низких температурах проявлялось рассеяние на нейтральных примесных центрах? Применялся ли с этой целью метод меченых атомов?

И. М. Цидильковский. — Прямых доказательств наличия в образце нейтральных примесей, на которых рассеяние носителей тока может стать при низких температурах преобладающим, у нас нет: меченых атомов мы не имели в своем распоряжении. Наши доказательства преобладания рассеяния носителей тока на нейтральных центрах в p -Ge при низких температурах основываются на следующих фактах: при понижении температуры ниже 160°K подвижность дырок, определенная по эффекту Холла, почти не изменяется, а поле Нернста — Эттингсгаузена асимптотически приближается к нулю. А так как в проводимости при столь низких температурах в германии участвует один вид носителей тока (дырки), то аннулирование эффекта Нернста — Эттингсгаузена может иметь место лишь при $n \rightarrow 1$ (n — показатель степени в зависимости длины свободного пробега носителя тока l от скорости v : $l \approx v^n$). Оба эти факта согласуются в хорошем соответствии с известной формулой Эргинзоя для рассеяния на нейтральных центрах. Кроме того, концентрация нейтральных центров, оцененная по формуле Эргинзоя для подвижности, по меньшей мере на порядок больше, чем концентрация ионизованных примесей, оцененная по эффекту Холла. Предположение о преобладающем рассеянии на ионизованных примесях должно быть отвергнуто, во-первых, потому, что эффект Нернста — Эттингсгаузена должен при этом быть отрицательным, во-вторых, удельное сопротивление образца, рассчитанное по формуле Конвелла — Майскофа, оказывается значительно меньшим, чем экспериментально измеренное сопротивление.

П. В. Мочан. — Вы объясняете низкотемпературную отрицательную область эффекта Нернста — Эттингсгаузена в n -Ge рассеянием на ионах примеси. Но при концентрациях ионизованных центров $\sim 10^{14} \text{ см}^{-3}$ подвижность электронов, вычисленная

* Основные результаты доклада опубликованы в ДАН СССР, 98, 557 (1954); ДАН СССР, 102, 737 (1955), ЖТФ, 25, 742 (1955); Баширов Р. И., ЖТФ, 26, 195 (1956).

по формуле Конвелла — Вайскопфа, на один — два порядка отличается от значений подвижности, полученных из эффекта Холла. Как согласовать Ваше объяснение с этим фактом?

И. М. Ц и д и л ь к о в с к и й. — Низкотемпературную отрицательную область поля Нернста — Эттингсгаузена в n -Ge мы объясняем не «чистым» рассеянием ионизованных центров примеси, а лишь преобладанием этого вида рассеяния над другими. Мы считаем, что в исследованных образцах при $T \geq 130^\circ \text{K}$ рассеянием носителей тока на тепловых колебаниях решетки (а возможно, и на нейтральных атомах примеси) нельзя пренебречь по сравнению с рассеянием на ионах примеси. Такое положение основывается на том обстоятельстве, что при $120^\circ \text{K} < T < 210^\circ \text{K}$ подвижность электронов не подчиняется еще закону $U \approx T^{3/2}$, а продолжает расти с понижением температуры, но слабее, чем по закону $U \approx T^{-3/2}$, справедливому при высоких температурах. Поэтому нельзя ожидать количественного соответствия между экспериментальными данными и теорией, учитывающей лишь рассеяние на ионах примеси. Что же касается знака эффекта Нернста — Эттингсгаузена, то, как следует из расчета Ю. Н. Образцова, он должен менять знак с положительного на отрицательный при температурах, в несколько раз превышающих температуру, где подвижность электронов максимальна, т. е. где закон $U \approx T^{3/2}$ сменяется законом $U \approx T^{-3/2}$. Таким образом, эффект Нернста — Эттингсгаузена является более чувствительным индикатором рассеяния носителей тока на ионизованных атомах примеси, чем температурная зависимость подвижности. В связи с изложенным, нам представляется возможным объяснить низкотемпературную отрицательную область эффекта Нернста — Эттингсгаузена привлечением новых видов рассеяния.

В. А. ЖИДКОВ и В. Е. ЛАШКАРЕВ

НОВЫЙ ВИД ТЕРМИЧЕСКИХ АКЦЕПТОРОВ В ГЕРМАНИИ

Электрические свойства германия, подвергнутого термической обработке при температуре свыше 500° с последующей закалкой, изменяются за счет появления акцепторных центров. Равновесная концентрация этих центров в зависимости от температуры термообработки изучалась многими авторами (например [1]).

В интервале температур $500 \div 750^\circ$ зависимость логарифма концентрации от обратной температуры линейная (рис. 1, 1), что выражает закон

$$N_a = N_0 e^{-\frac{E}{kT}},$$

где $N_0 = 5,5 \cdot 10^{21} \text{ см}^{-3}$, $E = 1,25 \text{ eV}$, по данным С. Г. Калашникова и В. В. Остробородовой [1]. Акцепторные уровни расположены примерно на $0,05 \text{ eV}$ выше заполненной зоны [2].

Майбург и Ротонди [3] производили термическую обработку путем пропускания постоянного тока непосредственно через германий. Концентрация термодырок измерялась по сопротивлению при температуре сухого льда.

Образцы подвергались 40-часовому отжигу при 635° , что приводило к значительному уменьшению концентрации термодырок. Зависимость логарифма концентрации от обратной температуры в интервале температур $790 \div 880^\circ$ линейная (рис. 1, 2), что соответствует $N_0 = 1 \cdot 10^{24} \text{ см}^{-3}$, $E = 2,15 \text{ eV}$.

В наших опытах термическая обработка германия производилась путем пропускания постоянного тока через образец размерами $1,5 \times 2,5 \times 13 \text{ мм}$, ко-

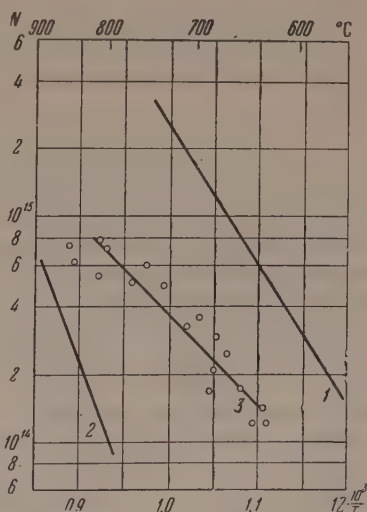


Рис. 1. Равновесная концентрация термических акцепторов в зависимости от температуры обработки: 1 — данные Калашникова и Остробородовой [1], 2 — данные Майбурга и Ротонди [3], 3 — настоящая работа

торый зажимался между танталовыми электродами. К средней части образца прижимались вольфрамовые зонды для измерения сопротивления и эффекта Холла. Образец прогревался в вакуумной камере, окруженной стенками дьюара, в который заливался жидкий азот. Это создавало условия для получения высокого вакуума (до $1 \cdot 10^{-7} \text{ мм рт. ст.}$) и уменьшало возможность загрязнения образца от примесей, могущих попасть со стенок камеры. Устройство помещалось между полюсами электромагнита, дававшего поле 1500 Ое .

Термическая обработка производилась при непрерывной откачке. Температура образца измерялась по удельному сопротивлению в области собственной проводимости на основе литературных данных [4]. Ошибки в измерении температуры в области высоких температур не превышали $\pm 10^\circ$. Отсутствие влияния теплоотвода электродами на среднюю часть образца было установлено путем измерения связи между температурой образца, определяемой по удельному сопротивлению и выделяемой на одной из частей образца мощностью. Температура в интервале $400 \div 900^\circ$ задавалась с большой точностью пропорциональной корню четвертой степени из выделяемой мощности. Закалка осуществлялась выключением тока, в результате чего образец охлаждался излучением до температуры ниже красного каления за несколько секунд.

Концентрация термодырок определялась по эффекту Холла. Прибор позволял производить измерения при различных температурах. Температура измерения определялась при помощи термопары вольфрам—молибден, спай которой прижимался к образцу. Для точных измерений температурной зависимости концентрации термодырок образец извлекался из прибора и помещался в специальное приспособление, обеспечивающее постоянство и точное измерение температуры.

Достижение равновесной концентрации термоакцепторов устанавливалось по прекращении ее изменения в результате последующих прогрева при той же температуре. Производилось измерение равновесной концентрации термоакцепторов в зависимости от температуры обработки.

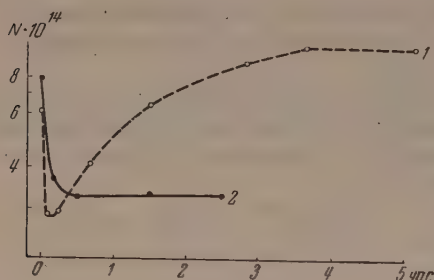


Рис. 2. Ход отжига после высокотемпературной обработки: 1 — отжиг при 680° после 1,5 час обработки при 800° ; 2 — отжиг при 708° после 4 час обработки при 800° .

В области температур $520 \div 740^\circ$ полученные результаты согласуются с данными С. Г. Калашникова и В. В. Остробородовой [1], хорошо воспроизводятся как при повышении, так и при понижении температуры. Величина может меняться более чем в два раза на одном и том же образце в зависимости от различных начальных условий (например, касания руками к образцу без последующей очистки травлением перед монтажом в прибор). Постоянная Холла не меняется от комнатной температуры до 120° , если температура обработки не лежит близко от температуры перехода данного образца из электронного типа проводимости в дырочный. Это показывает малую высоту залегания термических акцепторов, следствием чего является их полная ионизация при довольно низкой температуре. Измеренная по эффекту Холла концентрация носителей представляет собой разность (в дырочном германии) концентраций термоакцепторов и первоначально имевшихся в образце доноров.

При прогреве образца выше 740° наблюдается отклонение равновесной концентрации носителей от прямой 1 тем более, чем выше температура обработки. Если перейти к отжигу при $620 \div 720^\circ$ после прогрева при высокой температуре, то равновесная концентрация зависит от его длительности (рис. 2).

Образец 1, прогретый при высокой температуре менее 2—3 час, показывает в первые 10 мин отжига резкое падение концентрации, которое затем сменяется медленным ростом, и через некоторое время устанавливается

равновесная концентрация, близкая к концентрации при той же температуре в отсутствие предварительной высокотемпературной обработки.

В образце 2, прогретом при высокой температуре более 4—6 час, концентрация термодырок при отжиге монотонно уменьшается. Равновесная концентрация термодырок, измеренная при комнатной температуре, экспоненциально зависит от температуры отжига в интервале $620 \div 840^\circ$. Прямая 3 на рис. 1 соответствует $N_0 = 3,8 \cdot 10^{18} \text{ см}^{-3}$, $E = 0,79 \text{ eV}$. Явление обратимо и не зависит от последовательности во времени температур отжига. Если прогреть такой образец после перемонтажа, то в нем снова появляется большая концентрация термодырок и опять необходим длительный высокотемпературный отжиг, чтобы ее уменьшить.

Для выяснения механизма происходящих процессов был проведен следующий опыт. После высокотемпературного прогрева в течение 1 часа направление тока, проходящего через образец, было изменено. Начавшееся уменьшение концентрации термодырок сменилось ее возрастанием.

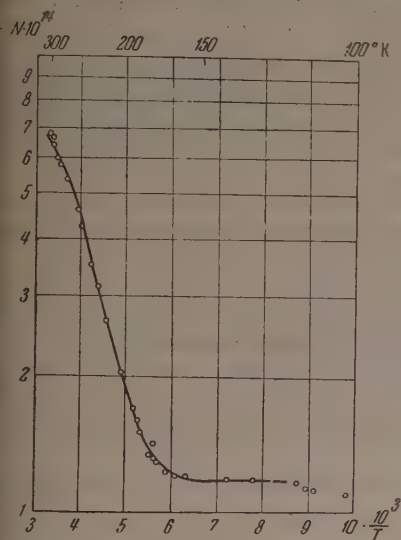


Рис. 3. Температурная зависимость концентрации термодырок

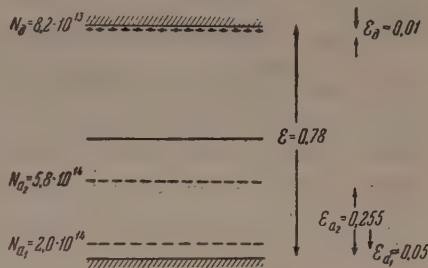


Рис. 4. Энергетическая структура термически обработанного германия

Отжиг после высокотемпературного прогрева переменным током всегда идет по типу кривой 2 рис. 2.

Можно предположить, что в процессе уменьшения концентрации термодырок в результате прогрева постоянным током основную роль играет электролитическое удаление из образца примесей, ответственных за термическое превращение. Удаление примесей путем испарения значительно меньше. При высокой температуре примесь находится в виде ионов, которые под действием поля перемещаются к краю образца. Знак заряда ионов будет в дальнейшем определен. Чтобы получить уменьшение равновесной концентрации термоакцепторов при отжиге, мало вывести эту примесь за пределы средней части образца, необходимо еще время, чтобы продвинуть примесь на самый край образца, или, возможно, даже удалить ее через электрод. В противном случае при понижении температуры примесь диффундирует в обратном направлении.

Очищенные высокотемпературным прогревом электрическим током образцы показывают сильную зависимость концентрации термодырок от температуры уже при комнатной температуре. О различии их концентраций при комнатной температуре и температуре сухого льда упоминается Майбургом [5]. Нами это явление исследовано подробно. На рис. 3 для одного из образцов дана температурная зависимость концентрации термодырок, измеренная по эффекту Холла.

Для объяснения такого температурного хода концентрации предположено, что при данной термической обработке выявляются новые акцеп-

торные уровни высокого залегания. Энергетическая схема полупроводника дана на рис. 4. «Полка» в температурном ходе концентрации означает полную ионизацию акцепторных уровней низкого залегания, так же как и не начавшуюся ионизацию акцепторов высокого залегания. Концентрация дырок в этом интервале температур определяет разность $N_{a_1} - N_{a_2}$. Анализ данных, проведенный графическим методом [6], с использованием численных данных работы [4] показал, что при соответствующем подборе значений концентрации N_{a_2} акцепторных уровней и их высоты над запрещенной зоной \mathcal{E}_{a_2} можно добиться удовлетворительного прохождения теоретически построенной кривой через экспериментальные точки, как показано на рис. 3. Энергия определяется главным образом по температуре, с которой начинается ионизация акцепторных уровней высокого залегания. Концентрация определяется по различию в значениях концентрации термодырок при ненаблюдавшейся и закончившейся ионизации этих уровней. Таким образом, для описания кривой такого вида требуется подбор только двух параметров, причем для приведенной кривой $\mathcal{E}_{a_2} = 0,255$ eV и $N_{a_2} = 5,8 \cdot 10^{14}$ см⁻³ (рис. 4). Такая величина энергии активации приводит к почти полной ионизации этих уровней при комнатной температуре (для описываемого образца свыше 90%). При более низкой концентрации акцепторных уровней высокого залегания полная их ионизация наступит раньше.

Точность определения энергий активации зависит от точности измерений и оценивается $\pm 0,01$ eV. Точность определения концентрации сильно зависит от ее величины, так как при малых концентрациях существенно рано начинает сказываться собственная проводимость, а обработка данных в этой области требует предположений о величине подвижности. Для образца рис. 3 точность определения концентрации оцениваем $\pm 10\%$.

Различие между нашими данными и данными Майбурга, как оказалось, связано с наличием термоакцепторов высокого залегания. Прямая 2 (рис. 1) измерена Майбургом при температуре сухого льда, а прямая 3 измерена нами при комнатной температуре. Вообще говоря, обе эти прямые не зависят от зависимости концентрации термоакцепторов от температуры обработки. Значения концентраций термоакцепторов низкого залегания лежат на прямой 2. Прямая 3 примерно соответствует сумме концентраций термоакцепторов низкого и высокого залегания вследствие почти полной ионизации последних при комнатной температуре.

В тех случаях, когда образец после термообработки вынимался из прибора, на нем определялось время жизни сторонних носителей. Оно вычислялось по диффузионной длине, определяемой известным световым методом с соблюдением критериев, установленных в работе [7].

Измерение времени жизни сторонних носителей в образцах, не подвергавшихся предварительной высокотемпературной обработке, показывало, что термические акцепторы низкого залегания являются центрами захвата с поперечным сечением $2 \cdot 10^{-17}$ см², что совпадает с данными С. Г. Лашникова и В. В. Остробородовой [8]. В образцах, прогретых перед отбором, долгое время при высокой температуре, время жизни остается малым, несмотря на уменьшение концентрации термоакцепторов, что говорит о появлении центров с большим поперечным сечением захвата. Эти центры мы считаем акцепторы высокого залегания. Можно оценить эффективное сечение захвата, если считать, что вероятность рекомбинации пропорциональна концентрации термоакцепторов высокого залегания:

$$\frac{1}{\tau} = v_T N_{a_2} S_{a_2}.$$

Сечение захвата рассчитывалось для тепловой скорости дырки при комнатной температуре $v_T = 10^7$ см сек⁻¹. В таблице приведены данные для четырех образцов.

Для двух образцов, энергетическая структура которых получена из обработки данных по температурному ходу концентрации термодырок, приведены величины сечения, для двух других оценен нижний предел сечения захвата по измерениям концентрации термодырок при

$N_{a_2}, \text{ см}^{-3}$	$\tau, 10^{-8}, \text{ сек}$	$S_{a_2}, \text{ см}^2$
$2,2 \cdot 10^{13}$	13,5	$3,3 \cdot 10^{-16}$
$5,8 \cdot 10^{14}$	0,3	$5,5 \cdot 10^{-16}$
$< 5,4 \cdot 10^{14}$	0,8	$> 2,3 \cdot 10^{-16}$
$< 7,2 \cdot 10^{14}$	0,7	$> 1,9 \cdot 10^{-16}$

сомнатной температуре. Сечение захвата для термоакцепторов высокого залегания более чем на порядок выше сечения захвата для термоакцепторов низкого залегания.

Выводы

1. Высокотемпературный прогрев германия постоянным током производит электролитически частичную очистку образца от примесей, ответственных за термическое превращение.
2. Такой прогрев позволяет выявить в германии уровни, расположенные на $0,25 \pm 0,01 \text{ eV}$ от верха заполненной зоны.
3. Эти уровни обладают акцепторными свойствами, их концентрация существенно зависит от температуры.
4. Эти акцепторные уровни являются эффективными центрами рекомбинации сторонних носителей.

Институт физики Академии наук
УССР

Киевский гос. университет
им. Т. Г. Шевченко

Цитированная литература

- Калашников С. Г., Остробородова В. В., ЖТФ, 25, 1163 (1955) (там же приведена библиография).
 Baum R., Hung S., Phys. Rev., 88, 134 (1952).
 Mayburg S., Rotondi L., Phys. Rev., 91, 1015 (1953).
 Morin F., Maita J., Phys. Rev., 94, 1525 (1954).
 Mayburg S., Phys. Rev., 95, 38 (1954).
 Шокли В., Теория электронных полупроводников, гл. 16—М., ИЛ, 1953.
 Рашба Э. И., Толдыго К. Б., Укр. фізич. журн. 1, 29 (1956).
 Калашников С. Г., Остробородова В. В., ЖТФ, 25, 1168 (1955).

В. Е. КОСЕНКО

ДИФФУЗИЯ СУРЬМЫ И ЦИНКА ИЗ ПАРОВОЙ
ФАЗЫ В ГЕРМАНИИ

Диффузия различных химических элементов в германии может быть одним из способов введения в него примеси.

Варьируя концентрацию диффундирующего элемента на поверхности кристалла, температуру и время диффузионного отжига, можно получить различное распределение примеси на разной глубине от поверхности. Это позволяет получать $n-p$ -переходы и исследовать их свойства при различных концентрациях и градиентах примеси. Снимая шлифовкой и травлением тонкие слои с кристалла германия с известным распределением примеси по его глубине, можно изучить поверхностные свойства германия на одном кристалле в зависимости от концентрации определенной примеси.

В предпринятом нами исследовании диффузии сурьмы и цинка из паровой фазы в германии мы ставили своей задачей определение следующих параметров.

- 1) возможно точное нахождение коэффициента диффузии и ее энергии активации;
- 2) определение граничной концентрации C_0 и ее зависимости от концентрации диффундирующего элемента в паровой фазе C_n ;
- 3) определение температурной зависимости граничной концентрации C_0 ;

- 4) определение критических концентраций $C_n^{кр}$, при которых наблюдается образование на поверхности кристалла жидкой фазы сплава.

Для исследования диффузии мы выбрали метод радиоактивных индикаторов. В качестве диффундирующих элементов применялись радиоактивная сурьма Sb^{124} с периодом полураспада 60 дней и радиоактивный цинк Zn^{65} с периодом полураспада 250 дней.

Для опытов были использованы образцы монокристаллов германия в виде плоских дисков толщиной 0,5—1 мм и диаметром 6—8 мм. Плоские стороны образцов полировались, отжигались при температуре 850° в течение 30—40 час в вакууме, затем травлением в кипящем пергидроле с которого снимался слой толщиной не менее 100 μ .

Последнее делалось для того, чтобы удалить слой монокристалла, в котором смогли остаться нарушения кристаллической решетки, вызванные механической обработкой образцов.

Радиоактивная сурьма перегонялась в вакууме в кварцевой пробирке. Сурьма в виде налета на кусочках пробирки в дальнейшем использовалась для диффузии. Таким же образом готовился и радиоактивный цинк.

Образцы германия и навеска сурьмы (на кварце) помещались в кварцевую ампулу, которая откачивалась до вакуума 10^{-5} мм рт. ст., обезгаживалась при этом вакууме в течение 2 час при температуре 200° и, наконец, запаивалась. Количество введенной в ампулу сурьмы определялось по радиоактивности, измеренной на счетчике Б-1 (счетная установка Б) путем сравнения ее активности с активностью точно взвешенной навески препарата, помещенной в кварцевую ампулу. В дальнейшем ампулы отжигались при температурах 750, 800, 875 и 925° в течение 24—12 час. П

тих температурах сурьма полностью переходила в пар. В этом можно было убедиться, конденсируя сурьму посредством быстрого локального охлаждения то в одном, то в другом конце ампулы и сравнивая активность в месте конденсации сурьмы с полной активностью ампулы. Концентрации сурьмы в паровой фазе C_p в разных опытах лежали в пределах $10^{15} \div 10^{17} \text{ см}^{-3}$. При извлечении ампул из печи были приняты меры, обеспечивающие конденсацию паров сурьмы на стенке ампулы, противоположной месту нахождения образцов, что предохраняло их от конденсации на них сурьмы. Для определения концентрации сурьмы на различной глубине от поверхности монокристалла с последнего травлением в кипящем пергидроле снимались слои, толщина которых определялась взвешиванием образцов на микроаналитических весах.

Специальными опытами было показано, что травление происходило равномерно по поверхности образцов. Последовательно снимались тонкие (3μ) и «толстые» ($5-8 \mu$) слои германия. Содержание сурьмы в каждом тонком слое определялось по разности активности образца до и после травления. Время счета активности и фона выбиралось таким, чтобы статистическая ошибка при определении активности снятого слоя не превышала 6%.

Сравнение с активностью эталона в виде точно взвешенной навески сурьмы позволяло определить концентрацию сурьмы в слое.

Предполагалось, что через некоторое время после начала диффузионного отжига концентрация сурьмы под поверхностью образца достигает некоторого установившегося значения C_0 . В этом случае диффузионная задача описывается уравнением

$$C(x, t) = C_0 \left[1 - \operatorname{erf} \left(\frac{x}{2\sqrt{Dt}} \right) \right], \quad (1)$$

$$\operatorname{erf} \left(\frac{x}{2\sqrt{Dt}} \right) = \frac{2}{\sqrt{\pi}} \int_0^{x/2\sqrt{Dt}} e^{-y^2} dy \quad (2)$$

— глубина диффузии).

Температурная зависимость коэффициента диффузии D дается формулой

$$D = D_0 e^{-E/RT}, \quad (3)$$

где T — абсолютная температура, R — газовая постоянная.

Для проверки применимости высказанного предположения был применен метод наложения стандартной кривой, пригодный во всех тех случаях, когда после преобразования функциональной зависимости двух переменных к безразмерным величинам в ней не остается параметров, подлежащих определению. Метод в данном случае сводится к следующему. На кальку в логарифмическом масштабе наносится график вспомогательной функции $\eta = 1 - \operatorname{erf} \xi$, который и является стандартной кривой. Если нанести на чертеже в том же логарифмическом масштабе на оси абсцисс измеренные значения $\lg x$, а по оси ординат $\lg C$, то в случае применимости уравнения (1) экспериментальные точки могут быть совмещены со стандартной кривой путем перемещения последней параллельно осям координат. Тогда на оси $\lg C$ осью $\lg \xi$ отсечется величина $\lg C = \lg C_0$, что определит граничную концентрацию C_0 . Точка пересечения оси ординат стандартной кривой с осью $\lg x$ определит точку x_1 , для которой $\xi = 1$, т. е.

$$\xi = \frac{x_1}{2\sqrt{Dt}} = 1,$$

откуда может быть определен коэффициент диффузии

$$D = \frac{x_1^2}{4t}.$$

Рис. 1 иллюстрирует примененный метод. Пунктиром обозначены координатные оси η и ξ стандартной кривой. Последняя проведена сплошной линией. Экспериментальные точки обозначены кружками. При этом оказалось $C_0 = 2,7 \cdot 10^{18} \text{ см}^{-3}$, $x_0 = 60 \mu$, вычисленный коэффициент диффузии

$$D = 2,0 \cdot 10^{-10} \text{ см}^2 \text{сек}^{-1}.$$

В этом опыте температура диффузионного отжига была 875° , длительность — 12,5 час. Концентрация атомов сурьмы в паре $C_{\text{п}} = 1,40 \cdot 10^{16} \text{ см}^{-3}$

т. е. приблизительно в 20 раз меньше, чем граничная концентрация C_0 . Зависимость коэффициента диффузии от температуры

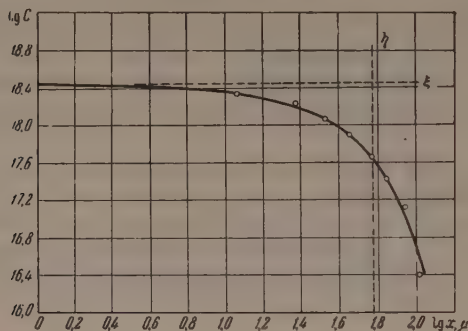


Рис. 1

Рис. 1. Определение коэффициента диффузии и граничной концентрации сурьмы в германии при помощи стандартной кривой

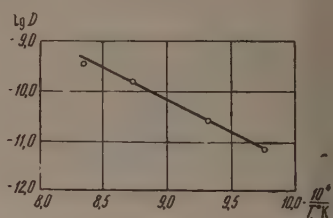


Рис. 2

Рис. 2. Температурная зависимость коэффициента диффузии сурьмы в германии

температуры может быть найдена обычным методом по наклону прямой на графике

$$\lg D = f\left(\frac{1}{T}\right).$$

Из этого графика вычислены энергия активации диффузии, оказавшаяся равной $E = 53 \text{ ккал моль}^{-1}$, и по уравнению (3), $D_0 = 1,4 \text{ см}^2 \text{сек}^{-1}$. Окончательное выражение для коэффициента диффузии сурьмы из парной фазы в монокристаллической германии получилось в форме

Таблица 1

Температурный интервал диффузии	D_0	E , кал моль	Источник
750 ÷ 925°	1,4	53000	Наши результаты
710 ÷ 905°	0,71	51000	Фуллер [1]
	10	57000	Дунлап и Браун [2]

$$D = 1,4e^{-\frac{53000}{RT}}.$$

В табл. 1 приведены значения коэффициента диффузии сурьмы в твердой фазе, полученные другими авторами.

Как видно из табл. 1, наши результаты заметно не отличаются от значений D_0 и E , полученных при диффузии сурьмы из твердой фазы.

Обращает на себя внимание связь между C_0 и $C_{\text{п}}$ и зависимость их отношения $C_0/C_{\text{п}}$ от температуры и $C_{\text{п}}$. Эти данные приведены в табл. 2.

Из табл. 2 видно, что C_0 мало зависит от концентрации атомов сурьмы в паре. Далее, $C_0/C_{\text{п}}$ заметно растет с понижением температуры диффузии и может достигнуть значения многих тысяч (наблюдалось до 1700). При некоторых концентрациях начинается образование жидкой фазы сурьмы — германий на поверхности кристаллов. Образующаяся пл

ка жидкой фазы собирается в капли тем большей величины, чем выше концентрация $C_{\text{п}}$. Мы нашли, что в пределах исследованных нами температур образование жидкой фазы сплава сурьма—германий начинается с концентрации сурьмы $C_{\text{п}} = 10^{17} \text{ см}^{-3}$. Что касается критических значений C_0 , при которых начинается образование жидкой фазы сплава, то, например, при $t = 750^\circ$ оно достигает $4 \cdot 10^{19} \text{ см}^{-3}$, т. е. 1 атом Sb на 10^3 атомов германия. Трудно допустить, чтобы столь малая концентрация сурьмы (0,1% ат) могла понижать температуру плавления германия на 210° . Приходится предположить, что определенная из

Таблица 2

№ образцов	Температура диффузионного отжига, $^\circ\text{C}$	$C_{\text{п}}$, атом см^{-3}	C_0 , атом см^{-3}	$C_0/C_{\text{п}}$
20	925	$9,6 \cdot 10^{16}$	$4,0 \cdot 10^{18}$	45
21	925	$1,4 \cdot 10^{16}$	$2,5 \cdot 10^{18}$	200
22	925	$3,3 \cdot 10^{15}$	$2,75 \cdot 10^{18}$	850
18	875	$7,4 \cdot 10^{16}$	$5,9 \cdot 10^{18}$	800
15	875	$3,7 \cdot 10^{16}$	$3,2 \cdot 10^{18}$	100
16	875	$1,4 \cdot 10^{16}$	$2,7 \cdot 10^{18}$	200
26	750	$9,2 \cdot 10^{16}$	$5,9 \cdot 10^{19}$	600
27	750	$2,5 \cdot 10^{16}$	$4,7 \cdot 10^{19}$	2000
28	750	$2,4 \cdot 10^{15}$	$4,0 \cdot 10^{19}$	17000

опытов по диффузии граничная концентрация значительно меньше концентрации атомов сурьмы, связанных непосредственно с поверхностным слоем германия.

Из диаграммы состояния сплава сурьма—германий [3] видно, что образование жидкой фазы этого сплава при температуре 750° происходит при содержании сурьмы около 60% ат. Очевидно, на поверхности кристалла германия в тонком слое образуется сплав с сурьмой с содержанием последней в несколько десятков процентов.

Из-за весьма малой толщины этого слоя трудно выяснить точное содержание в нем сурьмы, а также его состояние при изменении температуры диффузии. В пользу существования такого слоя, кроме приведенных соображений, говорит и то, что первая точка на графике $\lg C = f(\lg x)$ (рис. 1) систематически выпадает из кривой в сторону более высоких концентраций сурьмы.

Из табл. 2 видно, что граничная концентрация C_0 зависит как от концентрации сурьмы в паре $C_{\text{п}}$, так и от температуры. Выясним характер этой зависимости. Рассмотрим вначале изотермическую зависимость $C_0 = f(C_{\text{п}})$.

Экспериментальные точки этой функции мы нанесли на график в двойном логарифмическом масштабе. На рис. 3 приведены прямые для двух крайних температур: 750 и 925° . Как видно из графика на рис. 3, зависимость между граничной концентрацией C_0 и $C_{\text{п}}$ может быть выражена формулой

$$C_0 = AC_{\text{п}}^K, \quad (5)$$

где K — слабо зависит от температуры. Эта зависимость дана на рис. 4, откуда видно, что температурная зависимость K может быть представлена формулой:

$$K = 8,6 \cdot 10^{-4} T - 0,78. \quad (6)$$

Для исследования температурной зависимости граничной концентрации мы нанесли на график экспериментальные точки $\lg C_0/C_{\text{п}}^K$ как функцию обратной температуры (рис. 5).

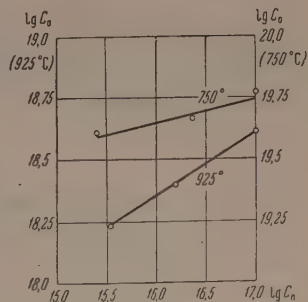


Рис. 3. Зависимость граничной концентрации сурьмы от ее концентрации в паре

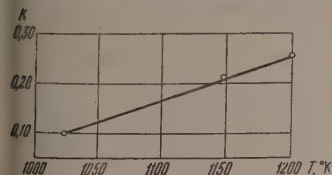


Рис. 4. Температурная зависимость K

Точки легли на прямую, из наклона которой вычислена энергия активации граничной концентрации $E_1 = 117$ ккал моль⁻¹, или 5,1 эВ. Та образом, C_0 может быть представлено формулой:

$$C_0 = BC_{\Pi}^K e^{\frac{117000}{RT}}.$$

Из уравнения (7) можно теперь определить коэффициент B ; он оказался равным $1,25 \cdot 10^{-7}$.

Окончательно связь между граничной концентрацией и концентрацией сурьмы в паре и температурой будет ражаться эмпирической формулой:

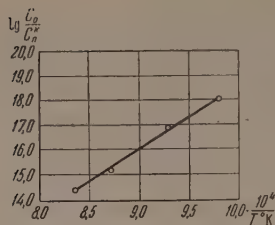


Рис. 5. Температурная зависимость граничной концентрации сурьмы в германии

$$C_0 = 1,25 \cdot 10^{-7} C_{\Pi}^K e^{\frac{117000}{RT}},$$

где $K = 8,6 \cdot 10^{-4} T - 0,78$.

Уравнение (8) и определенный нами коэффициент диффузии (4) позволяют рассчитать температуру, время диффузии и концентрацию пара сурьмы, необходимые для получения заданного распределения примеси, введенной в германий диффузионным путем.

Попутно отметим, что если вакуум невысший ($10^{-1} - 10^{-2}$ мм рт. ст.), то при этом наблюдается следующее.

Если диффузионный отжиг производить с перерывами, то кривая распределения Sb по глубине теряет плавность и даже монотонность. Это явление, возможно, связано с образованием оксидной пленки при перерывах на нагревании.

В вакууме от 10^{-5} мм рт. ст. и выше это явление не наблюдалось.

Исследование диффузии цинка из паровой фазы в германии

Методика исследования диффузии цинка из паровой фазы в германии применялась та же, что и при исследовании диффузии сурьмы. Германий применялся монокристаллический. Концентрация цинка в паровой фазе во всех опытах была почти одинаковой и составляла $1,3 \cdot 10^{17}$ см⁻³. Отделение граничной концентрации и коэффициента диффузии производилось методом наложения стандартной кривой, описанным выше.

В табл. 3 приведены некоторые результаты исследования диффузии цинка из паровой фазы в германии.

Таблица 3

№ образца	Температура диффузионного отжига, °C	Время диффузионного отжига, сек	Коэффициент диффузии, см ² сек ⁻¹	Концентрация, атом см ⁻³		C_0/C_{Π}
				цинка в паре C_{Π}	граничная C_0	
42	825	$6,56 \cdot 10^5$	$1,84 \cdot 10^{-12}$	$1,29 \cdot 10^{17}$	$2,4 \cdot 10^{17}$	1,86
39	840	$3,71 \cdot 10^5$	$2,84 \cdot 10^{-12}$	$1,28 \cdot 10^{17}$	$1,5 \cdot 10^{17}$	1,17
41	873	$1,8 \cdot 10^5$	$6,1 \cdot 10^{-12}$	$1,32 \cdot 10^{17}$	$4,4 \cdot 10^{17}$	3,34
37	895	$1,15 \cdot 10^5$	$9,7 \cdot 10^{-12}$	$1,31 \cdot 10^{17}$	$3,7 \cdot 10^{17}$	2,82
36	918	$4,5 \cdot 10^4$	$1,72 \cdot 10^{-11}$	$1,21 \cdot 10^{17}$	$1,3 \cdot 10^{17}$	1,07

Мы определили энергию активации диффузии цинка из паровой фазы в германии. Она оказалась равной $E = 58700$ кал моль⁻¹, или 2,55 эВ. Предэкспоненциальный множитель в коэффициенте диффузии $D = 0,65$ см²сек⁻¹. Окончательно коэффициент диффузии цинка из паровой фазы в германии может быть представлен формулой:

газы в германии имеет вид

$$D = 0,65e^{-\frac{58700}{RT}}, \quad (9)$$

В табл. 4 мы сравнили полученное нами значение коэффициента диффузии с данными Дунлапа [1] и Фуллера [4].

Значения граничных концентраций цинка в германии, приведенные в табл. 3, позволяют сделать вывод об их незначительной температурной зависимости, которая в наших измерениях не обнаружилась. В связи с этим невозможно определить энергию активации граничной концентрации цинка в паре в диапазоне исследованных температур и концентраций лежит в пределах $C_0/C_{\text{п}} \approx 1-3$.

Таблица 4

Температурный интервал диффузии	D , см ² сек ⁻¹	E , кал моль	Источник
825—918°	0,65	58700	Наши измерения
—	—	50000	Фуллер [1]
—	—	58000	Дунлап [4]

Значительно меньший коэффициент диффузии цинка в германии D_{Zn} по сравнению с D_{Sb} , а также невысокая активность радиоактивного цинка не позволили изучить зависимость $C_0 = f(C_{\text{п}}, t)$ в более широком интервале температур концентраций. Однако имеющиеся результаты указывают на значительное различие диффузии сурьмы и цинка в германии. Особенно это заметно по слабой температурной зависимости C_0 и слабой зависимости отношения $C_0/C_{\text{п}}$ цинка в противоположность сурьме, для которой это отношение в тысячи раз больше.

Выводы

1. Исследована диффузия сурьмы и цинка из паровой фазы в монокристаллический германий методом радиоактивных индикаторов.

Коэффициенты диффузии оказались равными:

$$D_{\text{Sb}} = 1,4e^{-\frac{53000}{RT}}; \quad D_{\text{Zn}} = 0,65e^{-\frac{58700}{RT}}.$$

Полученные значения энергии активации заметно не отличаются от данных других авторов, исследовавших диффузию сурьмы и цинка в германии из непаровой фазы.

2. Обнаружено, что граничная концентрация сурьмы в германии C_0 значительно превосходит концентрацию сурьмы в паре $C_{\text{п}}$. Отношение $C_0/C_{\text{п}}$ тем больше, чем ниже температура диффузии и чем ниже $C_{\text{п}}$.

При 750° и при $C_{\text{п}} = 2,4 \cdot 10^{15}$ см⁻³ отношение $C_0/C_{\text{п}} = 17000$. На поверхности кристалла германия в весьма тонком слое ($< 1 \mu$) образуется сплав германия с сурьмой с содержанием последней в несколько десятков процентов.

3. Получена эмпирическая формула зависимости граничной концентрации C_0 от концентрации сурьмы в паре $C_{\text{п}}$ и температуры:

$$C_0 = 1 \cdot 10^{-7} C_{\text{п}}^K e^{\frac{117000}{RT}},$$

$$K = 8,6 \cdot 10^{-4} T - 0,78.$$

Формула позволяет рассчитать концентрацию сурьмы в паре, температуру и время отжига, необходимые для получения заданного распределения сурьмы в германии.

4. Значения граничных концентраций цинка в германии, полученные нами в опытах по диффузии, позволяют сделать вывод об их незначительной температурной зависимости, которая в наших опытах не обнаружилась.

Отношение граничной концентрации к концентрации цинка в германии в диапазоне температур $825-918^\circ$ лежит в пределах $C_0/C_{\text{II}} \approx 1-3$.

Описанные результаты указывают на значительное различие диффузии сурьмы и цинка из пара в германии, что особенно заметно по слабой температурной зависимости C_0 и слабой зависимости отношения C_0/C_{II} от температуры. Для сурьмы, для которой это отношение может быть в тысячи раз больше.

В заключение автор приносит благодарность В. Е. Лашкареву за предложение темы и руководство работой.

Институт физики Академии наук
УССР

Цитированная литература

1. Fuller, Phys. Rev., 86, 136 (1952).
2. Dunlap, Brown, Phys. Rev., 86, 417 (1952).
3. Боом Е. А., Химия редких элементов, вып. 1 (1954).
4. Dunlap, Phys. Rev., 85, 945 (1952).

И. Г. НЕКРАШЕВИЧ

ТЕРМОМЕХАНИЧЕСКИЕ ЯВЛЕНИЯ В ТОНКИХ СЛОЯХ ПОЛУПРОВОДНИКОВ

Хорошо известно явление возбуждения термомеханических колебаний в проводниках, питаемых переменным током. Он вызывается изменениями температуры проводника, обусловленными периодическими изменениями выделяемой в нем мощности.

Наблюдать это явление можно в простейшем случае, пропуская переменный ток через натянутую металлическую проволоку. В моменты максимума тока проволока будет наиболее сильно нагреваться и вследствие этого удлиняться; при прохождении тока через нулевые значения проволока будет охлаждаться и соответственно укорачиваться. В результате в проволоке возбуждаются колебания, амплитуда которых может быть значительно увеличена соответствующей регулировкой натяжения проволоки и достижением условий резонанса.

Можно возбудить колебания в тонкой плоской металлической мембране, подводя к ней переменный ток через точечный контакт с металлическим острием.

При этом в самом точечном контакте и вокруг него будет происходить периодическое нагревание и охлаждение мембраны, приводящее к периодическим изменениям ее площади; это вызовет своеобразные переменные «вспучивания» мембраны, т. е. возникнут колебания.

Для создания колебаний с наибольшей начальной амплитудой необходимо, чтобы за время одного полупериода тока в проводнике возникали наибольшие изменения температуры. Для этого необходимо наличие определенных соотношений между частотой и амплитудой колебаний мощности, выделяемой в проводнике, и интенсивностью теплоотдачи.

Очевидно, что принципиальных различий в рассмотрении этих явлений для случая металлов и для случая полупроводников не может быть.

Однако воспользоваться полупроводником в виде проволоки для воспроизведения этих явлений совершенно нецелесообразно. Наиболее удобно взять полупроводник в виде некоторого слоя, помещенного между металлическими обкладками; к последним следует подключить источник тока, и, таким образом, ток будет проходить перпендикулярно к плоскости слоя.

Рассмотрим слой Π (рис. 1) полупроводника толщины l_0 и площади S , находящийся между двумя металлическими пластинами. При наложении переменной разности потенциалов $V(t)$ на обкладки слоя через него пойдет ток проводимости $i(t)$; мощность $p(t)$, выделяемая в слое, будет функцией времени, вид которой зависит от вида функций $V(t)$ и $i(t)$.

Предположим для простоты, что слой обладает постоянным сопротивлением R и что

$$V(t) = V_0 \sin \omega t,$$

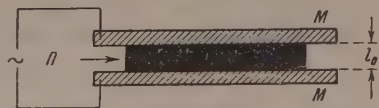


Рис. 1

тогда и

$$i(t) = I_0 \sin \omega t.$$

Количество тепла, выделяемого в слое в единицу времени, равно

$$Bi(t)v(t) = BI_0V_0 \sin^2 \omega t,$$

где B — тепловой эквивалент механической работы.

Уравнение баланса энергии для единицы объема слоя полупроводника будет иметь вид

$$c\delta \frac{d\theta}{dt} + \frac{b_0}{l_0} \theta = \frac{BI_0V_0}{Sl_0} \sin^2 \omega t,$$

где c и δ — удельная теплоемкость и плотность вещества слоя, b_0 — коэффициент теплоотдачи единицы поверхности слоя, l_0 — толщина слоя при температуре T_0 окружающей среды, $\theta = T_t - T_0$, где T_t — температура слоя полупроводника в момент времени t .

Примем, что изменение толщины слоя с изменением температуры происходит по линейному закону.

$$l_t = l_0 [1 + \alpha (T_t - T_0)],$$

где α — температурный коэффициент линейного расширения.

Отсюда находим изменение толщины слоя при изменении его температуры от T_0 до T_t :

$$\lambda = l_t - l_0 = \alpha l_0 \theta.$$

Выразив θ через λ в уравнении (1), получим:

$$c\delta \frac{d\lambda}{\alpha l_0 dt} + \frac{b_0}{\alpha l_0^2} \lambda = \frac{BI_0V_0}{Sl_0} \sin^2 \omega t.$$

Решение этого уравнения имеет вид

$$\lambda = \frac{a}{2n} - \frac{4m^2}{2n(n^2 + 4m^2)} e^{-\frac{t}{\tau_0}} - \frac{an}{2(n^2 + 4m^2)} \cos 2\omega t - \frac{am}{n^2 + 4m^2} \sin 2\omega t,$$

где

$$a = \frac{BI_0V_0}{Sl_0}, \quad n = \frac{b_0}{\alpha l_0^2}, \quad m = \frac{\omega c\delta}{\alpha l_0},$$

$$\tau_0 = \frac{l_0 c\delta}{b_0},$$

τ_0 — время тепловой релаксации единицы объема слоя.

В этом уравнении член, содержащий $e^{-\frac{t}{\tau_0}}$, при достаточно больших t становится исчезающе малым.

Рассмотрим уравнение (1) в двух предельных случаях.

1. $n \ll 2m$; имея в виду (3), приходим к выводу, что

$$\tau \ll \tau_0,$$

где τ — период переменного тока, проходящего через слой.

Пренебрегая малыми величинами в (2) и вводя амплитуду плотности тока $j_0 = \frac{I_0}{S}$ в слое, имеем:

$$\lambda = \frac{BI_0V_0}{2b_0} l_0 \alpha \left(1 - \frac{b_0}{l_0 \omega c\delta}\right) \sin 2\omega t.$$

Таким образом, λ имеет постоянную слагающую и переменную

яющуюся с частотой 2ω и с амплитудой

$$\Delta\lambda_{1m} = \frac{Bj_0 V_0 \alpha}{2\omega c \delta}; \quad (4)$$

величина амплитуды обратно пропорциональна частоте ω .

2. $n \gg 2m$, т. е. $\tau \gg \tau_0$.

После преобразований, аналогичных предыдущим, получаем

$$\lambda = \frac{Bj_0 V_0 l_0 \alpha}{2b_0} (1 - \cos 2\omega t).$$

Таким образом, постоянная слагающая величины λ в данном случае имеет тот же вид, что и в предыдущем случае, амплитуда же переменной слагающей

$$\Delta\lambda_{2m} = \frac{Bj_0 V_0}{2b_0} l_0 \alpha,$$

отличие от предыдущего, оказывается не зависящей от частоты тока*. Очевидно, первый случай может быть приблизительно осуществлен при хорошей теплоизоляции слоя, второй — при хорошей теплоотдаче.

В обоих случаях имеют место периодические изменения приращения толщины слоя, происходящие с частотой, удвоенной по сравнению с частотой проходящего через слой тока.

Произведем оценку ожидаемых величин амплитуды колебания для слоя полупроводника с удельным сопротивлением $\rho = 10^4 \Omega \text{ см}$, толщиной $\delta = 0,02 \text{ см}$, коэффициентом линейного расширения $\alpha \approx 6 \cdot 10^{-5}$, плотностью $\gamma = 5 \text{ г см}^{-3}$ и теплоемкостью $c = 0,08 \text{ кал г}^{-1} \text{ град}^{-1}$. Кроме того, примем, что $\tau \approx 10 \tau_0$.

При площади $S = 10 \text{ см}^2$ и амплитуде приложенного напряжения $U = 20 \text{ В}$ ток, проходящий через слой, будет равен 1 А ; подставляя эти данные в (5), получим величину амплитуды пульсаций слоя

$$\Delta\lambda_{2m} \approx 6 \cdot 10^{-7} \text{ см}.$$

Эта величина лежит в пределах тех значений, которые можно получить, пользуясь некоторыми пьезоизлучателями.

В различных полупроводниковых приборах мы имеем дело либо с точечными контактами, в которых возникают значительные плотности тока, либо с весьма тонкими переходными слоями, к которым приложены значительные напряжения. В обоих случаях объемные плотности выделяемой энергии могут оказаться достаточными для того, чтобы вызвать значительный нагрев малых приконтактных объемов полупроводника.

Так, в случае контакта металлического острия с поверхностью полупроводника при радиусе контактной площадки в $0,005 \text{ мм}$ и при токе в 10 мА плотность тока равна $1,3 \cdot 10^4 \text{ А см}^{-2}$.

При таких плотностях тока возникающее нагревание будет вызывать не только существенные изменения электрических свойств материала, но и изменение его объема. В этом легко убедиться на опыте: подключив кую контактную пару к генератору переменного тока звуковой частоты, легко обнаружить, что контакт начинает звучать с удвоенной частотой. Рассмотрим в качестве пульсирующей системы выпрямляющий полупроводниковый элемент с запорным слоем.

Поведение такого элемента в цепи переменного тока можно, как обычно, представить при помощи рассмотрения простейшей эквивалентной схемы

* В настоящей работе лент-джоулев эффект в слое полупроводника рассматривается как основная причина наблюдаемых термомеханических колебаний. Наряду с ним второй, одновременно и независимо действующей причиной таких колебаний может служить также эффект Пельтье, возникающий при прохождении тока через контакт, как это было отмечено А. Ф. Иоффе.

(рис. 2), в которой r_b обозначает сопротивление запирающего слоя, r_s — сопротивление слоя полупроводника, C — емкость запирающего слоя.

При прохождении тока через выпрямляющий элемент в нем происходит потеря энергии, выражающиеся в его нагревании. Количество выделяемой энергии за полный период удобно представить в виде суммы

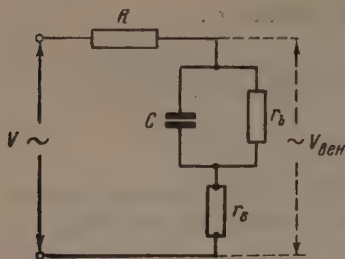


Рис. 2

$$Q = \int_0^{T/2} iV dt + \int_{T/2}^T iV dt,$$

где первое слагаемое выражает собой потерю энергии за время прямой полуволны, второе — за время обратной полуволны тока в выпрямляющем элементе.

Обратимся к эквивалентной схеме (рис. 3).

Если во время прямой полуволны напряжение на запирающем слое очень невелико, то можно считать, что $r_b \ll r_s$, ток, проходящий через элемент, можно приближенно считать равным току в цепи, состоящей из источника напряжения $V_{вен}$ и сопротивления r_s .

$$i_{пр} = \frac{V_{вен}}{r_s} \text{ и } Q_{пр} = \int_0^{T/2} iV_{вен} dt \approx \int_0^{T/2} i^2 r_s dt;$$

$V_{вен}$ — напряжение на выпрямляющем элементе.

Следовательно, нагревание будет в этом случае происходить главным образом в слое полупроводника, прилегающем к запирающему слою. Ввиду малой толщины последнего можно считать, что весь слой полупроводника будет приблизительно равномерно нагреваться проходящим через него током.

Во время обратной полуволны приближенно можно считать $r_b \gg r_s$, тогда $i_{обр} = \frac{V_{вен}}{r_b}$; энергия, выделяемая в запирающем слое, будет

$$Q_{обр} = \int_{T/2}^T i_{обр}^2 r_b dt,$$

а в остальном слое полупроводника

$$Q' = \int_{T/2}^T i_{обр}^2 r_s dt,$$

причем $i_{обр}^2 r_b \gg i_{обр}^2 r_s$.

Таким образом, в течение обратной полуволны выделение энергии происходит главным образом в запирающем слое, толщина которого на 2—3 порядка меньше всей толщины полупроводникового слоя.

Ввиду малой толщины и большой площади слоя полупроводника, нагревание в нем будет быстро следовать за изменениями температуры. Так как между слоем и его металлическими обкладками легко осуществляется теплообмен и отвод тепла в окружающую среду. Максимум температуры слоя будет наступать два раза за полупериод тока; при этом за полупериод будет возникать тепловое расширение слоя, сопровождаемое также и окружающей среде, что должно привести к возникновению звукового эффекта, если частота колебаний лежит в звуковом диапазоне. Это явление легко наблюдается на опыте: выпрямляющий элемент издает звук с частотой, вдвое большей, чем частота проходящего через него переменного тока. Интенсивность издаваемого звука оказывается тем больше, чем больше площадь выпрямляющего элемента и чем больше ток, проходящий через элемент.

При введении большого внешнего сопротивления в цепь выпрямляющего элемента наблюдается уменьшение интенсивности звучания и, кроме того, частота звучания становится равной частоте подводимого переменного напряжения. Это обстоятельство еще раз подтверждает термический характер звучания.

Действительно, при большом внешнем сопротивлении $R \gg (r_b + r_s)_{\text{пр}}$, включенном последовательно с элементом, величина прямого тока

$$i_{\text{пр}} = \frac{V}{r_b + r_s + R} \approx \frac{V}{R} \text{ и } v = Ri_{\text{пр}},$$

т.е. почти все подведенное напряжение падает на сопротивление нагрузки R , и энергия, выделяемая в элементе

$$Q_{\text{пр}} = \int_0^{T/2} i_{\text{пр}}^2 (r_b + r_s)_{\text{пр}} dt,$$

будет весьма мала. Во время обратной полуволны напряжения последнее распределится между элементом и нагрузкой пропорционально сопротивлениям $(r_b + r_s)$ и R . При этом в элементе выделится энергия

$$Q_{\text{обр}} = \int_{T/2}^T i_{\text{обр}}^2 (r_b + r_s)_{\text{обр}} dt,$$

которая даже при малом обратном токе может оказаться значительно большей, чем $Q_{\text{пр}}$. Следовательно, нагревание слоя полупроводника в течение одного периода переменного тока будет происходить только один раз, а именно в течение обратного полупериода, т.е. основная частота звучания будет совпадать с частотой подведенного напряжения.

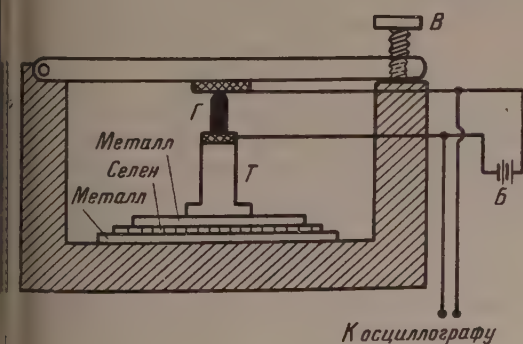


Рис. 3

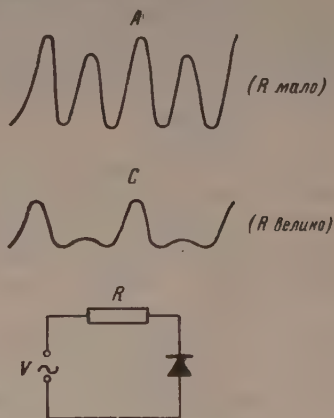


Рис. 4

Механические пульсации слоя полупроводника оказалось возможным наблюдать визуально при помощи вспомогательного устройства, схематически изображенного на рис. 3.

Механические колебания пульсирующей шайбы сообщаются керамическому стержню T , на верхнем конце которого укреплен графитовый стержень Γ с закругленным концом.

К графитовому стерженьку посредством винта B подводится металлическая пластина до установления весьма слабого контакта. Через контакт проходит ток от гальванического элемента B ; к электродам контакта присоединены вертикальные пластины осциллографа.

При звучании выпрямляющей шайбы сопротивление контакта меняется в зависимости от амплитуды колебаний, за изменениями которой можно проследить, наблюдая осциллограмму. Визуально наблюдавшиеся

при этом осциллограммы имеют вид, показанный на рис. 4: *A* — соответствует отсутствию нагрузочного сопротивления *R*, *C* — при большом

При помощи аналогичного устройства, в котором колебания от звуковой пластины передавались на пьезоэлемент, исследовались термомеханические колебания большого количества пластин с нанесенными на них полупроводящими слоями, как невыпрямляющими, так и выпрямляющими.

При помощи вертикального измерителя длин в сочетании с контурным устройством, аналогичным установке рис. 3, присоединенным к

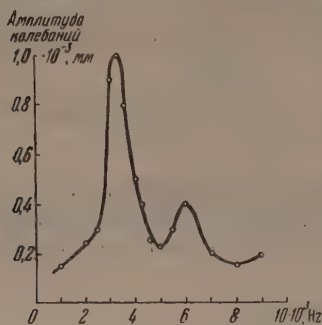


Рис. 5

При более высоких частотах амплитуды колебаний становились выше порога чувствительности измерительной установки.

При погружении пластин в вазелиновое масло наблюдалось значительное снижение (до 50—60%) амплитуды колебаний по сравнению с колебаниями в воздухе при всех исследованных частотах, однако распределение максимумов между частотами сохранялось.

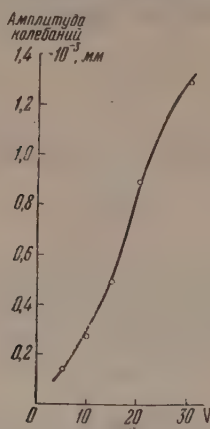


Рис. 6

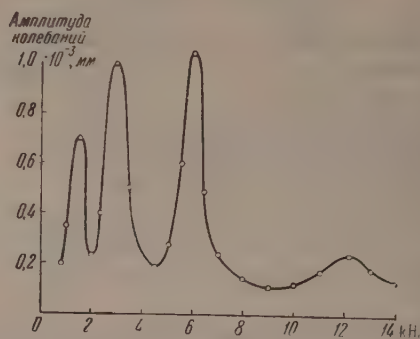


Рис. 7

Величины амплитуд получались на 3—4 порядка выше, чем их значения, полученные в приведенных выше ориентировочных расчетах.

Это может быть объяснено, во-первых, резонансными явлениями во вторых, тем, что полупроводниковый слой не является строго равномерным по толщине и потому в отдельных его местах возможны значительные возрастания выделяемой мощности.

Нагревание пульсирующих пластин до 40—50° не вызывало значительных изменений ни в величине, ни в характере зависимости амплитуды колебаний от частоты и напряжения. При нагревании до более высоких

температур (до 100°) наблюдалось медленное спадание амплитуды колебаний, и притом более заметное со стороны более высоких частот.

Испытание тех же пластин на частотах ультразвукового диапазона (свыше 10^5 Hz) в условиях, аналогичных для пьезокварцевого излучателя (но с соответственно уменьшенным напряжением), не дало положительных результатов: колебаний с заметной амплитудой не удалось обнаружить. Точно так же не удалось обнаружить заметных колебаний пластин при частотах ниже 500 Hz.

Из этого, однако, еще не следует, что за указанными пределами частот совершенно отсутствуют пульсации самого слоя: вероятнее всего, отсутствие измеримых колебаний объясняется отсутствием возникновения резонансных явлений в исследованных пластинах.

Роль явлений резонанса в описываемых опытах хорошо подтверждается следующими наблюдениями: пластина размером 10×10 см начинает интенсивно звучать с отчетливо выраженным запаздыванием по отношению к моменту подключения переменного напряжения; свободно подвешенные пластины звучат интенсивнее, чем те же пластины, наклеенные на массивную металлическую плитку; звучание, однако, полностью не прекращается даже в том случае, когда пластина сильно зажата между двумя металлическими плитками.

Наблюдаемая основная частота колебаний невыпрямляющего слоя в соответствии с изложенными выше соображениями оказывается всегда удвоенной по сравнению с частотой приложенного напряжения.

Частота колебаний слоя с выпрямляющим переходом изменяется в зависимости от амплитуды напряжения, приложенного к обкладкам слоя. Эти изменения частоты были визуальным образом прослежены при помощи электронного осциллографа. Так, при изменении амплитуды напряжения от 30 до 5 V при постоянной частоте источника напряжения, кривая колебаний из почти правильной синусоиды постепенно переходила в кривую с чередующимися высокими и низкими максимумами с основной частотой, совпадающей с частотой переменного тока, и снова приближалась к синусоиде при напряжениях около 5 V.

Когда в цепь тока последовательно с выпрямляющим элементом включалось большое сопротивление, кривая колебаний приобретала вид кривой тока при однополупериодном выпрямлении, и частота основного колебания оказывалась совпадающей с частотой приложенного напряжения, что также находится в соответствии с приведенными выше соображениями.

Можно было обнаружить, что при одних и тех же размерах выпрямляющих элементов и при малом разбросе их параметров (коэффициент выпрямления, прямое и обратное падение напряжения при заданных значениях тока) интенсивность звукового эффекта при одном и том же переменном напряжении V часто оказывается весьма различной. Это обнаруживалось не только у свободно подвешенных пластин, но и в том случае, когда пластины приклеивались к массивной металлической или мраморной плите. Следовательно, надо полагать, что пульсации самого полупроводящего слоя оказывались различными.

Для выяснения возможной причины наблюдаемых различий в эффекте поступали следующим образом.

Из 50 селеновых пайб было отобрано пять пайб, отличавшихся наибольшей интенсивностью звучания, и пять — со слабо выраженным эффектом звучания. Были сняты вольт-амперные характеристики у обеих серий отобранных пайб в пределах обратных напряжений от 0 до 50 V.

Разброс характеристик различий между ними не обнаруживалось. После того пластины подверглись испытанию на пробой. Несмотря на разброс пробивных напряжений в каждой серии, обнаружилось, что серия «слабозвучающих» пластин характеризуется большими пробивными напряжениями,

чем серия «сильнозвучащих». Таким образом, наиболее естественным пущением может быть то, что вариации интенсивности звучания связаны с наличием флуктуаций толщины полупроводникового слоя. В наиболее тонких микроучастках слоя возникает относительно больший нагрев, и больше имеется таких участков, тем интенсивнее термомеханический эффект. Следует отметить, что звучание, обусловленное термомеханическими колебаниями, оказалось возможным наблюдать во всех случаях прохождения электрического тока звуковой частоты через тонкий полупроводниковый слой независимо от того, имеется ли при этом асимметрия проводимости или нет. Такими слоями могут служить, например, тонкие оксидные пленки на металлах. Так, оксидные пленки на пластинках из меди, алюминия, тантала покрывались слоем аквадага; подводя переменное напряжение звукового генератора к металлической пластине и к слою аквадага, можно было наблюдать звучание пластины с частотой, удвоенной по сравнению с частотой подведенного напряжения.

При замене оксидной пленки тонким слоем непроводящего лака (или верх которого также наносится аквадаг) звучание не возникает.

Звучание также хорошо наблюдалось при прохождении тока звуковой частоты через контакт металлического острия с поверхностью многих естественных кристаллов, как галенит, пирит, цинкит, молибденит и др.

Механические колебания поверхности детекторного кристалла, очевидно, являются дополнительным источником шумов, характеризующих кристаллические диоды, особенно в области низких частот.

Резюмируя, можно отметить следующее.

1. Нагревание тонкого слоя полупроводника проходящим через него переменным током в условиях значительной объемной плотности выделяемой энергии приводит к возникновению пульсаций толщины слоя. Пульсации толщины слоя приводят к возбуждению колебаний в механических системах, соединенных с пульсирующим слоем.

2. Частота колебаний слоя, не содержащего выпрямляющего перехода, равна удвоенной частоте приложенного переменного напряжения.

Колебания слоя, содержащего выпрямляющий переход, представляются собой сложное колебание, содержащее гармоники, начиная с частоты, равной частоте подведенного напряжения. Соотношения между амплитудами гармоник изменяются с изменением амплитуды подведенного напряжения.

3. Наличие неравномерностей в толщине слоя полупроводника приводит к увеличению интенсивности возбуждаемых колебаний.

Это обстоятельство может быть использовано в практике для технического контроля при изготовлении полупроводниковых выпрямительных элементов.

4. Термомеханические колебания возникают также в точечном контакте металла с полупроводником и могут служить источником дополнительных шумов в полупроводниковых диодах.

Кафедра экспериментальной физики
Белорусского гос. университета
им. В. И. Ленина

А. Т. ВАРТАНЯН

ТЕМПЕРАТУРНАЯ ЗАВИСИМОСТЬ ЭЛЕКТРОПРОВОДНОСТИ
ОРГАНИЧЕСКИХ ПОЛУПРОВОДНИКОВ

В настоящее время можно говорить о новой группе электронных полупроводниковых материалов — об органических полупроводниках. Их систематическое исследование начато недавно. Исследование полупроводниковых свойств красителей было начато нами в 1938 г. [1, 2].

В 1948 г. нами было показано [3], что полученные нитрированием слоя фталоцианинов — нового класса синтетических пигментов, родственных естественным (хлорофиллу и гемоглобину), — являются электронными полупроводниками. Из температурной зависимости электропроводности, подчиняющейся экспоненциальному закону $\sigma = \sigma_0 e^{-E/kT}$, нами была определена энергия активации E , которая для фталоцианина без металла оказалась в вакууме равной 0,43 eV.

Несколько позже Эли [4] для того же пигмента нашел $E = 1,2$ eV. Большое расхождение в значениях энергии активации, несомненно, было обусловлено различным состоянием исследуемого образца в наших опытах и в опытах Эли. В опытах последнего исследовался мелкокристаллический порошок, объемная плотность которого составляла всего лишь 2 гсм^{-3} . Между тем известно, что с повышением давления проводимость порошков при постоянной температуре растет, а энергия активации уменьшается.

В опытах Акамацу и Инокучи [5] проводимость виолантрона, пирантрона и других порошков становилась наибольшей при давлении 80 кгсм^{-2} .

Недавно Эли с сотрудниками [6] снова измерил температурную зависимость электропроводности порошка фталоцианина, находящегося под давлением 80 кг см^{-2} , и нашел для E величину, почти совпадающую с нашей, а именно 0,41 eV. Отсюда следует, что в отношении электропроводности слоя, полученные нитрированием, близки к порошкам, находящимся под давлением 80 кгсм^{-2} .

За последние годы в печати появился ряд статей, посвященных исследованию полупроводниковых свойств органических соединений [6—11]. Объектами исследования преимущественно являлись конденсированные многоядерные ароматические углеводороды: нафталин, антрацен, коронен, квален, пирантрен, виолантрен и многие другие. Наряду с такими, сравнительно простыми, соединениями были исследованы довольно сложные вещества, как, например, кровяной альбумин, эдестин и фибриноген [6], а также коллаген, шерсть, шелк и хлопок [12]. Однако эти вещества содержат значительное количество воды, и их проводимость и энергия активации сильно зависят от влажности.

Большинство этих соединений исследовалось на воздухе в виде прессованных порошков, и только нафталин и антрацен могли быть исследованы в виде монокристаллов [9, 10]. Температурная зависимость электропроводности монокристалла нафталина исследовалась как в условиях вакуума, так и в атмосфере кислорода при давлении до 12 атм. Вследствие ничтожной проводимости и низкой точки плавления область измерений была

ограничена в пределах $50 \div 76^\circ$. Для такого узкого температурного интервала выполнялась экспоненциальная зависимость, и в условиях вакуума энергия активации E была равна 1,85 eV, когда направление тока было перпендикулярно к плоскости $a-b$. Величина $2E$, равная 3,7 eV и соот-

ветствующая W в формуле $\sigma = \sigma_0 e^{-\frac{W}{2kT}}$, совпадает с началом оптического поглощения, расположенным в области короче 300 мμ. В присутствии воздуха породе монокристалл нафталина из собственного полупроводника переходит в примесный, причем энергия активации падает до 0,75 eV при давлении кислорода > 2 атм.

Электропроводность монокристаллов антрацена исследовалась в вакууме в интервале температур $85 \div 190^\circ$. Энергия активации E для антрацена равна 0,83 eV. Величина $2E = 1,66$ eV значительно меньше величины энергии, соответствующей границе оптического поглощения (3,2 eV). Возможно, что низкое значение энергии активации (0,83 eV), полученное для антрацена различными авторами, следует, по аналогии с нафталином, объяснить тем обстоятельством, что измерения производились на воздухе и исследуемый объект являлся примесным полупроводником. Поэтому исследование температурной зависимости электропроводности монокристалла антрацена в условиях вакуума является принципиально важным для решения вопроса о совпадении величины $W = 2E$ с началом оптического поглощения.

Электропроводность конденсированных многоядерных ароматических соединений Акамацу и Инокучи [7, 8] приписали π -электронам сопряженных двойных связей плоской сетки углеродных атомов. Вообще говоря, с увеличением числа π -электронов электропроводность растет.

В органических красителях также всегда может быть установлена сопряженная система валентных связей. Например, в уже упомянутых ранее фталоцианинах такой системой является центральное 16-членное кольцо [13], обуславливающее оптическое поглощение и анизотропию магнитной восприимчивости [14] кристаллов фталоцианинов.

Помимо фталоцианинов нами была исследована температурная зависимость электропроводности ряда красителей в твердом состоянии. Результаты, относящиеся к метиленовому голубому и кристаллическому фиолетовому, были опубликованы нами ранее [15]. В настоящей статье мы приводим результаты исследования более тридцати красителей, принадлежащих к самым различным классам.

Исследование температурной зависимости электропроводности красителей связано с рядом специфических трудностей. Подавляющее большинство красителей представляют собой мелкокристаллические порошки. Поэтому для исследования электропроводности мы пользовались компактными слоями, полученными осаждением из спиртового раствора. Слой осаждался на поверхность кварцевого «пальца», на котором предварительно были нанесены платиновые электроды на расстоянии 1 мм один от другого. Кварцевый «палец» вставлялся в стеклянную рубашку, providing единенную к высоковакуумной установке. Устройство такого прибора позволяло измерять электропроводность при различных температурах. Однако ряд красителей либо мало, либо вовсе не растворяется в воде или спирте, либо если и растворяется, то не образует при осаждении непрерывного слоя. Для таких красителей иногда удавалось получить слой красителя при перемешивании. Другая трудность — малая проводимость слоев многих красителей, ограничивающая возможность измерений в области низких температур. Со стороны высоких температур ограничение наступает вследствие возгонки (в условиях вакуума) или структурных изменений молекул красителя.

Многие из исследованных нами красителей являются фотоэлектрически чувствительными [2, 15, 16]. Поэтому измерения производились после длительной вакуумной обработки слоев в темноте.

Как показали наши опыты, некоторые газы (кислород, окись азота, водород и др.) оказывают значительное влияние на электропроводность слоев красителей. В данной статье приводятся результаты, полученные нами для красителей в условиях вакуума.

Токи измерялись либо зеркальным гальванометром чувствительностью $6,3 \times 10^{-10}$ А, либо усилителем постоянного тока чувствительностью $2,8 \times 10^{-14}$ А.

На рисунке приведены для ряда красителей температурные зависимости в координатах $\lg \sigma$, $\frac{1}{T}$. Следует заметить, что по оси ординат нанесены логарифмы величин, пропорциональных проводимости, а именно логарифмы многового тока, причем напряжение на слое выбиралось таким, чтобы при более высокой температуре отклонение гальванометра составляло приблизительно 100 или 200 делений. Для сравнения наклонов прямых ($\lg \sigma$), полученных для различных красителей, такой способ измерения весьма

удобен. Из рисунка видно, что экспоненциальная зависимость электропроводности красителей от температуры является достаточно общей.

Температурный интервал, в котором производились измерения, различный для различных красителей. Для некоторых красителей и пигментов (например, метиленового голубого, кристаллического фиолетового, фталоцианинов магния, цинка и др.) удалось охватить интервал до $100 \div 150^\circ$. Для большинства же красителей этот интервал составлял $50 \div 80^\circ$.

Относящиеся к отдельным красителям сведения, а также полученные нами результаты сведены в табл. 1. Номер красителя в табл. 1 соответствует номеру прямой на рисунке; нумерация на рисунке сквозная.

Из таблицы видно, что для приведенных на рисунке красителей энергии активации находятся в диапазоне значений $0,35 \div 1,1$ eV. Для двух красителей — родамина 3Б и родамина Ж — были получены аномально большие значения энергии активации, а именно 2,22 eV. Такое поведение было весьма загадочным, так как для родственных красителей — родамина Ж и родамина 6Ж — были получены обычные значения 0,95 и 0,89 eV соответственно.

При исследовании спектров поглощения возогнанных слоев красителей было обнаружено, что родамины 3Б и Ж отличаются от родаминов 5Ж и 6Ж и в спектральном отношении. В то время как спектры поглощения родамина 5Ж и родамина 6Ж почти не зависят от того, получены ли слои выждением из спиртового раствора или возгонкой в вакууме, спектры поглощения слоев родамина 3Б и родамина Ж, полученных двумя указанными способами, резко отличны в ультрафиолетовой области [17]. Как показали детальные исследования, родамины 3Б и Ж, а также родамин Б при нагревании претерпевают изменения, в результате которых образуются бесцветные соединения, сильно поглощающие в ультрафиолетовой области. Энергия активации 2,22 eV, по-видимому, обусловлена этим новым веществом. Электропроводность фуксина с температурой изменяется по экспоненциальному закону, но величина энергии активации по мере термической обработки уменьшается, что, по-видимому, является следствием недостаточной чистоты образца. Приведенная в таблице величина энергии активации фуксина 0,85 eV является наиболее вероятной. Для цианина энергия активации равна 0,98 eV; эта величина была получена после многочасовой тепловой обработки. Получить экспоненциальную зависимость для яркого зеленого не удалось.

Из приведенных в табл. 1 значений видно также, что для некоторых красителей энергия термической ионизации ($2E$) довольно близка к длинноволновой «границе» поглощения красителя в твердом состоянии (точное определение границы поглощения не представляется возможным, так как кривые поглощения большинства красителей не имеют достаточно резкой границы со стороны длинных волн). К числу таких красителей при-

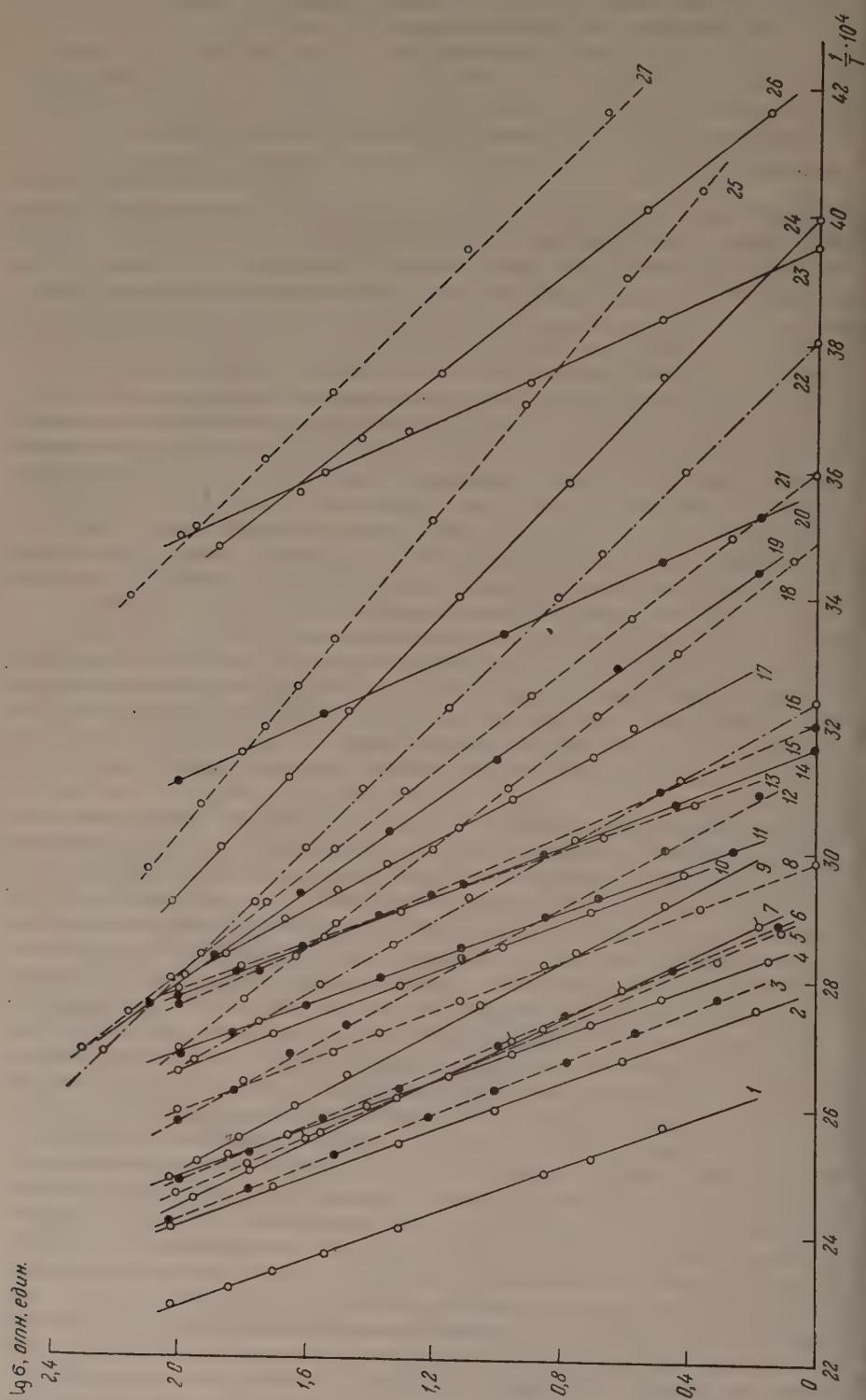


Таблица 1

№ п/п	Название красителя	Класс	Температурный интервал, °С	2E (eV)	λ (м μ), соответствующая 2E	λ (м μ), соответствующая крутому подъему кривой поглощения
1	Эритрозин	Ксантеновый	116—165	2,15	575	600
2	Флоксин	»	90—143	2,08	594	600
3	Бенгальский розовый	»	88—142	1,9	650	610
4	Эозин	»	80—130	2,13	580	590
5	Родамин 6Ж	»	50—135	1,77	700	620
6	Гематин	Пигмент	73—130	1,83	675	—
7	Бирюзовый голубой	Трифенилметановый	73—135	1,6	770	760
8	Родамин 5Ж	Ксантеновый	60—115	1,9	650	—
9	Магдальский красный	Азидный	67—136	1,44	857	670
10	Уранин	Ксантеновый	50—120	2,0	617	550
11	Трипафлавин	Акридиновый	60—100	2,2	560	550
12	Феносафранин	Азидный	20—116	1,4	880	620
13	Гематоксилин	Пигмент	73—130	1,83	675	—
14	Хлорофилл а + b	»	40—90	2,0	617	—
15	Аурамин	Дифенилметановый	39—90	1,77	700	520
16	Карри синий	Оксазиновый	36—102	1,38	894	800
17	Сафранин	Азидный	20—116	1,4	880	660
18	Нафтоловый зеленый	Нитрозо	15—100	0,98	1250	—
19	Тионин	Тиазиновый	17—100	1,1	1122	720
20	Ночной голубой	Трифенилметановый	10—49	1,7	725	750
21	Метиленовый голубой	Тиазиновый	50—100	1,0	1234	750
22	Фталоцианин Zn	Пигмент	—10—100	0,79	1560	~800
23	Ночной голубой	Трифенилметановый	—20—13	1,7	725	750
24	Кристаллический фиолетовый	»	—30—70	0,74	1670	725
25	Фталоцианин Mg	Пигмент	—30—100	0,78	1580	~800
26	Метиленовый голубой	Тиазиновый	—50—15	1,0	1234	750
27	Фталоцианин Zn	Пигмент	—33—22	0,79	1560	~800
28*	Фталоцианин без металла	»	0—100	0,87	1420	~880
29	Фталоцианин Cu	»	30—100	1,2	1010	~860
30	Фталоцианин сульфогранный	»	0—100	0,9	1370	—
31	Родамин 3Б	Ксантеновый	104—127	4,43	278	—
32	Родамин Ж	»	120—140	4,44	278	—
33	Цинин	Хинолиновый	40—100	1,9	650	670
34	Пинацианол	»	35—85	1,8	686	700

надлежат эозин, эритрозин, флоксин, трипафлавин и др. Для ряда красителей, наоборот, наблюдается довольно сильное расхождение между указанными величинами. Это расхождение особенно значительно для кристаллического фиолетового, метиленового голубого, фталоцианинов и др. Не исключена возможность, что проводимость исследованных слоев этих красителей была не собственная, а примесная.

Дальнейшая работа должна быть направлена на получение и исследование монокристаллов, так как для них следует ожидать более четкой зависимости между величиной 2E и границей оптического поглощения. Полученные нами величины 2E лежат в пределах значений, полученных рядом авторов для многих органических соединений. В табл. 2 приведены значения 2E для ряда органических соединений по литературным данным.

* Результаты измерений для красителей с № 28 по № 34 на рисунке не приведены.

Таблица

№ п/п	Название вещества	Температурный интервал, °C	2E, eV	Литературная ссылка	Примечание
1	Нафталин	50—76	3,7	[10]	Монокристалл в вакууме
	»	50—76	1,5	[10]	Монокристалл в $P_{O_2} = 12$ атм
	»	20—75	1,4	[18]	Монокристалл на воздухе
2	Антрацен	85—190	1,65	[9]	Монокристалл на воздухе
	»	30—70	1,92	[11]	Возогнанный слой
	»	70—204	1,66	[6]	Порошок
	»	20—60	1,50	[18]	Лепестки
3	Коронен	220—280	2,18	[6]	Порошок
4	Овален	—	1,13	[7]	»
5	Дифенилбутадиен	20—140	>4,3	[6]	»
6	Дифенилоктатетраен	20—236	>4,3	[6]	»
7	2-амино-4 : 6-диметил-пиримидин	20—150	>4,3	[6]	»
8	N-фенилсиднон	50—130	>4,3	[6]	»
9	Антрацен	—	1,67	[8]	»
10	Антрактрон	—	1,7	[8]	»
11	Мезо-нафтодиантрон	—	1,2	[8]	»
12	Мезо-нафтодиантрон	—	1,3	[8]	»
13	Пирантрон	—	1,07	[8]	»
14	Пирантрон	—	1,06	[7, 8]	»
15	Виолантрон	—	0,85	[8]	»
16	Виолантрон	—	0,78	[7, 8]	»
17	Изовиолантрон	—	0,82	[8]	»
18	Изовиолантрон	30—130	0,75	[8]	»
	»	50—250	1,54	[6]	Непрессованный порошок
	»	50—250	1,14	[6]	Прессованный порошок
19	Кровяной альбумин	70—180	~2,2	[6]	Сухой
	»	70—180	~1,7	[6]	Влажный
20	Фибриноген	150—270	~2,8	[6]	—
21	Эдестин	90—204	~2,5	[6]	—
22	Коллаген	—	2,72	[12]	—
23	Шерсть	—	2,68	[12]	Волокно
24	Шелк	—	2,68	[12]	»
25	Хлопок	—	1,92	[12]	»
26	Парафин	13—40	1,10	[18]	»
27	Полистирол	—	0,80	[18]	»
28	Желатин	—10—20	1,82	[19]	Влажный

Из табл. 2 видно, что величина $2E$ для коллагена, шерсти и шелка почти одинаковая (2,7 eV). Такое совпадение едва ли может быть случайным. Нам кажется, что эти и некоторые другие вещества не принадлежат к числу электронных полупроводников.

В заключение отметим, что фотопроводимость красителей, наблюдаемая в собственной длинноволновой полосе поглощения, также растет по экспоненциальному закону при повышении температуры слоя. В табл. 3 приведены значения $2E$, определенные из температурной зависимости фотопроводимости некоторых красителей. Для исследованных красителей значения лежат между $0,4 \div 0,8$ eV и, как правило, они значительно меньше величины $2E$, определенной для темновой проводимости.

Ранее нами было показано [15, 20], что поглощение фотона молекулой красителя первично сопровождается лишь возбуждением. После возбуждения электроны могут перейти на триплетные уровни молекулы красителя.

ия, лежащие ниже синглетных уровней возбуждения, и на локальные уровни захвата электронов. Величина $2E$, определенная из температурной зависимости фотопроводимости, характеризует величину тепловой энер-

Таблица 3

№ п/п	Краситель	$2E$ для темно- вой про- водимо- сти, eV	$2E$ для фо- топросто- мости, eV
1	Капри синий	1,38	0,82
2	Трипнафлавин	2,2	0,53
3	Сафранин	1,4	0,84
4	Кристаллический фиолетовый	0,74	~0,6
5	Флоксин	2,08	0,47*
6	Бенгальская розовая	1,9	0,6*
7	Эритрозин	2,15	0,5*
8	Эозин	2,13	0,6*
9	Пинацианол	1,80	0,43

и, необходимой для высвобождения электронов из этих локальных уровней и перехода их в зону проводимости.

Цитированная литература

- Вартанян А. Т., Теренин А. Н., J. of Phys. USSR, 4, 173 (1941).
Вартанян А. Т., ЖФХ, 20, 1065 (1946).
Вартанян А. Т., ЖФХ, 22, 769 (1948).
Eley D. D., Nature, 162, 819 (1948).
Akamatu H., Inokuchi H., J. Chem. Phys., 18, 810 (1950).
Eley D. D., Parfitt Q. D., Perry M. J., Taysum D. H., Trans. Farad. Soc., 49, 79 (1953).
Akamatu H., Inokuchi H., Handa T., Nature, 168, 520 (1951).
Inokuchi H., Bull. Chem. Soc., Japan, 24, 222 (1951).
Mette H., Pick H., ZS. f. Phys., 134, 566 (1953).
Pick H., Wissman W., ZS. f. Phys. 138, 436 (1954).
Northrop D. C., Simpson O., Proc. Phys. Soc., B, 67, 892 (1954).
Baxter S., Trans. Farad. Soc., 39, 207 (1943).
Robertson J. M., J. Chem. Soc., 1195 (1936).
Lonsdale K., Proc. Roy. Soc. A., London, 159, 149 (1937).
Вартанян А. Т., Изв. АН СССР, Серия физич., 16, 169 (1952).
Вартанян А. Т., ЖФХ, 24, 1361 (1950).
Вартанян А. Т., ЖФХ, 30, 1028 (1956).
Риль Н. В., ЖФХ, 29, 959, (1955).
Риль Н. В., ЖФХ, 29, 1537 (1955).
Вартанян А. Т., ЖФХ, 27, 272 (1953).

* Величина $2E$ зависит от длины волны возбуждающего света. В табл. 3 приведены средние значения $2E$.

П. И. БАРАНСКИЙ

ЗАВИСИМОСТЬ ПОДВИЖНОСТИ НОСИТЕЛЕЙ ТОКА
В ГЕРМАНИИ ОТ КОНЦЕНТРАЦИИ СУРЬМЫ И ФОСФОРА

Изучение подвижности носителей тока является не только источником более глубокого понимания физики процессов, происходящих в полупроводнике, но создает также возможность для улучшения технических показателей кристаллических изделий (уменьшение инерционности, устранение шумов и т. д.). В отличие от вопроса о рассеянии носителей тока в колебаниях решетки, который можно считать в настоящее время достаточно хорошо изученным, рассеянию носителей на ионизированных центрах примесей экспериментаторы вплоть до последнего времени мало уделяли внимания.

Нами изучена зависимость подвижности носителей тока в германии от концентрации сурьмы Sb^{124} и фосфора P^{32} при комнатной температуре.

Полная ионизация (что было установлено прямыми опытами) указанных примесей в монокристаллических образцах германия позволяла находить концентрацию рассеивающих центров при помощи метода меченых атомов. Значения холловской подвижности носителей μ_H находились общепринятым путем

$$\frac{1}{\rho} = \sigma = \sigma_0 e^{-\frac{E}{kT}},$$

$$\mu_H = \frac{8}{3\pi} \cdot \frac{R}{\rho}.$$

Экспериментальные результаты, полученные в опытах с сурьмой и фосфором, изображены на рис. 1 точками и крестиками соответственно.

Сопоставление этих данных с выводами теории примесного рассеяния Конвелл — Вайскопфа (рассеяние носителей на кулоновских центрах [1—5]) естественно, как нам кажется, производить следующим образом.

Учитывая то, что, согласно теории,

$$\frac{1}{\mu} = A + B(n),$$

где A — член, обусловленный рассеянием на решетке, а B — характеризует рассеяние на примесях и является функцией их концентрации, необходимо вычислить по формуле Конвелл — Вайскопфа $B = A$ и результаты этих вычислений нанести на кальку в полулогарифмическом масштабе ($\frac{1}{\mu}$ от $\log n$). Имеющиеся экспериментальные данные нанести

на миллиметровку также в координатах ($\frac{1}{\mu}$, $\log n$) в том же масштабе. Затем, перемещая кальку параллельно оси ординат, добиться наилучшего совпадения теоретической кривой с экспериментальными точками. Сплошная кривая рис. 1 и представляет собой теоретическую зависимость подвижности носителей тока от концентрации ионизированных примесей, а расположение на графике относительно экспериментальных точек было подобрано посредством перемещения «стандартной кривой» параллельно оси ординат. Представленные на рис. 2 в двойном логарифмическом масштабе эти же результаты позволяют непосредственно в процентах оценить отклонение экспериментальных точек от теоретической кривой.

равнения на этом же рисунке представлены в форме кругов (с учетом масштабов по обеим осям) данные Пирсона и его сотрудников [6], изучавших концентрационную зависимость подвижности носителей тока в германии, легированном сурьмой. Недостаточная точность их опытов, как это явствует из рис. 2, практически исключала возможность сопоставления результатов Пирсона с выводами теории.

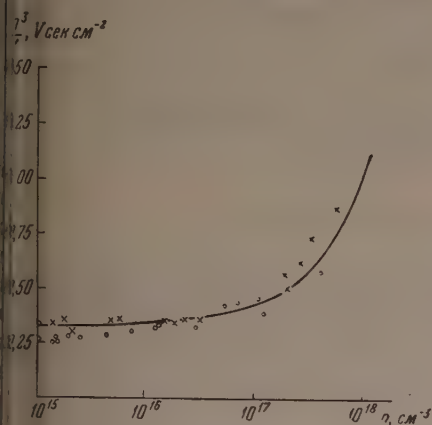


Рис. 1

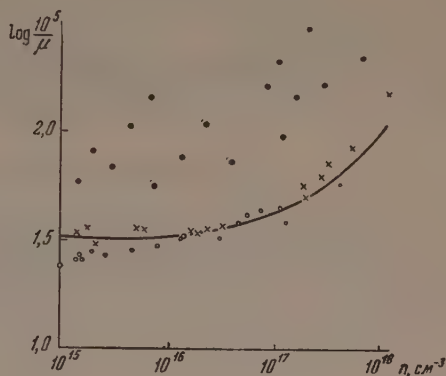


Рис. 2

Учет же наших данных позволяет считать установленным, что уменьшение подвижности носителей тока с повышением концентрации рассеивающих центров (представляющих собой ионизированные атомы примеси) как в случае присадки сурьмы, так и в случае присадки фосфора при комнатной температуре количественно (с точностью до 10—12%) удовлетворяет формуле Конвелл — Вайскопфа.

Автор доклада сердечно благодарит В. Е. Лашкарева за предложение темы и научное руководство при ее выполнении.

Институт физики Академии наук СССР

Цитированная литература

- Conwell E. M., Weisskopf V. F., Phys. Rev., **69**, 258 (1946).
 Conwell E. M., Weisskopf V. F., Phys. Rev., **77**, 388 (1950).
 Conwell E. M., Ryder E. J., Phys. Rev., **87**, 190 (1952).
 Debye P. P., Conwell E. M., Phys. Rev., **87**, 1131 (1952).
 Conwell E. M., Proc. IRE, **40**, 1329 (1952).
 Pearson G. L., Struthers J. D., Theucrer H., Phys. Rev., **77**, 809 (1950).

В. А. ЧУЕНКОВ

К ТЕОРИИ ЭЛЕКТРИЧЕСКОЙ ПРОЧНОСТИ
ГЕРМАНИЯ И КРЕМНИЯ*(Краткое содержание доклада)*

Изучение процессов, происходящих в полупроводниках, помещенных в сильное электрическое поле, представляет большой интерес как с практической, так и с теоретической точки зрения. При наличии сильного электрического поля (большие обратные напряжения) в германиевых и кремниевых электронно-дырочных (э.-д.) переходах возникают процессы, приводящие к нарушению их электрической прочности. К таким процессам относятся: разогрев перехода, эффект Зинера, ионизация электронов ударом.

В настоящее время установлено [1], что при подаче напряжения в форме импульсов длительностью 10^{-5} сек и меньше нарушение электрической прочности электронно-дырочных переходов обусловлено исключительно ударной ионизацией. Вместе с тем ударная ионизация играет существенную роль и при пробое э.-д. переходов на постоянном напряжении.

Изучение процесса ударной ионизации в э.-д. переходе, где имеется существенно неоднородное электрическое поле, является весьма трудной задачей. Первым шагом на пути к решению этой задачи является, на наш взгляд, изучение процессов, происходящих в однородном полупроводнике при наложении достаточно сильного однородного электрического поля в форме кратковременного импульса, когда тепловые эффекты могут быть исключены.

В настоящей работе сделана попытка нахождения функции распределения электронов в полупроводнике типа германия в сильном однородном электрическом поле (напряжение подается в форме короткого импульса длительностью 10^{-5} сек и меньше) с учетом рассеяния на акустических и оптических колебаниях решетки, а также ионизационных столкновений электронов с атомами решетки. Рекомбинация электронов играет существенную роль лишь в малой окрестности нуля энергий в фазовом пространстве [2]. Поэтому всюду, за исключением малой окрестности нуля энергий, рекомбинационным членом при нахождении функции распределения можно пренебречь.

На основе найденной функции распределения сформулирован критерий, позволяющий определить напряженность поля $E = E_{кр}$, при котором происходит нарушение электрической прочности и образование электронно-дырочной лавины, в функции температуры и параметров решетки. При комнатной температуре для электронного германия $E_{кр} = 4,6 \cdot 10^4$ В/см, а для электронного кремния $E_{кр} = 1,4 \cdot 10^5$ В/см.

Опытное значение максимальной напряженности электрического поля $E = E_m$ в германиевом э.-д. переходе в момент нарушения его электрической прочности (среднее значение напряженности электрического поля в э.-д. переходе равно $E_{ср} = \frac{E_m}{2}$ для вплавленных диодов и $E_{ср} = \frac{E_m}{1,5}$ для диффузионных диодов) обычно в три-четыре раза больше ($E_m \approx 2 \cdot 10^5$ В/см).

казанного выше теоретического значения $E_{кр}$ [3]. Это расхождение объясняется тем, что теоретическое значение $E_{кр}$ получено для достаточно толстого слоя полупроводника, помещенного в однородное электрическое поле, в то время как при пробое э.-д. переходов мы имеем дело с узким слоем полупроводника порядка 10^{-3} см, находящемся в неоднородном электрическом поле. Следовательно, для развития достаточно мощной электрической лавины, необходимой для нарушения электрической прочности э.-д. перехода, требуется поле, несколько большее $E_{кр}$. Из сказанного ясно, что с увеличением ширины э.-д. перехода значение E_m должно приближаться к $E_{кр}$. Действительно, Б. М. Мул и А. П. Шотов показали [3], что при пробое германиевого э.-д. перехода в 0,3 мм значение E_m в момент пробоя равно

$$7,6 \cdot 10^4 \text{ В см}^{-1} \left(E_{ср} = \frac{E_m}{2} = 3,8 \cdot 10^4 \text{ В см}^{-1} \right),$$

что уже довольно близко к теоретическому значению $E_{кр}$. Заметим, что если рассеяние на оптических колебаниях не учитывать, то для электронного германия получим

$$E_{кр} = 4 \cdot 10^3 \text{ В см}^{-1},$$

что явно противоречит опыту. Следовательно, при наличии сильного электрического поля, когда средняя энергия электронов ε гораздо больше kT , рассеяние на оптических колебаниях играет весьма существенную роль. При $E \approx kT$, как известно, основную роль играет рассеяние на акустических колебаниях.

Анализ функции распределения показывает, что, начиная с энергии $\varepsilon = \varepsilon_1$ выше, ионизационные столкновения электронов с атомами решетки играют преобладающую роль по сравнению с рассеянием на тепловых колебаниях решетки. При $\varepsilon < \varepsilon_1$ преобладающую роль играют столкновения на тепловых колебаниях решетки. Как показывает расчет, энергия ε_1 значительно превышает ширину запрещенной зоны I . Для германия $I = 0,75 \text{ эВ}$, $\varepsilon_1 = 2,2 \text{ эВ}$, для кремния $I = 1,15 \text{ эВ}$, а $\varepsilon_1 = 2,55 \text{ эВ}$. Это обстоятельство указывает на одну из причин, по которой на производство пары электрон — дырка при облучении полупроводника электронами расходуется энергия, превышающая значение I (опыт дает $\varepsilon^* \approx 2-3 \text{ эВ}$). Для коэффициента тепловой ионизации α в настоящей работе предложена формула

$$\alpha(E) = a E e^{-\frac{b}{E}}, \quad (1)$$

где E — напряженность электрического поля,

$$a = \frac{3e}{2\varepsilon_1 + I}, \quad b = \frac{2\varepsilon_1 + I}{3el^*} \quad (2)$$

где e — заряд электрона, l^* — средняя длина свободного пробега электрона в интервале энергий от ε_m до ε_1 ; ε_m — среднее значение энергии, которой обладают ионизирующий и выбитый электроны после ионизации). При комнатной температуре для электронного германия

$$\alpha(E) = 0,59 E e^{-\frac{5,8 \cdot 10^5}{E}}, \quad (3)$$

для электронного кремния

$$\alpha(E) = 0,48 E e^{-\frac{8,16 \cdot 10^5}{E}}, \quad (4)$$

где E дается в электронвольтах.

**Зависимость коэффициента ударной ионизации от напряженности электрического
при комнатной температуре**

Электрон- ный герма- ний	$E, V\text{ см}^{-1}$ $\alpha(E)$ опыт $\alpha(E)$ теория	$1,67 \cdot 10^5$ $4 \cdot 10^3$ $3,06 \cdot 10^3$	$1,75 \cdot 10^5$ $5 \cdot 10^3$ $3,72 \cdot 10^3$	$2 \cdot 10^5$ $8 \cdot 10^3$ $6,5 \cdot 10^3$	$2,25 \cdot 10^5$ $1,1 \cdot 10^4$ $1,0 \cdot 10^4$	$2,5 \cdot 10^5$ $1,5 \cdot 10^4$ $1,42 \cdot 10^4$	$2,7 \cdot 10^5$ $1,7 \cdot 10^4$ $1,6 \cdot 10^4$
Электрон- ный крем- ний	$E, V\text{ см}^{-1}$ $\alpha(E)$ опыт $\alpha(E)$ теория	$2 \cdot 10^5$ $1,0 \cdot 10^3$ $1,61 \cdot 10^3$	$3 \cdot 10^5$ $7 \cdot 10^3$ $9,2 \cdot 10^3$	$4 \cdot 10^5$ $3 \cdot 10^4$ $2,5 \cdot 10^4$	$5 \cdot 10^5$ $8 \cdot 10^4$ $4,75 \cdot 10^4$	$6 \cdot 10^5$ $9 \cdot 10^4$ $7,95 \cdot 10^4$	$1,0 \cdot 10^6$ $1,0 \cdot 10^4$ $1,0 \cdot 10^4$

В таблице теоретические значения $\alpha(E)$, вычисленные по формулам (4), сравниваются с опытными [3, 4, 5]. Опытные значения $\alpha(E)$ для германия, приведенные в таблице, получены Б. М. Вулом и А. П. Шотовым [3]. Данные этих авторов являются наиболее надежными, так как получены при пробое э.-д. переходов на импульсах, когда влияние тепловых эффектов исключено.

Заметим, что формула (1) справедлива как для однородных, так и неоднородных полей.

В заключение пользуюсь случаем выразить благодарность Б. М. Вулу и А. П. Шотову за ценные дискуссии по обсуждаемому вопросу.

Физический институт им. П. Н. Лебедева
Академии наук СССР

Цитированная литература

1. Шотов А. П., ЖТФ, 26, 1634 (1956).
2. Адирович Э. И., Некоторые вопросы теории люминесценции кристаллов. Гостехтеоретиздат, стр. 297, 1951.
3. Вул Б. М. и Шотов А. П., Радиотехника и электроника, 8, 1080 (1956).
4. Wolff P. A., Phys. Rev., 95, 1415 (1954).
5. Miller S. L., Phys. Rev., 99, 1234 (1955).

Ю. Н. ШУВАЛОВ

РАСПРЕДЕЛЕНИЕ ЭЛЕКТРОННОЙ ПЛОТНОСТИ ЭЛЕКТРОПРОВОДНОСТЬ КРИСТАЛЛОВ СЕРНИСТОГО КАДМИЯ

Задача, которая ставилась в настоящей работе, заключалась в выяснении связи между распределением электронной плотности в кристаллах и электропроводностью.

Еще Р. В. Джеймс и Э. М. Фирс показали [1] наличие изменений в распределении электронных плотностей в кристаллах при повышении температуры, выражающихся в размазывании максимумов электронной плотности вследствие усиления тепловых колебаний.

Р. Брилли, Г. Гримм, К. Германн и К. Петерс исследовали распределение электронной плотности в кристаллах каменной соли, алмаза, уротропина [2] и магния [3], т. е. в веществах, являющихся типичными для ионной (гетерополярной), атомной (гомеополярной), ван-дер-ваальсовой и металлической связей. В частности, их работа подтвердила существование обменных электронов в случае атомной связи; располагаясь вблизи линии, соединяющей центры тяжести атомов, они увеличивают электронную плотность вдоль этой линии. Такое увеличение электронной плотности вдоль определенного направления в кристалле выглядит на карте ее распределения в виде своеобразной электронной перемычки между атомами, так называемого «электронного мостика». С другой стороны, каменная соль с ее ионной связью показывает отсутствие подобных мостиков, и здесь наблюдается падение электронной плотности практически до нуля между атомами натрия и хлора.

Если различные образцы одного полупроводника обладают сильно различающейся проводимостью из-за наличия примесей, то можно ожидать в таких образцах также изменения в распределении электронной плотности.

Исследование проводилось путем снятия развернутых рентгенограмм вращения, полученных по методу Вайсенберга [4] на рентгенгонометре Густера — Мартина с последующим измерением интенсивностей рефлексов при помощи микрофотометра МФ-2. По интенсивностям рефлексов I вычислялись структурные амплитуды F с температурным фактором e^{-M} в относительных единицах:

$$F \cdot e^{-M} = \sqrt{I \cdot \frac{\sin 2\vartheta}{1 + \cos^2 2\vartheta}}.$$

Относительная электронная плотность ρ в любой точке кристалла подчитывалась посредством Фурье-синтеза [5]. Техника суммирования рядов Фурье проводилась в основном по методу трафаретов [6], а затем оставались диаграммы распределения электронной плотности исследованных кристаллов.

Исследование связи между электронной плотностью и электропроводностью было проведено на кристаллах сернистого кадмия, любезно предоставленных для настоящей работы С. М. Рывкиным. Кристаллы эти были получены С. М. Рывкиным в Физико-техническом институте путем испарения металлического кадмия в атмосфере водорода и паров серы. Из-за

неуловимых вариаций в условиях получения кристаллы приобретают проводимость, меняющуюся в широких пределах.

Кристаллический CdS имеет структуру вюрцита, которая впервые была определена К. Аминовым [7] и уточнена для CdSФ. Ульрихом и В. Зариасеном [8]. CdS представляет собой плотнейшую гексагональную упаковку из атомов кадмия, половина тетраэдрических пустот которой занята атомами серы.

Исследовавшиеся кристаллы имели форму параллелепипедов, вытянутых вдоль гексагональной оси c . Ширина их составляла $0,4 \pm 0,04$ мм при толщине $0,03 \pm 0,04$ мм. При вращении кристаллов во

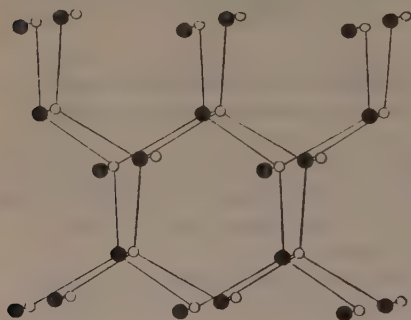


Рис. 1. Решетка CdS (структура вюрцита). Вид по направлению, близкому к (001)

оси с вайсенбергограммы нулевой слоевой линии давали рефлексы, по интенсивностям которых можно было рассчитать проекцию распределения электронной плотности на плоскость (001).

Проекция эта (рис. 1) отличается тем, что в ней имеет место наложение атомов кадмия и серы одного на другой в равных количествах, и поэтому они обезличиваются. Но зато можно высказать ряд определенных соображений о связях между ними, то как в случае проекции, при которой атомы разделяются, отдельные связи накладываются на тетраэдрические и октаэдрические пустоты, что затрудняет их анализ.

Для измерения проводимости образцы наклеивались на стекло так, чтобы поверхность клея плавно соединяла верхние поверхности кристалла и стекла; середину кристалла прикрывали полоской фольги шириной 1—2 мм. Затем на стекло и кристалл наносили слой алюминия путем испарения в вакууме. На концы кристалла подавалось напряжение до 12 В через гальванометр чувствительностью $5 \cdot 10^{-9}$ А мм⁻¹, что позволяло мерять общее сопротивление образца почти до 10^{11} Ω.

Было исследовано более 20 образцов. Вычисления были проведены по 13 образцам по нескольким наиболее удачным рентгенограммам с каждым. Кристаллы эти показали весьма разнообразное удельное сопротивление от 0,0025 до 110 МΩ·см. За основу для сравнений был выбран один из наиболее высокоомных кристаллов a , данные для которого были получены из 17 вполне удовлетворительных рентгенограмм.

Вращение вокруг шестерной оси симметрии, каковой является ось c гексагонального кристалла, разбивает все рефлексы на шесть идентичных секторов по 60° каждый, так что достаточно рассмотреть отражения только на одном из них. На каждой вайсенбергограмме можно выбрать рефлексы, относящиеся к одному сектору так, что они оказываются достаточно удаленными от областей сильного поглощения, что оправдывает пренебрежение абсорбционным фактором. Впрочем, задачей работы не являлось сравнение экспериментальных данных с теоретическими, которое было проведено только для сверки общей структуры кристалла и с этой точки зрения дало удовлетворительные результаты, а сравнение экспериментальных данных ряда кристаллов между собой. Поэтому кристаллы выбирались определенной формы и располагались при съемке одинаковым образом, что и обеспечивало законность сравнения результатов. Условия работы пленок и фотометрирования рефлексов также оставались постоянными.

Изменения в интенсивности рефлексов для разных образцов оказались значительными. При этом было замечено, что интенсивности од

рефлексов по сравнению с соседними имеют тенденцию изменяться определенным образом при переходе к кристаллам с большей проводимостью. Эти-то относительные изменения интенсивностей рефлексов были использованы для определения изменений в распределении электронных плотностей. Для удобства сравнения эти отношения для каждого образца были разделены на соответствующие отношения выбранного за основу сравнений многократно проверенного кристалла *a*. Таким образом, для каждого кристалла получился комплекс унифицированных отношений, определяемых реальной структурой данного кристалла через интенсивности его рефлексов (см. таблицу).

Отношения интенсивностей рефлексов кристаллов CdS

Образцы кристаллов	Рефлексы										Удельное сопротивление в $M \Omega \cdot cm$
	110:100	110:200	200:210	300:210	300:220	220:310	310:400	400:320	410:320	410:500	
Высокоомные	0,86	1,24	1,06	1,37	1,20	1,15	0,92	0,96	0,91	0,72	110
	1,00*	1,00	1,00	1,00	1,00	1,00	1,00	1,00	1,00	1,00	78
	0,85	1,25	1,08	1,26	1,06	1,51	0,97	0,94	1,12	0,89	21
	0,96	1,19	0,91	1,02	0,93	1,11	0,94	1,10	1,11	0,94	17,5
	1,03	1,24	1,01	1,09	1,28	0,90	1,06	0,93	0,98	1,10	13
	1,03	1,28	0,99	0,98	0,92	1,04	0,97	1,07	1,03	0,94	2,15
Среднее значение	0,96	1,20	1,01	1,12	1,07	1,12	0,98	1,00	1,03	0,93	
Низкоомные	1,14	1,47	0,99	1,12	0,94	1,20	1,26	1,01	1,09	1,14	0,25
		1,65	1,00	1,07	0,97	1,47	0,90	1,14	1,01	1,47	0,1
	1,13	1,54	0,89	0,91	0,96	1,11	0,98	1,11	0,99	1,10	0,02
	1,27**	1,80	0,75	0,84	0,76	1,15	1,01	0,99	1,05	1,44	0,016
	1,33	2,22	1,00	1,16	0,85	1,69	1,20	1,03	1,63	1,00	0,005
	1,13	2,08	0,87	0,85	0,68	1,39	1,25	0,83	0,97	1,13	0,0025
	1,06	2,13	0,61	0,84	0,80	2,50	0,69	1,10	1,40		
Среднее значение	1,18	1,95	0,82	0,92	0,81	1,57	1,03	1,01	1,21	1,17	

Если расположить все образцы по возрастающей удельной проводимости в логарифмическом масштабе, то можно проследить изменение каждого из отношений от одного образца к другому по мере роста проводимости (рис. 2). Таблица и график показывают, что, несмотря на многочисленные случайные отклонения, некоторые из отношений в общем закономерно растут с проводимостью (№ 1, 2, 6, 7, 10), другие падают (№ 3, 4, 5), третьи не обнаруживают никакой определенной тенденции (№ 8, 9 и другие). Последняя группа пассивных отношений представляет рефлексы с малой интенсивностью.

* Данные этой строки относятся к кристаллу *a*.

** Данные этой строки относятся к кристаллу *б*.

Зависимость между проводимостью и отношениями интенсивностей рефлексов выступает еще более четко, если сравнивать отношения, усредненные по группам высокоомных и низкоомных образцов. Метод рассмотренных отношений рефлексов позволяет избежать сложного вычисления электронной плотности для каждого кристалла в отдельности.

Вычисления структурных амплитуд и построение проекции распределения электронной плотности были выполнены для двух кристаллов высокоомного *a* (рис. 3) и низкоомного *b* (рис. 4). Эти построения представляли собой почти идентичные картины. Эффект обрыва бесконечного ряда Фурье, получающийся из-за невозможности использовать трудноизмеряемые рефлексы высоких индексов, сказался на опытных распределениях и выразился в возникновении волн обрыва вокруг максимумов (атомы) и минимумов (октаэдрические пустоты) электронной плотности.

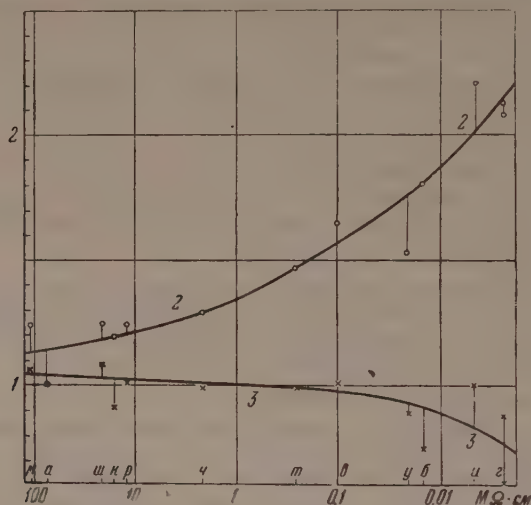


Рис. 2. Отношения интенсивностей рефлексов разных образцов CdS

Для возможного уменьшения эффекта обрыва ряда при использовании экспериментальных данных был применен распространенный и общезвестный [5] прием — фиктивное повышение температуры опыта, заключающееся в искусственном увеличении показателя M у температурного фактора e^{-M} . Этот прием, почти не нанося ущерба первым главным структурным амплитудам, сильно уменьшает последние, как раз которые не могут быть получены экспериментально с достаточной достоверностью и этим самым как бы узаконивают пренебрежение ими. Исчезают волны обрыва, вносящие путаницу в картину распределения электронной плотности реальных кристаллов. Правда, понижаются и распределяются главные максимумы, что соответствует усилению тепловых колебаний атомов. Электронная плотность размазанных максимумов повышается, электронный фон в пространстве между атомами, но эффект этот обладает сферической симметрией и не нарушает относительных возмущений электронной плотности в отдельных направлениях, хотя и ослабляет их. Видно, что все это только увеличивает погрешности вычисления, которые накладываются на и без того значительные погрешности фотометрирования.

Все же, сравнивая детали диаграмм распределения электронных плотностей (рис. 3 и 4), удалось получить определенный намек на закономерность искажения электронной плотности в пространстве между проекциями атомов при переходе от высокоомного кристалла *a* к низкоомному.

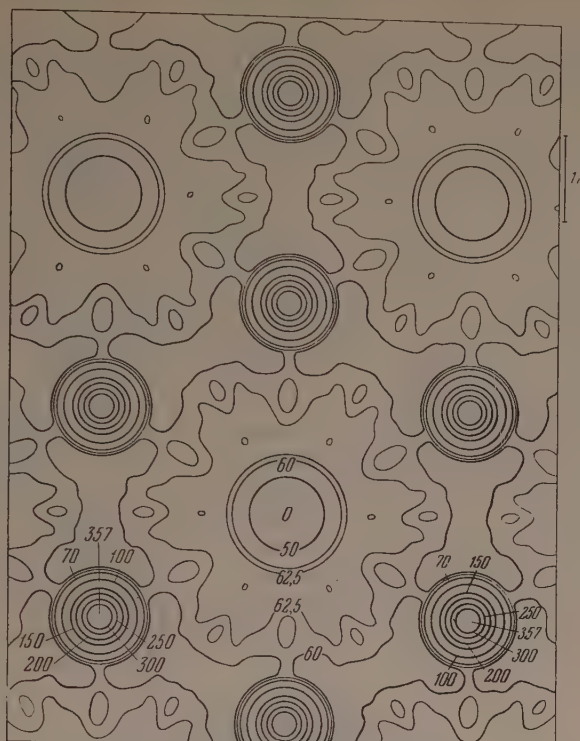


Рис. 3. Распределение электронной плотности в высокоомном кристалле CdS. Проекция на (001)

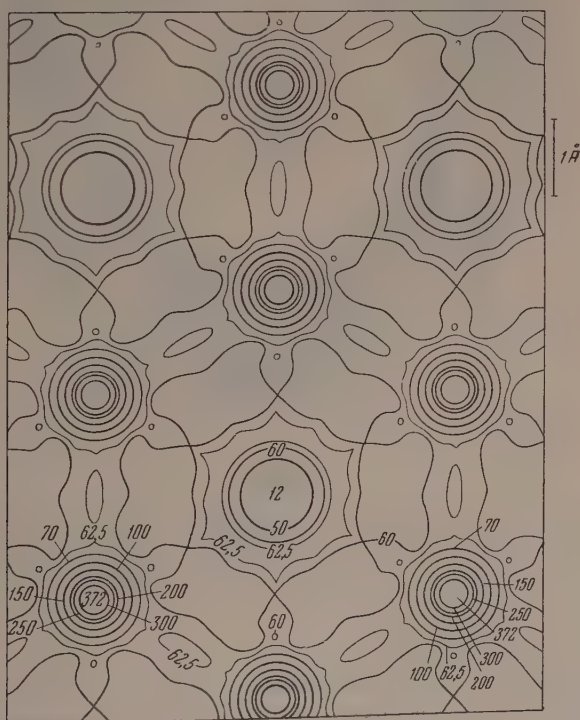


Рис. 4. Распределение электронной плотности в низкоомном кристалле CdS. Проекция на (001)

хотя этот эффект близок по порядку величины к общим погрешностям. Заметить его можно благодаря тому, что на этих диаграммах наряду с главными изолиниями электронной плотности, проведенными через каж-

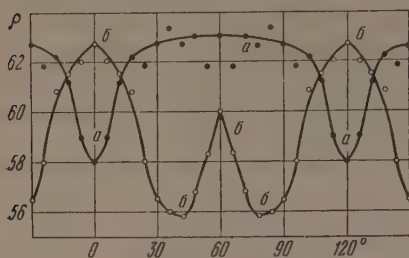


Рис. 5. Электронная плотность вокруг атома по разным направлениям в высокоомном *a* и низкоомном *б* кристалле CdS

ма должно было бы составлять постоянную величину во всех направлениях. Но из рис. 5 видно, что электронная оболочка явно искажена, и при этом по-разному для кристаллов различной проводимости. На рис. 6 наглядно представлено перераспределение электронной плотности в простран-

стве 50 условных единиц (жирные линии воспроизведены еще три изолинии в пределах 60, 62 и 70 единиц), как раз и проявляющую тонкую структуру электронного ф

В особо крупном масштабе рассмотрено распределение электронной плотности на ее проекции вокруг атома на расстоянии $\frac{1}{6} a \sqrt{3} = 1,19 \text{ \AA}$ (половина расстояния между ближайшими проекциями атомов). При строго сферической симметрии электронной оболочки значение электронной плотности в определенном расстоянии от центра

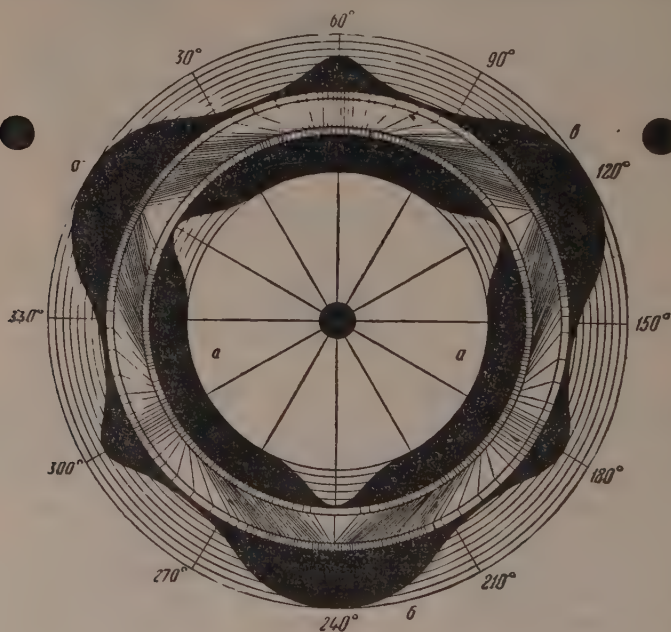


Рис. 6. Перераспределение электронной плотности вокруг атома при переходе от высокоомного *a* к низкоомному *б* кристаллу CdS

между атомами при переходе от высокоомного образца *a* (внутренний пояс) к низкоомному *б* (внешний пояс).

Между соседними проекциями атомов можно различить три рода расстояний: ближнее — длиной $\frac{1}{3} a \sqrt{3} = 2,39 \text{ \AA}$ под углами 0, 120 и 240 градусов; среднее — длиной $a = 4,13 \text{ \AA}$ под углами 30, 90, 150, 210, 270 и 330 градусов.

дальнее—длиной $\frac{2}{3}a \sqrt{3} = 4,78 \text{ \AA}$ под углами 60, 180 и 300°. Нетрудно заметить, что если в высокоомном кристалле электронная плотность вокруг атома во всех направлениях приблизительно одинакова и только вдоль ближнего расстояния между атомами падает, то в низкоомном кристалле она повышается вдоль ближних и дальних расстояний между атомами, образуя электронные мостики между ними, тогда как вдоль средних расстояний она уменьшается, образуя провалы. Видно, как дальние мостики накладываются один на другой, на средние провалы и на октаэдрическую решетку. Вывод о возникновении мостиков и провалов многократно подтвержден детальным изучением роли каждого рефлекса в отдельности в общем строении распределения электронной плотности. Показано, что увеличение интенсивностей одних рефлексов и уменьшение других такое, какое наблюдается при переходе от кристаллов с низкой проводимостью к кристаллам с высокой проводимостью, как раз и должно приводить к описанному перераспределению электронных плотностей.

По структуре кристалла и по характеру проекции (см. рис. 1) можно видеть, что средние расстояния между соседними атомами действительно лежат в плоскости проекции, изображая связи между ближайшими одноименными атомами. Ближние же и дальние расстояния на самом деле лежат между атомами, находящимися в разных слоях. А так как слои атомов кадмия и серы чередуются между собой, то ближайшими на этих расстояниях оказываются разноименные атомы. С этой точки зрения приобретает особое значение тот факт, что с повышением проводимости электронные мостики с истинной длиной 2,52 и 4,84 Å образуются между разноименными атомами, а между одноименными атомами связь еще более ослабевает.

Полезно добавить, что по условиям опыта кристаллы облучались сильным пучком рентгеновых лучей, что должно было повышать их проводимость при съемке рентгенограмм в течение всей экспозиции за счет фотопроводимости [9]. А абсолютное значение фотопроводимости тем выше, чем выше темновая проводимость кристалла. Стало быть, у кристаллов с лучшей проводимостью она во время съемки повышалась еще больше, что могло только увеличить найденный эффект и облегчить его обнаружение.

В заключение благодарю А. А. Лебедева за выбор темы и за постоянное внимание и интерес к работе.

Ленинградский гос. университет
им. А. А. Жданова

Цитированная литература

- Джеймс Р., Оптические принципы диффракции рентгеновых лучей.— ИЛ, 1950.
Brill R., Grimm H. G., Hermann C., Peters C., Ann. d. Phys., 34, 393 (1939); Усп. хим., 9, вып. 4, 419 (1940).
Grimm H. G., Brill R., Hermann C., Peters C., D. Naturwiss., 26, 29, 479 (1938); подробное сообщение Ann. d. Phys., 41, 37 (1942).
Бургер М. Д., Рентгеновская кристаллография.— ИЛ, 1948.
Китайгородский А. И., Рентгеноструктурный анализ, т. I.— Гостехтеоретиздат, 1950.
Строганов Е. В., Диссертация, ЛГУ, 1953.
Aminoff C., ZS. f. Kristallogr., 58, 203 (1923).
Ulrich F., Zachariasen W., ZS. f. Kristallogr., 62, 260 (1925).
Broser I., Oeser H., Warminsky R., ZS. f. Naturf., 5a, 214 (1950).

М. ШТЕНБЕК

ПОПЫТКА ОПРЕДЕЛЕНИЯ ПОВЫШЕНИЯ ТЕМПЕРАТУРЫ
НОСИТЕЛЕЙ ТОКА, ВЫЗЫВАЕМОГО ЭЛЕКТРИЧЕСКИМ
ПОЛЕМ В ГЕРМАНИИ

В докладе сообщается об одной возможности определения энергетической связи носителей тока с решеткой.

Если ток плотности i течет через полупроводник, например Ge n -типа, то средняя кинетическая энергия носителей тока превышает $3/2 kT_0$. T_0 — температура решетки.

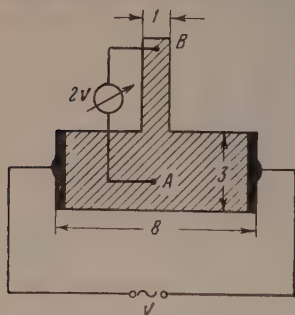
Определим пока чисто формально температуру электронного газа так, что $3/2 kT$ равно среднему значению кинетической энергии электронов; тогда при наличии тока температура электронного газа $T > T_0$. Можно ожидать, что при не очень больших плотностях тока

$$\Delta T = T - T_0 = \alpha i^2,$$

где коэффициент α является характеристикой энергетической связи между электронами и решеткой, который до настоящего времени ни теоретически, ни экспериментально хорошо не изучен.

Сначала изложим одну из возможностей экспериментального изучения коэффициента α . В условиях неоднородного распределения плотности тока в полупроводнике (например, i в точке A (i_A) больше, нежели i в точке B (i_B)) температура электронного газа в

точках также будет различной ($T_A > T_B$), хотя температура решетки T_0 при этом может оставаться практически одинаковой во всем объеме. Термическая неоднородность, характерная для электронного газа в подобных условиях, является источником особого термоэлектрического напряжения U_T , которое измеряется при помощи зондов, введенных в виде игл, прижатых к образцу в точках A и B , в условиях отсутствия тока в цепи зондов. При этом, правда, измеряется еще и дополнительная часть напряжения



между зондами, возникающая вследствие омического перепада напряжения в полупроводнике. Но эта часть легко исключается, поскольку изменяет знак при изменении направления тока, в то время как истинное термоэлектрическое напряжение остается неизменным. Это исследование проводилось при комнатной температуре на предельно однородном монокристалле n -типа с концентрацией носителей тока $N = 9 \cdot 10^{14} \text{ см}^{-3}$.

На рисунке приведены измерительная схема и размеры образца (его ширина составляла 0,15 мм). Образец был наклеен на стекло, сошлифован и протравлен. Токоподводящие электроды были припаяны к образцу чистым оловом на большом расстоянии от зондов, что исключало их влияние. В точке B плотность тока практически равнялась нулю, тогда как в точке A она варьировала от 0 до $12 \text{ А}_{\text{эфф}} \text{ см}^{-2}$.

В опытах были использованы вольфрамовые, железные и бронзовые щетки при различной силе прижима и различных радиусах закругления. Результаты опытов мало зависели от свойств контактов полупроводника — зонды. Лишь только при сильной формовке зондов (когда диаметр сформованной области превосходил уже примерно 40μ) значения термоэлектрического напряжения начинали заметно повышаться. Желая исключить колебания температуры решетки, мы использовали для опытов переменный ток, причем в области частот $\nu = 500 \div 20000$ Hz получали практически совпадающие результаты. Термонапряжение U_T имело частоту 2ν и легко измерялось. Фаза измеряемых сигналов частоты 2ν относительно питающего напряжения частоты ν контролировалась при помощи осциллографа, причем результаты контроля согласовались с ожиданиями. При использовании в наших опытах германиевого образца n -типа отрицательно заряженным оказывался зонд, расположенный в точке А.

Все результаты опытов удовлетворяли выражению

$$U_T = \beta i^2 \text{ при } 3 \cdot 10^{-5} \leq \beta \leq 6 \cdot 10^{-5} \frac{V_{\text{эфф}}}{(A_{\text{эфф}} \text{ см}^2)^2}.$$

Принимая во внимание некоторые теоретические соображения, более правильно было бы оперировать с подобным выражением не для плотности тока, а для напряженности поля. Непосредственный пересчет дает

$$U_T = \gamma E^2$$

$$\text{при } 1 \cdot 10^{-5} \leq \gamma \leq 2 \cdot 10^{-5} \frac{V}{(V \text{ см}^{-1})^2} \text{ и } 0 \leq E \leq 30 V \text{ см}^{-1}.$$

Для осуществления перехода от измеряемого термонапряжения к повышению температуры электронного газа над температурой решетки нужны какие-нибудь теоретические представления. Наше предложение по столкновению изложенных здесь опытных данных, по-видимому, является лишь грубым приближением и основывается на следующих допущениях: в области зонда А электроны имеют температуру $T = T_0 + \Delta T$, а дырки в районе p — n -перехода контакта зонд — образец имеют только температуру решетки T_0 .

Учитывая то, что средняя длина свободного пробега носителей тока в приповерхностном слое меньше длины свободного пробега в объеме, можно думать, что повышение температуры носителей тока в поверхностном слое будет значительно меньшим, чем в объеме, поэтому рассматривается в отсутствие тока p — n -переход, в котором электроны имеют температуру $T = T_0 + \Delta T$, а дырки — T_0 . Распределение потенциала в определенном объеме практически определяется бальмановским распределением концентрации носителей тока, преимущественно там представленных.

В области, где $N^- > N^+$, потенциал зависит от концентрации электронов, определяющейся температурой $T = T_0 + \Delta T$; в области, где $N^+ > N^-$, принимаем распределение потенциала, соответствующее концентрации дырок, определяющейся температурой T_0 , а границу между этими областями будем считать расположенной в районе равенства концентрации $N^+ = N^- = N_i$. Хотя концентрация N_i сильно зависит от T_0 , но, как слабо зависящая от температуры электронного газа, в первом приближении она может рассматриваться как некая постоянная величина. При этих условиях увеличение температуры электронов на ΔT приводит к росту напряжения на p — n -переходе на

$$\Delta U = \Delta T \frac{k}{e} \ln \frac{N^-}{N_i} \quad (2)$$

со знаком, совпадающим с данными эксперимента. Физические характеристики, учитывающие природу контакта, в данную формулу не входят, поэтому становится понятным индифферентность изучаемого эффекта к материалам и технологии изготовления зондов. Кроме изменения контактного потенциала, рассмотренного выше, в условиях наших опытов имело

место возникновения разности термоэлектрического потенциала между B за счет диффузии носителей в объеме германия; однако эта часть изменения потенциала незначительна по сравнению с величиной изменения тактового потенциала, если только $N^- \gg N_i$, и поэтому мы ею пренебрегаем.

При $N^- = 9 \cdot 10^{14} \text{ см}^{-3}$ и $N_i = 2,5 \cdot 10^{13} \text{ см}^{-3}$ из (2) получается

$$\frac{\Delta U}{\Delta T} = 0,31 \text{ mV град}^{-1}.$$

При таком значении $\Delta U/\Delta T$ для повышения температуры электронного газа в нашем образце, находящемся при комнатной температуре 1° требуются поля порядка $4 \div 6 \text{ V см}^{-1}$.

Нами был проведен также теоретический расчет, при определенных упрощающих предположениях, целью которого было:

а) выяснение возможности теоретического понимания величины эффекта, полученной в описанных опытах;

б) установление реальности максвелловского распределения по скоростям для электронов, ускоряющихся в найденных полях.

Расчет производился в следующих предположениях:

1. Носители тока рассматривались как квазичастицы, имеющие постоянную эффективную массу m и образующие невырожденный газ.

2. Рассматривалось взаимодействие электронов лишь с фононами.

3. Принимались во внимание элементарные акты взаимодействия только единичных электронов.

4. Полагали, что электрон может отдавать или поглощать лишь столько энергии, равную mvs , где s — звуковая скорость, т. е. исключали из рассмотрения угловое распределение и интенсивности взаимодействия электронов, могущих в зависимости от этого обмениваться с фононами энергиями, заключенными в интервале $0 \div 2 mvs$.

5. Вероятность взаимодействия электронов с фононами считалась функцией только их скорости (при заданной температуре решетки T_0).

6. Упомянутая выше функция предопределяет выполнение деталей равновесия при наличии температурного равновесия между электронным газом и решеткой.

Если считать среднюю длину свободного пробега не зависящей от энергии электронов, то расчет приводит к уравнению

$$\frac{T - T_0}{T_0} = \frac{\pi}{4} \left(\frac{W}{c} \right)^2,$$

где W — дрейфовая скорость носителей в электрическом поле. Отсюда следует, что при известной подвижности носителей ($3600 \text{ см}^2 \text{ V}^{-1} \text{ сек}^{-1}$) и звуковой скорости ($c = 4,8 \cdot 10^5 \text{ см сек}^{-1}$), характерных для германия n -типа при комнатной температуре, для повышения температуры электронного газа на один градус требуется поле напряженностью $8,6 \text{ V см}^{-1}$. Это значение находится в хорошем согласии с результатами, полученными в наших опытах.

При таких условиях каждый электрон в элементарном акте в среднем теряет меньше 0,1% своей избыточной энергии. И если только концентрация носителей $N^- \gg 1 \cdot 10^{14} \text{ см}^{-3}$, то энергия кулоновского взаимодействия между электронами на порядки величины может превосходить энергию взаимодействия электронов с фононами, что позволяет ожидать наличие хорошо установившегося термического равновесия электронного газа и решетки подобно термическому равновесию электронного газа в плазме разряда.

Вопрос же о постоянстве подвижности носителей, сохраняющейся вплоть до очень высоких полей (порядка 900 V см^{-1} для германия n -типа), когда можно уже было бы в свете этих представлений ожидать резкое падение температуры электронного газа, остается пока открытым. Впрочем, возможно, что методы и упрощающие предположения, использованные в указанных расчетах, становятся неприемлемыми в области этих полей.

Институт физики Академии наук УССР

Н. П. КАЛАБУХОВ

ОБРАЗОВАНИЕ ВАКАНТНЫХ МЕСТ
В КРИСТАЛЛИЧЕСКОЙ РЕШЕТКЕ

Явление окрашивания кристаллов щелочно-галлоидных солей рентгеновыми лучами известно давно [1]. Однако сам процесс окрашивания известен еще недостаточно. Тартаковским [2] высказывались соображения о том, что при воздействии рентгеновского или γ -кванта на кристаллы щелочно-галлоидных солей происходит рассеяние этого кванта электроном отрицательного иона галоида, и так как энергия кванта во много раз больше энергии связи электрона с атомом галоида, то здесь происходит эффект Комптона, т. е. происходит рассеяние кванта и срывание электрона с иона галоида как электрона отдачи. Электрон переходит на ион щелочного металла, т. е. попадает в зону проводимости, так как пребывание электрона у положительного иона щелочного металла есть зонное состояние электрона. Встретив вакантное место иона галоида, электрон крепляется в месте неоднородности и образует красящий центр (F-центр).

Экспериментального подтверждения эти идеи не получили. Друкарев рассматривает процесс окраски кристаллов рентгеновыми лучами иначе: он считает, что сами рентгеновы лучи могут создавать вакантные места ионов галоида. При воздействии рентгеновского кванта на кристалл происходит не эффект Комптона, а фотоэффект, т. е. происходит не рассеяние кванта, а его поглощение: вследствие закона сохранения импульса и энергии ион, поглотивший квант, претерпевает отдачу. В случае, когда энергия отдачи будет больше энергии связи иона в узле решетки, он будет выбит из своего места и в конце концов вытеснен на поверхность. Вырванный электрон захватится ионом щелочного металла, т. е. перейдет в зону проводимости. При своем движении в зоне проводимости электрон встретит вакантное место иона галоида и захватится этим местом, образуя F-центр.

Друкарев дал расчет для такого процесса. Согласно этому расчету, зная минимальную частоту рентгеновых лучей, которые вызывают окраску кристаллов, можно определить энергию связи иона галоида в решетке; можно также определить и концентрацию вакантных мест, создаваемых рентгеновыми лучами. Экспериментальных доказательств такого механизма окрашивания нет, но в пользу соображений о том, что в результате рентгенизации образуются новые вакантные места, говорят следующие факты: в результате рентгенизации может быть получена максимальная концентрация F-центров порядка 10^{18} . Если считать, что вакантные места в кристаллах не создаются в процессе облучения их рентгеновыми лучами, то нужно допустить, что в кристалле может быть концентрация вакантных мест ионов галоида такого же порядка; если же учесть то обстоятельство, что после термической обработки кристаллов увеличивается интенсивность окрашивания их при рентгенизации, то нужно также допустить, что число вакансий при отжиге меняется, а это должно повлечь за собой заметное уменьшение плотности кристаллов в результате отжига.

Однако тщательно проведенное исследование изменения плотности кристаллов KCl после их отжига не привело к положительным результатам, т. е. не обнаружено заметного изменения плотности. Эстер Лейво и Стерн [4], считая, подобно Друкареву, что в самом процессе рентгенизации происходит образование вакансий ионов галоида, поставили опыты по определению изменения плотности кристаллов KCl, происходящего в результате рентгенизации. Ими была применена чрезвычайно оригинальная методика измерения плотности и обнаружено уменьшение плотности порядка $1,4 \cdot 10^{-4}$ г см⁻³. Это уменьшение плотности авторы объясняют тем, что в результате воздействия рентгеновского излучения на кристаллы KCl в них образуются новые вакантные места ионов галогена и ионов щелочного металла. Ушедшие из узлов решетки ионы располагаются на поверхности кристалла; таким образом происходит увеличение объема кристалла при неизменной массе его.

Для подтверждения гипотезы об образовании новых вакансий в процессе рентгенизации нами были проведены опыты с измерением спектрального распределения коэффициента поглощения в кристаллах KCl в следующей последовательности:

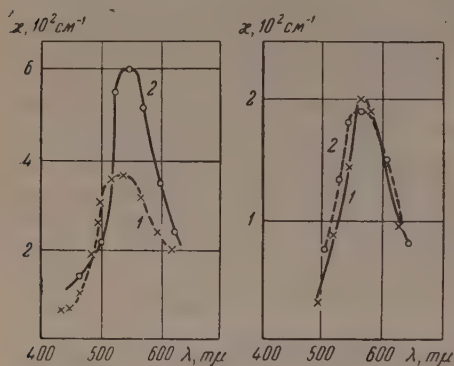


Рис. 1

Рис. 2

Рис. 1. Кривые спектрального распределения коэффициента поглощения: 1 — до рентгенизации, 2 — после рентгенизации.

Рис. 2. Кривые спектрального распределения коэффициента поглощения: 1 — до рентгенизации, 2 — после рентгенизации, отжига и повторной рентгенизации.

1) кристаллы рентгенизовались и в них измерялось спектральное распределение коэффициента поглощения;

2) кристаллы обесцвечивались;

3) кристаллы вновь рентгенизовались при условиях, точно совпадающих с первым случаем, и в них вновь измерялось спектральное распределение коэффициента поглощения.

В результате опытов коэффициент поглощения в повторно окрашенных кристаллах возрос в максимуме почти на 60% по сравнению с однократно рентгенизованными кристаллами (рис. 1).

Если же после первой рентгенизации и обесцвечивания кристаллы выдерживались в печи при температуре $\sim 150^\circ$ в течение 2 час и потом вновь подвергнуты рентгенизации в условиях, совпадающих с первым процессом рентгенизации, то спектральное распределение коэффициента поглощения дает кривую, почти совпадающую с первой, даже с несколько меньшим значением коэффициента поглощения в максимуме (рис. 2). Сопоставление результатов этих опытов говорит о том, что в процессе рентгенизации создаются новые центры захвата электронов (после повторной рентгенизации коэффициент поглощения увеличился). Но эти центры захвата после термической обработки перестают быть активными (после отжига и повторной рентгенизации коэффициент поглощения почти не изменился). Нами проведены также опыты с измерением электропроводности кристаллов KCl в следующем порядке:

1) измерялась электропроводность прозрачных кристаллов KCl при температуре 110° ;

2) кристалл рентгенизовался и обесцвечивался;

3) вновь измерялась электропроводность (причем измерения электропроводности проводились в течение 10 мин).

проводности производились сейчас же после обесцвечивания, а также после обесцвечивания и отжига).

На рис. 3 представлены полученные результаты. На этом рисунке показано спадание тока со временем. Нижняя кривая 1 представляет собой спадание тока в прозрачных и отожженных после рентгенизации и обесцвечивания кристаллах. Кривая 2 дает спадание тока в кристаллах, обесцвеченных после рентгенизации (без отжига). Как видно из рисунка, неотожженные кристаллы после рентгенизации и обесцвечивания дают повышенную электропроводность, а после отжига электропроводность кристаллов падает (точность измерений была $\sim 5\%$) с начальной электропроводностью.

Дальнейшим подтверждением образования вакантных мест при рентгенизации являются результаты опытов с изменением величины темновых токов в аддитивно окрашенных кристаллах KCl. Нами было установлено, что окрашенные в парах щелочного металла кристаллы KCl приобретают полупроводниковые свойства, т. е. в них появляется электронная проводимость в темноте. Установлено было также, что причиной появле-

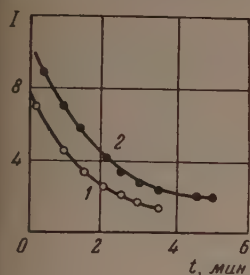


Рис. 3

Рис. 3. Спадание тока со временем: 1 — необработанный кристалл, а также рентгенизованный, обесцвеченный и отожженный кристалл (кривые совпадают), 2 — рентгенизованный, а затем обесцвеченный кристалл; температура 110°

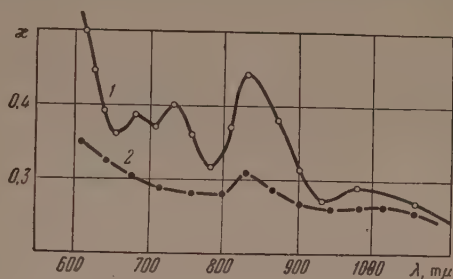


Рис. 4

Рис. 4. Спектральное распределение коэффициента поглощения в аддитивно окрашенных кристаллах KCl: 1 — после окраски в парах калия, 2 — тот же кристалл после облучения его рентгеновыми лучами

и темновых токов является образование в кристаллах KCl кратных центров (так называемых R -центров, представляющих собой два рядом сидящих F -центра). Этим центрам соответствует полоса поглощения с максимумом при $\lambda = 730$ мμ. Если при рентгенизации образуются новые вакантные места, то нужно ожидать, что в окрашенных в парах кристаллах Kl , подвергнутых рентгенизации, должно будет уменьшиться число кратных центров, так как новые вакантные места создают возможность электронам распределиться по этим местам более равномерно.

Опыты, проведенные с этими кристаллами, полностью подтвердили это предположение. На рис. 4 представлены кривые спектрального распределения коэффициента поглощения в окрашенных в парах кристаллах KCl. Кривая 1 представляет собой изменение коэффициента поглощения для кристаллов после их окраски в парах. Как видно из кривой, в кристаллах имеются F -полоса (она полностью на рисунке не помещена), R -полоса (с максимумом при $\lambda = 675$ мμ), R' -полоса (с максимумом $\lambda = 730$ мμ), N -полоса (с максимумом при $\lambda = 825$ мμ) и V -полоса (с максимумом при $\lambda = 1000$ мμ). Кривая 2 дает ход коэффициента поглощения после рентгенизации. Из рисунка видно, что полосы R и R' исчезли совершенно, F -полоса сильно снизилась.

Исследование электропроводности этих кристаллов показало, что кристаллы до облучения их рентгеновыми лучами обладали темновой проводимостью, после же облучения темновая проводимость исчезла. Этот

факт лишний раз подтверждает, что темновые токи обусловлены наличием в кристаллах кратных центров.

Таким образом, изложенные результаты опытов с большой убедительностью говорят о том, что в процессе рентгенизации в кристаллах возникают новые вакантные места. В ряде работ последних лет [5, 6] и др. [7] высказали интересные соображения об образовании вакантных мест из дислокаций.

Понятие об одном виде дислокаций (линейные дислокации, или их еще называют, краевые дислокации) можно легко составить, если

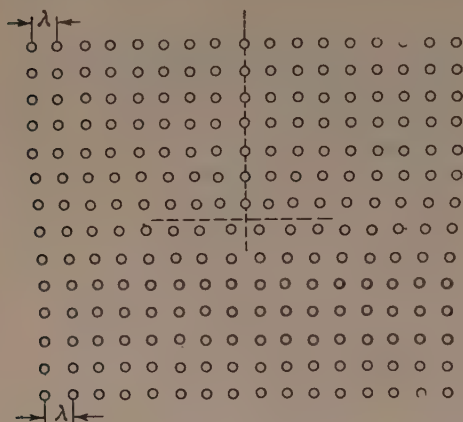


Рис. 5

Рис. 5. Схема краевой дислокации

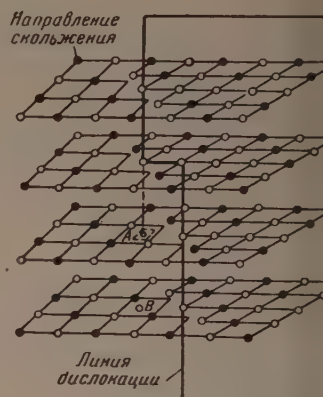


Рис. 6

Рис. 6. Особенная плоскость в кристаллической решетке, имеющая уступ, обуславливающий появление «зарождающейся» вакансии (точка А)

ставить себе, что в регулярной решетке сделан разрез через какую-либо плоскость в направлении, перпендикулярном к ней, и вдоль этого разреза удален или введен лишний ряд ионов. Ясно, что в первом случае ближайшие к разрезу ионы будут сближены (рис. 5), а во втором случае — раздвинуты. Область кристалла, внутри которой имеет место такое нарушение регулярности решетки, и носит название краевой дислокации. Горизонтальная линия на рис. 5 есть направление скольжения; вдоль этой линии ионы будут легко двигаться, если приложить небольшое усилие. Это свойство используется для объяснения явлений пластичности твердых тел. Плоскость, в которой расположен добавочный слой ионов или отсутствует слой ионов, носит название особенной плоскости.

Зейтц [6] предположил, что край особенной плоскости может быть изломан. Представление о таком изломе легко уяснить, рассмотрев рисунок. На этом рисунке представлены четыре последовательные кристаллические плоскости. Перпендикулярно к этим плоскостям расположена особенная плоскость, включающая в себя ряды дополнительных ионов. Эта особенная плоскость может иметь излом, вызванный тем, что крайний ряд ионов в особенной плоскости содержит в различных кристаллических плоскостях неодинаковое число ионов. Край особенной плоскости называется линией дислокации. Направление скольжения, как видно из рисунка, перпендикулярно этой линии дислокации. В случае наличия у краевой дислокации (у линии дислокации) излома, в кристаллической решетке образуется потенциальная яма вблизи этого излома (на рис. 6 это отмечено буквой А), равносильная наличию в этом месте некоторого эффективного заряда. Легко показать, что величина этого эффективного заряда a равна $\pm e/2$, где e — заряд электрона. Зейтц рассматривает это как «зарождающуюся» вакансию.

Что эффективный заряд «зарождающейся» вакансии равен $+e/2$, можно показать следующим образом. Допустим, что излом дислокационной линии таков, каким он показан на рис. 6. Тогда в области A имеется некоторый эффективный положительный заряд (зарождающаяся вакансия отрицательного иона). В эту область может перескочить отрицательный ион с зарядом $-e$, тогда излом переместится на расстояние, равное постоянной решетки, и «зарождающаяся» вакансия появится в точке B (это будет уже зарождающаяся вакансия положительного иона), знак ее будет теперь отрицательный. Таким образом, захват зарождающейся вакансии отрицательного иона изменяет знак зарождающейся вакансии. Отсюда $a = \frac{e}{2}$ (так как $a - e = -a$). Место излома дислокационной линии является предпочтительным местом в кристаллической решетке, так как, с одной стороны, излом способствует образованию вакансии путем захвата зарождающейся вакансии ближайшего иона и включения его в ряд ионов, образующих особую плоскость, при этом излом перемещается на расстояние, равное постоянной решетки (как было указано выше); образовавшаяся вакансия может продиффундировать внутрь кристалла; с другой стороны, вакантное место может поглотиться дислокационной линией. Произойти это может следующим образом: вакантное место может подойти к крайнему иону в изломе и захватить его, уменьшив таким образом на один ион крайний ряд ионов особой плоскости. При этом излом также переместится на расстояние, равное постоянной решетки, но в направлении, противоположном перемещению в первом случае.

Наличие дислокационных линий с изломами способствует образованию вакансий центров и лишних вакансий при облучении кристаллов щелочно-галогидных солей рентгеновыми лучами. Процесс этот протекает следующим образом: сорванный рентгеновским квантом с какого-либо иона галоида электрон захватывается ионом щелочного металла и начинает двигаться по кристаллу. При своем движении электрон может подойти к излому дислокационной линии и может захватиться «зарождающейся» вакансией отрицательного иона (эффективный заряд, как было сказано выше, равен $+e/2$). Электрон в этом месте может локализоваться и образовать некоторый центр, будем называть его j -центром [7]. К j -центру может подойти вакантное место отрицательного иона. Тогда электрон из j -центра перескочит в это вакантное место (вакантное место для электрона представляет собой более глубокую потенциальную яму, чем «зарождающаяся» вакансия) и образует с ним F -центр, что можно рассматривать как присутствие около излома нейтрального атома щелочного металла. Вследствие этого у соседнего иона галоида ослабляется связь с окружающими ионами и у него возрастает вероятность перескочить в зарождающуюся вакансию.

В результате перескока отрицательного иона в зарождающуюся вакансию излом дислокационной линии передвигается на расстояние, равное постоянной решетки, т. е. ион галоида перейдет в особую плоскость, в решетке появится новое вакантное место. Таким образом, в результате облучения кристалла рентгеновыми лучами в нем образуется F -центр и лишняя вакансия, т. е. действие рентгеновых лучей на кристалл в случае наличия в нем краевой дислокации с изломом приводит к появлению F -центров и лишних вакантных мест отрицательных ионов. Этот процесс вместе с тем увеличивает число зарождающихся вакансий положительных ионов, так как отрицательные ионы, захватываясь зарождающимися вакансиями, перемещают излом на расстояние постоянной решетки и меняют знак зарождающейся вакансии. Увеличение же числа зарождающихся вакансий ионов положительного знака влечет за собой увеличение вероятности возникновения в кристалле вакансий положительных ионов.

Таким образом, рентгенизация кристаллов приводит к увеличению в кристаллах вакантных мест как отрицательных, так и положительных ионов. Эти представления хорошо объясняют изложенные выше опытные

факты. В самом деле, увеличение числа вакантных мест ионов гал приводит к увеличению числа F -центров при повторной рентгенизации. Увеличение же числа вакантных мест ионов щелочного металла приводит к возрастанию ионной проводимости, так как ионная проводимость обуславливается движением вакантных мест ионов щелочного металла.

Отжиг кристалла приводит к возрастанию подвижности вакансий благодаря чему растет число ассоциированных вакансий, которые собираются в цепочки и в конечном счете образовать плоскости, что почит за собой возникновение дислокаций в кристалле, так как кристаллическая плоскость, состоящая из вакантных мест, означает не что иное, как удаление ионов вдоль некоторого разреза в кристалле.

Таким образом, собирание вакансий в цепочки приводит к исчезновению части вакантных мест и возникновению вместо них дислокационных линий, а это в свою очередь приводит к уменьшению коэффициента поглощения в рентгенизованных после отжига кристаллах, а также к уменьшению электропроводности.

Институт физики Академии наук Груз. ССР
Тбилисский гос. университет им. И. В. Сталина

Цитированная литература

1. Roentgen W. C., Joffe A. Ann. d. Phys., 64, 1 (1921).
2. Тартаковский П. С., Внутренний фотоэффект в диэлектриках, стр. 102, — Гос. изд. техн.-теор. лит., — Москва — Ленинград, 1940.
3. Друкарев Г. Ф., ДАН СССР, 52, 215 (1946).
4. Estermann J., Leivo W. J., Stern O., Phys. Rev., 75, 627 (1949).
5. Калабухов Н. П., ЖЭТФ, 26, 242 (1954).
6. Seitz F., Phys. Rev., 79, 890; 1002 (1950); 80, 239 (1950); Rev. Mod. Phys. 328 (1951).
7. Markham J., Phys. Rev., 88, 500 (1952).

3. ДЬЮЛАЙ

ПОЛУЧЕНИЕ ФОСФОРОВ ПОСРЕДСТВОМ
РЕКРИСТАЛЛИЗАЦИИ И МИГРАЦИИ ЭЛЕКТРОНОВ

1. Рекристаллизация

Уже в течение нескольких лет мы занимаемся в нашем институте вопросами рекристаллизации. В качестве материалов используются главным образом щелочно-галогидные кристаллы (NaCl и KCl). Мелкий порошок образный материал (величина зерен $1 \div 5 \mu$) спрессовывается в таблетку прессом под давлением $1000-2000 \text{ кг см}^{-2}$). При резании или давлении можно наблюдать отдельные кристаллы блока. Легко установить, что величина зерна спрессованного блока значительно больше величины зерна исходного материала. Несколько кристалликов, имевших до давления различную ориентацию, перестраиваются под давлением в один кристалл. Можно легко найти кристаллики с периметром в несколько десятых долей миллиметра. Сотни и даже тысячи маленьких кристалликов занимают новое положение в кристалле.

На основе этого результата мы поставили перед собой задачу изготовить щелочно-галогидные фосфоры при помощи рекристаллизации. Материал активатора смешивали с основным веществом. В качестве основного материала был взят NaCl и в качестве активатора TlCl . Возможно, активатор при рекристаллизации встраивается в новые кристаллики. При надлежащем встраивании можно предположить, что таблетка будет фосфоресцировать. Как известно, фосфор $\text{NaCl} - \text{TlCl}$, изготовленный Р. Хильшем, очень хорошо фосфоресцирует под воздействием ультрафиолетовых лучей.

Несколько капель раствора TlCl мы добавляли к основному материалу, хорошо смешивали в агатовой ступке и все это просушивали в эксикаторе. После испарения воды на поверхности имеющихся кристалликов NaCl выделялся TlCl . Таким образом получалось равномерное распределение активатора. После давления мы получали обычные таблетки, однако эти таблетки под влиянием ультрафиолетовых лучей фосфоресцировали. Этот факт мы рассматриваем как доказательство того, что ионы Tl встраиваются в решетку NaCl . Выяснилось, что смесь порошков до давления не фосфоресцировала. Таблетки, спрессованные из NaCl , не реагировали на ультрафиолетовое излучение. Таблетки с различной концентрацией TlCl светятся по-разному. Интенсивность фосфоресценции этих фосфоров достигает приблизительно интенсивности фосфоресценции образцов, приготовленных Р. Хильшем выращиванием из расплава.

Особый интерес представляют фосфоры, полученные рекристаллизацией, потому что, как оказывается, ионы активатора могут входить в основной материал и при комнатной температуре.

Эти фосфоры, далее, отличаются рядом интересных свойств. После изготовления, т. е. после извлечения их из прессформы, их способность фосфоресцировать с течением времени меняется: вначале растет, достигает максимума и затем медленно падает. Последующая термическая обработка также вызывает значительные изменения. Эти изменения в способности фосфоресцировать связаны с изменением в кристаллической структуре и

могут интерпретироваться как показатели процессов, происходящих при кристаллов.

Нужно указать на то, что такого рода процессы встречаются и в роде.

2. Миграция электронов

В наших опытах по рекристаллизации мы встретились с неожиданным явлением. Таблетки NaCl иногда при наиболее высоких температурах изготовления становятся прозрачными, окрашенными. Несколько раз получали таблетки ясно выраженного коричнево-желтого цвета, кото-

напоминал цвет кристалла, облученного рентгеновыми лучами. Легкое окрашивание наблюдалось и раньше, однако в этом случае трудно предположить естественное окрашивание.

Был измерен спектр поглощения окрашенных таблеток (рисунок). Кривые (II — IV), относящиеся к различным температурам, в области спектра 450—480 мμ имеют ярко выраженный максимум. Для сравнения на рисунке вычерчен спектр поглощения кристалла каменной соли, облученного рентгеновыми лучами.

Размытие кривых происходит от разложения света в таблетках, однако совпадение максимумов с максимумом поглощения каменной соли, облученной рентгеновыми лучами, является поразительным. Некоторые кривые имеют дополнительные максимумы [1].

Следовательно, мы можем приписать максимум в спектре поглощения таблеток известным F-центрам. Это явление можно объяснить тем, что во время прессовки из материала пресса при наиболее

высоких температурах, применяемых при этом (650—700°), электроны мигрируют в материал таблеток. Более высокая температура делает миграцию электронов более интенсивной, так что появляющееся окрашивание становится видимым простым глазом. Таблетки окрашены неравномерно. Однако это имеет место и в случае так называемого аддитивного окрашивания, когда нагревание кристаллов происходит в парах Na или в вакууме Na.

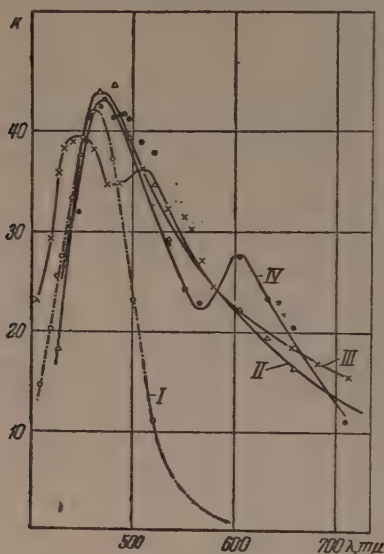
Нам кажется, что в обоих случаях электроны мигрируют в кристалл или таблетку. Только в случае аддитивного окрашивания электроны переходят из жидкого металлического Na, а в нашем случае — из стали прессформы.

Можно предположить, что миграция электронов в диэлектрики происходит при любой температуре. По-видимому, это явление может играть важную роль в природе (геологические образования).

Будапештский институт экспериментальной физики
Высшей технической школы
строительства и транспорта

Цитированная литература

1. Tarjan, ZS f. Phys., 125, 497 (1948).



Спектр поглощения таблеток, окрашенных при давлении благодаря диффузии электронов

Н. П. БОГОРОДИЦКИЙ, В. В. ПАСЫНКОВ, Г. Ф. ХОЛУЯНОВ
и Д. А. ЯСКОВ

ЭЛЕКТРИЧЕСКИЕ СВОЙСТВА И ПРИМЕНЕНИЕ КАРБИДА КРЕМНИЯ

Введение

Целый ряд запросов современной техники может быть удовлетворен при помощи полупроводниковых карбидов. Наиболее исследованным из них и уже нашедшим разнообразное применение является карбид кремния, который широко известен промышленности как абразивный материал. Однако из него изготавливаются и чисто электротехнические изделия: вилитовые сопротивления защитных разрядников для линий передач высокого напряжения, силитовые нагревательные стержни в высокотемпературных печах, термокомпенсаторы и др.

При изготовлении первого вида изделий наиболее ценным оказывается свойство конгломерата зерен карбида кремния давать нелинейную вольтамперную характеристику при повышенных значениях напряженности электрического поля. Для силитовых нагревательных стержней используется высокая нагревостойкость этого материала и способность он достаточно длительно сохранять свои свойства в области температур порядка 1400° , где непригодны хромоникелевые и хромоалюминиевые нагревательные элементы. Кроме того, карбид кремния может быть применен для термокомпенсаторов, потому что удельное электрическое сопротивление различных модификаций его лежит в очень широких пределах, а температурный коэффициент сопротивления, будучи отрицательным, по абсолютному значению близок к величине температурного коэффициента электрического сопротивления меди.

Карбид кремния — соединение кремния с углеродом, соответствующее формуле SiC . Молекулярный вес 40,07. Плотность зерен $3,2 \text{ г см}^{-3}$. В настоящее время известно семь модификаций SiC . Карбид кремния стехиометрического состава содержит 70,045% Si и 29,955% C. Карбид кремния получается только искусственно при нагревании проходящим током смеси кварцевого песка с углем до температуры порядка $1800\text{--}1900^{\circ}$. В зависимости от сырья и проведения технологического процесса образуются бесцветные и светло-зеленые или черные и сине-фиолетовые кристаллы карбида кремния.

Окраска определяется наличием инородных примесей, а также избытком Si или C по сравнению со стехиометрическим составом. Наличием примесей определяются и тип электропроводности карбида кремния, как то характерно для полупроводников, — дырочной p или электронной n , — также абсолютная величина собственной проводимости кристаллов, которая может колебаться для зеленого SiC от 1 до $10^{-13} \Omega^{-1} \text{ см}^{-1}$ (и до $10^{-14} \Omega^{-1} \text{ см}^{-1}$ для прозрачного) и от 0,5 до $10^{-1} \Omega^{-1} \text{ см}^{-1}$ для черной модификации.

Электропроводность зависит также от направлений в кристалле и от присутствия пленок окислов. Температурный коэффициент электрического сопротивления черного карбида кремния или зеленого, удельное сопротивление

тивление которого лежит в пределах того же диапазона, что и черн близок к $0,2-0,3\%$ на градус. Теплопроводность черного карбида кремния порядка $0,02 \text{ кал град}^{-1} \text{ см}^{-1} \text{ сек}^{-1}$, теплоемкость при 20° $0,18 \text{ кал г}^{-1} \text{ град}^{-1}$. Карбид кремния характеризуется небольшим значением коэффициента линейного расширения: $(5-7) \cdot 10^{-6} \text{ град}^{-1}$.

Образующиеся в электрических печах «друзы» карбида кремния (при размалывании и получают порошки различной гранулометрии, с зер-

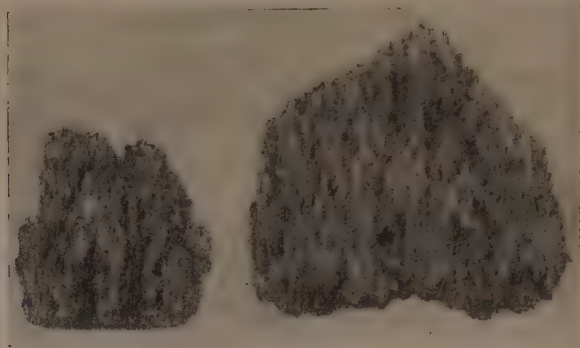


Рис. 1. Друзы карбида кремния

неправильной формы и наиболее ходовыми размерами от 40 до 300 мкм. Зерна имеют осколочную форму и чрезвычайно развитый профиль (рис. 2).

Проводившиеся в последнее десятилетие исследования карбида кремния на кафедре диэлектриков и полупроводников Ленинградского электротехнического института позволили использовать его в качестве основ-

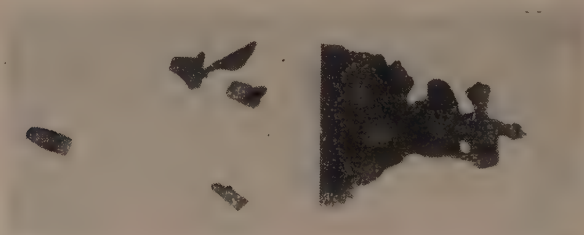


Рис. 2. Форма зерен и их краев при различном увеличении

компонента при изготовлении волноводных поглощающих нагрузок средней мощности, малогабаритных нелинейных сопротивлений для автоматики и цельнопрессованных игнитронных поджигателей с повышенной механической прочностью.

1. Волноводные поглотители

Передача энергии на частотах свыше 1000 МГц осуществляется с помощью волноводов. Энергия переносится электромагнитными волнами по стенкам волновода являются своего рода направляющими для распространяющихся волн. Для измерительных целей в волноводах применяют устройства, позволяющие отделить часть мощности, а иногда и поглотить отражения всю поступающую мощность. Такие устройства (рис. 3) по-

или название аттенуаторов и оконечных нагрузок или поглотителей [1—3]. Конструирование оконечных нагрузок связано с решением двух задач: выбора материала, в котором должна рассеиваться мощность, и согласования полных сопротивлений нагрузки и волновода, с тем чтобы эффект отражения был по возможности исключен.

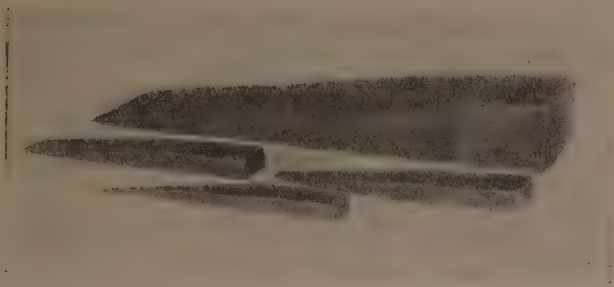


Рис. 3. Внешний вид волноводных поглощающих нагрузок для различных длин волн

Волноводная нагрузка, поглощающая всю подходящую к ней мощность определенной частоты, является «черным телом» для этой частоты. Так как от металлических проводников электромагнитные волны практически полностью отражаются, а через согласованные пластины диэлектрика с малыми потерями почти полностью проходят, то для указанных выше целей применяют полупроводящие материалы. Представление о полупроводнике в технике высоких частот имеет свои специфические особенности и может быть охарактеризовано отношением:

$$\frac{\gamma}{\omega \epsilon} \gg 1 \quad (1)$$

где γ — удельная активная электропроводность, ω — частота, ϵ — диэлектрическая проницаемость материала.

При условии $\frac{\gamma}{\omega \epsilon} \gg 1$ мы имеем дело с материалом, в котором преобладают токи проводимости, т. е. с проводником; при обратном соотношении материалов, в котором преобладают токи поляризации, может быть отнесен к диэлектрикам. Промежуточное положение занимают полупроводники. Один и тот же материал при различных частотах может быть отнесен к различным классам материалов. Следует заметить, что сами параметры γ и ϵ являются функциями частоты. Рассеяние энергии в материале определяется не только токами проводимости и активными составляющими поляризационных токов, но также и потерями магнитного характера, а поэтому для целей поглощения лучше всего использовать полупроводниково-магнитодиэлектрические комплексы, причем минимальное отражение можно получить [4] при условии

$$\dot{\epsilon} = \dot{\mu}. \quad (2)$$

Волноводные поглощающие нагрузки изготавливались на средние значения мощности от долей ватта и до сотен ватт и на импульсные мощности до сотен киловатт; они обеспечивали затухание порядка 30—40 db.

Основным критерием качества волноводного поглотителя служит коэффициент бегущей волны КБВ, который определяется как отношение амплитуды минимума к амплитуде ближайшего максимума волны в волноводе. КБВ является сложной функцией комплексных значений диэлектрической и магнитной проницаемостей материала и геометрии поглотителей. В результате накопления экспериментальных данных разработан мате-

риал, дающий при правильно выбранных геометрических размерах нагрузки КБВ $\geq 0,95$. Нагрев оконечных нагрузок может достигать $200-300^\circ$ выше температуры окружающей среды, а потому составные части материала должны быть нагревостойкими. Поэтому в качестве связующего вещества были выбраны керамические массы, характеризующиеся повышенной теплопроводностью и механической прочностью. Поглощающих полупроводниковых компонентов наилучшие результаты

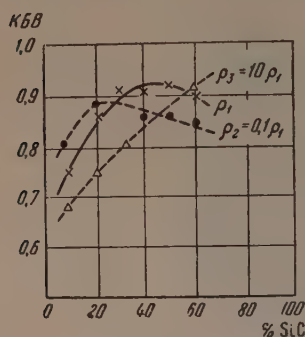


Рис. 4

дает карбид кремния — материал нагревостойкий с коэффициентом линейного расширения, близким к керамическим материалам. Определение КБВ нагрузок в зависимости от содержания карбида кремния (рис. 4) показало, что при увеличении содержания его в массе КБВ нагрузки вначале воз-

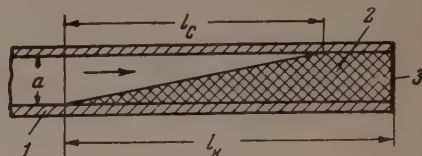


Рис. 5

Рис. 4. Зависимости КБВ поглощающей нагрузки от процентного содержания карбида кремния

Рис. 5. Расположение поглощающей нагрузки в волноводе: 1 — стенки волновода, 2 — поглощающая нагрузка, 3 — задняя стенка

растает, что может быть объяснено тем, что отражение от передней грани невелико, но поглощение в материале нагрузки еще недостаточно и имеется отражение от задней стенки (рис. 5). В дальнейшем при увеличении процентного содержания SiC наступают оптимальные условия, при которых КБВ достигает наибольшего значения. Еще большее содержание карбида кремния приводит к уменьшению КБВ, что можно объяснить увеличением отражения от переднего скошенного края, так как поглощение должно быть вполне достаточным.

При содержании карбида кремния выше 60% механическая прочность нагрузки оказывается недостаточной. Введение магнитного компонента — карбонильного железа или размолотого альсифера — осуществляется за счет частичного сокращения содержания карбида кремния и дает увеличение КБВ в диапазоне частоты.

Большого содержания магнитного компонента достичь не удастся вследствие увеличения старения нагрузок с течением времени, особенно при повышенных температурах, если нагрузки рассеивают значительную мощность. Геометрические размеры нагрузки — высота a (рис. 5) и ширина b (на рис. не видна) — определяются размерами волновода. Для клина желательно иметь достаточно большой. Наличие периодической закономерности величины КБВ от длины скошенной части поглощающей нагрузки (рис. 6) позволяет установить метод управления параметрами уже изготовленного сопротивления путем измерения его длины.

Такая подгонка является удачной, пока длина скошенной части клина в два-три раза больше длины волны. Разработанные нагрузки устойчивы при температурах $-60 \div +70^\circ$ и влажности воздуха до 98%. Изготовление нагрузок заключается в отборе сырья, помоле и перемешивании в шаровой мельнице, формовке заготовок и операциях низкотемпературного и высокотемпературного обжига с промежуточной механической обработкой для придания им клинообразной формы.

Высокотемпературный обжиг ведется в восстановительной среде,

тельность обжига 10—12 час, включая нагрев и остывание печи. У обожженных нагрузок производится измерение КБВ и механическая подгонка длины для получения оптимальных значений этого параметра в соответствии с данными рис. 6.

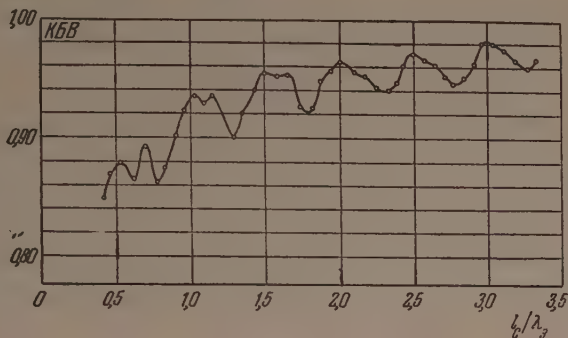


Рис. 6. Экспериментальная зависимость КБВ поглощающей нагрузки с карбидом кремния от отношения длины скошенной части клина к длине волны

2. Малогабаритные нелинейные сопротивления

Нелинейные безынерционные сопротивления — это сопротивления, величина которых резко зависит от напряженности электрического поля. Нелинейные сопротивления могут быть двух типов: симметричные и несимметричные. К симметричным относят сопротивления, обладающие одинаковыми ветвями вольтамперной характеристики при перемене полярности приложенного напряжения.

У несимметричных — токи через сопротивление имеют различные значения при одинаковых величинах напряжения, приложенного в разных направлениях.

В зависимости от типа контакта нелинейного полупроводникового сопротивления с металлической цепью различают сопротивления с плоским касанием обоих металлических электродов и с точечным касанием одного или двух электродов. Сопротивления с точечным касанием электродов обладают меньшим значением собственной емкости, проявляющейся, как правило, при использовании сопротивления на частотах выше 5000 ÷ 10000 Hz.

Основная характеристика нелинейных сопротивлений — вольтамперная кривая — в большинстве русских и иностранных работ [5—10] аппроксимируется уравнениями вида

$$U = A \cdot I^\alpha \quad (3)$$

или

$$I = B \cdot U^\beta, \quad (4)$$

где A, B, α, β — постоянные величины.

Эти уравнения на практике не оправдываются, и α и β оказываются непостоянными, что вызывает значительные трудности при оценке качества линейных сопротивлений. На основании рис. 7 [7] для карбид-кремниевых сопротивлений (с небольшим количеством

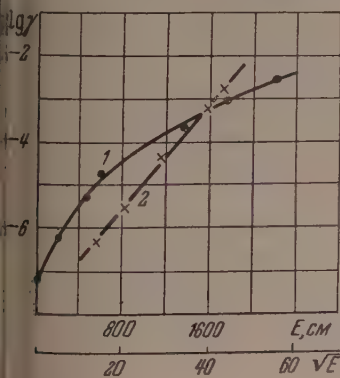


Рис. 7. Зависимость удельной электропроводности для порошка карбида кремния: 1 — от напряженности электрического поля E и 2 — от \sqrt{E}

вом связки) может быть предложено уравнение вида

$$j = \gamma_0 e^b V \bar{E} E = \gamma E,$$

где j — плотность тока, E — средняя напряженность поля на сопротивлении, γ_0 — удельная электропроводность в очень слабом поле, b — коэффициент, характеризующий нелинейность сопротивления.

Из данного более общего вида уравнения цепи с нелинейным полупроводником в качестве частного случая легко получить общепринятую форму закона Ома, положив $b = 0$. Это является своеобразным подтверждением взгляда на металлические проводники, как на предельный случай полупроводников. Приведенное уравнение может быть выведено из представлений гранулярного сопротивления в виде большого числа параллельных цепочек с замыкающимися при увеличении напряжения контактами.

При этом можно показать, что электропроводность при средней плотности зерен подчиняется закону

$$\gamma = c e^{\varphi d},$$

где d — размер зерен, а c и φ — постоянные.

Уравнения (5) и (6) дают результаты, хорошо совпадающие с опытными данными. Приближенная оценка напряженности электрического поля в зазорах между зубчиками зерен (см. рис. 2) показывает, что $E_{\text{ср}} \approx 10^4 \text{ В/см}$, однако вследствие наличия острых граней зубцов локальные напряженности поля могут быть и выше. Ввиду того, что явление замыкания контактов развивается в зазорах $0,1\text{--}1 \text{ мк}$, сравнимых с длинами свободного пробега электрона при нормальном давлении воздуха, помещение гранулярного сопротивления из карбида кремния в вакуум или создание повышенного давления не должно менять характеристик сопротивления, что и подтверждается опытом. Эти опыты использовались некоторыми исследователями для возражений против теории перекрытия зазоров при объяснении явлений нелинейности.

На основании полученных представлений о причинах нелинейности были осуществлены разработка и изготовление малогабаритных нелинейных сопротивлений. Сопротивления из порошкообразного карбида кремния даже очень сильно сжатые в изоляционном корпусе между металлическими электродами, не являются стабильными, боятся ударов и тряски, вызывающих изменение расположения зерен относительно друг друга.

Для получения более стабильных характеристик нелинейных сопротивлений зерна карбида кремния приходится скреплять хотя бы небольшим количеством связующего вещества. Исследование влияния связующих материалов давало право считать, что они понижают нелинейность карбид-кремниевого сопротивления.

Однако показано [5, 10], что такой взгляд справедлив, если связующим веществом служит инертная среда типа глины, фарфора и т. п. Если в связку ввести частицы, способные дать при некотором значении напряженности электрического поля либо автоэлектронную эмиссию, либо вторичную эмиссию под воздействием электронов, вылетевших из зерен карбида кремния, то характеристика гранулярного сопротивления станет более нелинейной.

При низких значениях напряженности поля величина сопротивления будет повышенной, так как связка представляет собой в этих условиях инертную среду, а начиная с некоторых значений напряженности поля обнаружится резкий рост тока, протекающего через сопротивление. Нанесение были изготовлены сопротивления в виде спрессованных дисков толщиной 1 см^2 и толщиной до 1 мм ; электроды наносились методом горячего вжигания серебряной пасты. В качестве активирующей добавки использовались окислы щелочно-земельных металлов, вводимые в ма-

количестве 5% по весу. Вольтамперные характеристики снимались при помощи осциллографа при промышленной и звуковых частотах.

Кривая сопротивления с активирующей добавкой (рис. 8) имеет значительно более крутой ход и пересекает кривую для сопротивления без добавок. Кривая коэффициента нелинейности в зависимости от напряженности поля для сопротивления без добавок возрастает медленно, стремясь к предельному значению 5. Коэффициент нелинейности сопротивления с добавками

сначала растет менее круто, затем крутизна роста его значительно увеличивается.

Построение кривых тока в зависимости от времени при синусоидальном напряжении и гармонический анализ их приближенными методами показал, что сопротивление без добавок содержит в кривой тока около 30% третьей гармоники и порядка 3% пятой, в то время как сопротивление с активирующей добавкой имеет при том же содержании третьей гармоники порядка 15% пятой, 8—9% седьмой, 5% девятой и 3% одиннадцатой гармоники. Тепловые эффекты не оказывали заметного влияния на вольтамперную характеристику сопротивления в ограниченных нами значениях приложенного напряжения, что было про-

верено помещением сопротивления в корпусе в жидкий воздух.

При повышенных частотах на вольтамперной характеристике нелинейного сопротивления появляется гистерезисная петля (рис. 9). Это говорит о том, что при повышенных частотах сопротивление перестает быть

чисто активным и начинает сказываться реактивная составляющая, обусловленная его собственной емкостью. Для получения стабильности характеристик нелинейных сопротивлений с течением времени их рекомендуется защищать от действия влажности окружающего воздуха.

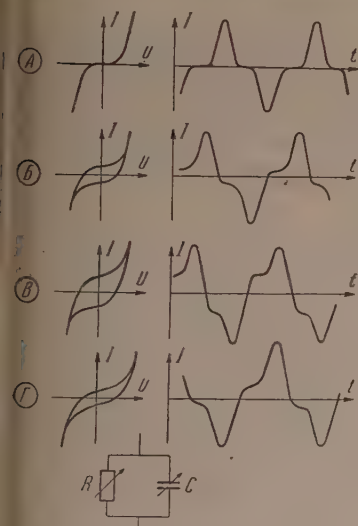


Рис. 9. Осциллограмма тока, текущего через нелинейное сопротивление при различных частотах, и эквивалентная схема сопротивления:

- А — $U_m = 15$ В, $f = 100$ Гц, $I_m = 1$ мА;
- Б — $U_m = 15$ В, $f = 10\,000$ Гц, $I_m = 1$ мА;
- В — $U_m = 15$ В, $f = 20\,000$ Гц, $I_m = 1$ мА;
- Г — $U_m = 30$ В, $f = 20\,000$ Гц, $I_m = 1$ мА

Технологический процесс изготовления сопротивлений не сложен и состоит из просеивания компонентов через соответствующие сита, составления массы и тщательного перемешивания. В дальнейшем в массу вводится связующее вещество, обеспечивающее прочность тонкого дискового сопротивления после прессовки его под давлением 4—5 Т см⁻² до операции обжига. Обжиг производится в электрической печи сопротивления при температуре 1200° в инертной или восстановительной среде, так как воз-

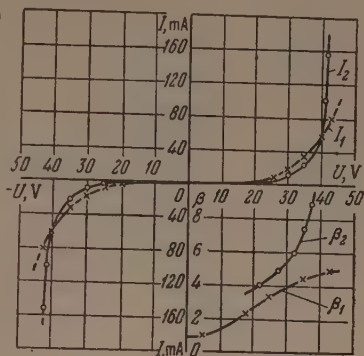
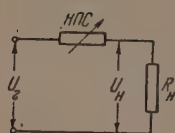
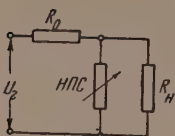


Рис. 8. Вольтамперные характеристики нелинейных сопротивлений, снятые при $t = 20^\circ$: 1 — сопротивление с инертной связкой, 2 — сопротивление с активирующей добавкой

действие кислорода воздуха и образование на зернах карбида кремния поверхностных оксидных пленок увеличивает электрическое сопротивление комплекса и понижает коэффициент нелинейности. Об-



А



Б

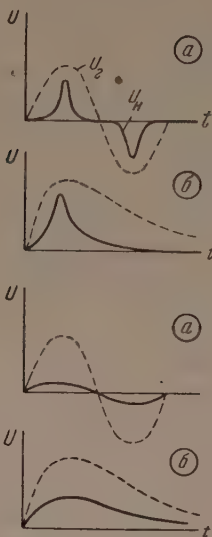


Рис. 10. Последовательное А и параллельное В включение нелинейного полупроводникового сопротивления (НПС) с нагрузкой R_H . Напряжения питания: а — синусоидальное, б — импульсное

цы вместе с печью меди нагреваются до указанной максимальной температуры в течение 3—4 час; затем печь выключается в течение 5—6 час. Диффузируют и на них напаяют электроды. Нелинейные сопротивления в зависимости от температуры включения с нагрузкой, последовательной или параллельной (рис. 10), могут быть использованы для импульсной техники, в цепях питания для умножения частоты, сглаживания и стабилизации напряжения, искрогашения в контактах и т. д. Изменяя массу и технологию изготовления, удается получать сопротивления на различных частотах и более низкие, чем те, которые характеризуются на рис. 8. Внешний вид логарифмических нелинейных сопротивлений показан на рис.

3. Игнитронные поджигатели

Игнитронные выпрямители представляют собой одну из разновидностей выпрямителей с ртутным катодом. Отличие игнитронных выпрямителей от обычных ртутных выпрямителей заключается в том, что катодное покрытие на поверхности ртути, являющееся источником свободных электронов, возникает у них периодически благодаря пропусканию импульсов

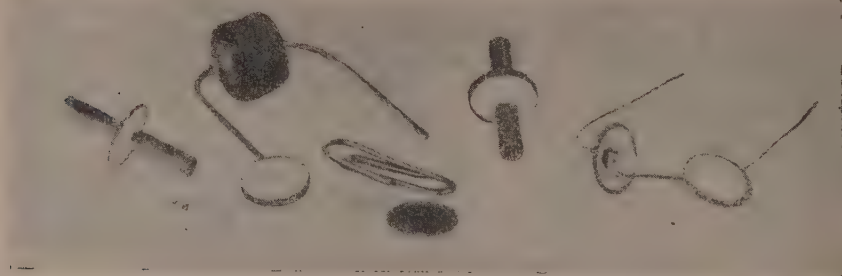


Рис. 11. Внешний вид малогабаритных нелинейных полупроводниковых сопротивлений

через полупроводниковый поджигатель. Результаты разработки целого ряда прессованных поджигателей с повышенной механической прочностью были опубликованы [11]; внешний вид двух типов поджигателей показан на рис. 12.

К полупроводниковому материалу поджигателя предъявляются следующие требования: он должен иметь удельное электрическое сопротивление

ение $1 \div 10 \Omega \cdot \text{см}$, не смачиваться ртутью, не портить вакуума в колбе выпрямителя, не бояться повышенных температур до $600-700^\circ$ и обладать механической прочностью на изгиб свыше 100 кг см^{-2} , с тем чтобы конец поджигателя не обломился при ударах ртути в процессе перевозки и эксплуатации. Основными электрическими параметрами поджигателя являются напряжение и ток в момент поджигания.

Изготавливаемые в массовом производстве поджигатели характеризуются средним значением напряжения поджигания 100 В и тока поджигания 4 А . Поджигатели прессыются из порошкообразного карбида кремния и кристаллического кремния на бакелитовой связке. Отпрессованные поджигатели подвергаются высокотемпературному обжигу в течение 1 мин в специальной обматке. Параметрами поджигания готового поджигателя можно управлять, изменяя шероховатость поверхности его при помощи ионной бомбардировки. Это возможно сделать потому, что механизм поджигания, как это следует из большинства работ [11—14], обусловлен автоэлектронной эмиссией из ртутно-катода в микроспорах между телом поджигателя и охватывающей его конец ртутью. Поджигание наблюдается тогда, когда напряженность электрического поля в переходном слое (рис. 13) достигнет определенного значения. При этом плотность тока поджигания должна также быть определенной для полупроводника с известным значением удельного электрического сопротивления:

$$E = \rho_n \cdot j. \quad (7)$$

Ток поджигания

$$I = j \cdot S, \quad (8)$$

где S — площадь зубчиков кольцевого слоя вблизи поверхности ртути (рис. 13), через которую ток из поджигателя переходит в ртуть. Ввиду того что $\rho_n \gg \rho_{\text{рт}}$, высота переходного слоя Δh будет мала.

Меняя шероховатость поверхности, мы можем уменьшать S , а следовательно, и величину тока поджигания.

Напряжение поджигания

$$U = U_T + U_n = IR_T + U_n, \quad (9)$$

где U_T — падение напряжения на теле поджигателя, U_n — падение напряжения на переходном слое, R_T — сопротивление тела поджигателя.

Уменьшая величину тока поджигания, мы тем самым уменьшаем падение напряжения на теле поджигателя, а потому и общее значение напряжения поджигания.

За границей игнитронные поджигатели изготавливают также из карбида бора и окиси бериллия [14].

Заключение

1. На основе карбида кремния изготавливается большое число электротехнических изделий: вилитовые разрядники, нелинейные сопротивления для целей автоматики, силитовые нагреватели, термокомпенсаторы, игнитронные поджигатели и волноводные поглощающие нагрузки.

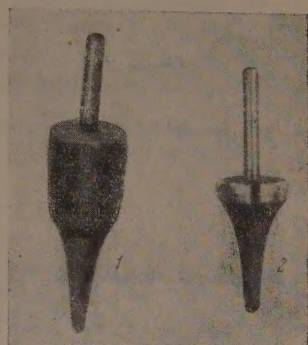


Рис. 12. Внешний вид двух типов полупроводниковых поджигателей: 1 — с запрессованным молибденовым держателем, 2 — с контактом в виде коронки

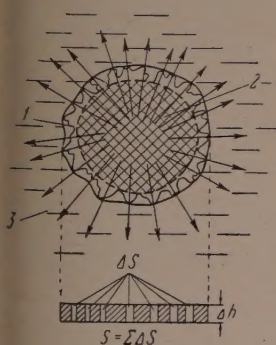


Рис. 13. Переход тока из поджигателя в ртуть: 1 — переходный зубчатый слой, 2 — тело поджигателя, 3 — ртуть

2. Ввиду того что карбид кремния стал широко используемым электротехническим материалом, необходимо добиться, чтобы заводы, производящие SiC (Запорожский, Ташкентский), выпускали некоторое количество по техническим условиям, в которых нормировались бы основные электрические параметры (удельное сопротивление и др.).

3. Карбид кремния обладает многими интересными свойствами (линейность, высокая нагревостойкость, твердость и прочность монокристаллов), вследствие чего желательно производить его дальнейшее изучение с целью расширения областей электротехнического применения.

Ленинградский электротехнический
институт имени В. И. Ульянова (Ленина)

Цитированная литература

1. Техника измерений на сантиметровых волнах, под ред. Г. А. Ремеза, стр. 336. 1.— Сов. радио, 1949.
2. Teal G. K., Rigglerink M. D., Froch G. K. Tr. AIEE, 67, pt. 419 (1948).
3. Teal G. K., El. En. S. 8, 754 (1948).
4. Sommerfeld A., Optik 4, 33 (1950).
5. Teszner M. S., Seguin P., Millet I., Ann. Telecomm., 8, 271 (1953).
6. Пружинина-Грановская В. И., Электричество, 7, 32 (1945).
7. Богородицкий Н. П., Воробей Э. Ф., ЖТФ, 24, вып. 5, 811 (1953).
8. Schwertz F. A., Mazenko I. I., J. Appl. Phys., 24, 8, 1015 (1953).
9. Горев А. А., Пирязева А. Н., ЖТФ, 21, вып. 12, 1469 (1951).
10. Teszner M. S., Bull. Soc. Franc. Electr. 4, 40 (1954).
11. Пасынков В. В., ЖТФ, 25, вып. 3 (1955).
12. Slepian I., Ludwig L., Tr. AIEE, 52, 693 (1933).
13. Arnott E. F., J. Appl. Phys., 12, 660 (1941).
14. Rigrod W. W., J. Appl. Phys., 22, 787 (1951).

